

مجلة العلوم والتكنولوجيا



العدد الثالث
2021

مجلة علمية تكنولوجية محكمة نصف سنوية
تصدر عن المجلس الأعلى للغة العربية بالجزائر



مجلة العلوم والتكنولوجيا

العدد الثالث 2021



Journal of science and technology

Semestrial Journal of Science and Technology Published
by the High Council of the Arabic Language. Algeria

number
three
2021



المجلس الأعلى للغة العربية
العنوان: 02 شارع فرانكلين روزفلت
منطقة العبور، بيدوش، مركب، الجزائر
الهاتف: +213 21 23 07 22
الfax: +213 21 23 07 07
www.hcla.dz
الملف الإلكتروني: max3lim.cs@ gmail.com
Email : oulaoumatechnologia@gmail.com

مجلة العلوم والتكنولوجيا

مجلة علمية تكنولوجية بحثية محكمة نصف سنوية

تصدر عن المجلس الأعلى للغة العربية بالجزائر

العدد الثالث 2021

الإيداع القانوني

ر.د.م.م

12-19

2716-7674

مسؤول النشر

أ.د. صالح بلعيد، رئيس المجلس الأعلى للغة العربية

رئيس التحرير

أ.د. إسماعيل روينة

نائب رئيس التحرير

أ.د. عقبة كزار

مدير التحرير

أ. حسن بهلول

أمين التحرير

أ. أمال رواجح

المسؤولة التقنية للمجلة

أ. نورة مراح

هيئة التحرير

الفيزياء:

- 1-أ.د. عبد الرحمن غزال: كلية العلوم جامع هواري بومدين للعلوم والتكنولوجيا -باب الزوار-جزائر.
- 2-أ.د. كمال بداري كلية العلوم جامعة المسيلة. الجزائر.
- 3-أ.د. علاء الدين بهجت كلية العلوم جامعة الأزهر-مصر.
- 4-أ.د. شالة عبد الواحد كلية العلوم جامعة بسكرة. الجزائر.
- 5-د. مصطفى أولداش مدرسة العليا للأساتذة -القبة-الجزائر.
- 6-د. رابح لاج مدرسة العليا للأساتذة -القبة-الجزائر.

بيولوجيا:

- 1-أ.د. أحمد رفعت عزت: كلية العلوم جامعة عين الشمس -القاهرة-
- 2-أ.د خنوف الصديق كلية العلوم جامعة سطيف -الجزائر-
- 3-أ.د. عبد الرحمن بوغياني كلية العلوم جامعة سطيف -الجزائر-
- 4-أ.د. قريشي لعلوي كلية العلوم جامعة قسنطينة. الجزائر.
- 5-أ.د. أحمد عبد الوهاب عبد الحافظ كلية الزراعة جامعة عين شمس. القاهرة.
- 5-أ.د. عبد النور شريف كلية العلوم عنابة. الجزائر.
- 6-أ.د. الطاهر حليلات كلية العلوم جامعة ورقلة. الجزائر.
- 7-أ.د. نور الدين بوراس: جامعة غردية. الجزائر. الجزائر.
- 8-د. مروش ربيعة -المدرسة العليا للأساتذة القبة. الجزائر.
- 9-د. محمد محديد المدرسة العليا للأساتذة القبة. الجزائر.

كيمياء:

- 1-أ.د. أبو بكر الناجي - المدرسة العليا للأساتذة القبة. الجزائر.
- 2-أ.د. أيمن أحمد بوطرفالية كلية العلوم جامعة بسكرة. الجزائر.
- 3-أ.د. جلول بلحادي -جامعة هواري بومدين للعلوم والتكنولوجيا -باب الزوار-الجزائر.
- 4-أ.د. محمد الأمين فرحات مدرسة العليا للأساتذة القبة. الجزائر.
- 5-أ.د. عبد العالى غربية جامعة الأغواط. الجزائر.

جيولوجيا:

- 1-أ.د. حافظ شمس الدين كلية العلوم جامعة عين الشمس-القاهرة-مصر.
- 2-أ.د. عبد الحميد صديقي كلية العلوم -وهراون-الجزائر.
- 3-أ.د. حسيفي مسعود كلية الجيولوجيا والمحروقات والطاقة التجددية وعلوم الأرض والكون ورقلة. الجزائر.
- 4-أ.د. زهير عجريد المدرسة العليا للأساتذة - القبة-الجزائر.
- 5-د. فاتن بن مرزوق بشيري المدرسة العليا للأساتذة - القبة-الجزائر.

تكنولوجيا:

- 1-أ.د. نور الدين عبد الباقي كلية العلوم أكلي محنـد أول حاج -البـويرة- الجزائـر.
- 2-أ.د. سعيد كنـاي كلية العـلوم جـامـعـة سـعـد الله دـحلـب -الـبـلـيـدـة - الجزائـر.
- 3-أ.د. محمد يونـس الـحـمـلاـوي مصرـالـأـزـهـر.
- 4-أ.د شـوـقـي مـحـمـود سـليم؛ كلـيـة الزـرـاعـة جـامـعـة عـين الشـمـسـالـقـاهـرـةـ مصرـ.
- 5-أ.د. عبد الله هـلـال هـيـنـة الطـاـقة الذـرـيـة - مصرـ.
- 6-أ.د. صـلاح عـوبـيـة صـبـريـ رئيسـ مدـيـنـة الزـوـيلـ العـلـمـيـةـ القـاهـرـةـ مصرـ.

رياضيات

- 1-أ.د. سعد الله المدرسة العليا للأساتذة - القبة-الجزائر.
- 2-أ.د. محمد سعيد مولـيـ جـامـعـة هـوارـي بـومـديـن لـلـعـلـمـوـنـ وـالتـكـنـوـلـوـجـيـاـ بـابـ الزـوارـ الجزائـرـ.

3-أ.د. نبيل خلف الله كلية العلوم جامعة التكنولوجيا جامعة بسكرة. الجزائر.

4-أ.د. الصادق بوروبي كلية الرياضيات جامعة باب الزوار. الجزائر.

اعلام الى

1-أ.د. عقبة كزار كلية العلوم محمد خيضر-بسكرة-الجزائر.

2-أ.د. محمد طيب العسكري كلية العلوم جامعة عنابة. الجزائر.

3-أ.د. عبد الحق بوبيزة كلية العلوم جامعة اليرج. الجزائر.

4-أ.د. محمد الأمين خري كلية التكنولوجيات جامعة ورقلة. الجزائر.

5-أ.د. أمين عبد المالك كلية العلوم جامعة سعيدة. الجزائر.

6-أ.د. عبد الكريم حرز الله جامعة المسيلة كلية العلوم. الجزائر.

7-أ.د. سهام حاكم قصص علي المدرسة العليا للأساتذة - القبة-. الجزائر.

شروط النشر

تخضع المدخلات للتحكيم وفقاً للشروط الآتية:

- 1- تكون البحث في ميادين العلوم والتكنولوجيا.
- 2- لغة النشر بالعربية.
- 3- تكون البحث أصيلة ولم يسبق نشرها.
- 4- تخضع البحث للمنهجية العلمية الأكademie المعمول بها في المجالات العلمية العالمية، في هذه الميادين وفق الطريقة الآتية:

أ- الملخص (Abstract)

ب- المدخل (Introduction)

ج- الوسائل والطرق (Materials and methods)

د- النتائج (Results)

هـ- المناقشة (Discussion)

وـ- الخلاصة (Conclusion)

يـ- قائمة المراجع (References)

5- ثبيث المراجع والإسناد حسب APA

- 6- يتلزم صاحب البحث بالتعديل في الآجال المحددة، في حالة ما إذا طلب منه ذلك.
- 7- أن تكتب بخط simplified بخط 14، وبنظام (ورود).
- 8- أن تكتب الهوامش آلياً بنفس الخط بخط 12. في آخر المداخلة.
- 9- أن يكتب المقال على مقاس 16./24
- 10- أن تكون المراجعات الكتابية: 2 سم أعلى الصفحة، 2 أسفل الصفحة، 2 يمين الصفحة، 2 يسار الصفحة.

11- المقالات غير المقبولة لا تعاد إلى أصحابها.

12- يكون الملخص باللغة العربية وبأحدى اللغتين: الإنجليزية أو الفرنسية.

- ملاحظة: ترسل المقالة بنظام وورد/ word باسم رئيس التحرير.

للاتصال بالمجلة

- البريد الإلكتروني: ouloumwaterchnologya@gmail.com

- الناشر: 021 23 07 22

- النقال: 05 59 93 74 84

الفهرس

عنوان المقال	المؤلف	الصفحة
كلمة رئيس التحرير	أ.د. إسماعيل روينه	10-9
دراسة مقارنة بين مفهومي الحرارة ودرجة الحرارة	د. مهدي بن بتقة	32-13
النشاطية المضادة للأكسدة لمستخلصين ميثانوليين لنبات <i>Alkanna tinctoria L.</i>	ثريا قماز، لخميسي عرعار، عبد الرحمن بغياني	46-33
المعلوماتية الحيوية في تدريس العلوم الطبيعية	أ.عبد الكريم كاملي	52-47
دراسة تقويمية لتحصيل مفاهيم الكيمياء الفضائية عند طلبة المدرسة العليا للأساتذة بالقبة- الجزائر	حزي صالح مجاجي حمزة	68-53
كتلة سيلات (المهقار الغربي، الجزائر): إقليم من الأراضي الدخيلة دراسة جيولوجية وجيوكيميائية والتاريخ المطلق لبعض الباتوليّات من نمط A (TTG) والمركبات الغرانينيّة متأخرة النّشأة (type)	فاتن بشري-بن مرزوق ، مقدم سارة، رقيّة خلوى، عبّلة عزوني، جون-بول لييجوا، برنار بونا، حميد بشري	98-69
اختبارات المكافحة البيولوجية بواسطة سبينوساد (مبيد حشري بيولوجي) ضد سوسة التمر <i>Ectomyelois ceratonia</i> في ظل ظروف خاضعة للرقابة	أيوب حاجب ، محمد الصغير مهاوة ، محمد العيد واكيـد	108-99

120-109	إبراهيم لجدل، غريسي نورالدين، عقبة كزار، أحمد قريشي	تحليل مشاعر رؤاد الشبكات الاجتماعية التي تستخدم اللهجة الجزائرية
136-121	بورغدة عبد الوهاب، رزقي حياة، شوتري عبد العزيز	طريقة لحساب الأمواج الموجة في ألياف بصيرية غير دائيرية المقطع في حالة التوجيه الضعيف
152-137	مختاري فارس	T-test ومسائل ناقصية ذات أسس متغيرة بمعطى قياس

كلمة رئيس التحرير

أ.د. إسماعيل روينه

ب - الوصول بها إلى التصنيف في واحد من المستويات (A.B.C) للمجلات الوطنية المعتمدة من طرف المجلس العلمي لتصنيف المجالات الجامعية الوطنية التابعة للمديرية العامة للبحث العلمي والتطوير التكنولوجي سابقة الذكر، وكذلك الاجتهد في حصولها على معامل التأثير العربي arabic impact factor الذي يقع تحت وصاية اتحاد الجامعات العربية.

ج - الاجتهد في الوصول بها إلى الشروط المطلوبة في التصنيف العالمي والحصول على معامل التأثير impact factor وهو مقياس لأهمية المجالات العلمية ضمن مجال تخصصها تعتمده قواعد البيانات مثل قاعدة بيانات Scopus العالمية.

د- توسيع مجالات المجلة لتمتد إلى شعب وخصصات وتطبيقات ميادينها مثل الطب والزراعة، مما يتطلب نشر أكثر من مقال واحد في الميدان، وقد يصل الأمر إلى تخصص حجم بكمله لكل ميدان في مستقبل الأيام عندما تتوفر الإمكانيات.

إن الغاية من العمل على تحقيق هذه الأهداف هو الوصول بالمجلة إلى قبولها لمناقشة الدكتوراه والتأهيل الجامعي والترقية إلى رتبة أستاذ التعليم العالي وفي أمور بحثية أخرى، خدمة للناشرين في المجلة وخدمةً للغة العربية ذاتها، باعتبارها جزء من كياننا، وبذلك يصبح التمكين لها في مختلف الميادين العلمية والتكنولوجيا وغيرها ضرورةً ملحة. وإذا كنّا

بعد أعدادها: التجاري، الأول، والثاني ها هي مجلة العلوم والتكنولوجيا تطالعنا بعدها الثالث متوجاً ببعض التحسينات التي أوصت بها هيئة التحرير، يمكن ذكرها فيما يلي:

1- الانتهاء من كل مراحل التسجيل في البوابة الجزائرية للمجلات العلمية ASJP التي تدار من طرف المديرية العامة للبحث العلمي والتطوير التكنولوجي بوزارة التعليم العالي والبحث العلمي، وأصبح بالإمكان الاطلاع عليها بسهولة بكتابه اسمها "مجلة العلوم والتكنولوجيا" في واحد من محركات البحث.

2 - اعتماد العمودين في المقالات المنشورة بها بدلاً من اعتماد العمود الواحد المعتمدة في الأعداد السابقة.

3 - اعتماد هيئتي تحرير وتحكيم مستقلة لكل ميدان، على أساس أن كل ميدان يتضمن شعباً وخصصات مختلفة، مع تدعيم الهيئتين بأعضاء جدد من ذوي الكفاءات العالية من الجزائر وخارجها.

وللتذكير فإن النقطة الأولى المتعلقة بتسجيلها في البوابة الجزائرية للمجلات العلمية ASJP كانت من الأهداف التي تعهدنا بالعمل على تحقيقها منذ صدور العدد التجاري للمجلة وهي:

أ - الوصول بهذه المجلة إلى التسجيل في البوابة الجزائرية للمجلات العلمية ASJP.

وإذا كانت وسائل النقل تحتاج إلى محرك لการทำงาน، فإنّ محرك اللغة، هو الإرادة الصادقة والإخلاص في تمكينها بمختلف الميادين للمشاركة في إنجاز المشاريع الحضارية العالمية، وتوفير إمكانات تحقيق ذلك، أمّا هي فجاهزة بكل جدارة نظراً لخصائصها المميزة، بعيداً عن أيّة تبعية لغوية كما يتوهّم البعض. وفي هذا السياق تجدر الإشارة إلى التزايد اللافت للنّظر في تعداد العلميّين الغيورين على اللغة العربيّة والحربيّين على التّمكين لها في كل الميادين بمختلف رتهم الجامعيّة في الجزائر أو خارجها بجانب أمثالهم من علماء هذه اللغة ذاتها، وهو ما يسّرُ ويسّر بمستقبل هذه المجلة وغيرها من الإنجازات العلميّة والتكنولوجيّة، إذا توافرت الظروف الملائمة لذلك طبعاً.

وفي الختام لا يسعني إلا أن أهيب بكل الإخوة الذين أسهموا في إنجاز هذا العمل العلمي الجاد الذي نعمل على تحسينه واستمرارته، سواء كانوا من المجلس أم من هيئات التحرير التحكيم، الكتاب وكل المهتمين بالتمكين لهذه اللغة أينما وجدوا في الجزائر أو خارجها. فأقدم لهم جميعا خالص الشّكر والتقدير وأطلب منهم المزيد من كلّ ما يفيد المجلة.

قد حققنا الهدف الأول وهو التسجيل في ASJP فإننا عاقدو العزم بإذن الله على مواصلة المشوار لبلوغ الغاية المنشودة مهما كانت الصعوبات التي تواجهه أيّ عمل جاد مثل التّمكين للّغة العربيّة في مجالات العلوم والتكنولوجيا لطبيعة هذه المجالات، وهو العمل الذي يتطلّب الصّبر والإخلاص والجديّة للارتقاء إلى النّوعيّة في الإنجاز لتأكيد جدارة هذه اللغة في مسيرة التّطوير في ميادين العلوم والتّقانات الحديثة.

وبناءً على ذلك يجدر التّذكير بالسّاعة التي صُنعت في عهد هارون الرّشيد حيث كانت العربية هي قاطرة لكل العلوم والفنون وقد كانت هذه السّاعة متضمّنة مبادئ الاعلام الآلي مما جعل ملك فرنسا آنذاك يُعجب بها عندما قدمت له كهدية غير أنّ الكهنة اعتبروها سحراً ووصفوها بأنّها مسكنة بالجّنّ وكسرّوها. وجاءت بعدها ساعة الفيل التي كانت أكثر تطوراً من الأولى حيث تضمنّت مبادئ الروبوتّيك والذّكاء الاصطناعي. وبهذا تكون العربية لغة التقانات (التكنولوجيات) الحديثة بجدارة وصاحبة السّبق فيها.

رئيس التحرير

أ.د. إسماعيل روينة

المقالات



دراسة مقارنة

بين مفهومي الحرارة ودرجة الحرارة

د. مهدي بن بتقه

المدرسة العليا للأساتذة القبة

تاریخ الارسال: 11 دیسمبر 2020 / تاریخ القبول: 19 ماي 2021

من أشكال الطاقة، ومفهوم درجة الحرارة كمقاييس للاضطراب الحراري وحركة الجزيئات داخل المادة. وفي الجزء الثاني نهتم بالمشاكل التعليمية التي يطرحها مفهوما الحرارة ودرجة الحرارة من المنظور الفيزيائي، ولكن مع الأخذ بعين الاعتبار مختلف مكونات مجال الظواهر الحرارية الأساسية والتطبيقية.

الكلمات المفتاحية: التطور العلمي العلمي مفهوم الحرارة، مفهوم درجة الحرارة

الملخص (Abstract)

يهدف هذا البحث إلى دراسة مقارنة بين مفهومي الحرارة ودرجة الحرارة، والتعرف على التطور العلمي والعلمياتي (الإبستيمولوجي) لهذين المفهومين، وارتباط مفهوم الحرارة بتطور التطبيقات الفيزيائية والتقنية لمفهوم درجة الحرارة حيث سيتم التطرق في المقام الأول إلى النظرية المادية (الفلوجستيك والكالوريك) والنظرية الحركية التي ظهرت مع ظهور الفيزياء الحرارية؛ حيث تم تناول مفهوم الحرارة كشكل

Une étude comparative des deux concepts chaleur et température

Résumé:

L'objectif de cette recherche est d'étudier la comparaison entre les deux concepts ; chaleur et température et d'identifier le développement scientifique et épistémologique de ces deux

concepts et la relation du concept chaleur avec le développement des applications physiques et techniques du concept température, en abordant premièrement la théorie de la matière (phlogistique et calorique) et la théorie cinétique

apparues avec l'apparition de la physique thermique, où le concept chaleur a été traité comme une forme d'énergie des molécules dans la matière. Dans la deuxième partie, nous nous intéressons aux problèmes didactiques posés par les concepts chaleur et température du point de vue physique, mais en tenant compte des

différentes composantes du domaine des phénomènes thermiques fondamentaux et appliqués.

Mots clés : Développement scientifique et épistémologique, chaleur, température

Eine vergleichende Studie der Konzepte von Wärme und Temperatur

Zusammenfassung:

Das Ziel dieser Studie ist es, einen Vergleich zwischen den Konzepten von Wärme und Temperatur zu untersuchen und die Erkenntnistheoretisch-wissenschaftliche Entwicklung dieser beiden Konzepte sowie die Verknüpfung des Konzepts der Wärme mit der Entwicklung der physikalischen und technischen Anwendungen des Temperaturkonzepts zu identifizieren. Es wird in erster Linie zur physikalischen Theorie (phlogistisch und kalorisch) und kinetischen Theorie, die mit dem Aufkommen der thermischen Physik aufkam, Wo das Konzept der Wärme als Energieform

angesprochen wurde und das Konzept der Temperatur als Maß für thermische Turbulenzen und die Bewegung von Teilchen innerhalb der Materie. Im zweiten Teil beschäftigen wir uns mit den didaktischen Problemen, die die Konzepte von Wärme und Temperatur aus physikalischer Sicht aufwerfen, jedoch unter Berücksichtigung der verschiedenen Komponenten des Feldes grundlegender und angewandter thermischer Phänomene.

Schlüsselwörter: Erkenntnistheoretische wissenschaftliche Entwicklung, Wärme, Temperatur.

two concepts

heat and temperature

Summary:

The objective of this research is to study the comparison between the two concepts; heat and temperature and to identify the scientific and epistemological development of these two concepts and the relationship of the concept of heat with the development of physical and

A comparative Study of the

heat and temperature

technical applications of the concept of temperature, by first approaching the theory of matter (phlogiston and caloric) and the kinetic theory which appeared with the advent of thermal physics, where the concept of heat was treated as a form of energy of molecules in matter. In the second part, we are interested

in the didactic problems posed by the concepts of heat and temperature from a physical point of view, but taking into account the different components of the

domain of fundamental and applied thermal phenomena.

Keywords: Scientific and epistemological development, heat, temperature

الأساسي للنظريتين، المادية والحركة للحرارة، في هذه المراحل.

1. تطور مفهومي الحرارة ودرجة الحرارة

1.1. النظرية المادية والنظرية الحركية للحرارة:
يوجد عند معظم العلماء منذ القدم الفرق بين مفهومي الحرارة ودرجة الحرارة، ولكنهم لم يتحدثوا على الإطلاق، بأنّ كلّ منها صفة خاصة بها إلا أن أرسطو حاول أن يربط العناصر الأساسية بما يقابلها في الكون، وعلى هذا الأساس بنى تصوّره حول الكون، فنسبَ الحرارة إلى النار والأرض إلى الجفاف، والماء إلى البرودة، والهواء إلى الرطوبة وقدّم المادة بأنّها عبارة عن عنصر شفاف ورقيق ولقد دقق في تعريف العناصر الأربع والبحث في مفهومها وعلاقتها بالعناصر الأربع (الحرارة والبرودة والرطوبة والجفاف) وتعتبر بالنسبة إليه جميع المواد، خلائط بنساب متفاوتة من هذه العناصر الأربع، وبالتالي الساخنة والباردة.

قال أرسطو، كما ذكرت أقايرا جاكلين (Agabra, Jacqueline) "المادة لها أربع صفات أساسية ومتعاكسة: البرودة والساخنة، والرطوبة والجفاف واستخلص أربعة أزواج من الصفات الممكنة واستثنى في ذلك، الأزواج المتعاكسة والتي تكون العناصر الأربع: النار، الماء، الأرض، الهواء؛ بحيث يناسب كل عنصر مزدوجة:

(Introduction) المدخل

نريد في هذا البحث أن نتطرق إلى دراسة مقارنة بين مفهومي الحرارة ودرجة الحرارة والتعرّف على التّطوير العلمي والعلميّاتي (الإبستيمولوجي) لهذين المفهومين وارتباط مفهوم الحرارة بتطور التطبيقات الفيزيائية والتكنولوجية لمفهوم درجة الحرارة، كما نتناول الصعوبات ذات المظهر الفيزيائي والتّعليمي، التي رافقـت بناء مفهوم الحرارة على وجه الخصوص على أمل، أن يساعدـنا هذا على فهم أفضل للوضع المزدوج لمفهوم الحرارة بمظـهريـه الكالـلوريـ والـطـاقـويـ ولا يمكن اختزال مفهوم الحرارة في الصراع المـوـجـودـ بين النـظـريـاتـ المـادـيـةـ وـالـنـظـريـاتـ الـمـيكـانـيـكـيـةـ. لذلك يـبـدوـ لـنـاـ فيـ الـبـداـيـةـ، أـنـ لـابـدـ مـنـ التـمـيـزـ بـيـنـ المـفـاهـيمـ الـأـتـيـةـ:ـ الحرـارـةـ وـدـرـجـةـ الـحرـارـةـ،ـ وـكـمـيـةـ الـحرـارـةـ وـالـنـظـريـةـ الـمـيكـانـيـكـيـةـ،ـ الـتيـ لمـ تـكـنـ فـعـالـةـ لـلـوـصـولـ إـلـىـ مـعـرـفـةـ مـعـاـلـمـ الـتـكـافـؤـ بـيـنـ الـحرـارـةـ وـالـعـمـلـ،ـ نـظـرـاـ لـعـدـمـ تـمـكـنـ هـذـهـ الـنـظـريـاتـ،ـ وـالـدـعـمـ الـتـجـريـيـ فـيـ تـلـكـ المـرـحـلـةـ الـتـيـ أـلـعـنـ فـيـهاـ الـقـانـونـ الـأـوـلـ لـلـدـيـنـامـيـكـاـ الـحـارـارـيـةـ،ـ عـلـىـ الـوـصـفـ الـكـيـفـيـ وـالـكـيـمـيـ لـلـتـفـاعـلـاتـ عـلـىـ الـمـسـتـوـيـ الـمـجـهـرـيـ (ـجـوـلـ Jouleـ 1843ـ 1850ـ)ـ عـلـىـ الرـغـمـ مـنـ أـنـ تـأـسـيـسـ هـذـهـ الـنـظـريـةـ فـيـ هـذـهـ الـمـرـحـلـةـ كـانـ ضـرـورـيـاـ،ـ وـمـاـ سـنـتـعـرـضـ إـلـيـهـ فـيـ هـذـهـ الـدـرـاسـةـ لـيـسـ هـوـ تـارـيخـ بـنـاءـ مـفـهـومـ الـحرـارـةـ وـالـمـفـاهـيمـ ذـاتـ الـصـلـةـ بـهـاـ؛ـ وـلـكـنـ نـرـيدـ فـقـطـ،ـ أـنـ نـبـيـنـ الـمـراـحـلـ الـتـيـ مـرـبـهاـ هـذـاـ الـمـفـهـومـ وـالـدـوـرـ

بما أن الحرارة والبرودة، لهما طابع مادي، فلابد إذن أن يناسب إلّيّهما (يرفق بهما) مفهوم الثقل واستمرت فكرة خلط هاتين المادتين إلى القرن الثامن عشر^١.

قد سبق لأفلاطون أن تصور الحرارة، على شكل نار، ككيان منفصل عن درجة الحرارة كما ذكر ذلك زيمerman (Zimmerman, M.-I.) "إن النار التي تتطلّق من نفسها، لا هي حارقة ولا مضيئة، تخترق الجسم تضع الجسيمات في حركة، وتفصلها عن بعضها البعض، وإذا تمت إزالة النار، يبرد الجسم والهواء الذي يحل محل النار، يضغط مرة أخرى على الجسيمات، ويرافق التسخين التمدد". (زيمerman 1990، ص. 29).

تطورت النظريات الميكانيكية للحرارة بالتوالي مع النظرية المادية، وتعايشت معها لفترة طويلة، حتى ظهور النظرية الحركية لبولتزمان (Ludwig Eduard Boltzmann 1844-1906) وأتباعه في حوالي 1870م. وقد بدأ البعض من خلال تاريخ الحرارة وكأنها معركة بين النظريتين؛ حيث كانت فيها النظرية المادية خاطئة، وخرجت في الأخير شبه منزمه. وعلى هذا الأساس أصر هالباوكس (Halbwachs) على أن هذه النظريات في حد ذاتها بسيطة وخاطئة، لأنها في الحقيقة ليست على نفس المستوى؛ كما أنها لا تتكلّم على نفس الشيء" (أقايرا، 1985، ص. 3).

تضمن النظرية المادية، مادة تتعلق بالكمية أو القيمة وهي محفوظة ومضافة، وتؤدي أنها، تحمل معها مفهوم "كمية الحرارة" في التبادلات الحرارية وبالتالي تسمح ببناء المفهوم عملياً، وتكوين العلاقات.

- النار: الحرارة-الجفاف؛
- الماء: البرودة-الرطوبة؛
- الأرض: البرودة . الجفاف؛
- الهواء: الرطوبة . الحرارة." (أقايرا، 1985، ص. 2).

لكن مع وجود التمييز بين صفات المادة والمادة في حد ذاتها؛ حيث تعتبر الحرارة والبرودة صفتين متعاكستين للمادة وليس درجة "الحرارة"، ولا حتى مادية، وعند لوكريس (Lucrèce)، فهو يتحدث عن مادتين متمايزتين الحرارة الآتية من الشمس والبرودة الآتية من الأنهار.

ابتداء من القرن السابع الميلادي ازدهرت العلوم مع ظهور الحضارة الإسلامية التي ألمت بكل العلوم التي سبقتها وأخذت منها أقوم ما فيها من العلوم وأعادت صياغتها ونشرها، وقد أسهم العلماء المسلمين في هذه الفترة في تعريف العناصر الأربعية وعلاقتها بالطبيائع الأربعية، خاصة إذا علمنا أن هذه الفترة كانت بمثابة المهدية العلمية الحقيقية التي جمعت بين العلوم الفكرية والعقائدية والعلوم الطبيعية بتجاربها وبحوثها المخبرية مع ظهور "نشأة المنهج التجاري مع الحسن ابن الهيثم وعبد الرحمن أخازني" (فيليير، Willer، 1990، ص. 65).

فمثلاً ورد مفهوم الحرارة والبرودة في "كتاب التعريفات" للجرجاني كما يلي:

- الحرارة: "كيفية من شأنها تفريق المخلفات وجمع المشاكلات" (الجرجاني، 1985، ص. 96):
- البرودة: "كيفية من شأنها تفرق المشاكلات وجمع المخلفات" (الجرجاني، 1985، ص. 51).

و(شتال / Stahl) عند تطبيقها على التفاعلات الكيميائية، وفي هذه السنة أيضاً شهدت هذه النظرية، أي نظرية (الكالوري / le calorique) تطوراً من طرف (فولف / Wolf). وفي بداية القرن الثامن عشر، كان يُنظر إلى الحرارة، على أنها ماء يوفر إطاراً مفاهيمياً لتفسير كل الحقائق التجريبية المعروفة في ذلك الوقت، وحتى تسخين قطعة المعدن بالطرق كانت تُفسَّر انطلاقاً من هذه النظرية: "الطرق يسبب تدفق السعرات الحرارية من مسام المعدن، كما يتدفق الماء من قطعة الإسفنج التي من المقرر أن تخضع لنفس المعاملة (المعالجة)" (أقابرا 1985، ص. 3).

حسب نظرية الكالوري السائدة آنذاك فقد كان للمعدن الصلب غير المجوف مقدرة أكبر على استيعاب التدفق (السائل) الحراري الغامض أكثر من البرودة الناتجة عن تجويف المعدن نفسه.

بالرغم من تطور المحرار في القرن الثامن عشر بصفة دقيقة بما فيه الكفاية، إلا أنه ما زال يُعتقد أن المحرار يحدد كل ما نريده، وكل ما نحتاج إلى معرفته عن الحرارة، وبعبارة أخرى، فإن الحرارة ليست في علاقة مع الجسم الذي تتتطور فيه، ويكتفي وسيط / عامل واحد لتحديد مميزاتها. لم يكن عندنا إلا كلمة واحدة "كالور(حرارة)" لوصف وتحديد كل خصائص ظاهرة معقدة.

2.1.1. النظريات الحركية (الميكانيكية):

تسعى هذه النظريات إلى تفسير السخونة والبرودة كحالات حرارية للمادة، ويتم تحديد هذه الحالات الحرارية إلى حالات ميكانيكية حرKitية أو اهتزازية على المستوى المجهرى، وظهرت لأول مرة

ومن الناحية التاريخية، وبدون شك أيضاً حتى من الناحية التربوية، لربما، كان هذا هو الأنسب لبناء الفكرة حول الفرق والتمييز بين الحرارة ودرجة الحرارة، حتى وإن كان هذا يومها ليس بحاجة إلى معرفة أي شيء عن الطبيعة الحقيقية للحرارة.

لقد قدم هالبفاكس (Halbwachs) تحليلًا لهذا البناء التاريخي، الذي كان مرجعاً لكثير من الباحثين في تاريخ الحرارة أو حتى في تعليمية العلوم الفيزيائية. ولذلك ما زال إلى يومنا هذا، يُنظر إلى الحرارة دوماً بمظاهرها المزدوجة: الكالوري والطاقيوي.

- المظاهر الكالوري، الذي يعتمد على المقاربة التجريبية والتي تتجه على العموم نحو القياسات كما تبحث بصرامة أولاً عن الكمية (القيمة) المحفوظة.
- المظاهر الطaciوي، الذي يكون أكثر عرضة للبحث عن أسباب جديدة، في إطار النمذجة، التي تناول من خلالها تحقيق نتائج التجربة.

وقد ترتيب على ما سبق وجود توجهين أساسين يتمثل الأول في أصحاب النظرية المادية، ويتمثل الثاني في أصحاب النظرية الميكانيكية أو الحركية كما تسمى عند البعض.

1.1.1. النظرية المادية:

هي النظرية التي ترجع إلى العصور القديمة، كما ذكرنا من قبل (أرسطو، لوكريوس، أفلاطون) ثم ظهرت في القرن السابع عشر، وكان من أهم أتباعها (جيльт / Gilbert)؛ (غاليلي / Galilée)؛ (غاساندي / Gassendi)؛ (بويل / Boyle)؛ حيث تلقت المحتوى العلمي من نظرية فلوجيستون في حدود 1720 م من طرف (لافوازييه / Lavoisier)، (بيشر / Becher)،

الكافية لكي نحس؛ لأن مصطلح الحرارة يرتبط باللمس" (أقابرا، 1985 ص. 4).

كما ذُكر عند (أقابرا/ Agabra)، فإن هالبفاكس يرى هنا نظرية درجة الحرارة بدلاً من نظرية الحرارة وهذا قد لا يبدو واضحاً، وبصيف، من جانبنا، نعتقد أنها نظرية "حرارة الإحساس" التي تتعلق بالطبع بدرجة الحرارة، وكذلك بالعديد من المقادير (الكميات) الفيزيائية الأخرى، "درجة الحرارة ما هي إلا واحدة فقط من المتغيرات المعقّدة" ولذلك فالإحساس لا يمكن أن يوفر، حتى تحديد درجات حرارة بسيطة، عند التعامل مع الأجسام من موادٍ وكتل مختلفة. وبالتالي صيغة نظرية ديكارت توحى بعدم التّمايز بين مفهومي الحرارة ودرجة الحرارة. وعليه فإن النظريات الميكانيكية، لا تزال عاجزة عن ترك المجال الكيفي الوصفي، على الرغم من أنها كانت الاعتقاد السائد في الأوساط العلمية باستمرار في القرن الثامن عشر.

2.1. الانتقال من الكيفي الوصفي إلى الكمي:

إن الانتقال من الكيفي الوصفي إلى الكمي حسب ما ورد عند (أقابرا/ Agabra) هو الذي سمح ببناء المفاهيم كمياً، ونحن ندرك أخيراً أن التّبريد السريع للكرات، على سبيل المثال، لا يعتمد فقط على درجة الحرارة والسطح الخارجي للكرات، كما ادعى من قبل نيوتن، ولكن تتعلق أيضاً بالمادة المكونة لها؛ كما أدركنا أخيراً أن كمية المادة الساخنة يجب أن تتدخل دون أن نجزم ما إذا كان هذا يعني حجمها أو كتلتها، وهكذا انطلاقاً من أفكار بسيطة التركيب عن درجة الحرارة والكتلة يمكن التّمييز بين مفهومي الحرارة ودرجة الحرارة.

وكأنها نظرية درجة الحرارة؛ كما ظهرت في المذكورة المشتركة بين (لافوازييه/ Lavoisier) و(لابلامس/ LaPlace) كوجهة نظر طاقوية، وأن الحرارة تعين كمية الحرارة أو هي كمية الحرارة؛ حيث كان الأول (لافوازييه) مع نظرية الكالوريك (الحرارية)، رغم أنه اعتبرها دوماً مائعاً، والثاني (لابلامس) مع التّنظيرية الحركية وكتباً يومها كما ذكر (روسماردو克 / Rosmorduc) "مهما يكن على كل حال، لا يمكننا إلا تكوين هاتين النّظريتين عن طبيعة الحرارة، وكما يجب علينا أن نعرف بالمبادئ المشتركة بينهما" (روسماردوك، 1987 ص. 136).

لقد تطّورت النّظرية الميكانيكية كثيراً وبالخصوص في عصر المّضة، وقد وصف (هالبفاكس 1980 Halbwachs, 1980) هذه المرحلة في مقاله "تاريخ الحرارة"، بنوع من التفصيل؛ حيث تكلم عن أهم أتباع هذه النّظرية، منهم: باكون كيلير ديكارت، هيقانز... وكان هذا ابتداء من القرن السابع عشر؛ حيث أرجع (باكون/Bacon) السّخونة إلى الحركة الدّاخلية في المادة؛ حيث كانت تجاربه مبنية على الاحتكاك بين الأجسام، وبالتالي فسر الحرارة الناتجة عن هذا الاحتكاك، على أنها نوع من الحركة وقد وجد هذا التصور أيضاً عند (كيلير/ Kepler) و(ديكارت/ Descartes) و(هيقانز/ Huygens). وكتب ديكارت حول الحرارة، كما ذكرت ذلك (أقابرا/ Agabra)، يقول "إثارة أجزاء صغيرة من أجسام الأرض هي التي تسعي بالحرارة (مهما . تكون إثارتها من قبل أشعة الشمس أو أي سبب آخر) وعندما تكون أكبر من المعتاد، يمكن أن تحرّك أعصاب يدنا بما فيه

كمية الحرارة، بعد أن تم تبريد هذا الجسم بنفس الدرجة... وكان يُعتقد أن هذه الإضافة الصغيرة للحرارة، خلال عملية الانصهار كانت ضرورية لإحداث ارتفاع طفيف في درجات الحرارة المشار إليها في ترمومتر موضوع في السائل الناتج..." (روسموردو克 1987، ص. 270).

وجد (بلاك/ Black) "في وقت لاحق أسباباً لرفض هذا الرأي، الذي يتناقض مع العديد من الحقائق الملاحظة، عند النظر فيها بعناية"، وقد تم تكوين هذا الرأي، من رصد دقيق للحقائق والظواهر على النحو التالي: "عند انصهار الجليد أو مادة أخرى يُعتقد أنه تحصل على كمية كبيرة من الحرارة، التي لا يمكن تصوّرها فوراً إلا عن طريق ارتفاع درجة حرارة المحرار، أي أن هناك كمية كبيرة من الحرارة تخترق المادة في هذه الحالة، من دون أن تجعلها على ما يبدو أكثر سخونة، مما يمكن أن نلاحظها باستعمال هذه الأداة (المحرار). يجب أن تُعطى هذه الحرارة إلى المادة للوصول بها إلى الحالة السائلة، ونؤكّد بأن إضافة الحرارة هي السبب الرئيسي والفوري للإسالة الناتجة".

إن واحدة من الحجج التي لفتت انتباه بلاك، هي الذوبان التدريجي والبطيء جداً للجليد: "إذا كانت إضافة صغيرة جداً من الحرارة الناتجة من الهواء في فصل الربيع كافية لتخفيف (تقليلص) الكميات الكبيرة من الثلوج والجليد التي تشكلت من خلال فصل الشتاء إلى مياه، وعندئذ يمكن للانصهار أن يحدث في بضع دقائق، وهذا يؤدي في كل مرة إلى حدوث فيضانات كارثية."، والجدير باللاحظة هنا أن

في عام 1747، أدرج (ريتشمان/ Ritchmann) الجداء: الكتلة في(x) قيمة درجة الحرارة، كقياس "احتياطي الكالوري (السعرات الحرارية)" الذي يحتوي عليه الجسم؛ حيث يتفق مع مبدأ الجمع الذي يستند على مبدأ عدم تَلَفِيَّة الحرارة (مبدأ الانحفاظ).

على الرغم، من أن الظاهرة الكاملة للتبدل الحراري، لم تكن بعد مفهومة بشكل واضح، حتى يتمكن العلماء يومها من توضيح الدور المحدد للمادة ولذلك بين (لمبرت/ Lambert) بوضوح بأن "جسمين متساويي الكتلة، ولكن من مادتين مختلفتين، يتأثران بشكل مختلف لنفس الكمية من الحرارة". وفيما بعد وضع بلاك (Black, 1760) مفهوم الحرارة النوعية: وأقرّ بأن "الزئبق لديه أقل سعة للمواد الحرارية (الكالوري) من الماء، ويحتاج إلى كمية أقل من الحرارة لرفع درجة حرارة بعدد متساوٍ من الدرجات"، أما فيما يتعلق بالمفهوم الحالي للحرارة في التغيرات الحالية، فهي تمثل صعوبات كبيرة؛ حيث، كيف يمكن أن نتصور، بأن الارتفاع في درجات الحرارة يتوقف في اللحظة التي تكون فيها الحرارة أكثر إثارة؟

كما يرجع الفضل أيضاً، إلى (بلاك/ Black, Joseph) في إدخال مفهوم الحرارة الكامنة، وهذا يعتبر تحدي لكل الأفكار التي كانت لدى جميع الفيزيائيين في ذلك الوقت. وكتب (بلاك/ Black) حسب (روسموردوك، Jean/ Rosmorduc)، عن ظاهرة الانصهار، يقول: " يحدث الانصهار على العموم، عن طريق امتصاص كمية صغيرة من الحرارة من جسم صلب بعد أن تم تسخينه إلى درجة الانصهار والرجوع إلى الحالة السائلة يحدث بنقصان طفيف جداً في

حول النّظرية الميكانيكية يمثل تقدماً كبيراً فيما يتعلق بالظاهر الطّاقوي للحرارة.

يبينما يعتبر الفيزيائيون الآخرون الحرارة نتاجة لاهتزازات غير محسوسة لجزئيات المادة فقط والفراغات الموجودة بين الجزيئات تسمح لها بالاهتزاز في كل الاتجاهات. وهذه الحركة غير المرئية هي الحرارة وبناء على مبدأ انحفاظ القوة الدافعة (الزخم/كمية الحركة)، يمكننا التّعبير عن الحرارة بهذا المعنى: الحرارة هي القوة الدافعة/الحيّة لهذه الاهتزازات، أي مجموع جداءات كتلة كل جزء في مربع السرعة.

4.1. من الكالوري إلى الطاقة:

من المؤكّد، أن أحد مصادر مفهوم الحرارة الميكانيكية يمكن في الحصول على الحرارة من التّصادمات

والحركة؛ ولقد وضّح فرانسيس باكون في عام (1620) م كما ذكرت أقابرا(Agabara) أن "في كل هذه الأمثلة، تنتج الحرارة أو تظهر فجأة في الأجسام والتي لم يتلقّها، أي لم يحصل عليها بالطرق العاديّة من خلال الاتصال مع الأجسام الأخرى، ولكن السبب الوحيد لإنتاجها، قد يكون الاحتكاك الميكانيكي أو صدمة ميكانيكية أم عنف ميكانيكي، ولكن الأكثر شيوعاً ربما، التأثير الوحيد الناتج عن القوة أو صدمة ميكانيكية على جسم، هذا هو الذي يسبب بطريقة أو بأخرى حركة هذا الجسم" (أقابرا، 1985 ص. 5).

كنا قد رأينا، بأنه يمكننا أن نفسّر هذه الظواهر كيفياً ووصفتها بالنظرية الماديّة. وبالمثل، فإن (سادي كارنو/ Sadi Carnot) في "تأملاته في القوة المحركة

هذه النّتيجة البسيطة، لم يُنطر إليها في حين من قبل جميع العلماء في ذلك الوقت.

من أجل توضيح وتحديد المفاهيم، قام بلاك بقياس كمية الحرارة التي تم امتصاصها أثناء ذوبان الجليد، واستعمال طريقة الخلائط (المزج)، أو بالعكس كمية الحرارة المنتشرة (المفقودة) من التجمد من خلال دراسة ظاهرة الانصهار الفائق، إن تساوي هاتين الكميتين ينتهي بتشكيل/باتسبيس نظام التشغيل بأكمله: الكمية الكبيرة من الحرارة المتتصنة في عملية الانصهار لم تُذمر، ولكنها تبقى مخفية وكاملة ويمكن استرجاعها تماماً عند تجميد السائل.

3.1. مزايا وعيوب النّظرية الماديّة:

تجدر الإشارة هنا، إلى أن جميع تجارب بلاك وجميع القياسات المسعرية تتفق تماماً مع النّظرية الماديّة، رغم ذلك كانت عدة نقاط يومها محل تساؤلات وانشغالات البعض. وإذا فكرنا بشكل طبيعي على أن الحرارة هي مائع، ولكن لسوء الحظ ليس للحرارة كل الخصائص، وبالخصوص تلك المتعلقة بالعطاله: وترتبط عن هذا فشل المحاولات لتسلیط الضوء على ثقل السّعرات الحراريّة، وعدم وجود الظواهر الاهتزازية قبل الوصول إلى حالة مستقرة كما هو الحال بالنسبة لغاز أو "الموائع الكهربائية" التي تمت دراستها قبل بضع سنوات.

مع ذلك، فإن القيمة العمليّة للنظرية الماديّة تكمن في المذكورة، التي قدمها لافوازييه (Lavoisier) ولابلاس (Laplace) على الحرارة في 1784 م؛ وعرضها فيها النّمودجين الميكانيكيين ورفضاً أن يختار أحدّهما وقالا: "ربما كلاهما صحيحين"، والعرض الذي قدماه

بارداً أي من حيث السخونة (الحرارة) أو البرودة كما أن علم الحرارة مهم لفهم الظواهر الطبيعية والأجهزة التقنية والآلات المختلفة في الحياة العملية.

كما ينبغي الاهتمام بفرع الحرارة في دروس الفيزياء لفهم الحياة على كوكب الأرض، الذي نعيش عليه والذي يحتاج إلى وجود التيار الحراري الآتي من الشمس حيث تحدد عن طريقه تغيرات حالة الطقس والجو وكذا التحولات الطبيعية لحالة المادة وتغيرات حالة الماء الفيزيائية في الطبيعة التي تحدث على الكره الأرضية بسبب هذا التيار الحراري. وكما توجد أيضاً آلات في الحياة العملية تشتمل باستعمال قوانين علم الحرارة مثل محرك السيارة والتربينات البخارية كما في محطات توليد الكهرباء والمضخات الحرارية وفي الثلاجات.

كما أن الاستهلاك غير المفيد على شكل حرارة وكذا الوقاية منها في المنازل يمكن وصفه وتفسيره كمياً عن طريق (بواسطة) علم الحرارة، وفي مجال الكيمياء تلعب الحرارة أيضاً دوراً مهماً في حدوث التفاعلات الكيميائية، ولكن لا يمكننا معالجة مفاهيم مجال الظواهر الحرارية بدون أن نشير إلى صيغته الأولى المعروفة بالتحريك الحراري أو الديناميكا الحرارية أو الفيزياء الحرارية.

مبدئياً يمكننا أن نميز بين التحريك الحراري ومجال الظواهر الحرارية في الفيزياء، لأن التحريك الحراري المعروف بصيغته العلمية في اللغة اللاتينية به *Thermodynamique* يشتمل في الأصل على الظواهر الحرارية، هذا المصطلح يتكون من كلمتين الأولى *Thermo* وتعني بالعربية حرارة والثانية *dynamique* وتعني بالعربية التحريك أو القوة عند

"للنار" في عام (1824) م استند في البداية على هذه النظرية.

لكن يجب أن نلاحظ هنا، أنه إذا حصلنا على العمل من الحرارة والعكس بالعكس، فإن هذه الحقائق ليست كافية للتصرّح أو القول بأن الحرارة هي مقدار طاقوي أو كما يقال إنها "الشكل المتردي للطاقة" (*la forme dégradée d'énergie*).

في إطار النظرية المادية، الحرارة، ليست عملاً مكافئاً، وإذا ما اعتمد على وجهة نظر النظرية المادية الحرارة هي مائع، والعمل هو مقدار (كمية) مجردة يساوي جداء القوة في (x) الانتقال، هذان المقدران بينهما علاقة مشتركة، تتمثل في السبيبية العكسية. مرة أخرى، المقاربة الوصفية الكيفية تعطي بشكل سريع جداً مبرراً لهذه النظريات.

2. مجال الظواهر الحرارية:

لقد شهدت الحضارة الإنسانية تقدماً وتطوراً ملحوظين عبر التاريخ وخاصة في الميدان العلمي، حيث بدأ الإنسان بالتفكير والتدبر على شكل إبداء أراء فلسفية، أعقبتها بعد ذلك بناء مفاهيم ونظريات مبنية أساساً على حقائق علمية، ومن خلال هذا التطور الحضاري خاض العلماء في عدة مسائل علمية، من بينها المفاهيم الأساسية في مجال الظواهر الحرارية.

يعتبر مجال الظواهر الحرارية من أهم فروع الفيزياء وكما تسمى أحياناً بعلم الحرارة، وانطلاقاً من هذه التسمية، يمكن أن يفهم، بأن علم الحرارة يهتم بوصف وتفسير الظواهر الحرارية مع إبراز العلاقات التي تبين حالة الجسم ما إذا كان ساخناً أو

طبعة جديدة في 2004، حيث قسم محتوى الكتاب إلى أربعة محاور أساسية: مجال الظواهر الحرارية والديناميكا الحرارية العامة، والديناميكا الحرارية الكيميائية والديناميكا الحرارية والأنثروبيا.

لقد اهتم المحور الأول "مجال الظواهر الحرارية" الذي هو موضوع دراستنا، بالدراسة الوصفية كمقاربة أولية لمعالجة الظواهر الحرارية المدعمة بالتجارب الكيفية وتم التطرق في هذا المحور إلى المفاهيم: الحرارة ودرجة الحرارة وتغيير درجة الحرارة وتحديد المميزات التي تتغير بتغييرها (الحجم الطول) وثبات درجة الحرارة (التحولات الفيزيائية للمادة) ونقل الحرارة وتوظيف مفهومي الحرارة ودرجة الحرارة في وصف وتفسير بعض الظواهر الحرارية.

عالج المحور الثاني "الديناميكا الحرارية العامة": قواعد حساب حاصل القسمة التفاضلية أمثلة بسيطة على اقتران ميكانيكي حراري، الجسم تحت ضغط من جميع الجهات، المصطلحات التقليدية طرق الحساب المعتادة...، كما عالج المحور الثالث "الديناميكا الحرارية الكيميائية": كمية المادة، الجهد (الكمون) الكيميائي، تحويلات المادة، الحد من القوانين لتخفيض كبير، تأثيرات المجالات الخارجية... وأخيراً تناول المحور الرابع "الديناميكا الحرارية والأنثروبيا": مثال ميكانيكي، مقاربة (نظريّة) أوسع (Onsager)، أمثلة أخرى...

كما أن إبراهيم شريف في كتابه "الحرارة والديناميكا الحرارية" (1963) قام أيضاً بتقسيمه إلى جزأين الجزء الأول سماه علم الحرارة ويتناول مجال الظواهر الحرارية وأدرج ضمن هذا الجزء مفهومي

البعض، ومن هنا يمكن القول أن مجال الظواهر الحرارية بمفاهيمه الأساسية مثل الحرارة ودرجة الحرارة... الخ يرتكز على "المقاربة الوصفية للظواهر أو Phénoménologique" (Approche 1988 ص 8). (عدنان مصطفى،

كما أشار إلى هذا أيضاً استاذ ريشار إيمانويل وبيلو فرانسين (Estes, R-E.; Pellaud, F, 2003) في مقالهما "نزع تصور العلم أو فضائل المقاربة الوصفية" والمقصود هنا بـ"نزع تصور العلم" هو كيف يمكن تفسير الظواهر العلمية، عندما يصعب معالجتها من وجهة نظر العلم، أي من المنظور العلمي البحث، وذلك لأنسباب تعليمية منهاجية، وهنا نحتاج بالفعل إلى مقاربة أولية "تسمح بالانتقال إلى التصور العلمي للظواهر، قد تظهر أهمية هذه المقاربة في كيفية الانتقال إلى المقاربة المفاهيمية (Approche conceptuelle) لتدريس العلوم" (ريشار؛ فرانسين 2003، ص. 119).

قد نجد بعض الأمثلة في هذا الاتجاه في منهاج مرحلة التعليم المتوسط، مثل المقاربة الأولية لتدريس الطاقة في السنة الثالثة من مرحلة التعليم المتوسط، حيث اعتمد المنهاج، كمدخل إلى السلسة الطاقوية على معالجة السلسة الوظيفة كمقاربة أولية والتي تعني استعمال ترميز خاص وألفاظ معينة وبيانات محددة تقرب الفهم وتسهل الدراسة للسلسة الطاقوية" (الوثيقة المرافقة لمناهج التعليم المتوسط 2013، ص. 338).

أكّد هذا التوجه أيضاً (جيورج جوب / Job Georg) في كتابه "العرض الجديد للديناميكا الحرارية" الذي نشره في عام (1972) وأعيد نشره في

إلى موضوع التعليم والتّلميذ، وتدرِّيس الفيزياء ليس مناسبة مقدسة يُحتَفل بها، ولا مبادرة المبتدئ للتعرُّف على أسرار الكون، ولكن يجب أن يأخذ هدفه من واقع التّلميذ كما هو فيه. وهذا يعني أن المشكلة تنقسم إلى قسمين:

- الدّوافع النفسيّة للتّلميذ، والمشاكل الفيزيائيّة التي تشكّل انشغالاته وتساؤلاته عندما كان طفلاً.
- أهداف تدرِّيس الفيزياء كملمح له عندما يكون راشداً في المستقبل.

هذا المظہران يُكونان فیزياء التّلميذ" (هالباكس، 1974، ص. 22).

قد نتفق مع هذا الرأي، لأن دروس الفيزياء تتناول على وجه الخصوص مظہرين أساسین يتمثل الأول في المظہر العلمي، ويتمثل الثاني في المظہر التعليمي المنهجي.

المقصود بالمظہر العلمي، الفيزياء المحضة التي تهتم بطرح أسئلة على الطبيعة لاستكشاف فرضيات ونظريات ومفاهيم وقوانين ومبادئ فيزيائية من جهة ووصف وتفسير وتحليل الظواهر الطبيعية بمساعدة هذه المفاهيم والقوانين ومبادئ من جهة أخرى. وترتکز طریقة العمل فھا علی التجربة والنّمذجة.

أما المظہر التعليمي المنهجي فيتمثل في درس الفيزياء، الذي يظهر في نتائج الفيزياء نفسها، على شكل فرضيات ومفاهيم ونظريات وقوانين ومبادئ فيزيائية، تعالج في عملية التعليم التعلم وهي (الفيزياء) بهذه العملية تُعتبر مادة تعليمية مثلها مثل بقية المواد التعليمية الأخرى، التي تضمنها المدرسة لتكوين الفرد تكويناً علمياً فيزيائياً، ليكون عنصراً نافعاً في المجتمع. لكن ينبغي لدرس الفيزياء ألا يقتصر فقط على معالجة الظواهر الطبيعية والحوادث الفيزيائية في

الحرارة ودرجة الحرارة والترمومترات، ويتناول الجزء الثاني الديناميكا الحراريّة وأدرج فيه قوانين الديناميكا الحراريّة (القانون الأوّل والثاني والثالث) والعلاقات والقوانين والمعادلات الخاصة بالديناميكا الحراريّة، رغم أن هذا الكتاب موجه لطلبة كلية الهندسة بجامعة الإسكندرية.

3. المشاكل التعليمية لمفهومي الحرارة ودرجة الحرارة:

نريد من خلال هذه الدراسة، أن نهتم بالمشاكل العلميّات التي تطرحها بعض المفاهيم، مثل مفهومي الحرارة ودرجة الحرارة، والتي يتم تدرِّيسها في العلوم الفيزيائيّة، وذلك انطلاقاً من اهتمامات الفيزيائيّين في علم الفيزياء، ولكن مع الأخذ بعين الاعتبار المتطلبات والشروط المختلفة التي يفرضها النّظام التّربوي مع التركيز بشكل خاص على التّلميذ.

قالت (زيمerman / Zimmermann, 1990) في هذا السياق أن "البحوث في تعليميّة العلوم الفيزيائيّة، هي بالدرجة الأولى، من مهام الفيزياء وبالتالي فالفيزيائيون هم الذين لهم الصلاحية فقط في اتخاذ القرارات المتعلقة بمحتوى التعليم. ولكن يجب عليهم الأخذ بعين الاعتبار مختلف مكونات الفيزياء الأساسية والتطبيقيّة، ونظرياتها المعرفاتيّة وكذلك متطلبات النّظام التّربوي (المدارس والتّلاميذ والمعلمين وأولياء التّلاميذ...)". (زيمerman، 1990، ص. 36).

كتب أيضاً هالباكس (Halbwachs, 1974) يقول: "... إنه حقاً من الضروري التمييز بعناية بين هدف الفيزياء - فيزياء الفيزيائيين - والمهدّف من تدرِّيس الفيزياء أو دروس الفيزياء؛ حتى وإن لم تكن هنا الحاجة لتحديد هذا، ولكن لا بد أن نشير في البداية

مبدأ التوازن الحراري، الذي يمكن التعبير عنه على التّحْوِيَّة التّالِيِّ: الأَجْسَامُ الَّتِي تَكُونُ فِي حَالَةِ الاتِّصالِ أَوْ قَرِيبَةٍ مِنْ بَعْضِهَا، بَعْدَ مَرْورِ فَتْرَةٍ زَمِنِيَّةٍ كَافِيَّةً، تَكُونُ لَهَا نَفْسُ درْجَةِ الْحَرَارَةِ.

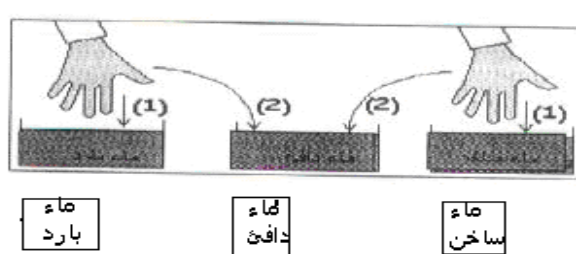
سُوفَ نَتَعَرَّفُ فِي هَذِهِ الْمَقَارِبَةِ الْمَعْرَفَاتِيَّةِ عَلَى ظَاهِرَةِ الإِحْسَاسِ أَثْنَاءِ الْلَّمْسِ، وَذَلِكَ لِتَسْلِيْطِ الضَّوءِ عَلَى الْفَرْقِ الَّذِي نَشُورُ بِهِ عِنْدِ الْلَّمْسِ مَوَادٌ مُخْتَلِفَةٌ. وَهُنَّ تَمْكِنُ مِنْ وَصْفِ وَتَفْسِيرِ هَذِهِ الظَّاهِرَةِ، يَجِبُ عَلَيْنَا أَولًا الرَّجُوعُ إِلَى الصَّفَةِ الْفَيْزِيُّولَوْجِيَّةِ لِحَاسَةِ الْلَّمْسِ، حَتَّى نَسْتَطِيعَ، أَنْ نَعْرِفَ بِأَنْ جَسْمَ الْإِنْسَانِ هُوَ أَيْضًا جَسْمٌ لِدَرْجَةِ حَرَارَةِ ثَابِتَةٍ، عَالِيَّةٌ عَمُومًا مَقَارِنَةً مَعَ دَرْجَةِ حَرَارَةِ الْمَحِيطِ، وَعَلَيْهِ يَمْكُنُ القُولُ فِي الْمُسْتَوَى الْأَوَّلِ مِنَ التَّفْسِيرِ، أَنْ أَيْ جَسْمٌ قَدْ يَكُونُ موصلًا أَفْضَلَ مِنْ جَسْمٍ آخَرَ، وَانتِقالُ الْحَرَارَةِ مِنْ جَسْمِ الْإِنْسَانِ إِلَى أَيْ جَسْمٍ فِي الْحَقِيقَةِ أَمْ رَهَامٌ فِي بَدَايَةِ الْأَمْرِ، لَأَنَّ الْجَسْمَ يَبْدوُ وَكَانَهُ بَارِدٌ.

فِي مَحاوَلَةٍ لِتَقْدِيمِ وَصْفٍ وَتَفْسِيرِ الظَّواهرِ الْمُتَعَلِّقةِ بِحَاسَةِ الْلَّمْسِ فِي مَجَالِ الْحَرَارَةِ، سُوفَ نَأْخُذُ كَمَثَالَ التَّجَرِيدَةِ التَّقْليديَّةِ الْمُتَداوَلَةِ فِي كُتُبِ الْفَيْزِيَاءِ الجَامِعِيَّةِ وَالْمَدْرَسِيَّةِ: شَخْصٌ يَضْعُ يَدَيْهِ الْيَمِنِيَّ فِي الْمَاءِ الْبَارِدِ لِبَعْضِ الْلَّحَظَاتِ، وَيَدِهِ الْيَسِرى فِي الْمَاءِ السَّاخِنِ، ثُمَّ يَضْعُ فِي نَفْسِ الْوَقْتِ كُلَّتَا يَدِيهِ فِي الْمَاءِ الدَّافِئِ. كَيْفَ يَمْكُنُ وَصْفُ الْأَحْسَاسِ الْمُخْتَلِفَةِ.

عَمَلِيَّةُ التَّعْلِيمِ وَالتَّعْلُمِ فَحَسْبٌ، بَلْ يَنْبَغِي لَهُ أَيْضًا أَنْ يَعْمَلُ عَلَى إِكْسَابِ التَّلْمِيزِ الْمَعْرِفَةِ الْعَلَمِيَّةِ الْفَيْزِيَّائِيَّةِ الضروريَّةِ لِلْحَيَاةِ الْيَوْمَيَّةِ تَمَكُّنَهُ مِنْ مَوَاصِلَةِ الْدِرْسَةِ، أَوِ التَّوْجِهِ إِلَى التَّكْوينِ الْمَهْنِيِّ وَالْتَّمَهِينِ فَيَصِبُّ تَقْنِيَاً أَوْ كَهْرِيَّائِيَاً أَوْ مِيكَانِيَّكِيَاً...الخ.

1.3. المعنى الفيزيائي لكل من مفهومي الحرارة ودرجة الحرارة:

تجدر الإشارة هنا إلى المعنى الفيزيائي لكل من مفهومي الحرارة ودرجة الحرارة، حيث تُعتبر درجة الحرارة في الفيزياء متغيراً يميز حالة نظام (مقدار) الحالة الذي يُعرف فقط الحالة اللحظية للنظام) إنها لا تعتمد على الحالات الماضية ولا على تاريخ النظام لأن هذه النظم تفترض أن أجزاء النظام هي في كل لحظة في حالة "التوازن" فيما بينها؛ في حين تمت صياغة معنى الحرارة كنمط تحويل الطاقة. وبالتالي تُعتبر كمية الحرارة التي تُقاس بالمسعرية كقياس لكمية الطاقة المحولة من نظام إلى نظام آخر، بينما في اللغة اليومية لا يُعطى معنى الحرارة بهذا المعنى، بل يُعبر عنه في كثير من الأحيان بدرجة الحرارة؛ كما يُعبر أيضاً عن درجة الحرارة بالحرارة لأننا كثيراً ما نتكلّم في الحياة اليومية، عن مفهوم الحرارة؛ ولكن نقصد به: التسخين أو التبريد أو السخونة بدلًا من الحرارة أو درجة الحرارة؛ كما تجدر الإشارة أيضاً إلى



الشكل: يوضح تجربة لوصف الإحساس بالحرارة

لا يستطيع أن يتحمل لمس الأجسام الباردة والساخنة جدا.

معالجة مفهومي الحرارة ودرجة الحرارة في درس الفيزياء ينبغي التركيز على المقاربة المادية، أي على المقاربة العيانية؛ حيث قيمة درجة الحرارة تتحدد عن طريق القراءة على المحرار؛ كما سنعتبر درجة الحرارة بأنها مقدار حالة للنظام، أما بالنسبة للحرارة فإنها شكل من أشكال الطاقة.

1.1.3. مفهوم الحرارة:

تُعد الحرارة، شكلا من أشكال الطاقة، وبالتالي إدراج مفهوم الحرارة في درس الفيزياء في مرحلة التعليم المتوسط مثلا، يعد تحضيرا لمعالجة مفهوم الطاقة في المستويات الأعلى مستقبلا حيث س يتم التعرض إلى مفهوم الطاقة بنوع من التفصيل. إن الحقيقة الهمامة، "أن الجسم لا يحتوي الحرارة مطلقا، ولكن الحرارة تعرف كحرارة فقط عندما تتتدفق من الجسم الساخن إلى الجسم البارد"، كانت دافعا للبحث عن مقدار فизيائي مكافئ للتعبير عن الحرارة على أنها شكل من أشكال الطاقة في حالة عبور أو انتقال أو تدفق وهي ظاهرة حدودية ووقتية فمثلا عند تلامس جسم ساخن مع جسم بارد، فإن الحرارة ستتدفق من الجسم الساخن إلى الجسم البارد وهذا التدفق يستمر إلى أن يحدث التوازن الحراري، أي أن هذا التدفق لا يستمر أبدا، بل يتوقف عندما يحدث التوازن الحراري بين الجسمين. إن هذا المقدار الفيزيائي المكافئ، هو طاقة على شكل حرارة أو (الحرارة على شكل طاقة)، حيث يشكل استعماله نوعا من الصعوبة التعليمية المنهجية في الدرس، ليس فقط عند المتعلمين، بل

لتقدم تفسير بسيط للظاهرة، نحاول أن نصف ما يحدث على مستوى أصابع اليد، لأن المشكلة فسيولوجية، وبالتالي سطح أصابع اليد فقط، هو الذي يخضع للتوازن، وسنحاول توضيح ذلك في الحالات التالية.

الحالة الأولى: الإحساس بالبرودة، أصابع اليد وضعت في الماء البارد، وبالتالي هناك تدفق للحرارة من الداخلي إلى الخارج والإحساس بالبرد، وبعد لحظات قليلة، على السطح، تأخذ أصابع اليد درجة حرارة الخارج.

الحالة الثانية: الإحساس بالسخونة، يتم وضع أصابع اليد في الماء الساخن، وبالتالي هناك تدفق الحرارة من الخارج إلى الداخلي والإحساس بالسخونة وبعد لحظات قليلة، على السطح تأخذ أصابع اليد درجة الحرارة الخارج، ثم يتم وضع أصابع كلتا اليدين في نفس الوقت في الماء الدافئ.

الحالة الثالثة: الماء يبدو ساخنا، أصابع اليد اليمنى سوف تكون موجودة في الماء الدافئ، الذي لديه درجة حرارة أعلى من درجة حرارة سطح جلد أصابع اليد، وبالتالي فإن الماء يبدو ساخنا.

الحالة الرابعة: الماء يبدو باردا، أصابع اليد اليسرى في الماء الدافئ، ولكن له درجة حرارة أقل من درجة حرارة سطح جلد أصابع اليد، وهكذا يبدو باردا. يمكننا أن نقول بأن أصابع اليد هي أدوات غير دقيقة، لأننا لا نستطيع تفسير المعلومات التي قدمتها لنا، ولا يمكننا بواسطتها تحديد درجة حرارة الجسم أي أن حاسة اللمس عاجزة عن تقدير درجة السخونة أو البرودة تقديرًا كميا أي عدديا، فالإنسان

الحرارة، وهذا الذي يشكل الالتباس أيضاً بين الحرارة ككمية قياس أو مقدار سعوي والحرارة كشكل من أشكال الطاقة، كما يمكن الإشارة إلى ظاهرة انتشار (انتقال) الحرارة بعدة طرق (بالتوصيل، بالحمل بالإشعاع).

في الأخير لا بد من الإشارة إلى بعض الملاحظات التي ستؤدي إلى إزالة الالتباس مستقبلاً في مرحلة التعليم الثانوي أو في التعليم الجامعي بين المفهومين "الحرارة والطاقة":

- تمثل الحرارة سبيلاً لتحويل أو نقل الطاقة، ولا تمثل طاقة ولا شكلاً من أشكالها، رغم تقديرها بنفس الوحدة التي تقدر بها الطاقة أي الجول؛
- لا وجود لمبدأ انحصار الحرارة، ولكن يوجد مبدأ انحصار الطاقة؛
- هناك فرق بين الطاقة الحرارية (وهي طاقة حركية مجهرية) والحرارة نفسها؛
- الحرارة لا تبرز إلا من خلال انتقالها من جسم إلى جسم آخر؛
- يمكن لجسم أن يعطي حرارة أو يستقبل حرارة ولكن لا يمكن أن تكون له حرارة.

إن الحرارة كمقدار فيزيائي أيضاً، هي السبب في تغيير درجة حرارة الجسم، أي أن الحرارة مقدار يمكن قياسه، وبالتالي هذا المقدار، لا يمكن أن يكون إلا "كمية الحرارة"، وحتى تؤكد فكرة التمييز بين الحرارة ودرجة الحرارة، يجب علينا أن لا نركز فقط على التجارب، التي يتم فيها تسخين الأجسام، على نفس مصدر للحرارة، مثلاً التسخين بموقن غازي، بل يجب علينا إجراء تجارب مختلفة لنبين، بأنه يمكن تسخين الأجسام بمصادر حرارة مختلفة، مثل التسخين بمكعب حديدي ساخن أو بالسوائل الساخنة أو

حتى عند بعض الأساتذة. وهذا له علاقة بتطور مفهوم الحرارة من الناحية العلمياتية (الإبستيمولوجية) حيث مر هذا المفهوم بعدة نظريات: نظرية ذبذبة الجزيئات ونظرية الكالوريك وفي الأخير نظرية الطاقة، التي أعطت تصوراً علمياً عن الحرارة، وذلك ابتداءً من سنة 1840 من طرف العالم جول (Joule)، حيث "بدأ في عمل تجارب ثبت أن الحرارة ما هي إلا شكل من أشكال الطاقة، وأنه إذا تولدت حرارة فإن ذلك يكون بقدر العمل المبذول في توليدها وأن الطاقة في جميع صورها لا تفقد ولكنها تخفي لتظهر على صورة أخرى. (إبراهيم شريف، 1963، ص. 5).

على العموم ليس من الخطأ، عندما نقول أننا أعطينا أو منحنا جسماً حرارة، بدلاً من أن نقول أعطيناه طاقة، لأن التعبيرين في كلتا الحالتين صحيحان، ما دمنا قبلنا، بأن الحرارة هي شكل من أشكال الطاقة إلا أنه ينبغي، تفادي العبارة الآتية: تقديم/منح الحرارة لجسم، بنفس مصدر الحرارة يؤدي إلى زيادة كمية حرارة هذا الجسم، وهذا هو الذي يشكل الالتباس بين الحرارة ككمية قابلة للقياس أو كمية سعوية ودرجة الحرارة كمقدار كيفي/شدي من جهة وبين الحرارة كشكل من أشكال الطاقة من جهة أخرى، لذلك ينبغي أن يتعامل المقلمون بنوع من الحذر مع هذه العبارات في دروس الفيزياء، لأنه قد يكون مفهوم الحرارة في هذه الحالة لا يعكس المعنى، الذي يحمله التلميذ معهم إلى الدرس.

كما أن هذه العملية لا تؤدي إلى زيادة درجة حرارة جسم فقط، بل أحياناً إلى نقصانها أيضاً أي أن هذا لا يعني، بأن الجسم إما أن يحتوي كثيراً أو قليلاً من

قياسها، نستعملها لوصف وتفسير الظواهر فيزيائياً أي على أنها شيئاً ما يحتويه جسم أكثر من جسم آخر، كما يظهر ذلك في التجارب الآتية:

1- زجاجة مملوئة بماء ساخن وزجاجة أخرى مماثلة لها مملوئة بماء بارد، يمكننا القول بأن الزجاجة الم المملوئة بماء ساخن تحتوي شيئاً ما أكثر من الزجاجة المملوئة بماء بارد.

2- زجاجة كبيرة فيها ماء ساخن تحتوي على شيء ما أكثر من زجاجة صغيرة فيها ماء ساخن بنفس السخونة، أي أن الماء الساخن في الزجاجتين له نفس درجة الحرارة.

في الحقيقة، إن التمكّن من استعمال مقدار فيزيائي للتعبير عن الشيء، الذي تحتويه كل من الزجاجتين، كان معروفاً ووارداً منذ القرن الثامن عشر، حيث أن هذا المقدار الفيزيائي، الذي يعبر عن هذا الشيء، أطلق عليه "الحرارة" ككمية سِعْوية أو كمقدار فيزيائي يمكن قياسه، وهذا أدى إلى حقيقة علمية هامة: وهي، أن الجسم لا يحتوي الحرارة مطلقاً، ولكن الحرارة تعرف كحرارة فقط عندما تتدفق من الجسم الساخن إلى الجسم البارد.

إن وجود العلاقة السُّبْبية بين التَّغْيِير في درجة الحرارة والحرارة بفعل تأثير الحرارة، يعني منح الحرارة للجسم أو فقد هذا الجسم للحرارة، وهذا يعني ارتفاع في درجة حرارة الجسم، عند منح هذا الجسم حرارة وفق التسلسل المنطقي: بالتسخين ← إعطاء/منح الحرارة للجسم ← ارتفاع درجة حرارة هذا الجسم. وانخفاض درجة الحرارة، عند فقد هذا الجسم للحرارة، وفق التسلسل المنطقي: بالتبديد ← يفقد الجسم حرارة ← انخفاض درجة حرارة هذا الجسم.

بضوء الشّمس... وعندئذ يمكننا أن نبين بأن "الحرارة" التي تم توفيرها، بهذه المصادر المختلفة تؤدي إلى تغيير الحالة الحرارية للجسم، التي تظهر في تغيير درجة حرارة هذا الجسم، وقيمته.

فمثلاً تسخين وعاء كبير، فيه كمية كبيرة من الماء، إلى درجة الغليان، يحتاج إلى الكثير من الحرارة وبالتالي ينبغي وضع زر آلية الطّبخ في رقم 3، حتى نستطيع توفير الحرارة لفترة طويلة، لكي يصل الماء إلى درجة الغليان، حيث يتعرض إلى علاقة كمية الحرارة بكمية المادة (الماء) والتَّغْيِير في درجة الحرارة إلى درجة الغليان، وإلى نوع المادة وطبيعتها.

كما يمكننا أيضاً التَّعرض إلى نشاطات أخرى مثل الاحتكاك الذي يؤدي في العديد من الوضعيّات إلى التسخين، أي ظهور الحرارة، على سبيل المثال الاحتكاك بين كفتي اليدين يسخن اليدين، وبالتالي فهو يؤدي إلى ارتفاع درجة حرارة الكفتين، وعند عملية الثقب بالملقط اليدوي أو الآلي أو عملية النشر بالمنشار...، يتولد الاحتكاك ولكن غالباً ما يؤدي إلى تسخين غير مرغوب فيه حيث يؤدي إلى إتلاف الأداة، أو حرق ورقة بعدسة لاماً أو مرآة مقعرة بحرارة (بضوء) الشّمس.

إن الاحتكاك يمكن أن لا يؤدي فقط إلى ارتفاع درجة الحرارة، بل أيضاً إلى تحويل الطاقة الميكانيكية إلى طاقة حرارية، وتوضح النشاطات السابقة العلاقة بينأخذ الحرارة من الجسم وارتفاع درجة حرارة هذا الجسم، أي العلاقة السُّبْبية بين الحرارة ودرجة الحرارة، وهذا قد يسمح بالتمييز بين المفهومين، وانطلاقاً من هذه النشاطات، ينبغي إيجاد مقدار فيزيائي، يناسب المصطلح المتداول في الحياة اليومية للتَّعبير عن مفهوم الحرارة، ككمية يمكن

2.1.3. مفهوم درجة الحرارة:

إن درجة الحرارة كمقارنة أولية، هي مقدار فيزيائي يشير إلى مدى سخونة أو برودة جسم، لأن هذا هو المحتوى المعرفي الفيزيائي الوارد خاصة في الكتب المدرسية، حيث يمكن تحديده أو تعينه بالمحار وينقدر بدرجة مئوية ويرمز لها بالرمض °C.

نحن في حاجة إلى المحار (ميزان الحرارة الترمومتر) لتعيين وتحديد درجة حرارة الجسم أي المحار ويبقى السؤال المطروح، هو كيفية تحديد درجة حرارة الجسم بالمحار، لأن حاسة اللمس غير كافية لتحديد درجة حرارة هذا الجسم بسبب التباين عند الإنسان في الإحساس بالسخونة أو بالبرودة لذلك نحتاج إلى أداة تسمح بتحديد وتعيين درجة حرارة جسم بمقاييس درجة الحرارة وسلم معين مثل الدرجة المئوية.

لا يمكن تحديد درجة حرارة جسم بالمحار، إلا عندما يكون المحار في حالة تماس مع هذا الجسم وفي حالة توازن حراري معه، وقد يكون التطرق إلى مفهوم درجة الحرارة بهذه المقاربة، دون الإشارة إلى العلاقة الموجودة بينها وبين الحرارة، هو أحد المؤشرات في عدم التمييز بين المفهومين، لذلك يجب الاهتمام بهذه العلاقة: الحرارة، هي السبب في تغيير درجة حرارة الجسم، وهي (درجة الحرارة) مقدار فيزيائي يمكن تحديده كما أشرنا من قبل.

تجدر الإشارة هنا بأن الدرجة المئوية ليست ترجمة للعبارة اللاتينية (Grad Celsius °C)، غراد سيلزيوس لأن الدرجة المئوية في الواقع تُعبر عن تقسيمات المسافة بين درجتي ذوبان الثلج (الجليد) وغليان الماء إلى درجات متساوية، المعروفة باسم سلم سينتigrad (Centigrade Scale) و(Celsius) اختير كوحدة لدرجة

يظهر من هذه العلاقة السببية من جهة اكتساب الحرارة من جسم وارتفاع درجة حرارته ومن جهة أخرى فقد الجسم للحرارة وانخفاض درجة حرارته يمكننا أن نعتمد هذه الفكرة كمقارنة أولية للتمييز بين المفهومين، الحرارة ودرجة الحرارة، حيث تبرز هذه المقاربة أهمية الحرارة في تغيرات الحالة للمادة أي بالإضافة إلى كون الحرارة هي سبب لتغيير درجة حرارة الجسم فهي أيضا سبب في تغيرات الحالة للمادة.

يمكن الاشارة أيضا إلى الحرارة على أنها مادة، وذلك عند مقارنتها بالبخار والهواء الساخن أو الدافئ عندما نقول مثلا "الحرارة هي الهواء الساخن" و"الحرارة هي بخار الماء" و"الحرارة تعطها مصادر الحرارة، مثل الوقود والنار"، إن مثل هذه العبارات كثيرا ما نجدتها في الحياة اليومية، وهي تؤدي إلى الغموض بين المعنيين الفيزيائيين لمفهومي الحرارة ودرجة الحرارة، وهذا يتفق، مع ما ذهب إليه بعض الفيزيائيين عبر التاريخ؛ حينما أعطوا أيضا الطبيعة المادية لمصطلحي السخونة والبرودة.

في الأخير يمكن الإشارة إلى مفهوم "الحرارة الكامنة"، وهي باختصار، الحرارة التي تستخدمن في عملية تحويل حالة المادة من حالة إلى أخرى، مثلاً من الحالة السائلة إلى الغازية عند درجة غليان (نقطة غليان) ثابتة، بالرغم من استمرار منح الحرارة للسائل، وتعنى كلمة كامن باللغة اللاتينية (latent) أي مختبئ، وتعنى أن الحرارة التي تصاف لا تؤدي إلى زيادة درجة حرارة السائل.

- الارتفاع المؤقت في درجة الحرارة، ولا يوجد أي تغيير في حالة الماء، حتى تصل درجة الحرارة إلى 100°C درجة مئوية.

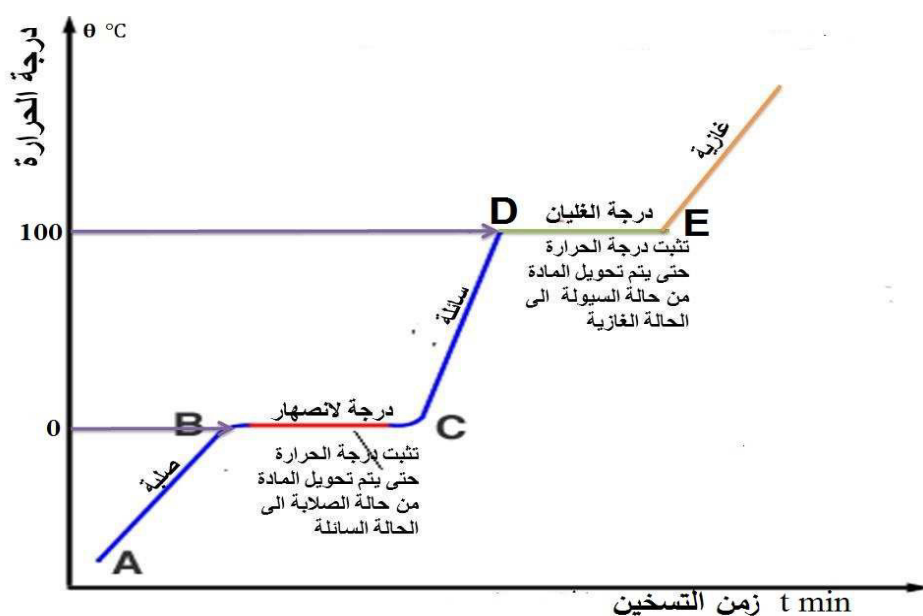
- درجة الحرارة تبقى ثابتة عند 100°C 100 درجة مئوية (درجة الغليان)، تحت الضغط الجوي النّظامي حتى يتحول كل الماء إلى بخار على الرّغم من المنح/التقديم المستمر للحرارة.

يمكن تمثيل تغير درجة حرارة الماء النّقي، على سبيل المثال، خلال الزمن على المنحنى البياني أدناه الذي يوضح التّحول الفيزيائي للماء، يصف تغيرات درجة الحرارة عندما يتّحول الماء من الحالة الصلبة (جليد) إلى الحالة السائلة وإلى الحالة الغازية، حيث نجد على هذا المنحنى كل البيانات المتعلّقة بهذا التّحول.

الحرارة نسبة إلى عالم الفلك السّويدي Anders Celsius. وهناك وحدات أخرى لتعيين درجة الحرارة: الكلفن (Kelvin) وهو السّلم المعتمد من قبل المنظومة العالميّة (النّظام الدولي للوحدات) SI وهو سلم كثير الاستعمال في الميادين العلميّة والفهريّت (Fahrenheit) وهو السّلم المعتمد في الولايات المتّحدة الأمريكية.

كثيراً ما تستعمل درجة الحرارة كمرادف للحرارة في اللغة المتداولة (اليوميّة)، مثلاً درجة الحرارة عدد يعبر عن قياس الحرارة، أو درجة الحرارة، هي مقدار عددي يعبر عن ارتفاع أو انخفاض الحرارة، في حين تحدث في حقيقة الأمر عن ارتفاع أو انخفاض درجة حرارة الجسم، وليس عن ارتفاع أو انخفاض الحرارة من الواضح هنا بأنّ مفهوم الحرارة استخدم مرادفاً لمفهوم درجة الحرارة.

كما يمكن وصف دور الحرارة وسلوك درجة الحرارة في التّحولات الفيزيائية للمواد، التي تحدث عند درجات حرارة مختلفة، مثلاً أثناء غليان الماء النّقي، يلاحظ ما يلي:



يمكن ربط مفهوم درجة حرارة الجسم بحركة الجزيئات (الجسيمات) المكونة للجسم، عند وصف مفهوم درجة الحرارة، لأن معنى مفهوم درجة الحرارة لا يكون واضحًا إلا بتوظيف حركة الجزيئات، كما نجد ذلك في كتب الفيزياء، حيث تشير إلى مفهوم درجة حرارة جسم، بأنها مؤشر على مدى حرکية جزيئاته أو ذراته، حيث يمكن رياضيًّا إيجاد معادلة تربط بين الطاقة الحركية للجزيئات أو ذرات جسم ما ودرجة حرارته مقدرة بالكلفان (Kelvin).

ينطلق غيونسولي (Giancoli) من أجل التمييز بوضوح بين درجة الحرارة والحرارة، باستخدام النظرية الحركية للجزيئات، حيث يقول "درجة الحرارة بالكلفان (Kelvin) هي مقياس لمتوسط الطاقة الحركية للجزيئات، في حين الحرارة تتعلق بنقل الطاقة من نظام إلى آخر بسبب الفرق في درجة الحرارة" (غيونسولي، 2006، ص. 655).

4. الخلاصة (Conclusion)

لقد تعرضنا في هذا البحث إلى اهتمام العلماء بالمراحل المتتالية التي مر بها مفهوما الحرارة ودرجة الحرارة عبر التاريخ، بدءاً بالمعنى الفلسفى والميتافيزيقي، حيث كان مفهوم الحرارة من ضمن العناصر الأربع المكونة للطبيعة (للكون)، وذلك قبل عدة قرون من ظهور الفيزياء الحديثة.

كما يتميز هذا البحث بمظريه العلمي الفيزيائي والتعليقى لتطور مفهوم الحرارة وارتباطه بالتطور التطبيقي لمفهوم درجة الحرارة، حيث تعرضنا في المظير الأول، إلى النظرية المادية (الفلوجستيك والكارلوريك) والنظرية الحركية التي ظهرت مع ظهور الفيزياء الحرارية أو علم التحريك الحراري؛ حيث تم

ينبغي الاهتمام بهذا التأثير المزدوج للحرارة في الدرس، كمقاربة تعليمية منهجية لمعالجة المفاهيم في مجال الظواهر الحرارية، لفهمها، لذا ينبغي التركيز في درس العلوم الفيزيائية على ارتفاع درجة الحرارة دون تغيرات حالة المادة من جهة، وعلى ثبات درجة الحرارة مع تغيير حالة المادة من جهة ثانية وبالتالي لا بد من إبراز هذا التأثير المزدوج للحرارة على مختلف ظواهر تغيير الحالة الفيزيائية للمادة: التغير في درجة الحرارة من جهة، وثبات درجة الحرارة مع تغيير الحالة الفيزيائية للمادة من جهة ثانية.

تجدر الإشارة هنا إلى مصطلحات التبخر والبخار والغليان، ظاهرة الغليان هي تحول حالة المادة من السائلة إلى الغازية عند درجة حرارة ثابتة، وظاهرة التبخر، تعني تحول حالة المادة من السائلة إلى الغازية، بينما ظاهرة البخار، هي العملية التي يتم فيها التحول الفيزيائي للمادة من الحالة السائلة إلى الحالة الغازية عند درجة حرارة أقل من درجة الغليان لهذه المادة.

قد لا يظهر الفرق بين التبخر والبخار لاستعمال المصطلحين بنفس المعنى عند الكثيرين، لأنه يصعب عليهم التركيز على العلاقة بين بخار الماء ودرجة حرارة الماء السائل أثناء الغليان ولا يمكنهم تفسير ذلك بتكون فقاعات داخل السائل، وغلي الماء وانطلاق البخار وتناقص كمية الماء، لأن الماء تحول من الحالة السائلة إلى الحالة الغازية (بخار)، مع الملاحظة، بأنه، على الرغم من استمرار تقديم الحرارة للماء تبقى درجة حرارته ثابتة وتسمى نقطة غليان الماء أو درجة غليان الماء..

والเทคโนโลยيا، الوثيقة المرافقة لمنهج مادة العلوم الفيزيائية والتكنولوجيا.

5- Agabra, Jacqueline (1985) : A travers l'histoire des sciences : Ou comment est-on passé de la chaleur sensible à la chaleur considérée comme un mode de transfert de l'énergie. Rapports de Recherche. n°3. 1NRP.

6- Estes, R-E.; Pellaud, F. (2003) : Comment déconceptualiser les sciences?, ou les vertus de l'approche phénoménologique. In A. Giordan ; J.-L. Martinand ; D. Raichvarg (éds.), Actes des XXV^{es} Journées Internationales sur l'Education Scientifique. S. ;113-120.

7- Giancoli, Douglas C. (2006): Physik, Aus Amerikanischen von Micaele Krieger-Hauwede et al., Pearson Education Deutschland, München. S. 651-683.

8- Job, Georg (2004): Neudarstellung der Wärmelehre - Die Entropie als Wärme. Neue Auflage Akademische Verlagsgesellschaft, Verlag, Frankfurt am Main, Germany.

9- Halbwachs, Francis, (1974): La pensée physique chez les enfants et le savant. Neuchâtel, le Griffon.

10-Halbwachs, Francis, (1980) : Histoire de la chaleur. Paris. CUIDE n° 17.Sept.

11- Rosmorduc, J. (1987): Histoire de la Physique, Tome 1, La formation de la physique classique. Technique et Documentation Lavoisier, Paris ; France.

12- Willer, Jörg (1990): Physik und Menschliche Bildung. Eine Geschichte der Physik und ihres Unterrichts. Verlag, Wissenschaftliche Buchgesellschaft, Darmstadt Deutschland.

13-Zimmermann-Asta Ricardo, Marie-Louise (1990): Concept de chaleur: contribution à l'étude des conceptions d'élèves et de leurs utilisations dans un processus d'apprentissage. Thèse de doctorat: Univ. Genève, no. FPSE 172.

تناول مفهوم الحرارة كشكل من أشكال الطاقة
ومفهوم درجة الحرارة كمقاييس للاضطراب الحراري
وحركة الجزيئات داخل المادة.

أما في المظير الثاني، فإننا أردنا من خالله، أن نهتم بالمشاكل التعليمية التي طرحتها مفهوما الحرارة ودرجة الحرارة من المنظور الفيزيائي، ولكن مع الأخذ بعين الاعتبار مختلف مكونات الفيزياء الأساسية والتطبيقية، وكذلك المتطلبات والشروط المختلفة التي يفرضها النظام التّربوي مع التركيز بشكل خاص على المتعلم.

إن الصعوبة في التمييز بين مفهومي الحرارة ودرجة الحرارة يرجع إلى استعمال المصطلحين في اللغة المتدالوة في الحياة اليومية بنفس المعنى، حيث نجد مصطلح الحرارة مقرورنا بدرجة، للتعبير عن مفهوم درجة الحرارة، بينما نعبر عن مفهوم الحرارة بمصطلح الحرارة. وبالرغم من هذا الالتباس من الناحية اللغوية، إلا أنه، يوجد فرق كبير بين الحرارة ودرجة الحرارة من الناحية العلمية، كما توضح ذلك كتب الفيزياء الجامعية والمدرسية.

المراجع (References)

- إبراهيم، شريف (1963): الحرارة والديناميكا الحرارية الدار القومية للطباعة والنشر فرع الإسكندرية مصر.
 - الجرجاني، علي بن محمد الشّريف (1985): كتاب التعريفات، طبعة جديدة، مكتبة لبنان، بيروت.
 - عدنان، مصطفى (1988): الفيزياء الحرارية. ديوان المطبوعات الجامعية، بن عكnoon، الجزائر.
 - وزارة التربية الوطنية (2013): الوثيقة المرافقه لمناهج التعليم المتوسط، اللجنة الوطنية للمناهج مديرية التعليم الأساسي، الرياضيات، علوم الطبيعة والحياة، العلوم الفيزيائية



النشاطية المضادة للأكسدة لمستخلصين ميثانوليين لنبات

Alkanna tinctoria L.

ثريا قماز، لخمسي عرعار، عبد الرحمن بغياني

مخبر البيوكيمياء التطبيقية: كلية علوم الطبيعة والحياة، جامعة فرhat عباس سطيف.

تاریخ الارسال: 04 جانفي 2021 / تاریخ القبول: 16 جوان 2021

الملخص (Abstract)

النشاطية المضادة للأكسدة باختبار إزاحة DPPH واختبار القدرة الإرجاعية واختبار تثبيط أكسدة β -كاروتين. أبدي المستخلص (AP) أعلى نشاطية إزاحية لجذر DPPH $IC_{50} = 0.0012 \pm 0.048$ مغ/مل). تميز المستخلص (R) بنشاطية إرجاع عالية $EC_{50} = 0.001 \pm 0.022$ مغ/مل) إلا أنها أقل من نشاطية المستخلص (R) في اختبار β -كاروتين، نشاطية جيدة في تثبيط الأكسدة 88.8% لكنه أقل فعالية مقارنة بـ BHT (98.16%). تؤكد هذه النتائج، الخصائص العلاجية التي تميّز بها نبتة *A. tinctoria* L. والتي يجب استكمالها بهدف استعمالها على مستوى العلاج السريري.

تهدف هذه الدراسة إلى تقدير محتوى مستخلصين ميثانوليين، لنبات حمایر العلك ، *Alkanna tinctoria* L. من عديدات الفينول والفلافونويات وتقدير النشاطية المضادة للأكسدة لهذين المستخلصين. تجدر الإشارة إلى أن نبات *Alkanna tinctoria* L. محدود الاستعمال في الطب الشعبي الجزائري. حضر مستخلصان ميثانولييان؛ الأول للجزء الهوائي (AP) والآخر للجذور (R). بين تقدير محتوى المستخلصين من عديدات الفينول والفلافونويات، احتواء المستخلص (R) على أعلى محتوى من عديدات الفينول (264.018 مغ مكافئ حمض الغاليك/ غرام من المستخلص) ومن الفلافونويات (7.247 مغ مكافئ quercetin / غرام من المستخلص). قيمت

1. المدخل (Introduction)

تتميز النباتات الطبيعية بمجموعة متنوعة من الأنشطة البيولوجية والدوائية. إنها خزان لمجموعة واسعة من المستقلبات الثانوية؛ بما في ذلك القلويات والفالفونويات والدبيغ والتربينيويات (Zerargui وأخرون، 2015). تدخل هذه المستقلبات الثانوية في وظائف مختلفة في النباتات، ولها أنشطة بيولوجية مختلفة، لاسيما القدرة المضادة للأكسدة وخاصة ضد الأكسدة الناجمة عن الأنواع الأكسجينية؛ السبب المباشر لأمراض مختلفة مثل الشيخوخة والسرطان (Ou وأخرون، 2019).

Alkanna tinctoria L. من بين هذه النباتات، المعروفة باللغة العربية باسم عود حواء وبالفرنسية باسم Elsharkawy، Orchanet وأخرون (2013)، وتعرف محلياً، عند بعض سكان منطقة سطيف بحمایر العلك. *Alkanna* هو جنس من النباتات العشبية التي تضم حوالي 50 نوعاً من عائلة Salimikia) Boraginacea وأخرون (2015).

عشرة معمرة يبلغ ارتفاعها حوالي 40 سم. الساقان كثيفة وخضراء رمادية وناعمة ذات شعيرات طويلة. الأوراق مستطيلة الشكل ورمحية وناعمة، بينما الأزهار ذات لون أزرق فاتح. جذورها محاطة بلحاء بلونبني محمراً داكناً (Darshan) وDoreswamy (2004)، Wichtl (2004).

أُستعملت هذه النبتة منذ عصور قديمة، إذ أن الطبيب اليوناني أبقراط ذكر أنه يمكن استعمال جذور *A. tinctoria* لعلاج الأمراض الجلدية المختلفة (Papageorgiou وأخرون 2008). تستخدم الجذور

الكلمات الدالة (Keywords)

Alkanna tinctoria L. ، عديمات الفينول ، الفلافونويات النشاطية المضادة للأكسدة.

Abstract

The aim of this study is to estimate the content of two methanolic extracts of *Alkanna tinctoria* L., of polyphenols and flavonoids, and to evaluate the antioxidant activity of these extracts. It should be noted that the use of *Alkanna tinctoria* L. in Algerian folk medicine is limited.. Two methanolic extracts were prepared, one for the aerial part (AP) and the other for the roots (R). The determination of the content of the extracts of polyphenols and flavonoids, indicate that the extract (R) contained the highest content of polyphenols (264.018 mg gallic acid equivalent / g of extract) and of flavonoids (7.247 mg equivalent of quercetin / g of extract). The antioxidant activity was assessed by the DPPH scavenging test, peroxidation inhibition assay using β-carotene and the reducing power test. The extract (AP) exhibited the highest DPPH root scavenging activity ($IC_{50} = 0.048 \pm 0.0012$ mg / mL). In the β-carotene test, the extract (R) showed significant activity in inhibiting oxidation (88.734%), but was less effective compared to BHT (98.16%). The extract (R) was characterized by a high reducing activity ($EC_{50} = 0.022 \pm 0.001$ mg / ml) which was lower than that for BHT activity ($EC_{50} = 0.017 \pm 0.0002$ mg / ml). These results confirm the therapeutic properties of *A. tinctoria* that must be explored for possible use in human therapy.

Key words: *Alkanna tinctoria* L. , polyphenols, flavonoids, antioxidant activity

: النشاط الإزاحي لجذر DPPH وتبطط فوق أكسدة الحمض لينولييك والقدرة الإرجاعية.

Materials and the طرائق (methods)

1. النبتة

جنيت نبتة *Alkanna tinctoria* من منطقة واد بوسالم ولاية سطيف. تم التعرف عليها من قبل الأستاذ بشير أوجحيم من جامعة الحاج لخضر باتنة. غسلت النبتة جيدا ثم فصل الجزء الهوائي للنبتة عن الجذور ثم قطع كلا الجزءين إلى قطع صغيرة وترك ليجف كلها في درجة حرارة الغرفة وفي الظل، طحن بعدها للحصول على مسحوق يحفظ بعيدا عن الضوء إلى حين استعماله.

2. تحضير المستخلصين الميثانوليين لنبتة

Alkanna tinctoria

حضر المستخلص الميثانولي لكلا الجزءين من النبتة: الجزء الهوائي والجذور حسب طريقة المستخلص وتبيخير الميثانول باستعمال جهاز التبيخير، حفظ المستخلص المتحصل عليه إلى حين الاستعمال.

على نطاق واسع ضد اليرقان ومحض الكلى ولها تأثير مضاد للجراثيم وقابض. كما تستخدم في علاج القرحة المعدية والالتهابات والحرق (Yousefi وأخرون، 2009 Khan وأخرون، 2015). من جانب آخر، يتم استخدام لحاء جذر *A. tinctoria* مستحضرات التجميل مثل صبغة الشعر ذات اللون الأحمر (Dighe Barve، 2016)، وكذلك في الصناعات الغذائية والمكمّلات الغذائيّة كملون طبيعي (Chaitanya Lakshmi، 2014).

يحتوي لحاء جذر *A. tinctoria* على خليط من أصباغ حمراء قابلة للذوبان في الدهون، والتي تمثل أساساً في 5,8-dihydroxy-1,4-naphthoquinone shikoning alkannin ومشتقات أخرى مثل (Papageorgiou وأخرون 2008)؛ Assimopoulou وأخرون (2009).

تستخدم نبتة *A. tinctoria* في أوروبا خصوصا اليونان وباكستان وغرب آسيا كالصين وبعض البلدان المطلة على البحر الأبيض المتوسط (Salimikia وأخرون، 2015)، إلا أنها عندنا في الجزائر، تقريبا غير معروفة كنبتة ذات خصائص علاجية.

حسب المعلومات المتوفّرة لدينا، تركّزت الدراسات حول جذور هذه النبتة، أما الجزء الخضري فالمعلومات حول خصائصه العلاجية قليلة جدا، تهدف هذه الدراسة إلى تحضير مستخلصين ميثانوليين للجزء الخضري والجذور كل على حدة، ثم المقارنة بين هذين المستخلصين من حيث المحتوى من عديدات الفينول والفلافونويدات. ثم دراسة نشاطيهما المضادة باستعمال ثلاثة اختبارات

AlCl_3 مذاب في الميثانول بتركيز 2%. ترج الأنابيب وتحضر 10 دقائق في درجة حرارة المخبر، تقامس بعدها الامتصاصية في طول موجة 430 نانومتر. يحدد تركيز الفلافونويات عن طريق من منحنى عياري ويعبر عن تركيز الفلافونويات بمكافئ الملغرام من الكرستين / غرام من وزن المستخلص الجاف.

4.2. دراسة النشاطية المضادة للأكسدة *Alkanna* للمستخلصين الميثانوليين لنسبة *tinctoria*

4.2.1. اختبار إزاحة جذور DPPH

تم اختبار التأثير الإزاحي للمستخلصين لجذر 2,2-diphenyl-1-picrylhydrazyl (DPPH) حسب Belkhiri وأخرون (2017). يعتمد هذا الاختبار على استعمال جذر DPPH ذي اللون البنفسجي الداكن والذي يتتحول إلى اللون الأصفر عند إزاحته (إرجاعه) بواسطة المركبات المضادة للأكسدة، مما يؤدي إلى انخفاض الامتصاصية عند طول موجة 517 نانومتر. تحضر 50 ميكرولتر من عدة تراكيز من المستخلص مع 1250 ميكرولتر من محلول PPH الميثانولي بتركيز 0.004 %. بعد 30 دقيقة من الحضن في الظلام تقامس الامتصاصية عند طول موجة 517 نانومتر. أستعمل BHT كمضاد أكسدة مرجعي وتم حساب نسبة إزاحة جذر DPPH كما يلي:

$$\% = [(A_C - A_S) / A_C] \times 100$$

A_C : امتصاصية محلول DPPH;

A_S : الامتصاصية في وجود المستخلص؛

2.3. تقدير المركبات الفينولية والفلافونويدية للمستخلصين الميثانوليين لنسبة *Alkanna tinctoria*

3.1. تقدير عديدات الفينول الكلية

تم تقدير عديدات الفينول الكلية بطريقة Folin-Ciocalteau (Bentaher Ciocalteau 2016). يتكون الكاشف Folin-Ciocalteau من حمض الفوسفوموليبيديك وحمض الفوسفوتانغستيك تحدث عملية الأكسدة بين الكاشف والمجاميع الفينولية في وسط قاعدي ويؤدي ذلك إلى ظهور لون أزرق تقامس شدته بجهاز التحليل الطيفي. يتم وضع 100 ميكرولتر من كلا المستخلصين في أنبوب الاختبار، يضاف لها 500 ميكرولتر من Folin-Ciocalteau (مخفف 10 مرات). بعد 4 دقائق من الحضن، يضاف 400 ميكرولتر من كربونات الصوديوم Na_2CO_3 7.5 %. بعد مرور ساعة ونصف من الحضن في الظلام في درجة حرارة المخبر، تقامس امتصاصية الخليط في طول موجة 765 نانومتر. يحدد تركيز عديدات الفينول عن طريق منحنى عياري ويعبر عن تركيز عديدات الفينول بمكافئ الملغرام من الحمض غاليليك / غرام من وزن المستخلص .

3.2. تقدير الفلافونويات

تم تقدير محتوى المستخلص للفلافونويات بطريقة كلوريـد الألمنيوم AlCl_3 Boussoualim (2015). تتكون رابطة قوية بين AlCl_3 وجذر OH للفلافونويات ينتج عنها مركب أصفر عالي الامتصاصية عند طول موجة 430 نانومتر. عملياً، يضاف 500 مل من المستخلصين إلى 500 مل من

إلى الأصفر، تقام شدة اللون بجهاز التحليل الطيفي عند طول موجة 490 نانومتر. تقوم مضادات الأكسدة بإزاحة الجنور الحرة الناتجة عن أكسدة حمض اللينولييك، يؤدي إلى حماية β -carotene (Kartal وآخرون، 2007). يذاب 0.5 مغ من β -carotene في 1 مل من الكلوروفورم فيضاف له 25 ميكرولتر من حمض اللينولييك و 200 مغ من Tween 40 يمزج هذا الخليط جيدا ثم يتم تبخير الكلوروفورم في جهاز التبخير في 40°C، تضاف 100 مل من الماء المقطر المشبع بالأكسجين. يمزج 2.5 مل من المستحلب مع 350 ميكرولتر من المستخلص الميثانولي 2 مغ/مل تكرر العملية مع BHT كشاهد موجب والميثانول كشاهد سالب. يحضر المزيج في الظلام وتقرأ الامتصاصية عند طول موجة 490 نانومتر وذلك خلال الأذمنة 0 سا و 1 سا و 2 سا و 3 سا و 4 سا و 6 سا و 12 سا و 24 سا و 48 سا. تحسب النشاطية المضادة للأكسدة للمستخلصين عند 24 ساعة حسب العلاقة التالية:

$$AA\% = A_s / A_{s0} \times 100$$

A_{s0} : الامتصاصية في وجود المستخلص في الزمن 0 ساعة؛

As: الامتصاصية في وجود المستخلص.

2.5. التحليل الإحصائي

يعبر عن كل القيم المحصل عليها بالمتوسط الحسابي (M) ± الانحراف المعياري (SD). عموما، حلت النتائج إحصائيا عن طريق اختبار ANOVA متبعا باختبار Tukey. استعمل برنامج

تم التعبير عن النتائج بالتركيز المزيج لـ 50 % من جذر DPPH (IC_{50}).

2.4.2. اختبار القدرة الإرجاعية

يعتبر إرجاع Fe^{3+} كاشفا للنشاطية من الالكترونات والتي تمثل آلية مهمة في النشاط المضاد للأكسدة للمركبات الفينولية. تم قياس القدرة الإرجاعية للمستخلصين باستعمال طريقة Bencheikh وآخرون (2016) . يمزج 0.2 مل من المستخلص بتراكيز مختلفة مع نفس الحجم من محلول المنظم (0.2 مولر، $pH = 6.6$) و 0.2 مل من $K_3Fe(CN)_6$ بعد الحضن لمدة 20 دقيقة في درجة حرارة 50°C لإرجاع ferricyanide، يضاف 0.2 مل من حمض ferrocyanide، يضاف (%) 1 Trichloroacetic عملية طرد مركزي بسرعة 3000 دورة/دقيقة لمدة 10 دقائق. يؤخذ 0.4 من الجزء الطافي ويضاف له 0.4 مل من الماء المقطر و 0.08 مل من $FeCl_3$ (% 0.1)، تقرأ الامتصاصية عند طول موجة 700 نانومتر لتقدير كمية ferric ferrocyanide المتشكل.

2.4.3. اختبار β -carotene / حمض اللينولييك

تم تقدير النشاطية المضادة للأكسدة للمستخلصين بواسطة اختبار β -carotene / حمض اللينولييك (Bouaziz وآخرون، 2015). ينتج عن أكسدة حمض اللينولييك جذور البيروكسيل، تؤدي هذه الجنور الحرة إلى أكسدة β -carotene، مما يؤدي إلى تغيير اللون من الأحمر

من حمض الغاليك لكل غرام من المستخلص، أظهرت النتائج أن مستخلص الجزء الهوائي يحتوي على 31.88 ± 94.11 مغ مكافئ حمض الغاليك/غ بالمقارنة مع مستخلص الجذور الذي يحتوي على 234.83 ± 72.22 مغ مكافئ حمض الغاليك/غ، نلاحظ أن كمية عديدات الفينول في الجذور أكبر منها في الجزء الهوائي.

تم تطبيق طريقة AlCl_3 لتقدير الفلافونيدات باستعمال quercetin لتحديد المحنى العياري، يتم قياس كمية هذا المعدن لونيا وكلما كانت كمية المعدن أكبر كلما كانت الامتصاصية في 430 نانومتر أعلى. يعبر عن النتائج بعدد ملغرمات المكافئة لـ quercetin لكل غ من المستخلص، أظهرت النتائج أن مستخلص الجزء الهوائي يحتوي على 2.45 ± 6.61 مغ مكافئ quercetin/غ من المستخلص وبمقارنته مع مستخلص الجذور الذي يحتوي على 1.75 ± 7.4 مغ مكافئ quercetin /غ من المستخلص، نلاحظ أنه لا يوجد اختلاف في المحتوى من الفلافونيدات (الجدول).

الجدول : مردود مستخلص الجزء الهوائي والجذور لنبتة *Alkanna tinctoria* ومحتواهما من عديدات الفينول والفلافونيدات.

في رسم المحننات Graphpad Prism v.5.0 والتحليلات الإحصائية.

3. النتائج والمناقشة (Discussion)

3.1. استخلاص وتقدير المركبات الفينولية والفلافونويدية للمستخلصين الميثانوليين لنبتة *Alkanna tinctoria*

تم الاستخلاص باستعمال الميثanol النقي 98 %، يسمح هذا باستخلاص عديدات الفينول والفلافونيدات وللزيادة في مردود الاستخلاص دامت عملية التقطع 7 أيام ثم تكرر عملية الاستخلاص مرتين آخرين. تميز مستخلص الجزء الهوائي (AP) بلون أخضر وبقואم لزج، في حين تميز مستخلص الجذور (R) بلون أحمر وبشكل مسحوق. قدر مردود الاستخلاص للجزء الهوائي وللجذور بـ 7 % و 8.28 % على الترتيب.

عموماً، يعتمد مردود الاستخلاص على طبيعة المادة النباتية وأصلها ومحتها من الرطوبة وحجم جزيئات أنسجة النبات وطول فترة الاستخلاص ونسبة المذيب / العينة (نسبة العينة إلى محلول الاستخلاص) والمذيب المستخدم للاستخلاص؛ يسمح الميثanol باستخلاص أكبر عدد ممكن من المركبات Tiwari وآخرون (2011).

تم تطبيق طريقة Folin-Ciocalteau لتقدير عديدات الفينول الكلية باستعمال حمض الغاليك لتحديد المحنى العياري، تتميز هذه الطريقة بسهولة وفعاليتها. تم التعبير عن المحتوى الفينولي في المستخلص بعدد الملغرمات المكافئة

المستخلص	المردود %	العنصر	الجراء الم Hanna
R	8.28	40.6 ± 264.83	الجذور
AP	7	31.88 ± 94.11	الجزاء المائي

للأمراض ، والإصابات ، وتلوث الهواء وكذلك التعرض لدرجات حرارة عالية. المتطرفين (Treutter، 2006).

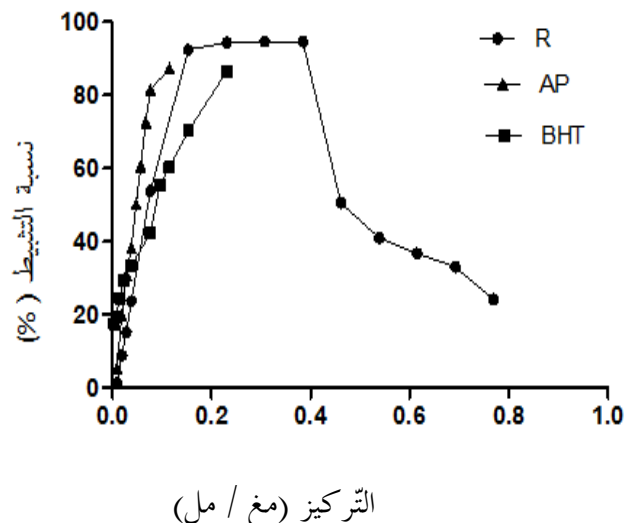
2.3 دراسة النشاطية المضادة للأكسدة لمستخلصي نبتة *Alkanna tinctoria* بذور DPPH

تم تقدير التأثير الإزاحي للمستخلص عن طريق اختبار DPPH الذي يعتبر من أكثر الاختبارات استعمالاً وفعالية في تحديد التأثير المضاد للأكسدة للمركبات الفينولية والمستخلصات الباتية حيث أن درجة التّغيير من اللون البنفسجي إلى اللون الأصفر يرتبط بالتركيز المختلفة للعينات، تفاصيل الامتصاصية في طول موجة 517 نانومتر، حيث تتناقص الامتصاصية كلما ارتفع تركيز المستخلص. أظهرت النتائج أن المستخلصين لهما القدرة على إزاحة جذر DPPH بشكل يتناسب طردياً مع تركيزهما (شكل 1).

حسب Ozer وأخرون (2010)، يحتوي المستخلص الميثانولي لجذور *Alkanna tinctoria* على عديدات الفينول بمعدل 0.46 ± 58.56 مع مكافئ حمض الغاليك / غ من المستخلص وعلى الفلافونويدات بقيمة 0.36 ± 24.81 مكافئ quercetin / غ من المستخلص..

يختلف محتوى عديدات الفينول والفلافونويدات من حيث النوعية والكمية من نبات إلى آخر. يمكن أن يعزى ذلك إلى عدة عوامل: العوامل المناخية والبيئية والمادة الوراثية وفترة الحصاد، ومرحلة تطور النبات وطريقة الاستخلاص، كما يمكن أن يؤثر طريقة القياس الكمي أيضاً (Ebrahimi وأخرون، 2008).

يمكن أن يرتفع محتوى بعض المركبات الفينولية، بما في ذلك الفلافونويدات، أيضاً في ظل الظروف المجهدة التي تسببها الأشعة فوق البنفسجية، والالتهابات باليكروبات والطفيليات المسنة

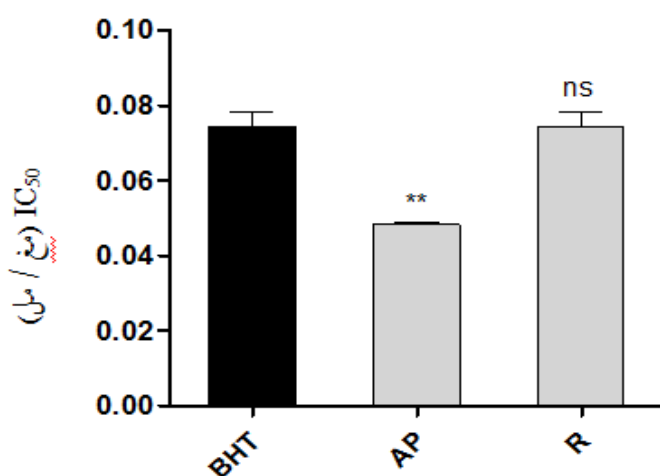


مثل الفيتامين C وذلك عند اختباره بتراكيز عالية (Rahal وآخرون، 2014).

تم حساب IC_{50} للمستخلصين وهو التركيز الموفق لتثبيط 50 % من جذر DPPH وأدنى قيمة له تعكس أحسن فعل إزاحي للمركبات. يبين الشكل 2 قيم IC_{50} لكلا المستخلصين وبـBHT.

الشكل 1 : نسبة تثبيط جذور DPPH بمستخلص نبتة *Alkanna tinctoria* بدلالة التركيز. R : الجذور ; AP: الجزء الهوائي. القيم عبارة عن المتوسط الحسابي ($n=3$).

أبدى مستخلص الجذور تأثيراً مؤيداً للأكسدة أبدى مستخلص الجذور تأثيراً مؤيداً للأكسدة (pro-oxydant)، ابتداء من التركيز 0.4 مغ / مل. لوحظت هذه الظاهرة مع مضادات أكسدة أخرى؛



الشكل 2 : قيم IC_{50} لمستخلصي نبتة *Alkanna tinctoria*. R : الجذور ; AP: الجزء الهوائي. القيم عبارة عن المتوسط الحسابي \pm الانحراف المعياري ($n=3$). ($p < 0.001$).

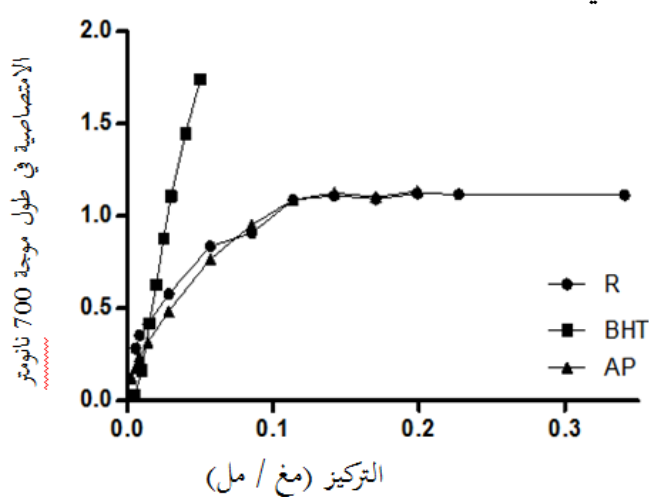
المضادة للأكسدة. تتفاعل المستخلصات التي تملك قدرة على الإرجاع مع فريسيانيد البوتاسيوم (Fe^{3+}) لتشكيل فيروسيانيد البوتاسيوم (Fe^{2+}), يتفاعل هذا الأخير مع كلورور الحديد لإعطاء مركب يمتص في طول موجة 700 نانومتر. من خلال هذه التجربة يتحول اللون الأصفر للمركبات المدروسة إلى اللون الأزرق المخضر بدرجات متغيرة حسب درجة الإرجاع للمواد المضادة للأكسدة (Belkhiri وأخرون، 2017). بين الشكل 3 أن المستخلصين لهما قدرة على إرجاع Fe^{3+} إلى Fe^{2+} , يعبر عنها بالزيادة في الامتصاصية عند طول موجة 700 نانومتر وذلك بزيادة التركيز.

أظهر مستخلص الجزء الهوائي ومستخلص الجذور قدرة على إزاحة جذر DPPH بقيمة $\text{IC}_{50} = 0.0012 \pm 0.048 \text{ مغ/مل}$ وبقيمة $\text{IC}_{50} = 0.074 \pm 0.006 \text{ مغ/مل}$ على الترتيب.

تظهر مقارنة هاتين القيمتين مع BHT ($\text{IC}_{50} = 0.001 \pm 0.087 \text{ مغ/مل}$), أنه لا يوجد فرق معنوي في حالة مستخلص الجذور. وأن مستخلص الجزء الهوائي يتميز بفعالية أكبر من تلك لـ BHT. قد يعود التأثير الإرادي المرتفع لمستخلصي *Alkanna tinctoria* إلى غناهما بالمركبات الفينولية والفالافونيدات.

3.2.2. اختبار القدرة الإرجاعية.

تعكس الخاصية الإرجاعية قدرة المركبات الفعالة على منح الالكترونات والتي تعتبر من الآليات

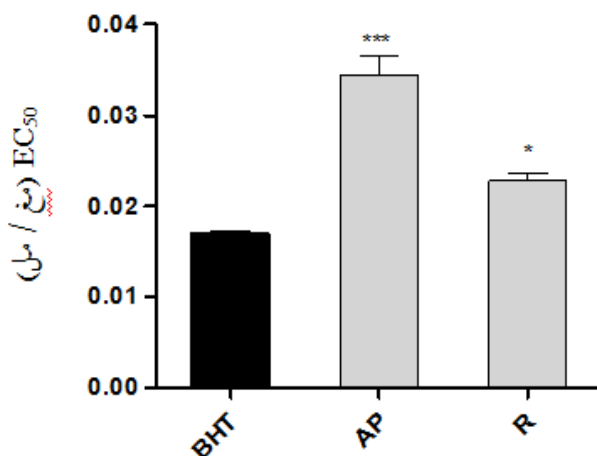


الشكل 3 : القدرة الإرجاعية لمستخلصي نبتة *Alkanna tinctoria* بدلالة التركيز. R : الجذور ؛ AP: الجزء الهوائي. القيم عبارة عن المتوسط الحسابي (n=3).

كلا المستخلصين يُرجعان Fe^{3+} إلى Fe^{2+} (شكل 3) لكن بنسبة متفاوتة. بين الشكل 4 قيم EC_{50} لكل من مستخلص الجزء الهوائي ($\text{EC}_{50} = 0.004 \pm 0.034 \text{ مغ/مل}$) ومستخلص الجذور

تم حساب التركيز الفعال (EC_{50} : effective concentration) الذي يوافق قيمة الامتصاصية 0.5، وكلما كانت قيمة EC_{50} أقل دلت على قدرة إرجاعية لمستخلص أكبر.

0.0003 ± 0.0170 مغ/مل) $= EC_{50}$) BHT (0.001 ± 0.022 مغ/مل) و EC_{50}



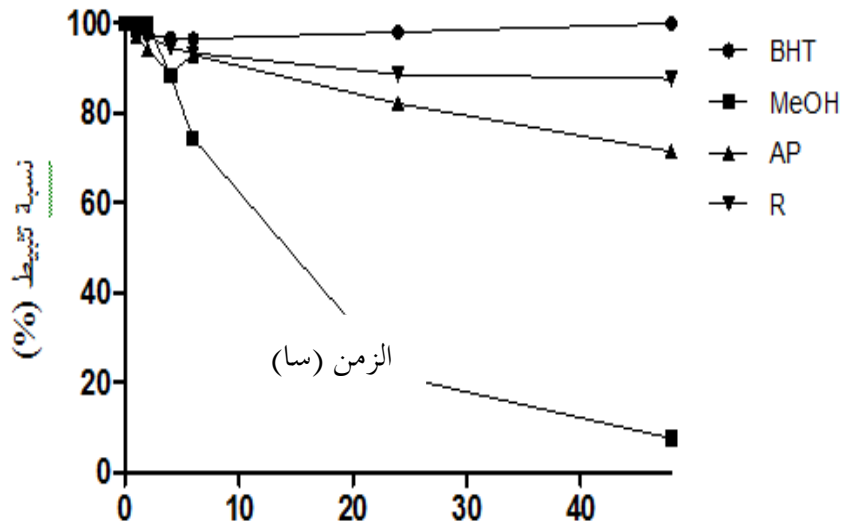
الشكل 4: القدرة الإرجاعية لمستخلصي *R. Alkanna tinctoria* (القيم عبارة عن المتوسط الحسابي \pm الانحراف المعياري، $n=3$). ($0.001 > p$)

2.3. إختبار β -Carotène / حمض لينولييك

خلال عملية الأكسدة تفقد مجموعة الميثيلان لحمض اللينولييك ذرة هيدروجين (Baghiani وأخرون، 1998)، تقوم الجذور المتشكلة بمحاجمة الروابط المزدوجة لـ β -carotene لاستعادة استقرارها مؤدية بذلك إلى فقدان اللون البرتقالي الذي تميّز به الكاروتينيدات بصفة عامة وبذلك زوال لونها وانخفاض امتصاصيتها عند طول موجة 490 نانومتر. تبيّن نتائج حركيّة التثبيط (شكل 5) قدرة المستخلصين على تثبيط أكسدة β -carotene لكن بنسب مختلفة خلال 48 ساعة.

عند المقارنة بين قيم التراكيز الفعالة للمستخلصين وBHT؛ تبيّن أن الفرق بين مستخلص الجذور وBHT معنوي ($* > p > 0.001$). تعكس القدرة الإرجاعية إمكانية منح الإلكترونات وبالتالي القدرة على إبطال مفعول الجذور الحرة. قد تعود القدرة الإرجاعية للمستخلص إلى وجود المركبات الفينولية (Djidel وأخرون، 2013).

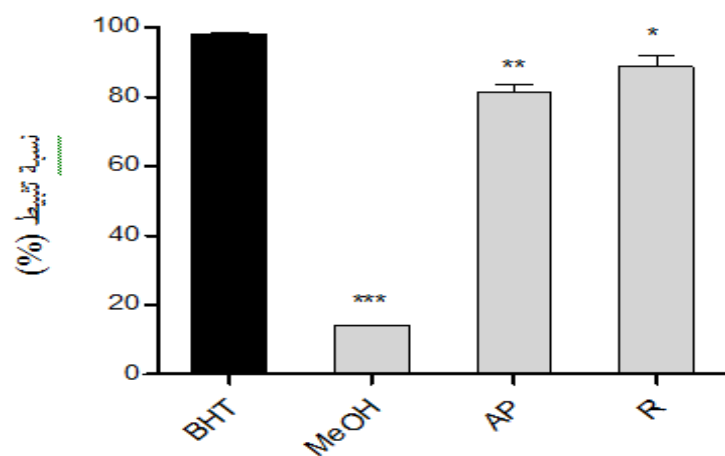
تجدر الإشارة إلى كون المستخلصات الحاوية على مركبات قطبية (مثل المستخلصات المحضرة بالماء أو الميثanol) تُظهر نشاطاً مضاداً للأكسدة معتبراً. نظراً لخصائصه غير القطبية، يتميّز الزيت الأساسية لجذور *Alkanna tinctoria* *Ozer* بنشاط مضاد للأكسدة ضعيف (Ozer وأخرون، 2010).



الشكل 5 : قدرة مستخلص *Alkanna tinctoria* على تثبيط اكسدة β -carotene بدلالة الزمن. R : الجنور ؛ AP: الجزء الهوائي. (القيم عبارة عن المتوسط الحسابي \pm الانحراف المعياري $n=3$).

اللينولييك لكل من مستخلص الجزء الهوائي للنبتة ومستخلص الجنور وBHT.

يبين الشكل 6 نسب النشاطية المضادة للأكسدة بالنسبة لاختبار β -carotene / حمض BHT.



الشكل 6 : نسب التثبيط لمستخلصي *Alkanna tinctoria* عند 24 ساعة باستعمال طريقة β -carotene / حمض اللينولييك. R : الجنور ؛ AP : الجزء الهوائي ؛ MeOH : شاهد سالب. (القيم عبارة عن المتوسط الحسابي \pm الانحراف المعياري، $n=3$) . $(0.001 > p)$

خلاصة (Conclusion)

وفقاً لنتائج هذه الدراسة، أبدي المستخلصان الميثانوليان لـ *Alkanna tinctoria* نشاطاً مضاداً للأكسدة معتبراً. تميز مستخلص الجزء الهوائي بأعلى نشاطية إزاحية لجذر DPPH، في حين أظهر مستخلص الجنور قدرة إرجاع عالية ونشاطية معتبرة في تثبيط أكسدة الليبيدات. قد تعود هذه النشاطيات إلى محتوى المستخلصين من عديدات الفينول والفلافونويديات.

المراجع (References)

Abdelouhab, K., Aouachria, S., Guemmag, T., Charef, N., Baghiani, A., Louaileche, H., and Arrar, L. (2019). Comparative study of the polyphenol content related-antioxidant and anti-inflammatory activities of methanolic extracts from different parts of *Hertia cheirifolia*. Intern J Pharmac Res., 11 (4): 209-215.

Assimopoulou, A. N., Sturm, S., Stuppner, H., Papageorgiou, V. P. (2009). Preoperative isolation and purification of alkannin/shikonin derivatives from natural products by high-speed counter chromatography, Biomed. Chromatogr., 23(2): 182-198.

Baghiani A., Boumerfeg S., Adjadj M., Ameni J., Djermouni M., Khelifi-Touhami F., Charef N., Khennouf S. and Arrar L. (2011). Antioxidants, free radicals scavenging and xanthine oxidase inhibitory potentials of *Ajuga iva* L. extracts. Free Radic Antioxid. J. 1(4): 21—30.

Barve, K., Dighe, A. (2016). Hair Colours/Dyes, The chemistry and application of sustainable natural hair products, Springer, United States, pp. 45-50.

Belkhiri F., Baghiani A., Zerroug M.M. Arrar L.(2017). Investigation of antihemolytic, xanthine oxidase inhibitory, antioxidant and antimicrobial properties of *Salvia verbenaca* L. Aerial part extracts. Afr J Tradit Compliment Altern Med., 14(2): 273-281.

من خلال مقارنة نسب تثبيط المستخلص مع BHT الذي يعتبر من أقوى مضادات الأكسدة المنتجة صناعياً بعد مرور 24 ساعة (الشكل 6) حيث قدرت نشاطية BHT بـ 98.15 %. في حين أظهر مستخلص الجزء الهوائي نشاطية مضادة للأكسدة قدرت بـ 82.22 % ، أما مستخلص الجنور فقد تميز بنشاطية مضادة للأكسدة قدرت بـ 88.73 %. من خلال النتائج المتحصل عليها في اختبار- β -حمض الينولييك، يتضح أن هناك علاقة طردية بين محتوى المستخلص من المركبات الفينولية والفلافونويديات والنّشاطية التّثبيطية للأكسدة β -carotene. يمكن تفسير النّشاطية المضادة للأكسدة الكبيرة للمستخلصين لاحتوائهم على المركبات الأكثر قطبية حيث تملك قدرة عالية على التّثبيط وقد يعود ذلك إلى أن هذا المستخلص يجمع بين عدد كبير من المركبات المحبة والكارهة للماء لها نشاطية مضادة للأكسدة بشكل تعاوني . (2006 ، Ivanova Kyselova)

وفقاً لـ Haddadi (2005)، يبدو أن هناك عدة عوامل تتدخل في تثبيط أكسدة حمض الينولييك، وهي طبيعة مضادات الأكسدة القابلة للذوبان في الدهون أو القابلة للذوبان في الماء وتركيزها. إن قابلية ذوبان الفلافونويديات وتوزيعها بين طورين في وسط دهني- مائي تؤثر على حماية الدهون (Burda 2001، Oleszek و).

Haddadi H. (2005). Détermination de l'activité antioxydante de quelques fruits. Mémoire de magister Université de Béjaïa, p76.

Khan UA., H Rahman H., Qasim M., Hussain A., Azizllah A., Murad W., Khan Z., Anees M. and Adnan M. (2015). *Alkanna tinctoria* leaves extracts: a prospective remedy against multidrug resistant human pathogenic bacteria. BMC Complem Altern. Med., 15(127):1-6.

Kyselova Y. and Ivanova D. (2006). Correlation between the in vitro antioxidant activity and polyphenol content of aqueous extracts from Bulgarian herbs. Phytother Res., 20: 961-965.

Ou J, Wang M, Zheng J, and Ou, S. (2019). Positive and negative effects of polyphenol incorporation in baked foods. Food chem., 284: 90-99.

Ozer MS, Sarikurkcu C, Tepe B, and Can S. (2010). Essential Oil Composition and Antioxidant Activities of Alkanet (*Alkanna tinctoria* subsp. *tinctoria*). Food Sci. Biotechnol., 19(5): 1177-1183.

Papageorgiou, V., Assimopoulou, A., Ballis, A. (2008). Alkannins and shikonins : a new class of wound healing agents. Curr. Med. Chem., 15(30): 3248-3267.

Rahal A, Kumar A, Singh V, Yadav B, Tiwari R, Chakraborty S, and Dhama K. (2014). Oxidative Stress, Prooxidants, and Antioxidants: The Interplay. BioMed Res Int., 19.

Salimikia I, Yazdinezhad AR, Golfakhrabadi F, Esfahani HRM. (2015). *In vitro* antioxidant and free radical scavenging activity of four *Alkanna* species growing in Iran. Pharmacog. Res. 7 (1): 100-104

Tiwari P, Kumar B, Kaur M , Kaur G , and Kaur H. (2011). Phytochemical screening and Extraction: A Review. Intern Pharmac Sc, 1: 98-106.

Treutter, D. (2006). Importance des flavonoïdes dans la résistance des plantes: une revue. Lettres de chimie environnementale , 4 (3) : 147.

Wichtl, M. (2004). Herbal drugs and phytopharmaceuticals: a handbook for practice on a scientific basis, CRC press, United States.

Bencheikh D., Khennouf S., Bouaziz A., Baghiani A., Dahamna S., Amira S., Arrar L. (2016). Antioxidant and antidiabetic activities of the methanolic extract of *Olea europaea* L. leaves in streptozotocin induced diabetes in rats. Intern J Pharmacogn Phytochem Res; 8(8); 1347-1357.

Bentaher A, Khennouf S, Bouaziz A, Baghiani A, Dahamna S, Amira S, Arrar L. (2016). Polyphenols Content and Antioxidant Activities of Selected Algerian Plants Used for Gastro-duodenal Ulcers. Der Pharma Chemica. 8 : 88-99.

Bouaziz A, khennouf S, Abu zarga M., Abdalla S., Baghiani A, and Charef N. (2015) Phytochemical analysis, hypotensive effect and antioxidant properties of *Myrtus communis* L. growing in Algeria. Asian Pac J Trop Biomed; 5(1): 19-28.

Boussoualim N, Baghiani A, Krache I, Trabsa H, Kenouf S, and Arrar L. (2015). Inhibitory effects of *Anchusa azurea* extracts on xanthine oxidase activity and its hypouricemic effects on mice. Intern J Pharm Pharmac Sc., 7(8) : 195-199.

Burda S and Oleszek W. (2001). Antioxidant and antiradical activities of flavonoids. J Agric Food Chem., 49: 2774-2779.

Chaitanya Lakshmi, G. (2014). Food coloring: the natural way, Res. J. Chem. Sci., 4 : 87-96.

Darshan, S. and Dorewamy, R. (2004). Patented antiinflammatory plant drug development from traditional medicine. Phytother. Res., 18(5) : 343-357.

Djidel S, Khennouf S, Ameni D., Baghiani A, Arrar L, and Charef N. (2013). Antioxidant proprieties of *Pistacia lentiscus* L. leaves extracts. Pharmacognosy Communications, 3(2) : 28-34.

Ebrahimi, N.S., Hadian, J., Mirjalili, M.H., Sonboli A., et Yousefadi, M. (2008). Essential oil composition and antimicrobial activity of *Thymus caramanicus* at different phonological stages. Food chemistry, 110(4), 927-931.

Elsharkawy E, Elshathely M, Abdeljaleel G, Ibrahim Al-johar H. (2013). Anti-inflammatory effects of medicinal plants mixture used by Bedouin people in Saudi Arabia. Herba Pol. 59 (3): 76-87.

Yousefi R, Ghaffarifar F, Dalimiasl A. (2009). The Effect of *Alkanna tinctoria* and *Peganum harmala* extracts on Leishmania major (MRHO/IR/75/ER) *in vitro*. Iran J Parasitol., 4 (1): 40-47.

Zerargui F, Boumerfeg S, Charef N, Baghiani A, Djarmouni M, Khennouf S, Arrar L, Musa H, Abu Zarga, Mohammad SM. (2015). Antioxidant Potentials and Xanthine Oxidase Inhibitory Effect of Two Furanocoumarins Isolated from *Tamus communis* L. Med. Chem. 11:506-513.

المعلوماتية الحيوية

في تدريس العلوم الطبيعية

أ. عبد الكريم كاملي

ظهور البيومعلوماتية كعلم مستقل كان نتيجة الحاجة الماسة التي تتطلبها كثرة البيانات البيولوجية التي تم الحصول عليها.

ت تكون كلمة البيومعلوماتية أو المعلوماتية الحيوية من كلمتين:

بيولوجيا = علم الأحياء (Biology)

المعلوماتية = علم الحاسوب وتطبيقاته (Informatique) (Computer science)

علم الأحياء من تسميته هو العلم الذي يدرس الكائنات الحية من حيث الشكل والوظيفة. أي أن علم الأحياء يدرس وظائف الكائنات الحية وأسس التنوع بين الكائنات الحية الحيوانية والنباتية والكائنات الدقيقة وغيرها.

تحول علم الأحياء بدأية من منتصف القرن الماضي من علم أحياء كلاسيكي يعتمد أكثر على الوصف واللاحظة إلى علم أحياء جزيئي يهدف إلى فهم الأسس الجزيئية لوظائف وأشكال الكائنات الحية. ويقصد بالمستوى الجزيئي هو دراسة الجزيئات والتي تنحصر أساساً على دراسة البروتينات بالدرجة الأولى والأحماض النووية (ARN وADN).

والبروتينات هي جزيئات كبيرة (macromolécules) تتكون من عدد كبير من الأحماض الأمينية (يُفوق

المعلوماتية الحيوية أو البيومعلوماتية هو ميدان علمي جديد عمره لا يتعدي 30 سنة. وهو علم هجين يجمع بين علمي الأحياء (البيولوجيا) وعلم الحاسوب (المعلوماتية). كما يحتاج هذا العلم الجديد إلى علوم أخرى أهمها الرياضيات، الفيزياء والكيمياء خاصة منها الفيزياء الحيوية (البيوفizinie) والكيمياء الحيوية (البيوكيمياء).

تعريف البيومعلوماتية: هناك عدة تعريف يمكن ذكرها ومنها:

1. تنظيم واستغلال المعطيات البيولوجية باستعمال تكنولوجيا المعلومات من حواسيب وبرامج وبنوك وشبكات.
2. تطبيق تكنولوجيا المعلومات (علم الحاسوب أو المعلوماتية) في تنظيم وتحليل البيانات البيولوجية. أي أن الحواسيب تستعمل لجمع، تخزين، تحليل ودمج البيانات البيولوجية. يمكن أن يقول قائل أن هذا ينطبق على كل ميادين العلوم المختلفة ولا يقتصر على علم الأحياء. هذا صحيح لكن ما شهدته علم الأحياء من انفجار كبير في كمية المعلومات المتوفّرة لم يشهد لها علم آخر، كما أن هذه المعلومات هي ثمرة نتائج تجريبية لا يمكن استغلالها إلا بتخزينها بطريقة صحيحة وتطوير البرامج المناسبة لاستغلالها واستخراج معلومات تطبيقية منها. لذلك فإن

10 سنوات وتم استكماله في سنة 2003. كانت سرعة الاكتشافات تزداد بتطور طرق التحليل التي أصبحت مع مرور الوقت أكثر دقة وتمت بصورة آلية(Automatique).

تزايد حجم المعلومات كان في 3 ميادين: تتابع الأحماض الأمينية في البروتينات؛ البنيات الفراغية للبروتينات؛ تتابع القواعد في أنواع الجينوم؛ هذا التزايد كان واضحاً في العشريّة الأولى من القرن الحالي ويمكن توضيح ذلك من خلال الإحصائيات المتوفرة في بعض البنوك المعروفة والتي يمكن الرجوع إليها على الشبكة.

1- بلغ عدد البروتينات التي تم تحديد تتابع الأحماض الأمينية فيها يوم 6 أبريل 2019 559228 بروتين تحتوي على ما يقارب 200905869 حمض أميني وكان التزايد في حجم المعلومات كبيراً بين سنتي 2000 و 2010 (العشريّة الأولى من القرن الحالي) تنتهي هذه البروتينات إلى عدد كبير من أنواع الكائنات الحية (الإنسان والحيوان والنبات والكائنات الدقيقة).

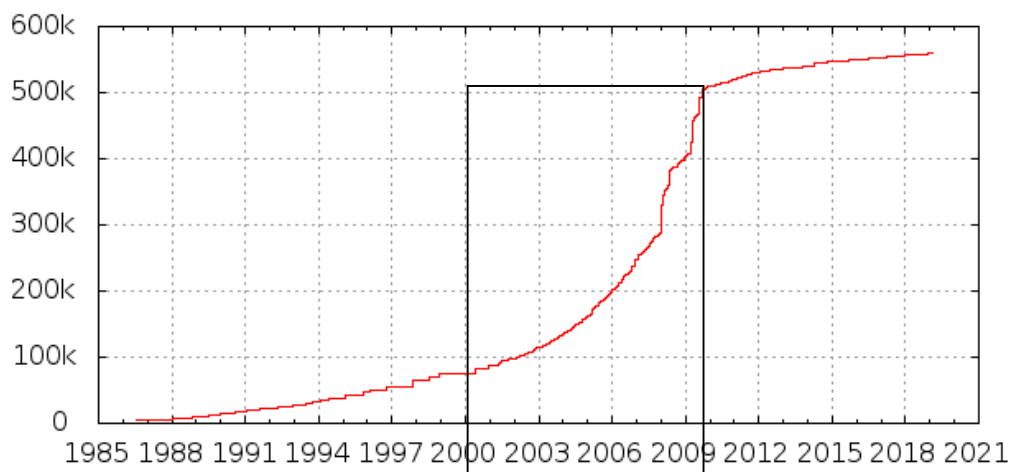
100 عادة وقد يصل إلى عدة آلاف) وهي الجزيئات المسؤولة عن وظائف الكائنات الحية. لا توجد وظيفة حيوية لا تتدخل فيها بروتينات (التنفس، الرؤيا، الحركة، المناعة.... إلخ).

بدأ عصر البيولوجيا الجزيئية في خمسينيات القرن الماضي باكتشاف تتابع أول بروتين وهو الإنソولين من طرف العالم (Frederick Sanger) في سنة 1951 واكتشاف بنية الحمض الريبي النووي منقوص الأكسجين (ADN) من طرف العالمين (Watson) و(Crick) في سنة 1953 واكتشاف بنية أول بروتين (الميوغلوبين) سنة 1958 من طرف العالم John Kendrew.

تبع ذلك اكتشاف الشفرة الوراثية من طرف العالم (Marshall Nurenberg) في 1964 والأحماض النووية الريبية والآلية تركيب البروتين بعد ذلك في ستينيات القرن الماضي.

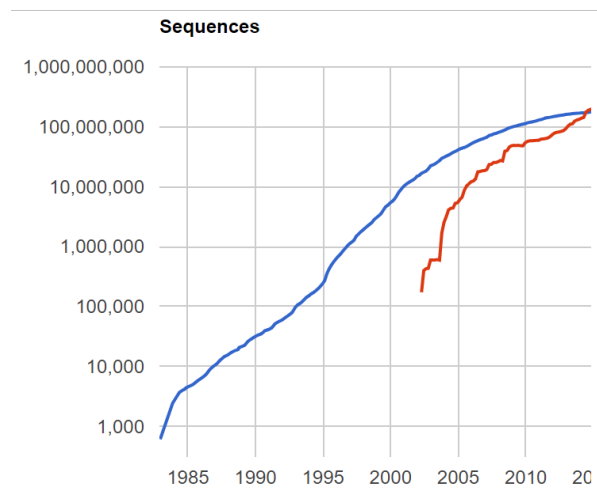
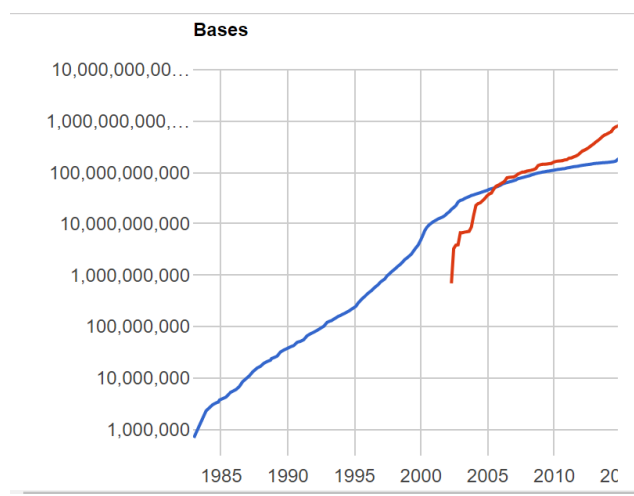
في السبعينيات تمكّن العلماء من اكتشاف طرق تسمح بتحديد تتابع القواعد في ADN مما سمح بانطلاق عمليات تحديد تتابع أنواع الجينوم في مختلف الكائنات بدأية بالفيروسات في نهاية السبعينيات ووصولاً إلى مشروع جينوم الإنسان الضخم في بداية التسعينيات والذي دام أكثر من

Number of entries in UniProtKB/Swiss-Prot



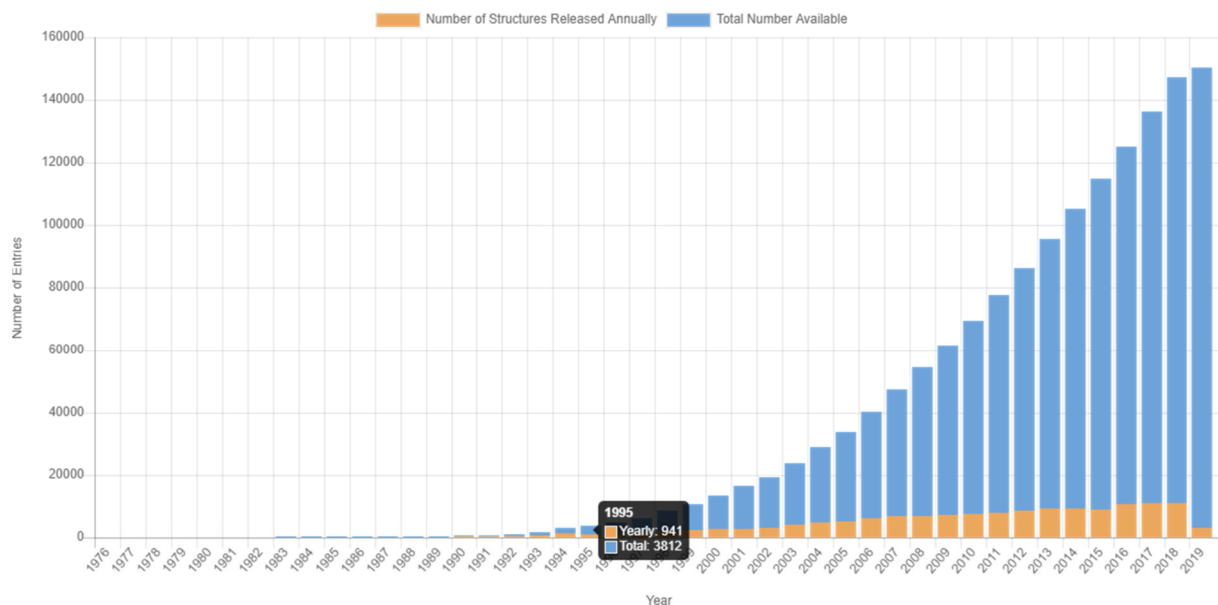
مليار قاعدة في البنك يوم 08 أبريل 2019. وهذه القواعد تابعة لأكثر من 100 مليون جزيئة ADN أو ARN.

كما تزايد عدد القواعد الازوتية في بنوك الموراثات بدرجة أكبر من الأحماض الأمينية ويمكن ملاحظة ذلك من خلال بنك الموراثات المعروف (Genbank). يشير المنحنى إلى بلوغ عشرة آلاف



ويوضح المنحنى المولاي كذلك التزايد الكبير في المعلومات منذ بداية القرن الحالي (منذ سنة 2000).

أما عدد البيانات الفراغية التي تم تحديدها إلى غاية 08 أبريل 2019 في البنك الخاص بالبيانات الفراغية المعروفة باسم Protein Data (PDB) فكان 150593 بنية فراغية لبروتين.



بهذه الطريقة ولد البيومعلوماتية التي عمرها الآن حوالي 30 سنة.

- يمكن تلخيص اهتمامات هذا العلم في ما يلي:
- الحصول على المعلومات البيولوجية ثم تخزينها في بنوك المعلومات؛
- تطوير برامج (برمجيات) لتحليل المعلومات التي تم تخزينها في بنوك المعلومات؛
- استعمال البرمجيات لتحليل المعلومات وتفسير العديد من الظواهر البيولوجية والتنبؤ (اكتشاف) وظائف أو ظواهر أو علاقات جديدة؛
- تطوير برامج لعرض البنية ثلاثية الأبعاد للبروتينات أو الأحماض النوويّة لفهم الوظائف الحيوية على المستوى الجزيئي؛

للتعامل مع هذا التزايد الكبير للمعلومات تم إنشاء بنوك البيانات (المعلومات) Databases ابتداءً من نهاية الثمانينيات من القرن الماضي وتم وضعها على شبكة الإنترنت في متناول الباحثين والمهتمين بصورة مجانية كما تم تزويدها بمحركات بحث تسمح بإيجاد المعلومات المناسبة بسرعة. كما تم بالموازاة تصميم برامج متخصصة في معالجة وتحليل هذه البيانات من طرف مختصين في الإعلام الآلي (البيومعلوماتية) وتوفير هذه البرامج للمستخدمين بصورة مجانية أو مقابل. والعمل متواصل لتحديد وظيفة هذه المعلومات أو هذه الجزيئات ويحتاج إلى وقت طويل لإكماله.

-استعمال مورثات سليمة لمعالجة مورثات مريضه (باستبدالها أو منع التعبير) عنها أصبح ممكناً تطلب هذا الميدان العلمي كذلك أشخاص مؤهلين يمكن أن نطلق عليهم البيومعلوماتيين أو .Bioinformaticiens

ولهذا الغرض تم إحداث تكوين جديد وشهادات جديدة في تخصص جديد هو البيومعلوماتية في العديد من جامعات العالم في مستوى ليسانس (الدرج) أو الماستر والدكتوراه (بعد الدرج). يتم خلال هذا التكوين إدراج مقررات خاصة بالبيولوجيا وأخرى بالإعلام الآلي. الجيل الأول من المختصين كانوا بيولوجيين مهتمين بالإعلام الآلي أو العكس. لكن الأجيال الجديدة تلقت تكويناً مزدوجاً حيث يحتاج المختصون في البيومعلوماتية إلى نوعين من التكوين.

تتلخص النظرة الحالية للتكوين في ميدان البيومعلوماتية في مستويين:

تكوين عام في أسس البيومعلوماتية لكل طلبة علم الأحياء والفروع المرتبطة به مثل العلوم الطبيعية والزراعية وغيرها في شكل مقرر واحد أو إثنين خلال سنوات التكوين حتى يتمكن طالب البيولوجيا من استغلال البيانات بصورة أفضل؛ تكوين متخصص لتخريج مختصين في البيومعلوماتية لتصميم التطبيقات وتنظيم البيانات بالإضافة إلى استغلالها بصورة أعمق. بالإضافة إلى مساعدة الباحثين غير المختصين في شكل فرق بحث متعددة التخصصات.

• مقارنة تسلسل القواعد لاكتشاف اختلاف أو تقارب المعلومات الوراثية بين أنواع الكائنات المختلفة

تحتوي بنوك المعلومات الأساسية على معلومات تخص تتبع القواعد في ADN والبروتينات بالإضافة إلى بنيات البروتينات وبيانات التعبير المورثي؛

كما تحتوي بنوك المعلومات الثانوية على معلومات ناتجة من تحليل المعلومات الأساسية ويتعلق ذلك بتصنيف البيانات وإيجاد العلاقات بين التتابعات واكتشاف الطفرات؛

• من أهم مميزات البنوك هو التنظيم الجيد للبيانات وتسهيل الوصول إليها من مختلف أنحاء العالم

• بالإضافة إلى أدوات معلوماتية لعرض البيانات في أشكال أسهل للمستعمل.

ولهذا العلم تطبيقات متعددة في عدة ميادين من بينها:

الطب الجزيئي :Molecular medicine

-الحصول على معلومات حول الجينوم سمح بإيجاد المورثات الخاصة بالأمراض أي الأساس الجزيئي للمرض الوراثي مما يسمح باقتراح علاجات أفضل أو اختبارات مبكرة للوقاية من المرض؛

-فهم الأساس الجزيئي للمرض ودراسة تأثير الدواء باستعمال الطرق البيومعلوماتية يسمح بإنتاج أدوية أكثر فعالية وخاصة تثير على أسباب المرض وليس فقط الأعراض بأقل الأعراض الجانبية الممكنة؛

البروتينات والنشاط الإنزيمي وغيرها من المواقع الأساسية في تدريس مادة العلوم الطبيعية ابتداءً من المستوى الثانوي (الثانية والثالثة ثانوي) وفي المستوى الجامعي بصورة أكثر تفصيلاً وعمقاً في عدة وحدات ومعظم التخصصات المرتبطة بالبيولوجيا والعلوم الطبيعية.

ماذا يضيف إدخال الوسائل والطرق البيومعلوماتية لتعليم مادة العلوم الطبيعية خاصة في المستوى الثانوي؟

في المستوى الثانوي يبدأ التلميذ بالتعرف على بعض أساسيات البيولوجيا الجزيئية مثل دراسة الحمض الريبي النووي منقوص الأكسجين (ADN) وأليّة التضاعف. كما يدرس أثر التغيير في المعلومات الوراثية (الطفرات) في ظهور الأمراض الوراثية.

كما يدرس التلميذ في نهاية المرحلة الثانوية كيفية تحويل المعلومات الوراثية في عملية الاستنساخ والترجمة أثناء عملية تركيب البروتين.

بالإضافة إلى دراسة الأساسيات الجزيئية لوظائف حيوية هامة مثل المناعة والتنفس والتركيب الضوئي والاتصال العصبي. حيث يقوم التلميذ بدراسة البنية الفراغية للبروتينات لغرض الوصول إلى فهم آلية عمل هذه البروتينات وبالتالي فهم الوظيفة الحيوية بدرجة أفضل.

وقد أسمى إدخال الطرق والوسائل البيومعلوماتية في توضيح العدد من الظواهر التي كانت غامضة وإجراء عمليات تحويل كمية كبيرة من المعلومات الوراثية بطريقة سريعة ودقيقة.

ما هي الوضعية في الجزائر؟

هناك أفراد مهتمون بالبيومعلوماتية في بعض الجامعات الجزائرية قد يكون بعضهم قد تلقى تكويناً متخصصاً في جامعات أجنبية. وهناك مبادرات فردية لإدراج تطبيقات بيومعلوماتية في برامج التكوين لطلبة البيولوجيا. كما تم إدراج بعض المبادئ الأساسية (برامج معلوماتية بسيطة) في السنة الثالثة من التعليم الثانوي لمادة العلوم الطبيعية.

مثال: برنامج (Anagene) لتحليل ومقارنة المعلومات الوراثية وبرنامج (Rastop) لغرض دراسة البنية الفراغية للبروتينات.

إدخال البيومعلوماتية في التعليم في الجزائر.

بالإضافة إلى أهمية البيومعلوماتية في البحث فإن لها كذلك في التعليم حيث أصبح تعلم وتعليم كل جوانب علم الأحياء يحتاج إلى توظيف الأدوات والطرق البيومعلوماتية.

تحتوي البرامج الجامعية في الجامعات المتطرفة على مختلف التخصصات المرتبطة بعلم الأحياء مثل الطب مختلف فروعه وعلم الأحياء بمختلف فروعه بالإضافة إلى العلوم الزراعية والبيطرية وغيرها على مقررات تدرس وتعلم الطلبة هذه الأدوات البيومعلوماتية والبنوك المعلوماتية المختلفة وتطبيقاتها المختلفة.

سيتم خلال المداخلة تقديم أمثلة عن أهمية استعمال الأدوات البيومعلوماتية في تعليم وتعلم مادة العلوم الطبيعية في عدة موضوعات مثل دراسة المعلومات الوراثية والطفرات وتركيب البروتين وبنية

كيمياء

دراسة تقويمية لتحصيل مفاهيم الكيمياء الفضائية عند طلبة المدرسة العليا للأساتذة بالقبة-الجزائر

حزى صالح¹ مجاجي حمزة²

¹ استاذ محاضر بالمدرسة العليا للأساتذة بالقبة الجزائر. مخبر تعليميّة العلوم الفيزيائية.

hazzi_salah@yahoo.fr

² ماستر بالمدرسة العليا للأساتذة. القبة-الجزائر-

تاریخ الارسال: 21 جانفي 2021 / تاریخ القبول: 27 افریل 2021

الفضائي، الامثال التشكيل، التخيال الدياستيريوميرية). لقد تم التعرف من خلال هذا العمل على بعض الصعوبات والالتباسات التي يعاني منها الطلبة في تحصيل هذه المفاهيم. كما تم تسجيل بعض التصورات البديلة التي طوروها خلال تحصيلهم لمفهوم التماكب الفضائي. انطلاقاً من النتائج المتحصل عليها، أدلينا ببعض الاقتراحات لتعليم هذا المحتوى التخصصي.

الكلمات المفتاحية (keywords):

التماكب، طرق التمثيل، التماكب الفضائي، التخيال، الدياستيريوميرية، الامثال، التشكيل، التصورات البديلة.

الملخص (Abstract):

في نهاية دراستهم يتوجب على الطلبة - الأساتذة، المشرفين على التخرج أن يكونوا قد شكلوا بنية مفاهيمية فعالة تعكس بصورة واضحة تحصيلهم للمعارف المستهدفة من طرف التعليم.

إن عدم تحكم الطلبة في مفاهيم الكيمياء الفضائية في الحالة الساكنة مقرونة بالقدرة على استعمال وشرح مختلف التمثيلات الفضائية قد يشكل لهم عائقاً في دراسة الكيمياء العضوية (Barlet & Plouin 1997).

نحاول من خلال هذا العمل تحليل مدى قدرة الطلبة الأساتذة للمدرسة العليا بالقبة على تحصيل المعرف المتعلقة بسجل التماكب الفضائي (التماكب

Title : La stéréochimie à l'état statique : Etude et évaluation de la compréhension conceptuelle des étudiants de l'ENS Kouba-Alger.

Hazzi Salah¹, Medjadji Hamza²

¹ MCA à l'Ecole Normale Supérieure de Kouba, Alger, Laboratoire de didactique des sciences,

hazzi_salah@yahoo.fr

² Master, Ecole Normale Supérieure de Kouba, Alger

Abstract :

Les futurs enseignants en fin de formation, devraient être construits une structure efficace de connaissance qui reflète au mieux l'appropriation des connaissances cibles fixée par l'enseignement.

Le non maîtrise des concepts de la stéréochimie en milieu statique accompagné d'une incapacité à utiliser et à expliquer les différentes représentations spatiales peut constituer un obstacle à l'interprétation de la réactivité (Barlet & Plouin 1997).

Dans ce travail nous chercherons à analyser dans quelle mesure de futurs enseignants de l'ENS Kouba ont intégré les savoirs relatifs à la stéréo-isomérie (isomérie, stéréo-isomérie,

conformation, configuration, énantiomérie, diastéréoisomérie).

Des difficultés et confusions dans l'intégration de ces concepts ont été mises en évidence. De leur incapacité à définir les concepts relatifs à la stéréo-isomérie et à expliquer les différentes représentations spatiales nous avons inférée quelques conceptions erronées et émis quelques suggestions pour l'enseignement de ce contenu disciplinaire.

Keywords :

Isomérie, stéréo-isomérie, conformation, configuration, énantiomère, dia-stéréomère, conceptions erronées.

تعقد العملية التعليمية نظراً لهذا الاختلاف في المفاهيم وتعدد طرق تمثيلها.

فما مدى قدرة الطلبة على استرجاع مختلف مفاهيم التماكب الفضائي من جهة وتوظيف تصوّرهم الذهني للتنسيق والربط بين مختلف التمثيلات من جهة أخرى إذ يعتبر هذا الرصد المعرفي ضروريًا لفهم محتوى التماكب الفضائي. إن عدم تحكمهم في هذا المدخل الأساسي، قد يكون عائقاً في دراسة الكيمياء العضوية.

يتمحور الإطار النظري للتحليل حول الاعتبارات التالية:

- اعتبارات كيميائية:

إن تطبيق الصيغ الفضائية للمركبات كوسيلة لشرح الفاعلية، يعتبر مدخلاً أساسياً لدراسة الكيمياء العضوية. حيث أن دراسة التماكب الفضائي تستلزم إدخال مفاهيم التماكب الامثلاني والتماكب التشكيلي وما ينبع عنهما من مفاهيم تتعلق بالتخايل، والدياستيريوميرية. إن عدم تحكم الطلبة في مفاهيم الكيمياء الفضائية مقرنة بالقدرة على استعمال وشرح مختلف التمثيلات الفضائية قد يكون عائقاً في دراسة الكيمياء العضوية (Barlet & Plouin 1997).

اعتبارات ديداكتيكية:

حتى هناك تحصيل مفاهيمي، يجب على الطالب أن يكون قادراً على تعريف المفهوم ثم موقعته في عقدة من عقد الشبكة المفاهيمية بطريقة منسجمة (Giordan, A. & De Vecchi, 1987).

1- المدخل (Introduction)

يعتبر تعليم الكيمياء الفضائية مدخلاً أساسياً لتدريس الكيمياء العضوية لأن دراسة فاعلية الجزيئات العضوية في كل المراحل البيداغوجية تتطلب معرفة أولية لهندسة الجزيء (Pellegrin et al., 2003). أو التماكب الفضائي الامثلاني أو التشكيلي (Barlet & Plouin 1997).

إن حل المشكلات في إطار التماكب الفضائي يتطلب معرفة مفاهيم الكيمياء الفضائية مقرنة بالقدرة على استعمال وشرح مختلف التمثيلات الفضائية.

وقد يصعب مبدئياً معرفة فيما إذا كانت أخطاء الطلبة ناتجة عن نقص معرفي لهذه المفاهيم أم هي راجعة بكل بساطة إلى عدم قدرتهم على التعامل مع طرق التمثيل وشرحها.

لقد بيّنت عدة أبحاث، أن عدم القدرة والشرح متواجدة بنسبة سائدة ضمن صعوبات الطلبة في دراسة التماكب الفضائي أثناء التعامل مع طرق التمثيل،

(Kozma et al., 2000 ; Kozma, 2003; Pellegrin, 1999; Boukhechem et al., 2011 ; Stull et al., 2012)

لقد قمنا من خلال هذا العمل بتقييم صعوبات الطلبة الناتجة عن النقص المعرفي لمفاهيم الكيمياء الفضائية المتعلقة أساساً بمفاهيم التماكب الفضائي (الامثال، التشكيل التخايل والدياستيريوميرية) وكذا عدم قدرتهم على التعامل مع طرق التمثيل (كرام، نيومن فيشر والمنظوري) التي قد

راجعة إلى عدم قدرتهم على التعامل مع طرق التّمثيل وشرحها. لقد بيّنت عدّة أبحاث، أنّ عدم القدرة والشرح متواجدة بنسبة سائدة ضمن صعوبات الطلبة في دراسة التّماكب الفضائي أثناء التعامل مع طرق التّمثيل (Kozma et al. 2000 ; Kozma, 2003 ; Pellegrin, 1999 ; Boukhechem et al. 2011 ; Stull et al. 2012).

إنّ نتائج أبحاث (Barlet et Plouin 1997) تظهر أيضاً أنّ بعض الطلبة الفرنسيين (ليسانس العلوم الفيزيائية) يجهلون الدوران الحرّ لمجموعة من الذرّات حول الرابطة البسيطة في الجزيء وما ينبع عنها من عدد لا متناه من الامثلات. إن التّعرف على جزئيات التّماكبات الفضائية الامثلية في سجل يومان، ليست أيضاً سهلة وتنبع عن نقص في عدم التّحكم لتعريف المفاهيم (Boukhechem et al., 2011).

الطلبة يعانون من إجراء عمليات الدوران للتمييز بين مختلف امثلات كرام (حالة الطلبة الأميركيين في الكيمياء العضوية، (Kuo et al., 2004).
الإشكالية:

إنّ دراسة فاعلية المركبات العضوية في كل المراحل البيداغوجية، تتطلب معرفة أولية لهندسة الجزيء والتّماكبات الفضائية الامثلية والتشكيلية. (ص. القادي وآخرون، 1992) كما أنّ حلّ المشكلات في إطار التّماكب الفضائي يتطلب معرفة مفاهيم التّماكب المستوى مقرونة بمفاهيم التّماكب الفضائي والقدرة على استعمال وشرح مختلف التّمثيلات الفضائية.

للقيام بهذا العمل وبطريقة صحيحة ينبغي على الطلبة، انطلاقاً من المعلومات المتحصل عليها من خلال مختلف الدّروس، أن يكونوا قد حقّقوا "تحصيلهم المفاهيمي" بربط مختلف المفاهيم المتواجدة ويكونون بهذا قد بنوا "بنية معرفية ذاتية" (Taber, 2005) تمكّنهم من إيصال المعرفة بطريقـة صحيحة.

لقد أظهرت الدّراسات في هذا الموضوع أن تعليم وتعلم الكيمياء الفضائية يرتكز أساساً على طرق التّمثيل، حيث أنّ مختلف هذه الطرق تمكّن من شرح مفاهيم الكيمياء الفضائية (التّماكب الفضائي الامثلاني والتشكيلي مثلاً). من المعروف أنّ ذوي الاختصاص في الكيمياء يستعملونها بأريحية، بعكس غير المختصين الذين يلاقون في غالب الأحيان صعوبات في التعامل معهم (Kozma, 2003). إنّ الدراسات قد بيّنت أنّ الطلبة يعانون في معظم الأحيان من التنسيق بين هذه الأنظمة والقيام بعملية المرور من تمثيل إلى آخر).

Bucat, B. & Mocerino, M. 2009). kozma & Russell, 1997; stieff & Mc Combs, 2006;

هذه الصّعوبات تظهر بوضوح خلال عملية التّقييم في القسم (Kozma, 2003). حتى يحقق الطلبة النّجاح في تعليمهم وحلّ مشاكل الكيمياء العضوية بصفة عامة والكيمياء الفضائية بصفة خاصة يتوجّب عليهم القيام بتطوير قدرات البناء الشّرح والتحوّل لمختلف التّمثيلات (Stull et al., 2012)

وقد يصعب مبدئياً معرفة فيما إذا كانت أخطاء الطلبة ناتجة عن نقص معرفي للمفاهيم أم هي

جمعت المعطيات بواسطة استبيان مكتوب اشتمل على أربعة أسئلة تدور حول تعريف:
(أ)-التماكب البنوي. Isomérie de constitution
(ب)-التماكب الفضائي. Stéréoisomérie
(ج)-المتخاليات. Énantiomères
(د)-الدياستيرومرات. Diastéréomeres
تمت الدراسة على 50 طالباً (السنة الخامسة) يحضرون شهادة الليسانس تخصص فيزياء-كيمياء وقد درسوا نفس مقرر الكيمياء العضوية في السنة الثالثة. هؤلاء الطلبة ينتمون إلى قطاع تكوين أساتذة الثانوي بالمدرسة العليا للأساتذة بالقبة (الجزائر). موضوع الاستبيان يخصّ المحتوى المدرس خلال الجذع المشترك علوم دقيقة.

لقد وضح الباحث للطلبة شروط الأجوبة على أسئلة الاستبيان، (إغفال الاسم عدم تنقيط الإجابة، المفاهيم الفردية، الخ). حدد زمن الإجابة بـ 30 د، علماً أنّ محتوى الاستبيان كان قد حكم من طرف أستاذ المادة بعد أن عرض على مجموعة مكونة من 10 طلبة (خارج المجموعة المعنية) للتتأكد من أنّ الأسئلة المطروحة غير غامضة وهي في متناول المستجيبين. إنّ اختيار طلبة المدرسة العليا دون سواهم أملته الظروف التنظيمية الغير مواتية للمؤسسات الأخرى.

ارتکز تحليل الأجوبة على التّصنيف انطلاقاً من الإطار المعرفي والأبحاث السابقة والمعطيات الجديدة التي تظهر في الأجوبة. من أجل كل سؤال نسجل عناصر الأجوبة المفتاحية حتى يتسمى لنا ترتيبها تحت نفس الصنف من أجل تقييم النسب والبدء في التمييز والشرح (Robert & Bouillaguet, 2002,

p28)

وقد يصعب مبدئياً معرفة فيما إذا كانت أخطاء الطلبة ناتجة عن نقص معرفي لهذه المفاهيم أم هي راجعة إلى عدم قدرتهم على التعامل مع طرق التّمثيل وشرحها أم الاحتمالين معاً؟

فرضية البحث

"إنّ صعوبة حلّ المشكلات في إطار التّمكّب الفضائي عند الطلبة هي ناتجة عن نقص معرفي لمفاهيم التّمكّب بصفة عامة مقارنة بعدم القدرة على التّمييز بين التّمكّب البنوي والتّمكّب الفضائي"

أسئلة البحث:

هل بمقدور الطلبة استرجاع التّعرifات المتعلقة بمفاهيم التّمكّب البنوي، الفضائي، المتخاليات والدياستيروميرات؟ ما طبيعة الصّعوبات التي يعانون منها في التّمييز بين مفاهيم التّمكّب البنوي ذي البعدين والتّمكّب الفضائي ذي الثلاثة أبعاد؟

2- المواد والطرائق (Methods)

طريقة جمع وتحليل المعطيات:

تناول البحث دراسة كشفية، سعينا من خلالها إلى معرفة مدى قدرة الطلبة على استرجاع سجل مفاهيم التّمكّب أو الإيزوميرية انطلاقاً من فرضية البحث.

تهدف الأسئلة إلى تقييم مدى قدرة الطلبة على تعريف مفاهيم التّمكّب البنوي والفضائي والتمييز بوضوح بين النوعين.

الذرّات) ولكن تميّز بتنظيم مختلف لترتيب ذراتها أي تختلف بطبيعة روابطها الكيميائية.

الجدول (05): تصنیف أجوبة الطلبة لتعريف التّماكب البنوي.

3- النتائج (Results)
النتائج المتعلقة بالتماكبين: المستوى والفضائي .

1.3- التّماكب المستوى

(أ) تعريف التّماكب البنوي:

التعريف التّموذجي: هي جزيئات لها نفس الصيغة المجملة (تشكل من نفس نوع وعدد

الإجابة	العدد	النسبة%
مركبات لها نفس الصيغة المجملة وتختلف في الصيغة المفصلة.	22	%44
مركبات لها نفس الصيغة المجملة وتختلف في الصيغة المفصلة أي تختلف في ترتيب الذرات في المستوى.	08	%16
مركبات عضوية تملك نفس الصيغة الكيميائية / نفس الصيغة الجزيئية وتحتفظ ببنائها المستوية/ توزيع الذرات/ موضع الوظيفة/ موضع الجذور.	10	%20
التماكب المستوى ينقسم إلى أنواع منها: موضعي، وظيفي، هيكلـي.	08	%16
عدم الإجابة.	02	%04

عشوايـاً يدلـ على النـص المعرفي لمفهوم الصـيغـ (مجملـة، جـزيـئـة، كـيمـيـائـة ... الخـ) أـمـا عدم الإجـابة فـيبقـى في حدود(%)04.

(ب)-تعريف التّماكب الفضائي:

التعريف التـموـذـجي: (جزـيـات تمـيـزـ بـنفسـ الصـيـغـةـ المـجمـلـةـ (نفسـ الذـرـاتـ) وـنفسـ التـرـتـيبـ التـسـلـسـلـيـ للـذـرـاتـ (نفسـ الرـوـابـطـ) وتـخـلـفـ بـترتـيمـهاـ فيـ الفـضـاءـ

الملاحظة المباشرة للأجوبة تظهر أن الأغلبية السـاحـقةـ (44%) من الطـلـبـةـ استـطـاعـتـ أنـ تـعـرـفـ التـمـاكـبـ البنـويـ علىـ آنهـ يـتمـيـزـ بـنفسـ الصـيـغـةـ المـجمـلـةـ ويـخـلـفـ بـالـصـيـغـةـ المـفـصـلـةـ. (16%) منـ بـينـهـمـ حـسـنـواـ هـذـهـ الإـجـابةـ بـإـضـافـةـ مـفـهـومـ "ترـتـيبـ الذـرـاتـ فيـ المـسـتوـيـ"ـ للـتـعـرـيفـ السـابـقــ.

بالـنـسـبـةـ لـأـجـوبـةـ الغـيرـ مـوـقـقـةـ الـبعـضـ مـنـهـمـ (16%) أـعـطـىـ أنـوـاعـ التـمـاكـبـ المـسـتوـيـ بدـلاـ مـنـ تـعـرـيفـهـ وـالـبعـضـ الـآـخـرـ (20%) عـرـفـ التـمـاكـبـ تعـرـيفـاـ

الجدول (06): تصنیف أجوبة الطلبة لتعريف التماکب الفضائی.

الإجابة		العدد	% النسبة
جزئيات لها نفس الروابط ولكن تختلف بموقع المتبادلات في الفضاء.		09	%18
متماکبات لها نفس الصيغة المجملة وتخالف بتشكيلها في إسقاط كرام كما في حالة التماکب الضوئي.		08	%16
ينقسم إلى متماکبات دورانية، هندسية، تشکيلیة.		11	%22
التماکب الفضائي هو نوع مقرون – مفروق.		06	%12
تمثيل الجزيئات في ثلاثة أبعاد بإسقاط كرام، فيشر ونيومان.		12	%24
عدم الإجابة.		04	%08

(ج)-تعريف المتخيلات:

يمكن تصور الإجابة النظرية الشاملة المحتملة
لتعريف المتخaliasات بــ لقطع الأجوية المجزئـة التي
ظهرت ضمن أجوية الطلبة كالتالي:

أجوبة الطلبة:

لقد جُمعت أجوبة الطلبة ضمن مختلف التصنيفات تبعاً للكلمات المفتاحية المستعملة ضمن أجوبتهم. يمكن أن تظهر في الإجابة الواحدة عدة كلمات مفتاحية. لقد حسبت مختلف النسب تبعاً للعدد الكلي للطلبة المعنيين.

اللّاحظة المباشرة للأجوبة تظهر أنّ نسبة صغيرة (18%) من الطّلبة، وُفقـت إلى حدّ ما في تعريف المتماـكبات الفضـائيـة على آنـها مـتمـاكـبات تمـيـزـ بـنـفـسـ (الـرـوابـطـ) وـتـخـتـلـفـ بـتـرـتـيـبـ ذـرـاتـهاـ فيـ الفـضـاءـ معـ دـعـمـ ذـكـرـ الصـيـغـةـ المـجـمـلـةـ الـتـيـ تـعـتـبـرـ شـرـطاـ أـسـاسـيـاـ فيـ التـعـرـيفـ.ـ الـبعـضـ مـنـهـمـ (16%)ـ،ـ حـسـنـ هـذـهـ إـلـاجـابـةـ بـإـضـافـةـ العـوـامـلـ الـمـشـترـكـةـ بـيـنـ المـتمـاكـباتـ الفـضـائـيـةـ أيـ "...ـ نـفـسـ الصـيـغـةـ المـجـمـلـةـ (ـنـفـسـ الذـرـاتـ)"ـ وـنـفـسـ التـرـتـيـبـ التـسـلـسـلـيـ لـلـذـرـاتـ (ـنـفـسـ الرـوابـطـ)"ـ وـأـخـيرـاـ نـسـبةـ (ـ22%ـ)ـ قـسـمـتـاـ إـلـىـ مـتمـاكـباتـ دـورـانـيـةـ هـندـسـيـةـ وـتـشكـيلـيـةـ.

بالنسبة للأجوبة الغير موقّعة نسبة (12%) منهم حصرت التماكب الفضائي في نوع من الأنواع التشكيلية (مقرن-مفارق) دون سواه، والبعض الآخر (24%) قرن التماكب الفضائي بطرق التمثيل «.. كل مركب يمكن إسقاطه في ثلاثة أبعاد بواسطة طرق التمثيل الثلاثة (كرام، فيشر، نيومن) »

الجدول (07): مكونات تعريف المتخاليات المسترجعة من طرف الطلبة.

الإجابة	العدد	النسبة
المتخاليان هما متماكبان فضائيان.	03	%06
لهمـا نفس الصيغـة المـجملـة، نفس الروابـط وـيختلفـان بـموضـع الذـرات في الفـضاء.	07	%14
متـناظـران بـالنـسبـة لـلمرـأـة المـسـتوـيـة.	06	%12
صـور لـبعـضـهـما الـبعـضـ.	17	%34
غير قـابـلـين لـلـانـطـبـاقـ.	04	%08
يـتـمـيزـان بـتـشـكـيلـ مـطـلـقـ مـتـعـاـكـسـ.	08	%16
عدـمـ الإـجـاـبـةـ.	05	%10

- الدياستريوميرات هي متماكبات فضائية تحتوي على الأقل على مركز كيرالي مشترك (له نفس التشكيل) وتختلف بتشكيل مركز كيرالي على الأقل؛ مقارنة بالمعرفة المدرسة يمكن تصور الإجابة النظرية الشاملة المحتملة لتعريف الدياستريوميرات تبعاً لقطع الأجرة التي ظهرت ضمن أجرة الطلبة كالتالي:

مركبات لها نفس الصيغة المجملة والمفصلة ولكنها تختلف في التشكيل، ليست صوراً لبعضها في المرأة المستوية، غير قابلة للاقتباس على بعضها البعض.

أجرة الطلبة:

لقد جمعت أجرة الطلبة ضمن مختلف التصنيفات تبعاً للكلمات المفتاحية المستعملة. يمكن لعدة كلمات مفتاحية أن تظهر في الإجابة الواحدة. لقد حسبت مختلف النسب تبعاً للعدد الكلي للطلبة المعينين.

الملاحظة المباشرة للأجرة تظهر أن قطع الأجرة المجزئ للطلبة، بين أنهم يواجهون صعوبات في تعريف المتخاليات.

عدد مهم من الطلبة (34%) استطاع أن يسترجع العنصر الأكثر شيوعاً الذي تميز بها المتخاليات (صور لبعضهما البعض) وكذا التنازل بالنسبة للمرأة المستوية (12%) إلا أن ميزة "عدم الانطباق" لم تذكر إلا من طرف نسبة ضئيلة منهم (8%). بالرغم من أن (14%) منهم ذكرت الشرط الأساسي المتمثل في "نفس الصيغة المجملة" واختلاف تموقع الذرات في الفضاء، فوصف «المتخاليان كتماكبان فضائيان» لم يذكر إلا من طرف عدد ضئيل منهم (6%). أمّا الإشارة إلى خاصية التشكيل المتعاكس فلم تسترجع إلا من طرف (16%).

(د) -تعريف الدياستريوميرات:

بعض التعريفات من المعرفة المدرسة:

- إن المتماكبات الفضائية التي لا تشكل متخاليات (ليست صوراً لبعضها وغير قابلة للاقتباس على بعضها البعض) هي دياستريوميرات؛

الجدول (08): مكونات تعريف الدياستيريومرات المسترجعة من طرف الطلبة

الإجابة	العدد	النسبة
هي متماکبات فضائیة لا تشكل متخایلات (من المعرفة المدرسة).	X	X
ليست صوراً بعضها في المراة المستویة.	13	%26
غير قابلة للانطباق على بعضها البعض.	09	%18
متماکبات فضائیة تحتوي على مركز کیرالی مشترك على الأقل (له نفس التشكيل) (من المعرفة المدرسة).	X	X
متماکبات فضائیة تختلف بتشكيل مركز کیرالی على الأقل (من المعرفة المدرسة).	X	X
مرکبات لها نفس الصيغة المجملة والمفصلة ولكنها تختلف في التشكيل.	10	%20
عدم الإجابة.	18	%36

(Discussion) المناقشة 4

لقد قمنا في هذا العمل بمحاولة التعرف على مدى استيعاب واسترجاع الطلبة -الأساتذة لسجل مفاهيم التماکب بصفة عامة والتماکب الفضائي بصفة خاصة، علماً أنّ هذا السجل يتميز بترتبط عدد كبير من المفاهيم المهمة الازمة لوصف الهندسة المجمّمة للجزئيات.

من خلال هذا العمل المنجز والمناقشة التي قمنا بها، حاولنا التعرف على الصعوبات المتعددة التي تعرّض الطلبة في التعامل مع مختلف المفاهيم التماکب.

(أ) تعريف التماکب البنوي:

يظهر من خلال الإجابات الموفقة للطلبة أنه بالرغم من تمكّهم من تعريف التماکب البنوي على أنه يعبر عن الحالة التي يمكن فيها لصيغة مجملة أن تتوافق مع عدة مرکبات مختلفة بصيغها

الملاحظة المباشرة للأجوبة تظهر أنّ هناك نسبة مرتفعة (%)36) لعدم الإجابة على السؤال. هذه النسبة جاذبة للانتباه إذا ما قورنت بمثيلتها في تعريف المتخاليات..

بالنسبة للذين أجابوا، نلاحظ أنّهم استرجعوا عدداً محدوداً من العناصر الداخلة في التعريف. وقد حصرّوا أجوبتهم في التصنيفات المألوفة لديهم: (%26) منهم أجاب على أنها "ليست صوراً بعضها في المراة المستویة" ، نسبة (%18) وصفتها بأنّها "غير قابلة للانطباق على بعضها البعض" والباقي (%20) عرّفوا الدياستيريومرات على أنها متماکبات لها "نفس الصيغة المجملة وتختلف في التشكيل". إنّ هذه الإجابات المجزئية إن دلت على شيء فإنّها تدلّ وتوّكّد عجز الطلبة عن إعطاء تعريف كامل للدياستيريومرات.

(ب)-تعريف التماكب الفضائي:

إن تحصيل التماكب الفضائي يتطلب في أن واحد معرفة مفاهيم الكيمياء الفضائية والقدرة على استعمال وشرح مختلف التمثيلات الفضائية فهل أخطاء الطلبة ناتجة عن نقص معرفي لهذه المفاهيم أم هي راجعة بكل بساطة إلى عدم قدرتهم على التعامل مع طرق التمثيل وشرحها أم هي ناتجة عن الحالتين معاً.

يظهر من خلال أجوبة الطلبة -بعض النّظر، عن أن ولا أي منهم، استطاع أن يعرف التماكب الفضائي تعريفاً كاملاً-إن مفهوم "الاختلاف في الترتيب الفضائي للذرات" حاضر في أذهانهم إلا أنهم يواجهون صعوبات في ربط هذا المفهوم بالشبكة المفاهيمية المُعرفة للتماكب الفضائي. فهم واعون بأن التعبير عن هذا الاختلاف يتطلب استعمال طريقة من طرق التمثيل (كرام، فيشر، نيومن) إلا أنهم يعانون من صعوبات في فهم العلاقة التي تربط طريقة التمثيل بالجزيء المجرم في الفضاء بمعنى كيفية رسم 3 أبعاد في بعدين ($2D \rightarrow 3D$). بالنسبة للطلبة الذين أجابوا (..هو تمثيل الجزيئات في ثلاثي الأبعاد أي في الفضاء) الأمر يتعلق برسم بعدين في ثلاثة أبعاد ($2D \leftarrow 3D$) والحال عكس ذلك. التفكير بهذه الطريقة يظهر بكل بساطة عدم قدرة الطلبة على التعامل مع طرق التمثيل وشرحها. إن معظم الطلبة ملمون بأسماء الطرق التمثيلية (كرام، فيشر، نيومن) إلا أن الوظيفة الإسقاطية المنوطة بكل تمثيل وكيفية استعمالها بإتباع قواعد الأولوية (CIP) تبدو غائبة عند مجملهم.

المفصلة إلا أنهم لم يظهروا بوضوح المعنى الذي تتضمنه الصيغة المفصلة التي تتبع لخاصية ترتيب ترابط الذرات داخل الجزيء حيث أن المتماكبات البنوية تميز بالصيغة المستوية ذات البعدين وتتصف أنواعها الثلاثة (الوظيفي، الهيكلي والموضعي) بالصيغة المفصلة والتصرف المفصلة وتتميز بتنظيم مختلف لترتيب ذراتها أي تختلف بطبيعة روابطها الكيميائية.

في الأجوبة الغير موفقة نلاحظ أن نسبة (16%) من الطلبة يكتفون بذكر أنواع المتماكبات (وظيفي هيكلي، موضعي) بدلاً من التعريف. قد يرجع هذا في نظرنا، زيادة عن عدم تحكمهم في تعريف المفهوم إلى الالتباس بين مختلف أنواع المتماكبات وعدم القدرة على إقامة العلاقة بين هذه المتماكبات الثلاثة وربطها بخاصية ترتيب ترابط الذرات المختلف في كل منها داخل الجزيء.

بالنسبة للفئة التي عرفت المتماكبات البنوية على أنها مركبات عضوية لها نفس الصيغة الكيميائية/نفس الصيغة الجزيئية وتختلف بـهندستها المستوية/توزيع الذرات/موقع الوظيفة/موقع الجذور. إن هذه الأجوبة توجي بأن هؤلاء الطلبة يعانون صعوبات ولبسًا في التمييز بين الصيغة المجملة والصيغة الجزيئية الكيميائية. إذا كانت الأولى تعبر عن عدد وطبيعة الذرات المكونة للجزيء ولا تعطي أي توضيح للبناء الفضائي للذرات ولا لطبيعة الروابط الكيميائية فإن الصيغة الجزيئية، التي يعبر عنها بالصيغة المفصلة أو النصف مفصلة توضح طبيعة وترتيب الروابط.

يرتكز على جزء الإيثان دون سواه، إذ يصعب على الطلبة تخيل موقع ذرات الهيدروجين بعد دورانها حول المحور C في إسقاط كرام، خاصة وأن الجزء عديم الفعالية الضوئية ولا يمكن تحديد تشكيل ذرتين الكربون له وبالتالي لا يمكن تحديد "ترتيب ذراته في الفضاء". علماً أن المتماكبات الفضائية الامثلية تنتج عن بعضها البعض بدوران C بسيط لمجموعة بالنسبة للأخرى حول الرابطة C لتعطي عدداً لا متناهياً من المتماكبات الفضائية المائلة والمكسوفة.

إن أخطاء الطلبة ناتجة مبدئياً عن نقص معرفي لهذه المفاهيم وقد تكون راجعة بكل بساطة إلى عدم قدرتهم على التعامل مع طرق التمثيل وشرحها.

البعض منهم (12%) ربط التماكب الفضائي بخصائص هندسية. إلا أنهم حصرروا هذه الخصائص في نوع واحد من التماكب الفضائي (مقرن-مفرق) متجاهلين المتماكبات التشكيلية الأخرى كالتماكب الضوئي، الامثلية والتماكب Z, E .
... الخ

إن أجوبة (22%) الذين قسموا التماكب الفضائي إلى متماكبات دورانية، هندسية وتشكيلية بدلاً من تعريفه، تدل بشكل واضح عن نقص معرفي لهذه المفاهيم.

بالنسبة لهؤلاء التماكب الفضائي يمكن أن يكون دوراني بمعنى امثالي وخالي من الفعالية الضوئية كما في حالة الإيثان. وقد يكون هندسي بمعنى مقرن-مفرق أو Z, E . أما التماكب التشكيلي فقد خُص بالمتماكبات الفعالة ضوئياً.

- جزيئات لها نفس الروابط ولكن تختلف بموقع المتبادلات في الفضاء.

نسبة صغيرة (18%) من الطلبة، وفقت إلى حد ما في تعريف المتماكبات الفضائية على أنها متماكبات تميز بنفس الروابط وتختلف بترتيب ذراتها في الفضاء. فإذا ما قبلنا جدلاً أن الطلبة عبروا عن "نفس الترتيب التسلسلي للذرات" بعبارة "نفس الروابط" ولم يتعرضوا للشرط الأساسي "نفس الصيغة المجملة" (عدد الذرات) على أساس أنهم يعتبرونه ضمنياً تحصيل حاصل.

البعض من الذين وفقوا أيضاً إلى حد ما، في تعريف المتماكبات الفضائية على أنها متماكبات لها نفس الصيغة المجملة وتختلف بتشكيلها، فإنهما زيادة على عدم ذكر الشرط الأساسي "نفس الترتيب التسلسلي للذرات (نفس الروابط)" فإنهم حصرروا التعريف في الجزيئات الكيرالية.

هؤلاء الطلبة ربطوا المتماكبات الفضائية بجزيئات تحتوي على C وتميّز بتشكيل معين يمكن تمثيله بإسقاط كرام. إن هؤلاء الطلبة يكونون قد طورو مفهوماً بديلاً فيما يتعلق بالتماكب الدوراني إذ لا يمكن بالنسبة إليهم، التكلم عن التماكب الفضائي إلا في حالة المركبات الكيرالية التي يمكن تعين تشكيلها في إسقاط كرام، أما المركبات الحالية من الكربون اللاتناظري كامتثالات الهيدروكربونات المشبعة مثلاً، فلا يمكن لها أن تمثل متماكبات فضائية. فالمعني الذي يعطونه "للاختلاف في الترتيب الفضائي للذرات" هو الترتيب الفضائي حول C الكيرالية. وقد يعود هذا في نظرنا إلى الطريقة التعليمية لتدريس مفهوم التماكب الامثلية الذي

النسیان لقدم مدة تلقي المعلومة أو إلى نقص معرفي واضح لمفهوم المتخایلات.

(د) تعريف الدياستريومرات:

بالرجوع إلى عدد العناصر المسترجعة، إضافة إلى النسبة المعتبرة من عدم الإجابة، يتبيّن جلياً أن الطلبة يواجهون صعوبات في تعريف هذا النوع من المتماكبات الفضائية. إن هذه الصعوبات يمكن إرجاعها إلى عامل النسیان لهذا النوع من التماكب الفضائي إذا ما احتسبنا أقدميّة المعرفة المحصلة إذ لم تسجل أي إجابة من المعرفة المدرسة مثل (لا تشكل متخایلات) أو (تحتوي أو تختلف على مركز كیرالي مشترك على الأقل).

ثم إن اقتصار معظمهم على استرجاع الإجابات المجزئه المتمثلة في "ليست صوراً لبعضها في المرأة المستوية" و"غيرقابلة للانطباق على بعضها البعض" دون التطرق إلى مسببات هذه الظاهرة بمعنى الاحتواء على مركز كیرالي مشترك على الأقل (له نفس التشكيل) والاختلاف في تشكيل مركز كیرالي على الأقل أو كما في حالة المتماكبات الحلقيّة (سيس-ترانس) والإثيلينيّة (E, Z) يعود إلى عدم تحكمهم في مفهوم الدياستريوميرات. وقد يتعزّز هذا الافتراض بالعودة إلى الإجابة المجزئه للطلبة" مركبات لها نفس الصيغة المجملة والمفصلة ولكنها تختلف في التشكيل". إن الحقيقة المتمثلة في "الاختلاف في التشكيل يسبب عدم الانطباق" حاضرة في أذهانهم بسبب تطبيقها في حالة المتخایلات، إلا أنهم عاجزين عن شرح الظاهرة في حالة الدياستريوميرات (التي يجب أن تكون مختلفة عن المتخایلات) فلجئوا إلى استعمال الاختلاف في

إن التفكير بهذه الطريقة يبدي بعض صعوبات الطلبة الدالة على عدم تحكمهم في تعريف المفاهيم.

يظهر هذا جلياً في إشارتهم إلى مفهوم المتماكبات التشكيلية التي حضرت في "التماكب الضوئي" والتي لا تعتبر في أي حال من الحالات امثاليّة بالنسبة إليهم.

إن نفي الفعالية الضوئية عن المتماكبات الامثاليّة ناتج عن عدم تحكم ونقص لفهم المفاهيم. قد يرجع هذا، زيادة عن عدم تحكمهم في تعريف المفهوم، إلى الالتباس الحاصل بين مختلف أنواع المتماكبات وعدم القدرة على إقامة العلاقة بين المتماكبات الامثاليّة والتشكيلية وربطها بالخصائص الهندسيّة "الناتج عن اختلاف ترتيب الذرّات في الفضاء داخل الجزء".

(ج)-تعريف المتخایلات:

انطلاقاً من تحليل إجابات الطلبة لتعريف المتخایلات، يظهر أنهم يواجهون صعوبات حقيقية في إعطاء التعريف الكامل للمتخایلات. يمكن الملاحظة أنهم حتى وإن استرجعوا بعض مكونات التعريف مثل "صوراً لبعضها البعض" وكذا "التناظر بالنسبة لمرأة مستوية" وحتى "نفس الصيغة المجملة" إلا أنهم يواجهون صعوبة حقيقية، تكمن في ربط كل هذه المكونات للحصول على تعريف منسجم ومتكامل للمتخایلات. إن ضعف الإجابة (08%) على الحقيقة المتمثلة في أساس التعريف "عدم انطباق الصورة على الجزء" وما ينتج عنها من "مخاليط مختلفة هندسياً أي بتشكيل متعاكسي" تبدو غائبة من ذاكرتهم. قد يعود هذا إلى

من نقص معرفي لمفهوم التماكب الفضائي. يتمثل هذا النقص في تقسيم هذا التماكب إلى دوراني (معنی امثالي وخالي من الفعالية الضوئية)، هندسي من النوع مقرون-مفروق أو Z, E وتشكيلي (معنی فعال ضوئي). قد يرجع هذا، إلى اللبس الحاصل بين مختلف أنواع المتماكبات المذكورة وعدم ربطها بالخصائص الهندسية للتماكب الفضائي. لقد نتجت عن مثل هذا التفكير تصورات بديلة محتملة تمثل في أن الامثالات لا يمكن أن تكون فعالة ضوئيا ولا يمكن ربطها بالخصائص الهندسية. وأن التماكب الوحيد المعنى بالخصائص الهندسية هو التماكب مقرون-مفروق أو Z, E . كما أن عبارة "تشكيل" يجب أن تقرن دائما بالفعالية الضوئية.

هؤلاء الطلبة ربطوا المتماكبات الفضائية بجزئيات تحتوي على C وتمييز تشكيلا معين يمكن تمثيله بإسقاط كرام". بهذا يكونون قد طوروا مفهوما بديلا فيما يتعلق بالتماكب الدوراني إذ لا يمكن بالنسبة إليهم، التكلم عن التماكب الفضائي إلا في حالة المركبات الكيراليّة التي يمكن تعين تشكيلا في إسقاط كرام، أما المركبات الخالية من الكربون الانتاضري كامثالات الهيدروكربونات المشبعة مثلا، فلا يمكن لها أن تمثل متماكبات فضائية.

أمام صعوبة إعطاء تعريف كامل ومنسجم للمتخalias والدستيروميرات، يقتصر جل الطلبة على إعطاء أجوبة مجرئة تظهر بوضوح عدم قدرتهم على تعريف المفهومين. إن "عدم انطباق الخيال على الجزيء" في حالة المتخalias وما ينجر عنه من انعكاس في التشكيل يبدو غائبا لدى معظمهم.

التشكيل بصفة مطلقة دون ذكر المراكز الكيرالية المشتركة والمختلفة بين المتماكبين بغض النظر عن أنهم لم يشيروا إلى حالة المتماكبات سيس-ترانس E, Z .

5-الخلاصة (Conclusion)

بعد تحليل ومناقشة أجوبة الطلبة على الأسئلة الأربع للإثبات تبين صدق فرضية البحث المتمثلة في أن صعوبة حل المشكلات في إطار التماكب الفضائي عند الطلبة هي ناتجة عن نقص معرفي لفاهيم التماكب بصفة عامة مقرورنا بعدم القدرة على التمييز بين التماكب البنوي والتراكب الفضائي.

يظهر من خلال الإجابات أنهم غير متحكمين في مفهوم التماكب البنوي إذ يميزونه عن الأنواع الثلاثة الأخرى (وظيفي، هيكل، موضعي) وكان هذه الأخيرة ليست بنوية مستوية. معظم الطلبة لا يقيمون العلاقة بين هذه المتماكبات الثلاثة وخاصية ترتيب ترابط الذرات المختلف في كل منها داخل الجزيء. البعض من الطلبة، يعاني صعوبات ولبس في التمييز بين الصيغ المجملة والصيغ الجزيئية / الكيميائية، مما أدى إلى الالتباس الحاصل عند البعض منهم، بين مختلف أنواع المتماكبات المستوية.

يظهر من خلال أجوبة الطلبة، بغض النظر عن أن ولا طالب، استطاع أن يعرف التماكب الفضائي تعريفا كاملا، أن مفهوم "الاختلاف في الترتيب الفضائي للذرات" حاضر في أذهانهم إلا أنهم يواجهون صعوبات فيربط هذا المفهوم بالشبكة المفاهيمية المعرفة للتماكب الفضائي. فهم يعانون

الفضائي ينبغي على الأساتذة، التمييز بوضوح من خلال تدريسهم، بين مختلف المتماكلات الفضائية. يجب أن ينصب التركيز على المعنى المعطى لنوع التماكب مقرورنا بشرح واف ودقيق للمفاهيم المعنية. حتى يمكن تجنب سقوط الطلبة في التعلم السطحي والميكانيكي للتماكب، يجب تشجيعهم على التفكير في الروابط المتواجدة بين مختلف المفاهيم مما يؤدي إلى التمييز بين مختلف المتماكلات: أنواع المتماكلات الفضائية مثلاً، كلها تنطوي تحت الخصائص الهندسية وكانت تشكيلية أم امتثالية أم المتماكلات البنوية فهي تتبع في اختلافها لترتيب الروابط داخل المستوى ولا تمت بصلة للهندسة. للوصول إلى مثل هذا الهدف يقترح (Frailich et al. 2007) استعمال الأدوات التوضيحية مصحوبة بتعلم تشاركي.

بالنسبة للدياستيروميرات وبغض النظر عن أن ولا طالب وأشار إلى أنها تختلف عن المتخalias، يمكن الملاحظة أنهم حتى وإن استرجعوا بعض مكونات التعريف مثل "ليست صوراً البعض ما البعض" وكذا «عدم الانطباق على بعضهما البعض» وحتى «الاختلاف في التشكيل» إلا أنهم يواجهون صعوبات حقيقة، فيربط هذه المكونات بعضها وتبرير مسبباتها المتمثلة في أنها تحتوي على مركز كبرالي مشترك (أو مختلف) على الأقل.

بعض الاقتراحات للتعليم

إن مفهوم التماكب الفضائي يتميز بترتبط عدد كبير من المفاهيم المهمة الازمة لوصف الهندسة المحسنة للجزئيات. العمل المنجز يبين أن الطلبة يلاقون صعوبات كبيرة في التعامل مع مختلف هذه المفاهيم. لتحسين التحصيل المفاهيمي للتماكب

Kozma, R. B. (2003). The material features of multiple representations and their cognitive and social affordances for science understanding. *Learning and Instruction*, 13, 205–226.

Kozma, R. B. & Russell, J. (1997). Multimedia and understanding: Expert and novice responses to different representations of chemical phenomena. *Journal of Research in Science Teaching*, 34, 949–968.

Kuo, M-T., Jones L., Pulos, S. M. & Hyslop, R. M. (2004). The relationship of molecular representations, complexity and orientation to the difficulty of stereochemistry problems. *The Chemical Educator*, 9, (5), 321-327.

Pellegrin,V. (1999). Les représentations graphiques bidimensionnelles des molécules en chimie organique avec un crayon et un papier. *Bulletin de l'Union des Physiciens*, 811, 263-290.

Robardet, G. & Guillaud, J.-C. (1997). *Éléments de didactique des sciences physiques*. Paris: PUF.

Stieff, M. & Mc Combs, M. (2006). Increasing representational fluency with visualization tools. In S. Barab, K. E. Hay & D. T. Hickey (Eds.), *Proceedings of the Seventh International Conference of the Learning Sciences (ICLS)* (Vol. 1, pp. 730–736). Mahwah, NJ: Erlbaum.

Stull,A., Hegarty, M., Dixon, B. & Stieff, M. (2012). Representational

Translation with concrete models in organic chemistry. *Cognition and Instruction*, 30(4), 404-434.

Taber, K. S. (2005). Learning quanta: barriers to stimulating transitions in student understanding of orbital ideas. *Science Education*, 89, 1, 94-116.

المراجع : (References)

-1 صالح القادري وآخرون. الكيمياء العضوية، المماكبات الفراغية. الطبعة 6 . (1992). دمشق.

References

Barlet, R. & Plouin, D. (1997). La dualité microscopique- macroscopique un obstacle sous-jacent aux difficultés en chimie dans l'enseignement universitaire. *Aster*, 25, 143-174.

Boukhechem, M-S., Dumon, A. & Zouikri, M. (2011). The acquisition of stereochemical knowledge by Algerian students intending to teach physical sciences. *Chemistry Education Research and Practice*, 12, 331–343.

Bucat, B. & Mocerino, M. (2009). Learning at the sub-micro level: Structural representations. In J. K. Gilbert & D. Treagust (Eds), *Multiple representations in chemical education: Models and modeling in science education* (Vol. 4, pp. 11–29).Dordrecht, NL: Springer.

Frailich, M., Kesner, M., & Hostein, A. (2007). The influence of web-based chemistry learning on students' perceptions, attitudes and achievements. *Research in Science and Technological Education*, 25, 2, 179-197.

Giordan, A. & De Vecchi, G. (1987). *Les origines du savoir*. Neuchâtel, Paris : Delachaux et Niestlé.

Kozma, R. B., Chin, E., Russell, J. & Marx, N. (2000). The role of representations and tools in the chemistry laboratory and their implications for chemistry learning. *Journal of the Learning Sciences*, 9, 105–144.

كتلة سيلات (الهقار الغربي، الجزائر): إقليم من الأراضي الدخيلة

دراسة جيولوجية وجيوكيميائية والتاريخ المطلق لبعض الباتوليّات من نمط

(TTG) والمركبات الغرانيتية متأخرة النشأة (A-type)

فاتن بشري-بن مرزوق¹ ، مقدم سارة¹ ، رقية خلوى²⁻¹ ، عبلة عزوني³ ، جون-بول لييجوا⁴ ، برنار بونا⁵ ، حميد بشري

-1 مخبر تعليميات العلوم، المدرسة العليا للأساتذة، القبة القديمة، الجزائر faty_benmerzoug@yahoo.fr

-2 كلية علوم الأرض والجغرافيا والبيئة العمرانية، جامعة هواري بومدين للعلوم والتكنولوجية، باب الزوار الجزائر

-3 جامعة ابوبكر بلقايد - تمسان، 13000 الجزائر asazzouni@hotmail.com

-4 المتحف الملكي لوسط افريقيا - B-3080 بلجيكا jean-paul.liegeois@fricamuseum.be

-5 91405 Orsay Cedex CNRS-UPS /UMR8148 "IDES (فرنسا) bernard.bonin@u-psud.fr

تاریخ الارسال: 29 مارس 2021 /تاریخ القبول: 24 جوان 2021

سيلات وكتلة عين-تياديسي. اظهرت الدراسات ان مختلف انواع الصخور المنتشرة في المنطقة الوسطي من كتلة سيلات مثل السلاسل البركانية- الرسوبيّة والباتوليّات من نمط (TTG) والمركبات الغرانيتية متأخر النشأة (A-type) والأجسام الفوّق قاعدية والقاعدية التراكمية والقواطع المختلفة (الدوليت والسيينيت وغيرهما)، تنتظم جغرافيا في مجالين مشكلةً نطاقين متطلعين باتجاه شمال - جنوب يفصلهما منطقة القص المُعرفة باسم فالق تين دهار(Tin-Dahar) والتي تنتشر على امتدادها صخور متحولة من نوع تالك-شيسٍست

الملخص (Abstract)

سجلت كتلة سيلات خلال الدورة البانئية للجبال لعموم إفريقيا (520-870 م م) نشطاً ماغماتياً متنوعاً بدأ بتشكل باتوليّات من نمط (TTG) مرتبطة بظاهرة الغوص ومتدرجة على أربعة مراحل (870, 742, 650، و 638 مليون سنة) على الأقل. خلال المرحلة المتأخرة من الدورة توضعت المركبات الغرانيتية القلوئية ما بين 570 و 560 مليون سنة في الجهة الجنوبية وتبعها مجموعة ثانية قلوئية-كلسيّة ما بين 540 و 530 مليون سنة توضعت في الجهة الشماليّة من كتلة

الدّورة الـبـانا افـريـقـيـة وهي تـشـبـه منـاطـق مـعـروـفة في جـمـيع أـنـحـاء العـالـم مـثـل هـامـش أـمـريـكا الشـمـالـيـة فـي المـحيـط الـهـادـئ

الكلمات المفتاحية (Keywords)

درع الطّوارق، كتلة سيلات، باتوليـات (TTG)، مركبات غـرـانـيـتـيـة (A-type)، جـيـوكـيمـاء النـظـائـر $\epsilon_{\text{Nd}} - \epsilon_{\text{Hf}}$

وسـرـينـتيـنيـتـ وـالـافـمـبـولـيـتـ. تـتمـيـز صـخـور الشـرـيطـ الشـرـقـيـ تـاـكـلـاتـ-أـهـليـ (Taklet-Eheli) بـقـيـم سـلـبـيـةـ لـعـنـصـرـ النـيـوـدـيـمـ ($-8.10 < \epsilon_{\text{Nd}} < -2.91$) فـي حين تـُظـهـر صـخـور الشـرـيطـ الغـرـبـيـ تـيمـسـلـاغـسـيـنـ-ـتـيوـيـنـ (Timesslarssine-Tioueiene) قـيـمـاـ إـيجـابـيـةـ مـنـ نـظـائـرـ النـيـوـدـيـمـ ($+0.52 < \epsilon_{\text{Nd}} < +4.57$). تـتـشـكـلـ كـتـلـةـ سـيـلـاتـ مـنـ التـحـامـ مـجـمـوعـةـ مـنـ الـأـرـضـيـ الغـرـبـيـةـ، لـكـلـ وـاحـدـةـ مـنـهاـ تـارـيخـ جـيـولـوـجيـ مـمـيـزـ، اـجـتـمـعـتـ خـلـالـ المـرـحلـةـ الـاخـيرـةـ مـنـ

The Silet superterrane, (Western Hoggar, Algeria)

: a collage of exotic terranes

Geological, geochemical, and geochronological study

of TTG's type batholiths and A-types granites' complexes

Abstract

During the Pan-African orogeny (870-520 Ma) the Silet terrane recorded several magmatic episodes, the first one allowed TTG's batholithes related with subduction zones, at least four steps were identified (870-742-650-638 million years). Through the late pan-african stage, alkali A-type granitic complexes were generated (between 570 and 560 million years) in the southern part of the terrane, followed by a second period which allowed the formation of alkali-calcic A-type granitic complexes (between 540 and 530 million years) in the northern part of the Silet and In-Tedeini terranes. Our work revealed that different types of rocks that outcrop in the Silet region, such as the volcano-sedimentary series of Pharusian I and II, K- batholithes, TTG's batholithes, A-

type complexes «Taourirt», mafic and ultramafic complexes and dykes (dolerite, syenite, etc.) are geographically organized into two longitudinal zones separated by the «Tin-Dahar fault» shear zone. The Eastern part is characterized by negative isotopic values ($-2.91 < \epsilon_{\text{Nd}} < -8.10$) while the western branch shows positive value ($+0.52 < \epsilon_{\text{Nd}} < +4.57$). The Silet superterrane can be interpreted as a collage of exotic terranes, similar to suture areas known worldwide, like the North American Pacific margin.

Keywords

Touareg shield, Silet terrane, TTG's batholithes, A-types granitic complexes, isotopic geochemistry $\epsilon_{\text{Nd}}/\epsilon_{\text{Hf}}$

الخمس في احتواها على قاعدة متحولة من سحنة الغرانولait - الامفيبولايت التي تم تزيمتها ما بين 2.1 و 1.9 مليار سنة، كما تحتوي على بقايا آركية (Peaucat et al; 2003, Bendaoued et al; 2008). كانت لاتيا لغاية البروتيروزوي الحديث عبارة عن قارة صغيرة ذات حدود غير نشطة (Passive margin) وسجلت خلال الدورة البانية للجبال لعموم افريقيا إعادة نشاط الفوالق العظمى مصحوب بتحول عالي الدرجة من سحنة الشيست الأخضر-أمفيبولايت الذي قد يرتفع محليا ليصل لسحنة الأكلوجيت (Bendaoued et al; 2008, Doukhari et al; 2014, 2015) بالإضافة إلى توضع باتوليتات حامضية كبيرة الحجم (Abedellah et al; 2007, Talmat-Bouzguela; 2014) الغرانيتية الحلقية المتأخرة النشأة (Boissonnas; 1973, Cheilleitz et al; 1992). بالإضافة إلى التحام كتل محيطية فنية على حافتها الشرقية والغربية اللواتي تصرفتا كمنطقتي غوص اثناء مرحلة النزوة لدورة عموم إفريقيا (ما بين 630 و 580 مليون سنة)، من بينها كتلة سيلات (قيد الدراسة)..

2- جيولوجيا كتلة سيلات

تمت تسمية كتلة سيلات نسبة للقرية الواقعه في وسطها، وقد كانت وما زالت معبرا للمسافرين من مقر الولاية تمرست باتجاه الجنوب الشرقي نحو القرى الحدودية مثل تين زواطين وتيمياوين ومنهما نحو مالي. وتزخر قرية سيلات بالمياه الجوفية العذبة وحسن ضيافة اهلها مما جعلها قبلة للباحثين منذ خمسينيات القرن الماضي. وتعود أقدم الاعمال الجيولوجية المنشورة عن المنطقة

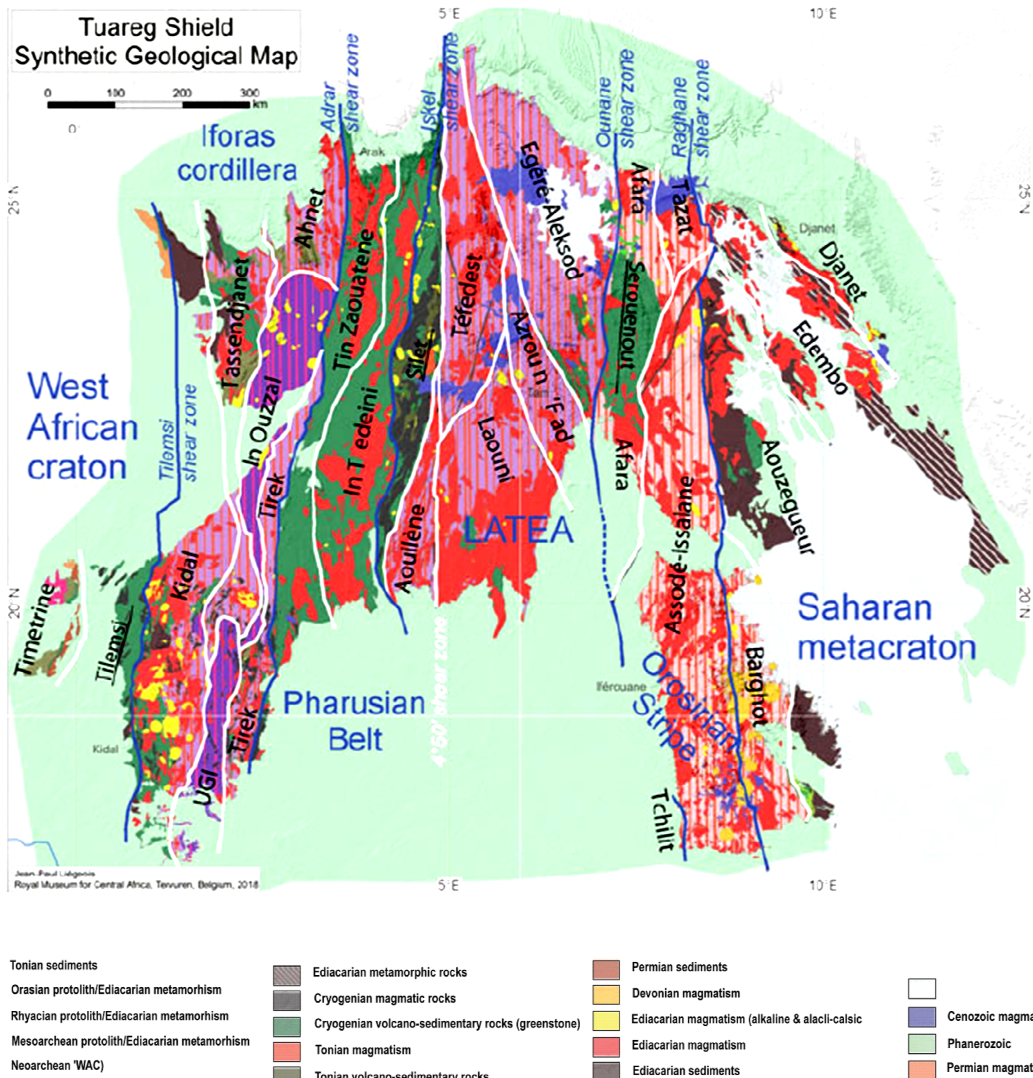
1- المدخل (Introduction)

يتكون الدرع التّرقي (او درع الطّوارق- shield) من التحام كتل محيطية بأخرى قارية خلال الدّورة البانية للجبال لعموم إفريقيا (Pan-Africain) Orogeny)، التي بدأت في النّيوبروتيروزوي المتأخر واستمرت لغاية الكمبري (850 - 530 مليون سنة). يُشكّل المغار الجزء الجزائري من درع الطّوارق الذي يمتد نحو الجنوب الغربي باتجاه مالي وهو معروف بادرار افوراس كما يمتد نحو الجنوب الشرقي باتجاه النّيجر بما يعرف بالآير. تبلغ مساحته 550000 كم² ويشكل المغار ثلاثة ارباعها (34%).

أسهمت الدراسات الجيولوجية المنجزة منذ قرابة المائة سنة باقتراح عدة تقسيمات للدرع التّرقي (Lelubre; 1952, Bertrand et Caby; 1978, Black et al; 1994, Liégeois et al; 2003) اقترحها جون بول لييجوا (J-P. Liégeois, 2019) اين يشير أن درع الطّوارق يتشكّل من التحام خمس وعشرين كتلة ليتوسفيرية (25) تفصلها مناطق القص العمودية او الجهيّة (الشكل 1). تمييز هذه الكتل عن بعضها باختلاف خصائص تشكيلاتها الجيولوجية (الطبعة الصّخرية، درجة التّحول انواع النشاط الماغماتي والبنيوي)، البعض منها يتميز بصخور ذات طبيعة محيطية فنية على غرار بعضها الآخر الذي يتكون من صخور يعود عمرها للأركي والبروتيروزوي القديم. تجتمع الكتل الواقعة في وسط الدرع وعددها خمس مشكّلة شبه الرّاسخ لاتيا (LATEA-MetaCraton) وقد سُمي كذلك بجمع الحروف الأولى من اسم كل كتلة- Laouni-Azrou- n'fad-Tefedest-Egere-Aouilene). تشتّرك الكتل

Dautria et al, 1988 ; Azzouni, 1989 ; Azzouni et Boissonnas, 1997 ; Azzouni et Bonin, 1998 ; Bechiri-Benmerzoug, 1998 ; Boukhalfa, 2002 ; Azzouni e al, 2003 ; Bechiri, 2005 ; Kheloui, 2009 ; Bechiri-Benmerzoug, 2009 ; Kourim et al, 2014-2015 ; Bouzid, 2015-2019 ; Zerrouk et al, 2016 ; Bechiri-Benmerzoug et al, 2017 ; Brahimi et al, 2018 ; Mokaddem et al, 2019 ; Deramchi et al, 2020 ; Azzouni et al, 2020).

الوسطى لكتلة سيارات وماجاورها إلى أطروحة (Maurice Lelubre, 1952) الدكتوراه التي قدمها موريis Lelubre وتقعها أعمال مؤلفين أجانب (جزائريين وأسهموا جميعا في تسلیط الضوء على جيولوجيا المنطقة محاولين تقديم نموذج جيوديناميكي محلي يتواافق مع النموذج العام لدرع الطوارق (Gravelle, 1969 ; Boissonnas, 1973 ; Chikhaoui, 1981 ; Caby et al, 1982 ; Abed, 1983 ; Haddoum, 1984 ; Dupont, 1987 ; Bertrand et al, 1986 ; Lapique et al, 1986 ;



الشكل 1: خريطة جيولوجية لدرع الطوارق تبين الكتل الليتوسفيرية الخمسة وعشرين (محددة باللون الابيض أو الازرق) حسب (Liégeois et al, 2019)، اقليل سلالات قيد الدراسة

1-توضعات الرباعي النشاط 2-الماغماتي السينيوزويك 3- الفانيروزويك 4- النشاط الماغماتي البرمي 5- صخور رسوبية البرمي
النشاط الماغماتي الديفوني 7- النشاط الماغماتي الاديakaRian (قلوي وكلسي-قلوي) 8- النشاط الماغماتي الاديakaRian (من نمط
تعونجميت-توناليت وغرانودوريت 9- رسوبيات الاديakaRian 10- صخور متحولة الاديakaRian 11-صخور نارية الكريوجينيان 12-
صخور بركانية-رسوبية الكريوجينيان (الصخور الخضراء) 13-النشاط الماغماتي التونسيان 14- صخور بركانية-رسوبية التونسيان 15-
صخور رسوبية التونسيان 16- بروتوليت اوروسيان للتحول الاديakaRian 17- بروتوليت رياسيان للتحول الاديakaRian 18- ميزواركيان
بروتوليت للتحول الاديakaRian 19- الاركي الحديث

القاعدي المسنّى (Iddeleh) الذي يظهر في وسط منطقة الدراسة، يتخلله قواطع غرانوديوريتية ممتدة من باتوليت أهembato المؤرخ في 650 مليون سنة، مما يدل على أنه أقدم منه (Kheloui, 2009).

أثناء مرحلة التصادم المعممة (580-630 مليون سنة) تم غلق المحيط أماس وهجرة اغلب الكتل نحو الشمال (Liégeois, 2019) ، تتميز المرحلة الأخيرة من الدورة (520-575 مليون سنة) بتوضع المركبات الغرانيتية الحلقيّة (من نمط A) على طول حدود الكتل المُمثلة بالفوالق العظمي الليتوسفيريّة (Azzouni et al, 2003). مصحوبة أحياناً بقواطع مختلفة الحجم والطبيعة الكيميائيّة (السينيت، الغرانوديوريت والديوريت). يعكس هذا النشاط مرحلة انزلاق افقي على امتداد الفوالق التي تفصل بين الكتل الليتوسفيريّة متبع باسترخاء عام لها حيث يظهر ذلك في انتشار قواطع الدولريت التي يصل طولها إلى 20 كم . تتميز جميع الصخور التاریة المدروسة بتسجيلها لتحول سطحي في سحنة الشّيست الأخضر والذي يتمثل في ظهور معادن ثانوية مثل الكلوريت والاكتينوليت والميسكوفيت.

نعرض في هذه الدراسة أهم الخصائص البترولوجية للباتوليتات الحمضية من نمط (TTG) والمركبات الحلقيّة الغرانيتية (A-type) المنتشرة في المنطقة الوسطى لكتلة سيلات بالإضافة إلى بعض المركبات الحلقيّة الغرانيتية المتواجدة في كتلة عين تيدياني المجاورة لها بهدف إبراز الخصوصية الجيوديناميكية للمنطقة.

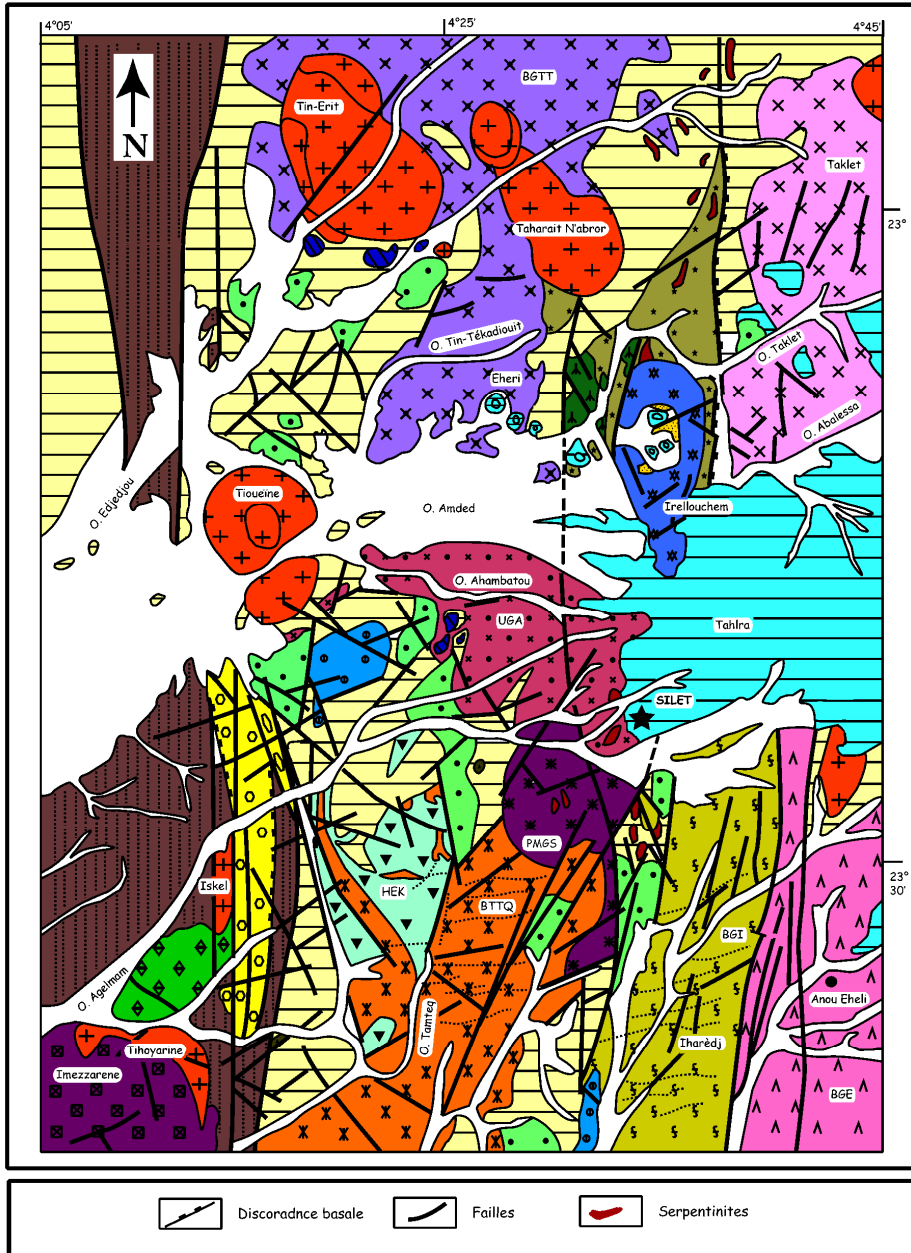
تتصّل بالحافة الغربية للاتيا ثلاثة كتل متاظولة الشّكل يبلغ امتدادها 600 كم ويتراوح عرضها من 40 الى 100 كم كأقصى حد (الشكل 1) وهي على التّوالي سيلات وعين تيدياني وتين زواطين. تمثل هذه الكتل الفرع الشرقي من السّلسلة الفاروزيّة (Pharusian belt) التي يظهر فرعها الغربي بعد كتلة عين أوزال الغرانوليّة باتّجاه الغرب.

يُقسم الفرع الشرقي للسلسلة الفاروزيّة أو ما يُعرف أيضاً بالخندق الأوسط إلى الفاروزي الأول والفاروزي الثاني بسطح عدم توافق (Infra-Pharusian unconformity) تم التّعرف عليه في شمال منطقة سيلات Bertrand et Gravelle; (1966) وتضم تشكيّلات من الصّخور البركانية- الرّسوبيّة (Gravelle, 1969 ; Bertrand, 1974 ; Bertrand and Caby, 1978 ; Caby et al ; 1981) توضّعت خلال البروتيروزوي الحديث في محيط تم تعريفه باسم أماس (Ammas Ocean) (Liégeois, 2019) يتخلّلها باتوليتات حامضيّة متنوعة اغلبها من نمط (TTG) تدل على نشاط ماغماتي مرتبط بغوص محظي-محطي أو قاري- محطي خلال الفترة الأولى من الدورة (Bechiri, 1987-635 مليون سنة) Benmerzoug ; 2009) مرفوق بجسيمات متربّة من الصّخور فوق-القاعديّة إلى قاعديّة ذات نسيج تراكمي أحياناً، لم يتم تزويدها بالطرق الكيميائية ولكنها في الموقع تُظهر علاقة بنويّة تدل بأنّها تقطّع تشكيّلات الفاروزي الأول (Bechiri, 2005 ; Kheloui, 2009). فمثلاً المركب القاعدي- فوق

1.2. الصخور الحمضية من نمط (TTG)

تشغل الصخور الحمضية من نمط (TTG) نصف مساحة إقليم سيلات (الشكل 2)، وقد جمعها غرافيل (Gravelle, 1969) في صنفين من الباتوليّات: الاول غرانيت بالكلوريت مُمثل بباتوليّت تين تيكاديويت نسبة للمكاشف التي تظهر بالقرب من الواد الذي يحمل نفس الاسم ويقع شمال الإقليم قيد الدراسة. تبدو صخوره فاتحة اللون ذات نسيج حبيبي خشن مبرقع باللون الأخضر لاحتوائه على الكلوريت. الصنف الثاني يحمل اسم باتوليّت تاكلات وتظهر صخوره باللون الوردي المُحمر لاحتوائه على نسبة عالية من الأورتوكلاز (الشكل 2 - الصورة 1)، تبدو مكاشفه على شكل مرتفات يصل طولها الى 10 امتار في ملتقى واد تاكلات مع واد أبلسة، في الشمال الشرقي للإقليم، شرق فوهة بركان إغلوشم (Irrelouchem) الضخمة وصخور السيرينتيّيت التي يقطعها (الشكل 2).

أعطت نتائج التزمين المطلق (Caby et al, 1982) اعماراً لم تكن معروفة مسبقاً في درع الطوارق، وهي على التّوالٰي 868 ± 8 مليون سنة لباتوليّت تين تيكاديويت و 839 ± 4 مليون سنة باتوليّت تاكلات.

égende :

الشكل 2: الخريطة الجيولوجية لإقليم سيلات (Bechiri-Benmerzoug, 2009)

سيلات باتجاه شمال شرق-جنوب-غرب (الشكل 2 - الصورة 3). تظهر الصخور على هيئة كتل كروية رمادية اللون ومتوسطة الحجم (لا تفوق 1 متر)، النسيج حبيبي خشن يُظهر بلورات فاتحة من البلاجيوكلاز والكوارتز وأخرى خضراء اللون من الكلوريت (المحتمل أنها ناتجة من تحول الامفيبول والبيوتيت). تحمل بعض المدسوسات داكنة اللون ومستديرة الشكل وحزما ذات حواف حادة من صخور الفاروزي الأول، كما يتخللها قواطع من الغرانوديوريت التي نسجها إلى صخور باتوليت تين-تيكاديويت الأصلية. تبلغ المساحة الإجمالية للديوريت-كوارتزيت تمسلاغسين 35 km^2 وهي تقطع تشكيلات الصخور البركانو-رسوبية للفاروزي الأول التي تظهر بها (أحياناً) طيات ذات محاور موجهة شمال شرق-جنوب غرب (F1) مصحوبة بتشوه ثان (F2) مرتبط بالدورة البانية للجبال لعموم افريقيا ويظهر على هيئة طيات موجة شمال-جنوب (Gravelle et Chikhaoui, 1976).

2- باتوليت تين-تيكاديويت (غير مؤرخ) Tekadiouit's batholith

تظهر صخور تين-تيكاديويت في الجزء الأوسط من شمال الإقليم (الشكل 2) يحدوها شمالاً واد تين-تيكاديويت وجنوباً واد أداد العظيم وهي تقطع التشكيلات البركانية-الرسوبية للسلسلة الفاروزية الأولى وديوريت كوارتزيت تمسلاغسين (Bechiri-Benmerzoug; 2009) (الشكل 2-الصورة 4). تظهر صخوره على هيئة أسطح فاتحة اللون لا يتعدى ارتفاعها 50 سم وتسجل المرحلة الثانية

أوضحت الدراسات الميدانية والبيئولوجية والكيميائية التي أجريناها على عينات صخرية من باتوليت تين تيكاديويت وباتوليت تاكلاط اللذين كان يعتقد أنهما يمتدان باتجاه الجنوب بعد واد أداد العظيم والأسطح البازلتية الحديثة تاهالغا (Tahalga) (Gravelle, 1969) (الشكل 2) أعطت نتائج غير متوقعة. حيث ادت بنا إلى تفكيك باتوليت الكبير بين تيكاديويت وتعريف سبعة (07) باتوليتات حامضية كلسية-قلوية من نمط (TTG) وهي : ديرييت تمسلاغسين + تين-تيكاديويت (الحقيقي) + لوين هاران + أهمباتو + طامطق + إجلهاك + سيلات.

كما قسمنا باتوليت تاكلاط إلى ثلاثة (03) كتل وهن: تاكلاط الأصلي الذي يظهر في شمال منطقة الدراسة و يتميز بطبيعة كيميائية غنية بالبوتاسيوم (الصورة 2) وباتوليت إهاراج وباتوليت إهلي اللذان كان يمثلان امتداده جنوباً (Bechiri-Benmerzoug; TTG 2009).

1- ديرييت-كوارتزيت تمسلاغسين (8 ± 868 مليون سنة) Timesselarssine's diorite-quartzite

بعد الدراسات المعمقة (ميدانياً ومخبرياً) قمنا باستبدال اسم العينة المؤرخة في 8 ± 868 مليون سنة والتي نسجها المؤلفون خطأً (Caby et al; 1982) إلى باتوليت تين تيكاديويت، باسم ديرييت تمسلاغسين نسبة للوادي الذي تم جلبها منه أين يظهر جزءاً من مكافئتها، كما يمكن رؤيتها جزء آخر منها في واد أداد العظيم الذي يقطع إقليم

إغية (Tin-Erit) صخور لوين هاران عبارة عن غرانوديوريت وهي في الميدان تبدو متشابهة مع صخور تين-تكاديويت من حيث المظهر حيث كانت تُعتبر سجنته الحدوَّدية (Bechiri-Benmerzoug, 2009)، لكن بيَّنت الدراسات البترولوجية لاحقاً بعض الاختلافات في الخصائص الكيميائية مما جعلنا نفصله عن باتوليَّت تين-تيكاديويت الأصلي الذي تَنحصر مكاففه في الجزء الجنوبي للوادي الذي سُيّر نسبة إليه في حين تمتد صخور لوين هاران باتجاه الشمال (Bechiri et al; 2016).

4- باتوليَّت أهْمباَتو (651 ± 6 مليون سنة)

Ahambatou's batholith

تَظَهُر صخور باتوليَّت أهْمباَتو في مركز إقليم الدراسة وتبلغ مساحتها حوالي 250 كم^2 حيث تقطع تشكيلات الفاروزي الأولى من الناحيَّة الغربية مع بعض الجسيمات الكيلومترية من الصخور القاعديَّة (الشكل 2). يحدُّه من الشَّمال واد الواد العظيم أمداد ومن الجنوب تفرع واد أقلمام، حدوده الشرقيَّة تختفي تحت الأسطح البركانية لـ تاهالغا. تَظَهُر أول المكافف على طول الطريق الرابط بين قرية سيلات والمركب الغرانيتي تيوبيين على شكل مرفعات كتليَّة لا تتعدي 1 متراً طولاً (الصورة 4)، لونها فاتح إلى وردي تتخلله بعض قواطع الدُّوليريت السنتيمترية (Bechiri- Benmerzoug et al, 2020). تُبَدِّي صخور أهْمباَتو نسيجاً متوسَّطاً إلى خشن يحمل بلورات ميليمترية من الكوارتز والبلاجيوكلاز والأورتوز تتخللها بعض المعادن الداكنة تميل إلى الخُضرة. كلما توجهنا إلى مركز الباتوليَّت، تزداد كمية الأورتوز لتعطي سحنة

من التَّشوه (F2) المرتبطة ببداية دورة عموم إفريقيا (Bertrand et al, 1986a). لم يتم تزمين صخور تين-تيكاديويت لكن حسب (Fabries et Gravelle; 1977) النشاط الماغماتي المُمثَل بصخور الغرانوديوريت كان مصحوباً بقواطع تخترق صخور ديوريت تمسلاغسين المزمنة في 8 ± 868 مليون سنة. وقد كتب ديبون (Dupont, 1987) في اطروحته انه شاهد قواطع من الغرانوديوريت تتخلل الصخور البركانية التي تُشكِّل فوهة إغلوشم الضخمة والمؤرخة في 680 مليون سنة (Dupont, 1987).

ملاحظاتنا الميدانية تتوافق مع هذه المعطيات، حيث شاهدنا في واد تين-تيكاديويت تشكيلات من الصخور البركانو-رسوبية للفاروزي الأول مورقة (Schistosity plan) تتخللها صخور ديوريت-كوارتزيت تميلاً في اللون التي اسميناها تين-تيكاديويت والتي تحمل آثار تشوَّه بارد (F2). بناء على هذه الملاحظات جميعها، يمكننا الاستنتاج أن صخور تين-تيكاديويت تنتمي لمرحلة الفاروزي الثاني وتوضعت ما بين 680 و 630 مليون سنة.

Louine harane's batholith

تَظَهُر مكافف باتوليَّت لوين هاران في الجزء الشمالي الأوسط من إقليم الدراسة (الشكل 2) ويقطع تشكيلات الفاروزي الأول كما يقطعه من الجهة الشرقيَّة المركب تهرارت نابور الغرانيتي (Tahraït N'abror) ومن الجهة الغربية مركب تين-

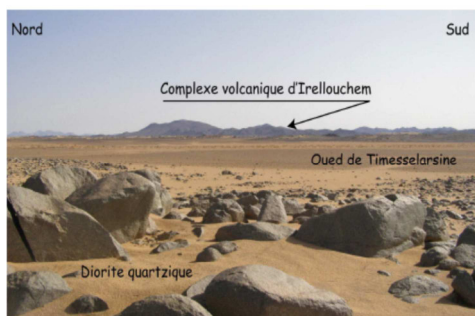
باتوليت سيلات ومن الغرب باتوليت إجلهاك الذي تم تعريفه من طرف فريقنا ولكنه لم يدرس بالتفصيل بعد، حدوده الجنوبية غير محددة بدقة (الشكل 2). تظهر صخور باتوليت طامطق على شكل مرتفعات صغيرة لا تفوق 1 متر وتبعد باللون الأخضر الفاتح يميل الى الزرقة احيانا وتحمل مذسوسات مستديرة غامقة اللون (الصورة 5). يقطع باتوليت طامطق في اقصى الحدود الجنوبية الغربية التشكيلات الرسوبيّة الحُطاميّة للفاروزي الثاني.

ذات نسيج خشن يطغى عليها اللون الوردي ويمكن التمييز فيها ببلورات متراوحة من الامفيبولي والبيوتيت التي تحيط ببلورات الفلدسبات والكوارتز لتعطي شكل أعين (Gneissic facies).

5-باتوليت طامطق (742 ± 5 مليون سنة)

Tamteq's batholiths

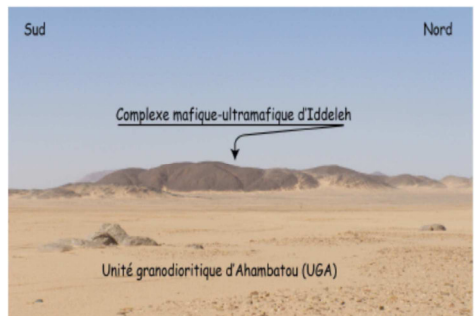
يشغل باتوليت طامطق الجزء الجنوبي من منطقة الدراسة حيث تظهر اولى صخوره على طول الطريق الرابط بين قرية سيلات وقرية برج باجي مختار الحدودية. يحده من الشمال والشرق



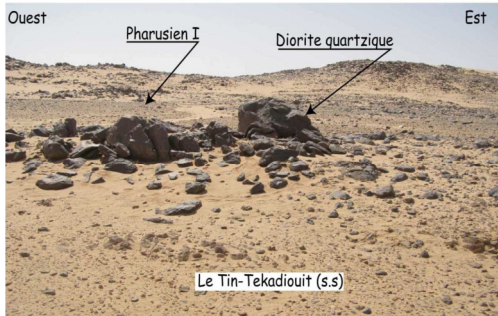
الصورة 2: دiorite كوارتزيت تمسلاغسين



الصورة 1: باتوليّت تاكلاط



الصورة 4: باتوليّت أهمباتو



الصورة 3: باتوليّت تين تيكاديوت يقطع دiorite تمسلاغسين



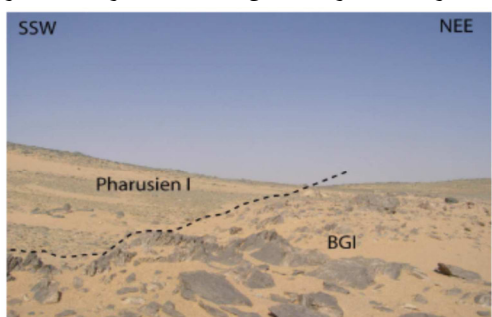
الصورة 6: منظر عام لمرتفعات باتوليّت سيلات



الصورة 5: صخور طامطق تحمل مددسوّسات الصورة



الصورة 8: توضّعات باتوليّت إهلي



الصورة 7: التّماّس مع الفاروزي الثّانى إهارج

اللوحة 1: صور فتوغرافية لباتوليّات إقليم سيلات قيد الدراسة

سيلات باللون الوردي و تُظهر نسيج حبيبي متوسط الحجم و مبرقع بالأسود، هي عبارة عن مونزوجرانيت يحمل مدسوسات سنتيمترية مستديرة داكنة وقطعاً متربة من الصخور المتحولة (السّربينتينيت) (Bechiri-benmerzoug, et al, 2010).

7-باتوليٍت إهارج (غير مزمن) **batholith**

تظهر أولى صخور باتوليٍت إهارج غرب منطقة القص التي تفصله عن باتوليٍت سيلات والمُمثلة محلياً بصخور متحولة من نوع سربينتينيت، تالك شيسٍت وأمفبوليٍت (الشكل 2). يحده شماليًّاً الأسطح البركانية لـ تاهالغا وشرقاً تشكيلات الفاروزي الأول وباتوليٍت إهليًّا أما حدوده الجنوبية فهي غير محددة.

تظهر صخور إهارج على هيئة كتل صغيرة الحجم فاتحة اللون وقد تُشكّل موائد (الصورة 7) كما يرتفع بعضها الآخر ليشكّل قببًا متفاوتة العلو قد تصل إلى عشرة (10) أمتار. تُبدي الصخور عند المكسر نسيجاً حبيبياً متوسط الحجم فاتح اللون كما تخترق الباتوليٍت قواطع من الدّوليت موجهة شرق-غرب قد يصل طولها إلى 20 كم بالإضافة إلى قواطع أخرى متوسطة الحموضة ذات اتجاه شمال-جنوب.

8-باتوليٍت إهليٍ (5 ملايين سنة) **Eheli's batholiths**

قمنا بتسمية الباتوليٍت بإهلي نسبة للبئر أنو إهلي (Anou-Eheli) الواقع في وسطه وهو يظهر في

6-باتوليٍت سيلات (649 ± 5 مليون سنة) **Silet's batholiths**

لقد سميّنا الباتوليٍت سيلات تقديراً منا لـ سكان القرية القريبة منه وقد استبدلنا اسم الكتلة الليتوسفيرية قيد الدراسة باسمها أيضًا (Bechiri et al, 2013)

كتلة إسكل نسبة للمركب الغرانيتي إسكل (Iskel) الذي كان يُعتقد أنه يتواجد على حدودها الغربية (Black et al, 1994) مع كتلة عين تيديابي ولكن في الواقع يوجد خلف الفالق الكبير الذي يفصلهما.

يتميز باتوليٍت سيلات بشكله الدائري الذي يمتد من الجهة الشرقية بذيل متزاولة باتجاه الجنوب (الشكل 2) وتعكس هذه البنية توضع المagma في رواق تحدّه كتلتان تتحرّكان وفقاً لإنزياح يميّني (Transpressif cisaillement). تُعطي حدوده الشمالية توضّعات وادٍ أكيكرت وتحجب علاقته مع باتوليٍت إهليات على غرار حدوده الشرقية التي تتطابق مع منطقة القص الموجهة شمال - جنوب. تظهر أغلب صخور باتوليٍت سيلات غرب الفالق بشكل مستدير تقريباً في حين تظهر بعض الصخور منه على الجهة الشرقية لـ الفالق (الشكل 2)، يقطع باتوليٍت سيلات من الناحية الغربية تشكيلات الفاروزي الأول وباتوليٍت طامطق.

تشكل أغلب صخور باتوليٍت سيلات رقاً تظهر به بعض الجسيمات الكروية الشكل والأسطح المُحدبة، في الامتداد الجنوبي للباتوليٍت ترتفع بعض من صخوره مشكلة تلًا لا يتعدي ارتفاعه خمسة أمتار (الصورة 6). تبدو صخور باتوليٍت

مركبات، يقع ثلث منها في كتلة سيلات وهم تيويين + تين إغيت+ إسوديان (Tin-Etit + Tioueine+ Issedienne) وآخر يقع في كتلة عين تيدياني وهو آيت-أوكلان Ait-Oklan واثنين يظهران على الفالق الليتوسفيري الذي يفصل بينهما وهما المركبين تهوياغين + تاسنو (Tihoiirene + Tassno) (Azzouni et al, 2020) (الشكل 2-3).

1- مركب تين إغيت (584.8 ± 2 مليون سنة)

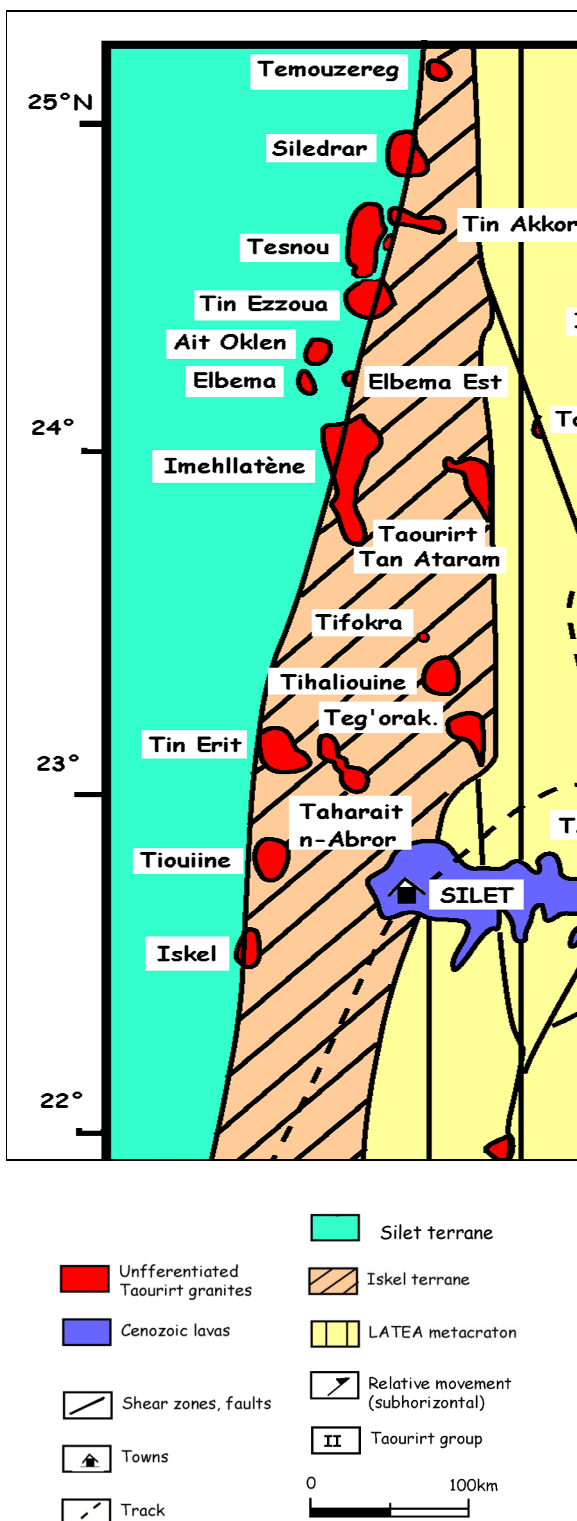
Tin-Etit's A-type complex

يقطع مركب تين إغيت (Tin-Etit) تشكيلات الفاروزي الاول وباتوليت لوين هاران Louine هو ذو شكل شبه دائري يتكون من تشابك وحدتين من الصخور (الشكل 3) : الاولى مسطحة ، تشغّل مركز المركب وممثلة بالسيينوغرانيت مزدوجة الفلدسبيات (برتيت- بلاجيوكلاز Subsolvus) والثانية تُشكّل حلقة غير مكتملة من الجبال المرتفعة التي تحيط بصخور المركز مشكلة من الغرانيت أحادي الفلدسبيات (الميزوبرتيت Hypersolvus) وقواطع من السيينيت (Bechiri-Benmerzoug, 1998 ; 2001) . تنتهي العينة التي تم تزويدها الى صخور المركز (Azzouni et al, 2020)

الجزء الجنوبي الشرقي من إقليم سيلات ويظهر بشكل متطاول. تخيّي أسطح حمم التاهالغا حدوده الشّمالية ويحده من الغرب باتوليت إهاراج وفقاً لفالق كبير يسارى موجه شمال-جنوب. مثل أغلب الباتوليّات في منطقة الدراسة، تبدو صخور إهلي على هيئة أسطح محدبة تُعرف "بظهر الحوت" قليلة الارتفاع (الصورة 8).

2.2. الصخور الغرانيتية (A-type)

تظهر مركبات غرانيتية من نمط (A-type) في كتلة سيلات وكتلة عين تيدياني (الشكل 2) عرفها بواسناس (Boissonnas, 1973) بمركبات تاوريرت (Post-orogenic Taourirt' series) (Azzouni et al, 1989) وقدمت عزوني عبلة (Azzouni et al, 1989) ادراسة بيترولوجية لبعض منها ونشرت معطيات للنظائر المشعة وأعمارا باستخدام نظائر عنصري Sr-Nd على الصخور الكاملة (Sr-Nd/Whole rock) لثلاث مركبات احدها يقع في كتلة سيلات واثنان منها يقعان في كتلة عين تيدياني المحاذية لها (Azzouni et al, 2003) (Tesnou + Ait-Oklan) تم مؤخراً نشر معطيات جديدة حول العنصرين Lu-Hf isotopic system (Lu-Hf isotope system) وأعماراً مطلقة باستعمال معدن الزركون (U-Pb SHRIMP) لست



الشكل 3: خريطة جيولوجية توضح المركبات الغرانيتية من نمط A التي تظهر في كتلي سيلات وعين تيديابي (Azzouni et al ; 2003 ; 2003)

2-مركب تيوين (561 ± 6 ملايين سنة) A-type complex

يقع مركب تيوين (Tioueïne) في مجاري الواد العظيم أداد (Amded) الذي يتطابق مع الفالق الكبير أداد (Amded Fault) والموجه شمال شرق-جنوب غرب، (الشكل 2 - 3) يخترق تيوين (Tioueïne) صخور السلسلة الرسوبية-البركانية للفاروزي الاول ويتميز بشكله الدائري الذي يظهر بشكل قبة كبيرة في وسط رسوبيات الوادي. مثله مثل مركب تين إغية يتكون تيوين (Tioueïne) من التحام صنفين من الصخور حيث يظهر الصنف الاول في مركز المركب على هيئة كتل مسطحة الى قليلة الارتفاع من المتنزوجرانيت والسيينوغرانيت، يحيط بها حلقة ضخمة من الغرانيت التي تُشكّل الارتفاعات المميزة له (الشكل 4). كان تيوين (Tioueïne) من بين أولى المركبات التي تمت دراستها وقد اعطت نتائج التزمتين المطلقة عمرا 40 ± 560 مليون سنة (Boissonnas, 1969) والذي تم تقدير تاريخ تواجد صخور مركزه لاحقا ب 1 ± 523 مليون سنة (Paquette et al, 1998). التزمتين الأخيرتين لعينة من الحلقة الخارجية للمركب وهي عبارة عن غرانيت بالفلدسبار القلوبي (Azzouni et al, 2020).

Issedienne عمرًا يُقدر بـ 470 ± 15 مليون سنة باستعمال طريقة Rb-Sr على معدن البيوتيت (Rb-Sr/biotite ; Lay et Ledent 1963) وأعتبر لاحقاً أنه يعكس التّغيير الحريري المتأخر، العينة التي تم اختيارها للتزمّن بواسطة تقنية على معدن الزركون U-Pb عبارة عن منزوجرانيت (Azzouni et al, 2020).

5-مركب تاسنو (536.5 ± 6.7 مليون سنة) **Tesnou's A-type complex**

يقع مركب تاسنو (Tesnou) على جانبي الفالق $4^{\circ}10'$ الذي يفصل بين كتلي سيلات وعين تيدابي (الشكل 3-2)، يتكون تاسنو من ست كتل متّحدة سُميّت من طرف عزوني عبّلة (1989) تاسنو 1 وتاسنو 2 وتاسنو 3-4 وتاسنو 5-6. تُشكّل هذه الكتل مرتفعات محدبة الشّكل يظهر جزء كبير منها على الطّريق الرابط بين تمّنراست والجزائر العاصمة وهي تشتهر بجمال مناظرها ويزورها العديد من هواة تسلق الجبال.

قام المؤلف بواسوناس وأخرون (Boissonnas et al, 1964) بتزمّن عينة ليبيدوليت بيغماتيتي (Rb-Sr mineral pegmatite) بطريقة pegmatite ages التي أعطت عمرًا يقدّر بـ 540 ± 11 مليون سنة. اختار بعدها نفس المؤلف عينة أخرى وهي بيغماتيت بالميسكوفيت (pegmatic muscovite) باستعمال طريقة K-Ar WR والتي أعطت 537 ± 30 مليون سنة (Boissonnas, 1974). تتوافق هذه الاعمار مع نتائج التزمّن بطريقة U-Pb/Zircon (Azzouni et al, 2020). العينة التي تم تزمّنها تنتمي إلى جبل المنصورة مؤخراً

3-مركب تهوياغين (569.8 ± 4.8 مليون سنة) **Tihoiirene's A-type complex**

يظهر مركب تهوياغين غرب الفالق العظيم الذي يفصل بين كتلي سيلات وعين تيدابي (الشكل 2-3)، وهو يقطع غرانيت إمزاغن (Imezzarenre) وصخور السّلسلة الحطامية للفاروزي الثاني (Pharusian II) وجسم الصخور القاعديّة أقلمام (Aguelmam)، يتميّز مركب تهوياغين بجبال مرتفعة من الغرانيت (بالفلدسبار القلوبي) هلالية الشّكل تحصر في مركزها صخوراً مسطحة من المنزوجرانيت التي تمتد نحو الغرب (Boissonnas et Gravelle, 1961; Meddi, 2011). تم تزمّن صخرة من الهالة الخارجية للمركب (Azzouni et al ; 2020).

4-مركب إسوديان (538.7 ± 2.9 مليون سنة) **Issedienne's A-type complex**

يقع مركب إسوديان شمال منطقة الدراسة وهو يقطع السّلسلة الفاروزيّة الثانية وصخور باتولييت لoin هاران من نمط توناليت-تغونجييت-غرانوديوريت (الشكل 3-1). يتميّز مركز مركب إسوديان بالتحام ثلاث حلقات من صخور المنزوجرانيت والسينوجرانيت ذات نسيج متباین من دقيق إلى خشن الحبيبات وتحيط بها حلقة رابعة مشكلةً الهالة الخارجية، تنتظم جميعها بشكل بيضوي متناسق (ابعاده 8×5 كم). تتصل بالناحية الشّمالية من المركب كتلة من صخور الألاسكيت (Alaskite) التي تُشكّل جبال "أدرار إسوديان" (Boissonnas, 1973; Azzouni, 1989). اعطت أول تجربة تزمّن صخور المركب إسوديان

عزوني الذي يعمل في منطقة سيلات منذ سنة 1996 لحد الآن (Azzouni et al, 2003; Kheloui, 2009; Bechiri-Benmerzoug, 2009; Bechiri et al, 2013; Bechiri et al, 2016; Bechiri-Benmerzoug et al, 2017; Azzouni et al ; 2020).

وقد تمت التحاليل الكيميائية للصخور الماغماتية المندسة على خمسين عينة (العناصر الرئيسية والنادرة والشححة) وكذا بعض تحاليل النظائر المشعة لعنصري اليوديم والسترونسيوم والتزئين المطلق لخمس عينات على بلورات الزركون بطريقة SHRIMP (الجدول 1-2) في مخابر أجنبية وهما مركز البحوث البيتروغرافية والجيوكيميائية بناسسي – فرنسا ومخبر جيولوجيا النظائر بمتحف افريقيا ببلجيكا، كما استخدمنا بيانات اضافية من المنشورات السابقة للمؤلفين (Centre de Recherches Pétrographiques et Géochimiques CRPG), Nancy, France/The isotopic geology laboratory from the Africa museum, Tervuren Belgium) (Center of Isotopic Research, All-Russian geological Research Institute (VSEGEI) Saint-Petersburg- Russia)

تاسنو 1 الواقع غرب الفالق $35^{\circ}4'$ في كتلة عين تيدياني وهي عبارة عن مونزونغرانيت.

6-مركب آيت أوكلان (529.3 ± 3.1 مليون سنة) Ait-Okelan's A-type complex

لو كان هناك نموذج للمركبات الحلقية من نمط A لكن مركب آيت أوكلان (Ait-Okelan) افضل ممثل لها من بين جميع مركبات الخندق الفاروزي (الشكل 2-3)، فهو مكون من اتحاد حلقتين شبه مكتملتين، حيث تكون احداهما الهالة الخارجية ممثلاً بجبال مرتفعة من السيلينوغرانيت تحيط بالثانية التي تقع في مركز المركب وهي عبارة عن صخور من المونزونغرانيت ذي نسيج متواضع الحبيبات مسطح الى قليل الارتفاع. يظهر آيت أوكلان جنوب مركب تاسنو في كتلة عين تيدياني ويقطع الباتولييت الكلسي قلوي المسمى تيجلامين وقد اعطت نتائج التزئين باستعمال طريقة Sr-Nd على الصخورة الكاملة (Sr-Nd/Whole rock) عمرًا غير دقيق يقدر بـ ± 511 مليون سنة، اعتبره المؤلفون مرتبطا بالتفاعلات الحرمانية (Azzouni et al, 2003)..

3. الوسائل (Materials)

نُقدم في هذه المقالة نتائج أهم الدراسات الميدانية والبترولوجية التي أسهمت في تحديد الخريطة الجيولوجية التي انجزها موريس غرافل 1969 (Maurice Gravelle) في اطروحته سنة 1969 وعنوان "سيلات-تباهوين" بمقاييس 1/100000 (الشكل 2). اغلب المعطيات المستخدمة في هذه المقالة مستقاة من الاعمال المنشورة من طرف اعضاء فريق البحث بإشراف البروفسور عبلة

3. النّتائج (Results)

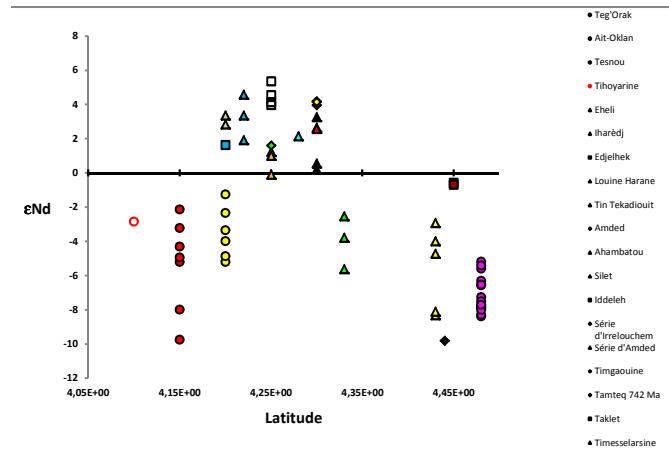
قمنا بتلخيص خصائص الصّخور ونتائج التّحاليل الجيوكيمائيّة في جدولين : [1] الاول خاص بالباتوليّات من نمط TTG و[2] الثاني خاص بالمركّبات الغرانيتيّة (A-type) ، كما استخدمنا بعض نتائج تحاليل عنصري Nd المتوفّرة (اطروحات غير منشورة) عن مختلف انواع الصّخور المتواجدة في منطقة الدراسة (ناريّة ومتحوّلة وبركانية - رسوبية) لإثراء المناقشة.

تُظهر النّسبة الأولى لنظائر عنصر النيوديم (Nd) تفرّد مجموعتين : [1] المجموعة الأولى ذات قيم $\text{Nd} < 0$ وهي ممثّلة بالسلسلتين البركانية- الرّسوبية للفاروزي الثاني "إغلوشم وأمداد" والباتوليّات من نمط TTG (لوين هاران + تين- تيكاديويت + أهمباتو + سيلات + إيجلهاك + طامطق + تيمسلاغسين) وكذا المركّب القاعدي- فوق قاعدي إيدليه و[2] المجموعة الثانية ذات قيم $\text{Nd} > 0$ ممثّلة بالباتوليّت البوتاسي تاكلات والباتوليّتين من نمط TTG إاهلي وإيهارج بالإضافة إلى المركّب الغرانيتي (A-type) تاج-اوراك الذي يظهر في الشمال الشرقي لإقليم الدراسة والمركّبات الغرانيتيّة (A-type) التي تظهر في كتلة عين تيدياني المجاورة (تمهوياغين وتاسنو وأيت أوكلان) (الجدول 1).

تنظرّم جغرافيا هذه الصّخور في ثلاثة نطاقات متّاولة متّجهة شمال-جنوب عموماً، النّطاق الأول يتميّز بصفور ذات قيم $\text{Nd} < 0$ وينحصر

بين خطّي الطّول $4^{\circ}30'E$ إلى $4^{\circ}50'E$ ، النّطاق

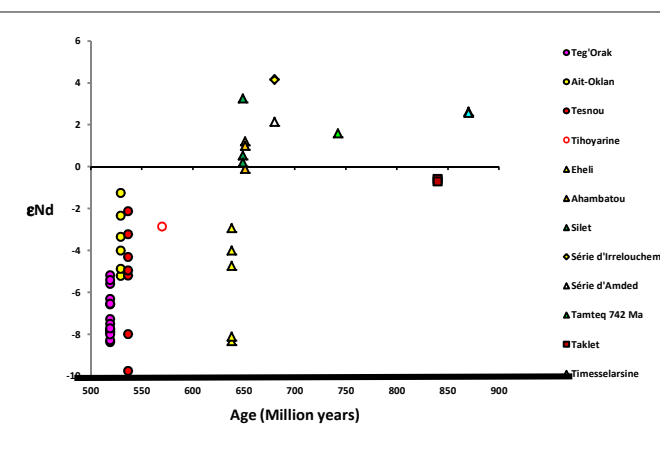
الثّاني يجمع الصّخور ذات قيم $\text{Nd} < 0$ يحدّه شرقاً خطّ الطّول $4^{\circ}30'E$ وغرباً خطّ الطّول $4^{\circ}15'E$ والنّطاق الثّالث يقع غرب الخط $4^{\circ}15'E$ ويتميز بصفور ذات قيم $\text{Nd} > 0$ سالبة (الشكل 4). نذكر أنّ الخطّين $4^{\circ}50'E$ و $4^{\circ}15'E$ يُشكّلان محلياً، حدود كتلة سيلات الشّرقية والغربيّة على التّوالي أما خطّ الطّول $4^{\circ}30'E$ فهو يتّابع مع فالق تين-دهار الذي يقسّم المنطقة الوسطى لإقليم سيلات إلى قسمين وهو ممثّل محلياً بمنطقة قص إزاحيّة (Bechiri et al ; 2016).



الشكل 4: منحني بياني لقيم ϵ_{Nd} بدلالة احداثيات خطوط العرض
لصخور منطقة الدراسة

والمُمثل بصخور كتلة عين تيدايني المجاورة، تقتصر المعطيات على المركبات الغرانيتية (A-type) فحسب وهي تتراوح ما بين 529 و 536 مليون سنة الموافقة لتزمين المركبين تاسنو وأيت-أوكلان على التّوالي (الشكل 5).

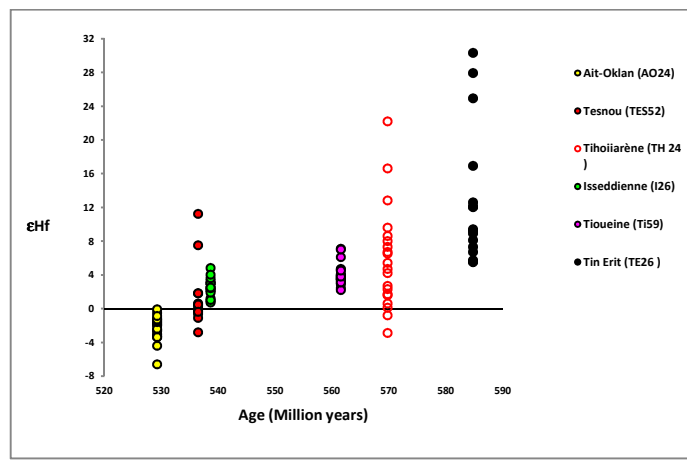
تنحصر أعمار صخور النطاق الشرقي (ذى القيم ϵ_{Nd} السالبة) في المنطقة الوسطى لإقليم سيلات ما بين 840 إلى 549 مليون سنة (تأريخ باطوليت تاكلاط ومركب تاج-اوراك على التّوالي) في حين تتراوح اعمار صخور النطاق الغربي ذات القيم الموجبة ما بين 870 و 649 مليون سنة (تأريخ الديوريت-كوارتزيت "تمسلاغسين" وباتوليت سيلات على التّوالي). بالنسبة للنطاق الثالث



الشكل 5: توزيع الاعمار بدلالة قيم ϵ_{Nd} لبعض الصخور كتلتي سيلات

تمهوياغين وتسنوسو (Tihoairene + Tesnou) اللذين يقعان على الفالق الليتوسفيري الذي يفصل بين كتلي سيلات عين تيداياني، لدّيهما قيمة ϵ_{Hf} سالبة وأخرى موجبة (الشكل 6).

نتائج تحاليل عنصر الهافنيوم Hf لست مركبات غرانيتية من نمط (A-type) تعزز الملاحظات السابقة (وجود نطاقين بقيم ϵ_{Nd} سالبة وأخر بقيم موجبة) حيث نجد أن المركبات التي تقع غرب الفالق تين-دهار (تين-إغيت وتيوبين وإسوديان) تميّز بقيم ϵ_{Hf} موجبة عكس المركب آيت أوكلان (Ait-Oklan) الواقع في كتلة عين تيداياني والذي يتميّز بقيم ϵ_{Hf} سالبة. تجدر الإشارة إلى أن المركبين



الشكل 6: مخطط بياني لـ ϵ_{Hf} بدلالة العمر لستة مركبات حامضية من نمط (A-type)

العظيم $E^{\circ} 50' 45''$ من الشمال نحو الجنوب لغاية خط عرض $N23^{\circ}$ اين ينحرف حدّها الشرقي باتجاه الجنوب الغربي ليلتّحم بالفالق الذي يفصلها عن كتلة أويلان (Aouilane) التي تُعتبر جزءاً من لاتيا (J.-P. Liégeois, 2019). يقع إقليم سيلات (قيد الدراسة) في المنطقة الوسطى للكتلة وينحصر بين خطّي العرض $N23^{\circ}11'$ et $N22^{\circ}15'$

4-/المناقشة (Discussion)

يعتبر المؤلفون كتلة سيلات ذات شكل مغزلي متطاول تمتد على مسافة 650 كلم شمال - جنوب في حين يبلغ عرضها 80 كلم كقيمة قصوى وتناقص بصورة متناسبة وتدرجية باتجاه أطرافها الشمالية والجنوبية (الشكل 1). تلّتحم كتلة سيلات شرقاً بشبه الراسخ لاتيا عبر الفالق

وتلك التي تظهر في كتلة عين تيداياني مثل آيت-أوكلان $\text{Nd}_{\text{e}} < -5.21/-0.9 < -1,25$ ($-2.13 < \text{Hf}_{\text{e}} < -\text{Tasno}$) < -6.6 ($+11.2 < \text{Hf}_{\text{e}} < 9.75/-1.8$) فكرة وجود قشرة قديمة آركية أو بروتيرزوتية أسفل كتلة سيلات، حيث أعتبرت هذه القيم السالبة كدليل على عدو الصهير الوشاحي "الأم" بمداد من قشرة قديمة من نمط لاتيا (Azzouni et al, 2003). لكن بعض قيم Nd_{e} الخاصة بالصخور الغرانوديورتية من نمط (TTG) وكذا قيم (Hf_{e}) لبعض المركبات الغرانيتية كانت موجبة مما يدل على أنها تبلورت من مagma ناتج عن انصهار جزئي لوشاح علوي فتي مع الاشارة أن الجزء ثاني من الصخور الغرانوديورتية وبعض المركبات الغرانيتية لديها قيم سالبة وتنتمي جغرافيا شرق الصخور الفتية (Bechiri-Benmerzoug, 2009; Bechiri-Benmerzoug et al, 2018).

تبين مصادر الصهير الذي تبلورت منه مختلف انواع الصخور قيد الدراة دليل على تغير في الظروف الجيodynamiكية التي أسهمت في البنية الحالية، لأن انتظام مجمل الصخور المحتمل تشكلها من وشاح نقي في نطاق واحد على غرار تلك التي يبدو أنها تبردت من magma ملوث بمواد قشرية في نطاق آخر إثبات اضافي على وجود نوعين من الوشاح. وقد تبين وجود نوعين من مذسوسات الوشاح المصاحبة للنشاط البركاني الحديث الممثل بأسطح تاهالغا (Tahalra district) (Kourim et al, 2014) في وسط إقليم سيلات يفصلهما جغرافيا خط طول $4^{\circ}30'E$ $< \text{Nd}_{\text{e}} < -8.38$ المعرف بفالق

وخطي الطول $4^{\circ}02'E$ et $4^{\circ}46'E$ وتبعد مساحته الإجمالية 7800 كلم².

بيت الدراسات الجيولوجية والبترولوجية والتزمين المطلق ان كتلة سيلات تشكلت ما بين البروتيروزويك الحديث والكمبري (1000-530 مليون سنة) واعتبره الباحثون ما تبقى من جزر قوسية بركانية "فتيّة" تشكلت في محيط قديم والتحمت بشبه الراسخ لاتيا أثناء مرحلة النروة للدورة البانية للجبال لعموم افريقيا (580-630 مليون سنة)، بعد تصرف الجهة الغربية للاتيا كحافة نشطة وتشكل منطقة غوص باتجاه الغرب. عند التصادم فقدت كتلة سيلات وشاحها "الفتي" وارتقت فوق الجزء الغائص من اللوح الليتوسييري للاتيا (Liégeois et al, 2003).

سمحت هذه الفرضية بتفسير احتفاظ أغلب صخور كتلة سيلات المتشكلة خلال المراحل الأولى من الدورة (870 و 635 مليون سنة) بخصائصها الأصلية واكتفائها بتسجيل تحول سطحي في سُحبة الشّيست الأخضر خلال مرحلة النروة البانية أفريقية ، مثل الديوريت كوارتزيت "تمسلاغسين" 4 ± 868 (8 ملايين سنة) وباتولييت تاكلا (4 ± 839) ملايين سنة) والباتولييات من نمط (TTG) : طامطق (5 ± 742 مليون سنة) وأهمباتو (6 ± 651 مليون سنة) وسيلات (5 ± 649 مليون سنة) وإاهلي (5 ± 638 مليون سنة). وقد دعمت نتائج تحاليل النّظائر ($\text{Nd}_{\text{e}}/\text{Hf}_{\text{e}}$) المنجزة على المركبات الغرانيتية (A-type) التي تظهر في شمال منطقة الدراسة (بصفتها من بين آخر شواهد الدورة) مثل تاج أوراك Teg'Orak ($-5,18 < \text{Nd}_{\text{e}} < -8.38$)

قطع قاعدة من الصخور البركانية-الرسوبية التابعة للسلسلة الفاروزية الأولى حيث يظهر في Taklet الجهة الشمالية باتوليت تاكلات "البوتاسي" المؤرخ في 839 ± 4 م س والذي يختلفه المركب الغرانيتي تاج-أوراك Teg Orak (519 ± 18 م س) ويظهر في الجهة الجنوبية باتوليت إهارج Ziharedj (غير مؤرخ) وباتوليت إهلي (Eheli، 638 ± 5 م س) الكبیرین فيما يظهر جزء من المركب الغرانيتي إنجارن (Inedjaren A-type) (الشكل 2) وأحزمة من قواطع الدولريت الموجهة شرق-غرب إلى شمال شرق-جنوب غرب في الجهة الجنوبية.

[2] النطاق الغربي تيمسلاگسين-تیوین (Timesslarssine-Tioueïene) : ينحصر هذا النطاق بين فالق تين-دهار شرقاً والفالق تيدياني، وهو يتميز بتنوع السحقنات حيث يحتوي على عدد كبير من الباتوليتيات من نمط (T T G) متوسطة الحجم مثل ديووريت-كوارتزيت "تيمسلاگسين" (868 ± 8 م س) لوبن هاران (Louine Harane)، غير مؤرخ) وتين-تیکادیویت (Tin-Tekadiouit)، غير مؤرخ) وأهمها تو Tamteq، Ahambatou (651 ± 6 م س) وطامطق (Silet، 742 ± 5 م س) وسيلات وهي غالباً ما تكون مرفقة بجسيمات من الصخور القاعدية-فوق القاعدية الصغيرة مثل مركب أيدلاه (Iddeleh) وبعض المركبات القاعدية التي تصل أحجامها إلى 15 كم وكذا بعض التلال الغرانيتية الصغيرة مزدوجة أو احادية الميكا (Mokaddem et al; 2019). المركبات الغرانيتية

تين-دهار (Bechiri et al, 2013). كما أوردت المعطيات الجيوفيزائية إلى جود فالق ليتسفيري عميق في إقليم سيارات يتطابق مع خط $E^{\circ}30' 4$ (Deramchi et al, 2020). علاوة عن البيانات الجيوفيزائية (الجاذبية-المغناطيسية) التي بيّنت أن سُمك كتلة سيارات ضعيف واثبتت وجود منطقة التحام على عمق يفوق 10 كم تحت كتلة عين تيدياني تربط بين كتلة تين زواتين غرباً ولاطيا شرقاً (Brahimi et al, 2018) الأمر الذي يجعلنا نؤكّد وجود قشرة قديمة أسفل المجال الشرقي من كتلة سيارات وعدم ثبوّت وجودها في المجال الغربي.

5-/ الخلاصة (Conclusion)

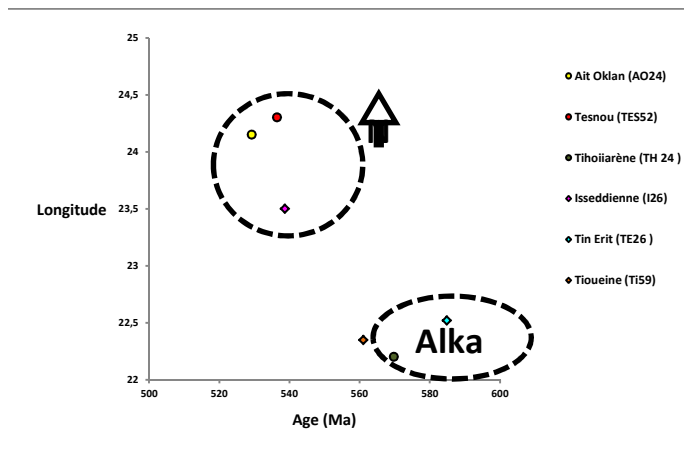
وفيما للقيم الإيجابية أو السلبية لنظائر عنصري النيوديم وأو الهافنيوم (Hf^{+2} Nd et/ou) لبعض الصخور المكتشفة في المنطقة الوسطى لكتلة سيارات نقّاح تعين فالق تين-دهار (Tin-Dahar Fault) المتطابق مع خط طول $E^{\circ}30' 4$ كحد فاصل بين نطاقين : [1] النطاق الشرقي تاكلات-أهلي (Taklet-Eheli) بتوقّع نظيري سالب [2] النطاق الغربي تيمسلاگسين-تیوین (Timesslarssine-Tioueïene) بتوقّع نظيري إيجابي.

[1] النطاق الشرقي تاكلات-أهلي (Taklet-Eheli) : حدوده الشرقيّة متطابقة مع الفالق العظيم $E^{\circ}50' 4$ ثم ينحرف عند خط عرض $N^{\circ}23$ شماليًا باتجاه الجنوب الغربي وحدوده الغربيّة توافق فالق تين-دهار (30-4) الموجه شمال-جنوب. يشمل هذا النطاق ثلاثة باتوليتيات كبيرة الحجم

[4] كتلة سيلات: اتحام مجموعة من الأراضي الدخيلة : سجلت كتلة سيلات خلال الدورة البنائية للجبال العموم إفريقيا (520-870 م) نشاطاً ماغماتياً متنوّعاً، بدأ بتشكل باتوليتات مرتبطة بظاهرة الغوص من نمط تدرج متدرجة على أربع مراحل (638-742-870-870 مليون سنة) على الأقل، خلال المرحلة المتأخرة من الدورة توضعت المركبات الغرانيتية القلوية مابين 560 و 570 مليون سنة في الجهة الجنوبية وتبعها مجموعة ثانية قلوية-كليسية توضعت مابين 540 و 530 مليون سنة في الجهة الشمالية من كتلة سيلات (الشكل 7).

(A-type) ممثلة في منطقة الدراسة (في الجهة الجنوبية من النطاق) بتين-إغيت (Tin-Erit) 584.8 ± 6 م (± 561 م) وبتيون (Tioueïne) وتهارت نابرور (Taharait N'abror)، غير مؤرخ).

[3] الفالق تين-دهار Fault : يتطابق فالق تين-دهار مع خط الطول $4^{\circ}35'E$ ويحيد جنوباً وفقاً للخط $4^{\circ}30'E$ (ش ش ش-ج ج غ) يظهر على جانبي أسطح الحمم البركانية الحديثة تاهالغا ممثلاً في الجهة الشمالية من إقليم الدراسة بمنطقة قص (Shear zone) بإزاحة يمينية (dextral strike-slip) تظهر بها صخور متحولة مثل السريلنتيت وأخرى بركانية "هضبة إغلوشم" وفي الجهة الجنوبية نجد صخوراً متحولة فقط مثل التالك شيست والأمفوبلايت.



الشكل 7: مخطط يوضح العلاقة بين العمر والموقع الجغرافي للمركبات الغرانيتية (لكتلي سيلات وعين تيدياني)

البانا أفريقية وهي تشبه مناطق معروفة في جميع أنحاء العالم مثل هامش أمريكا الشمالية في المحيط الهادئ.

تشكل كتلة سيلات من التحام مجموعة من الأراضي الغربية، لكل واحدة منها تاريخ جيولوجي مميز، اجتمعت خلال المرحلة الأخيرة من الدورة

(References) / المراجع

1. Abdallah N, Liégeois JP, De Waele B, Fezaa N, Ouabadi A 2007. The Temaguessine Fe-cordierite orbicular granite (Central Hoggar, Algeria): U-Pb SHRIMP age, petrology, origin and geo-dynamical consequences for the late Pan-African magmatism of the Tuareg shield. *J Afr Earth Sci* 49:153–178
2. Abed, H. 1983. Paléosuture à caractère ophiolitique du protérozoïque supérieur dans la région de Silet (Hoggar occidental, Algérie). Thèse 3ème cycle ; Nancy1, 172p
3. Azzouni-Sekkal, A. 1989. Pétrologie et géochimie des granites de type "taourirt" : un exemple de province magmatique de transition entre les régimes orogéniques et anorogéniques, au Pan-Africain (Hoggar, Algérie). Thèse Doctorat d'Etat, Université des Sciences et Techniques Houari-Boumediene, Alger, et Mémoires Service Géologique Algérie 7, 288p.
4. Azzouni-Sekkal, A., Boissonnas, J. 1987. Geochimistry of the Tiouine Pan-African granite complex (Hoggar, Algérie). *Geological Journal* 22, 213-224.
5. Azzouni-Sekkal, A., Boissonnas, J. 1993. Une province magmatique de transition du calco-alcalin à alcalin : les granitoïdes pan-africains à structure annulaire et la chaîne pharusienne du Hoggar (Algérie). *Bulletin de la société géologique de France*, 164, 597-608.
6. Azzouni-Sekkal, A., Bonin, B. 1998. Les minéraux accessoires des granitoïdes de la suite Taourirt, Hoggar (Algérie): conséquences pétrogénitiques. *Journal of African Earth Sciences* 26, 65–87
7. Azzouni-Sekkal, A., Liégeois, J-P., Bechiri-Benmerzoug, F., Belaidi-Zinet, S., Bonin, B. 2003. The "Taourirt" magmatic province, a marker of the closing stage of the Pan-African orogeny in the Tuareg Shield: review of available data and Sr-Nd isotope evidence. *Journal of African Earth Sciences* 37, 331-350
8. Azzouni-Sekkal,A, Bonin,B, Bowden, P, Bechiri-Benmerzoug, F, Meddi, Y . 2020. Zircon U-Pb and Lu-Hf isotopic systems in ediacaran to Fortunian "Taourirt" granitic ring complexes (Silet and In Tedeini terranes, Tuareg shield, Algeria), *Journal of African Earth Sciences*, Elsevier, 2020, 168, pp.103865.(DOI [10.1016/j.jafrearsci.2020.103865](https://doi.org/10.1016/j.jafrearsci.2020.103865)).
9. Bechiri H, Azzouni-Sekkal A, Béchiri-Benmerzoug F, Bonin B, Liégeois JP, Kheloui R, Matukov DI, Sergeev SA . 2016. La faille de Tin-Dahar, un élément clé dans la structuration du bloc de Silet (ex Iskel) Hoggar occidental, Algérie. In: 1st Arab geoscience union international conference (AIC-1), Algiers, Algeria, p 4
10. Bechiri, H. 2005. Le complexes basique-ultrabasique de Tin-Erit: étude pétrographique, minéralogique, géochimique (Hoggar occidental, Algérie). Thèse de magister, FSTGAT/USTHB. 125pp.
11. Béchiri-Benmerzoug F, A. Azzouni-Sekkal, Liégeois JP, Bonin B Bechiri H, Kheloui R .2018.The Silet superterrane (Western Hoggar, Algeria) a collage of exotic terranes. 17th Conference of the Geological Society of Africa. 27th Colloquim of African Geology.Aveiro Portugal 21/28 july 2018
12. Bechiri-Benmerzoug F, Bonin B, Bechiri H, Khéloui R, Talmat-Bouzeguela S, Bouzid K 2017. Hoggar geochronology: a historical review of published isotopic data. *Arab J Geosci* 10:351
13. Bechiri-Benmerzoug, F. 1998. Le complexe granitique du Tin-Erit : Cartographie, pétrologie, minéralogie et géochimie (Hoggar occidental, Algérie). Thèse de magister, IST/USTHB. 165pp.
14. Bechiri-Benmerzoug, F. 2009. Pétrologie, géochimie isotopique et géochronologie des granitoïdes Pan-africains de type TTG de Silet : contribution à la connaissance de la structuration du bloc d'Iskel (Silet, Hoggar occidental) Algérie, Thèse Doctorat, Université

- des Sciences et Techniques Houari-Boumedienne, Alger, 398p.
15. Bendaoud A, Ouzegane K, Godard G, Liégeois JP, Kienast JR, Bruguier O, Drareni A. 2008. Geochronology and metamorphic P-T-X evolution of the Eburnian granulite-facies metapelites of Tidjenouine (Central Hoggar, Algeria): witness of the LATEA metacratonic evolution. In: Ennih N, Liégeois JP (eds) *The boundaries of the West African Craton*. Geol Soc London Spec Pub 297: pp 111-146
16. Bertrand J.M.L., Boissonas, J., Caby, R., Gravelle, M., Lelubre, M. 1966. Existence d'une discordance dans l'antécambrien du "fossé" pharusien de l'Ahaggar occidental (Sahara central). C. R. Acad. Sc. Paris, 262, D 2197-2200.
17. Bertrand JML, Caby R, Ducrot J, Lancelot JR, Moussine-Pouchkine A, Saadallah A 1978. The late Pan-African intracontinental linear fold belt of the eastern Hoggar (Central Sahara, Algeria): geology, structural development, U/Pb geochronology, tectonic implications for the Hoggar shield. Precambr Res 7:349–376
18. Bertrand JML. 1974. Evolution polycyclique des gneiss du Précambrien de l'Aleksod (Hoggar central, Sahara algérien). Aspects structuraux, pétrologique, géochimiques et géochronologiques. Centre National de la Recherche Scientifique Paris, France, Série Géologique 19, p 350
19. Bertrand, J.M., Meriem, D., Lapique, F., Michard, A., Dautel, D., Gravelle, M. 1986. Nouvelles données radiométriques sur l'âge de la tectonique Pan-Africaine dans le rameau oriental de la chaîne pharusienne (région de Timgaouine, Hoggar, Algérie). C.R. Acad. Sc. Paris, t. 302, Série II, n°7.
20. Bertrand, J.M.L., Lassere M. 1976. Panafrican and Precambrian history of the Hoggar (Algerian Sahara) in the light of new geochronological data from the Aleksod area. Precambr.Res. 3, 343-362.
21. Black, R., Latouche, L., Liegeois, J.P., Caby, R., Bertrand, J.M. 1994. Pan-African displaced terranes in the Tuareg Shield (Central Sahara). Geology 22, 641–644
22. Boissonnas, J. 1973. Les granites à structures concentriques et quelques autres granites tardifs de la chaîne pan-africaine en Ahaggar (Sahara central, Algérie). Thèse Doct. Etat, Ed C. N.R.S- C. R. Z. A. Série géologie, No. 16. 2 vol., 662 pp.
23. Bouhkalfa, L. 2002. Les formations volcano-sédimentaires néoprotérozoïques de la branche orientale de la chaîne pharusienne (Hoggar occidental, Algérie) : lithologie et géochimie. Mémoire du service géologique de l'Algérie 11, 9-31.
24. Bouzeguella-Talimat, Sabiha. 2014. Géochimie, géochronologie et contexte géodynamique des granitoïdes panafricains de l'Amsel (Hoggar, Algérie). Thèse Doctorat, Université des Sciences et Techniques Houari-Boumedienne, Alger. 272p
25. Bouzid A, Bayou B, Liégeois J-P, Bourouis S, Bougchiche SS, Bendekken A, Abtout A, Boukhlof W, Ouabadi A 2015. Lithospheric structure of the Atakor metacratonic volcanic swell (Hoggar, Tuareg Shield, southern Algeria): electrical constraints from magnetotelluric data. In: Foulger GR, Lustrino M, King SD (eds) *The interdisciplinary earth: a volume in honor of Don L. Anderson*, vol 514. Geological Society of America special paper, pp 239–255
26. Brahimi.S, Liegeois. J-P, Ghienne. J-F, Munsch. M, Bourmatte. A. 2018. The Tuareg shield terranes revisited and extended towards the northern Gondwana margin: Magnetic and gravimetric constraints. Earth-Science Reviews, Elsevier, 185, pp.572 - 599
27. Caby, R. 2003. Terrane assembly and geodynamic evolution of central-western Hoggar: a synthesis. Journal of Earth Sciences 37, 133-159.
28. Caby, R., Andreopoulos-Renaud, U., Gravelle, M. 1982. Cadre géologique et géochronologique U/Pb sur zircon

- des batholites précoces dans le segment pan-africain du Hoggar central (Algérie). *Bulletin Société Géologique France* 24, 677–684.
29. Cheilletz, A., Bertrand, J.M., Charoy, B., Moulahoum, O., Bouabsa, L., Farrar, E., Zimmermann, J.L., Dautel, D., Archibald, D.A., Boullier, A.M., 1992. Géochimie et géochronologie Rb/Sr, Kr/Ar, 40Ar/39Ar des complexes grani-tiques pan-africains de la région de Tamanrasset_Algérie.: relations avec les mineralisations Sn-W associées et l'évolution tectonique du Hoggar central. *Bull. Soc. Géol. France* 163, 733–750.
30. Chikhaoui; 1981. Les roches volcaniques du Protérozoïque supérieur de la chaîne panafricaine du Hoggar et Anti-atlas. Thèse doct. d'état Univ. Montpellier, 183p
31. Dautria, J.M., Dostal, J., Dupuy, C., and Liotard, J.M. 1988. Geochemistry and petrogenesis of alkali basalts from Tahalra (Hoggar, northwest Africa). *Chemical Geology*, v. 69, p. 17–35, doi: 10.1016/0009-2541(88)90155-6.
32. Deramchi. A, Bouzid. A, Bendaoud. A, Ritter. O, Hamoudi. M, Cruces-Zabala. J, Meqbel.N, Boukhalfa. Z, Boughchiche. S, Abtout. A, Boukhlouf. W, Bendekken. B. 2020. Neoproterozoic amalgamation and Phanerozoic reactivation of Central/Western Hoggar (Southern Algeria, Tuareg Shield) lithosphere imaging using Magnetotelluric data. *Journal of Geodynamics* 139. 101764
33. Doukkari SA, Ouzegane K, Godard G, Diener JFA, Kienast JR, Liégeois JP, Arab A, Draren A .2015. Prograde and retrograde evolution of eclogite from Adrar Izzilatène (Egéré-Aleksod terrane, Hoggar, Algeria) determined from chemical zoning and pseudosections, with geodynamic implications. *Lithos* 226:217–232
34. Dupont, P. L. 1987. Pétrologie et géochimie des ensembles magmatiques Pharusien I et Pharusien II dans le rameau oriental de la chaîne pharusienne (Hoggar, Algérie), Implications géodynamiques pour l'évolution d'une chaîne mobile au Protérozoïque supérieur. Thèse doct; Univ. Nancy I, 283p.
35. Gravelle M. 1969. Recherches sur la géologie du socle Précambrien de l'Ahaggar centro-occidental dans la région de Silet Tibehaouine. PhD thesis, Paris, p 781 (unpublished)
36. Gravelle M., Chikhaoui, M. 1976. Tectonique tangentielle panafricaine et métamorphisme épizonal dans le fosse pharusien du Hoggar occidental. 4ème R.A.S.T., Paris, p. 209
37. Haddoum, H. 1984. Lithologie, évolution structurale et géodynamique des terrains précambriens d'Abankor-Timgaouine (Hoggar, Algérie). Thèse doctorat es sciences Paris-Sud université d'Orsay, France 182p.
38. Kheloui. R. 2009. Etude pétrographique, minéralogique et géochimique du massif mafique –ultramafique d'Iddeleh (Silet, Bloc d'Iskel, Hoggar. Thèse de magister, FSTGAT. 102pp
39. Kourim. F, Vauchez. A, Bodinier. J-L, Alard. O, Bendaoud. A .2015 Subcontinental lithosphere reactivation beneath the Hoggar swell (Algeria): Localized deformation, melt channeling and heat advection. *Tectonophysics*, Elsevier, 650, pp.18-33.
40. Kourim. F, Vauchez. A, Bodinier. J-L, Alard. O, Bendaoud. A., Dautria. J-M. 2014 .Nature and Evolution of the Lithospheric Mantle beneath the Hoggar Swell (Algeria): a Record from Mantle Xenoliths. *Journal of Petrology*, Volume 55, Issue 11, p 2249–2280, DOI.org/10.1093/petrology/egu056
41. Lapique, F., Bertrand, J.M., Meriem, D. 1986. A major Pan-African decoupling zone in the Timgaouine area (Western Hoggar). *Journal of African Earth Sciences* 5, 617-625.
42. Lelubre M. 1952. Recherche sur la géologie de l'Ahaggar central et occidental (Sahara central).Thèse d'Etat, Paris, France tome 1, p 354, tome 2, p 385

43. Liégeois, J.P. 2019. A New Synthetic Geological Map of the Tuareg Shield: An Overview of Its Global Structure and Geological Evolution, The Geology of the Arab World—An Overview, Springer Geology, DOI.org/10.1007/978-3-319-96794-3_2
44. Liégeois, J.P., Latouche, L., Boughrara, M., Navez, J., Guiraud, M. 2003. The LATEA metacraton (central Hoggar, Tuareg shield, Algeria): Behaviour of an old passive margin during the Pan-African orogeny. *Journal of African Earth Sciences* 37.
45. Mokaddem et al ; 2019. Classification des biotites de la région de Silet (Hoggar Occidental, Algérie): Exemple d'un TTG (Tin-Tekadiouit), d'un complexe annulaire (Taharait N'abror) et d'un granite à deux micas. 1er séminaire National en Géosciences et Environnement-Centre Universitaire de Tamanrasset. 23-24 octobre 2019
46. Paquette, J.L., Caby, R., Djouadi, M.T., Bouchez, J.L. 1998. U-Pb dating of the end of Pan-African orogeny in the Tuareg Shield: the post-collisional syn-shear Tiouine pluton (western Hoggar, Algeria). *Lithos* 45, 245–253
47. Peucat JJ, Drareni A, Latouche L, Deloule E, Vidal P 2003. U-Pb zircon (TIMS and SIMS) and Sm-Nd whole rock geochronology of the Gour Oumalelen granulitic basement, Hoggar massif, Tuareg Shield, Algeria. *J Afr Earth Sci* 37:229–239
48. Zerrouk. S, Bendaoud. A, Hamoudi. M, Liégeois. J-P, Boubekri., Ben El Khaznadjji. R. 2017. Mapping and discriminating the Pan-African granitoids in the Hoggar (southern Algeria) using Landsat 7 ETM+ data and airborne geophysics .*Journal of African Earth Sciences*.V.
127, P 146-158
.DOI.org/10.1016/j.jafrearsci.2016.10.003

البعض الأول: يختص المعطيات البيئية والتحليل الكيبيرافية والتحليل البيئوغرافية ونحو ذلك من نمط ΠG + البليت اليوناني تناكلات (منطقة سيلان)

كتلة سيلات (الهقار الغربي، الجزائر): إقليم من الأراضي الدخيلة

Ait-Ouklan (529.3±3.1Ma)	Tesnou (536.5±6.7Ma)	Issiedienne (538.7±2.9Ma)	Thioirene (569.8±4.8Ma)	Tiouéine (561±6Ma)	Tin-Erit (584±2Ma)	التأثيرات
Gilla	Gilla, Glib	Gilla, Glib	Gilla, Glll	Gila, Gila, Glll	Gilla, Glll	A-type Classification (Azzouni-Sekkal and Bonin, 1998)
monzogranite and syenogranite	monzogranite and syenogranite, alkali feldspar granite (alkali feldspar granite)	monzogranite and syenogranite, alkali feldspar syenite and granite	monzogranite and syenogranite, alkali feldspar syenite and granite	monzogranite and syenogranite, alkali feldspar syenite and granite	monzogranite and syenogranite, alkali feldspar syenite and granite	اسم المغذية (Azzouni-Sekkal et al 2020)
+ كوارتز + بلاجيوكلاز + فلديسبار بورتاسي	+ كوارتز + بلاجيوكلاز + فلديسبار بورتاسي	+ كوارتز + بلاجيوكلاز + فلديسبار فلوري	+ كوارتز + بلاجيوكلاز + فلديسبار بورتاسي	+ كوارتز + بلاجيوكلاز + فلديسبار فلوري	+ كوارتز + بلاجيوكلاز + فلديسبار بورتاسي	الرئيسية للمعدن
بيوريت \pm هورنبلاند	بيوريت \pm هورنبلاند	بيوريت \pm هورنبلاند	بيوريت \pm هورنبلاند	المعادن الملونة	المعدن الملونة	التركيبة المعدنية
الألبيت + أليت + زركون + ماغنتيت				المعدن الملونة		
70.99 < SiO ₂ < 74.41%	77.27 < SiO ₂ < 69.08%	77.83 < SiO ₂ < 73.29%	73.40 < SiO ₂ < 78.70%	70.02 < SiO ₂ < 77.14%	69 < SiO ₂ < 76.18%	درجة الشائز
0.37 < CaO < 1.79%	1.54 < CaO < 0.33%	0.21 < CaO < 1.22%	0.15 < CaO < 1.97%	0.1 < CaO < 2.18%	0.06 < CaO < 1.54%	المصودروم
ألوميني	ألوميني إلى فوق قلوي	ألوميني إلى كسي-قلوي	ألوميني إلى كسي-قلوي	ألوميني إلى كسي-قلوي	ألومينيوم(ASL)	الإلومنيوم
4.37 < (La/Yb) < 15.73	2.57 < (La/Yb) < 13.38	3.48 < (La/Yb) < 16.54	12.09 < (La/Yb) < 13.77	2 < (La/Yb) < 22.04	9.13 < (La/Yb) < 34.20	REE patterns
-1.25 > εNd > -5.21	-2.13 > εNd > -9.75	/	εNd=-2.85	/	/	النماذج
-0.1 < εHf < 6.6	-0.25 < εHf < 11.2	+0.7 < εHf < +1.8	-0.8 < εHf < +2.2	+2.2 < εHf < +7.1	+5.9 < εHf < +16.9	εHf

الجدول 2: ملخص المعلومات البيئية وغروفية والتحليل الكيميائية للمركبات العضوية A-type (كتلني سيلات وعين تيداني)

اختبارات المكافحة البيولوجية بواسطة سبينوساد

(مبيد حشري بيولوجي) ضد سوسة التمر

Ectomyelois ceratonia

في ظل ظروف خاضعة للرقابة

أيوب حاجب¹ ، * ، محمد الصغير مهاوة¹ ، محمد العيد واكيد²

¹قسم العلوم الزراعية. جامعة بسكرة ، الجزائر

²قسم البيولوجيا. جامعة عنابة ، الجزائر

المؤلف: ayoub.hadjeb@univ-biskra.dz

تاریخ الارسال: 14 مارس 2021 / تاریخ القبول: 14 جوان 2021

عن معالجة اليرقات بأربعة مقادير من Spinosad

أن هذا المبيد الحيوي يقلل من خصوبة الإناث وخصوبة البويليات.

الكلمات المفتاحية (Keywords): المكافحة الحيوية، Spinosad، *Ectomyelois ceratoniae*، معدل الوفيات المصحح، السمية، الخصوبة.

المقدمة:

في الجزائر، يعتبر نخيل التمر الداعمة الأساسية للنظام البيئي للواحات في الصحراء وبعض المناطق الداخلية. وهي توفر دخلاً منتظماً للمزارعين من خلال تسويق ثمارها على المستويين الوطني والدولي. يلعب دور الشاشة في حماية الواحات من تأثيرات الصحراء ويخلق مناخاً محلياً يفضي إلى تنمية المحاصيل الأساسية واستقرار السكان المحليين في

خلاصة (Abstract)

بسبب العواقب الكارثية للتطبيق المكثف لمبيدات الآفات ومبيدات الأعشاب، وجد العلماء طرقاً أقل ضرراً. في هذا السياق، قمنا بعملنا لاستكشاف نشاط عينة من مبيد Spinosad على يرقات *Ectomyelois ceratoniae*، وهي أهم وأخطر آفات نخيل التمر في العالم وخاصة في الجزائر.

أظهرت دراسة التأثير السام ل Spinosad على معدل النفوق في مرحلتي اليرقات الأولى أن الجرعات المستخدمة كانت مرتبطة معنوياً وإيجابياً مع معدل الوفيات المعدلة لفترات مختلفة من تعرض اليرقات لمبيد الحيوي. أظهرت دراسة المعايير demografique للأفراد الناتجة

تنفيذ هذا العمل من أجل دراسة سمية Spinosad وهو مبيد حشري بيولوجي، بشكل أساسي في المختبر على مراحل اليرقات المختلفة من عثة التمر.

المواد والطريق (Materials and methods)

التربية الجماعية لعثة التمر:

تم إجراء تكاثر من سلالة *Ectomyelois ceratoniae* من بستان النخيل بمنطقة بسكرة عام (2018)، وقد وضعنا التمور المصابة في قفص تكاثر في غرفة نمو مضبوطة عند درجة حرارة 30 ± 1 درجة مئوية ، رطوبة نسبية ($70 \pm 5\%$) وفتره ضوئية 16 ساعة: 8 ساعات (D: L: 16). عند (1987; Mediouni and Dhouibi, 2007 ظهور، يتم أسر البالغين من *Ectomyelois ceratoniae* باستخدام أنبوب اختبار. ثم يتم وضعها داخل الصناديق البلاستيكية للربط. بعد التزاوج، تضع الإناث البيض داخل العلب. يتم تفريغ البيض من خلال تول شبكي ناعم في الصناديق البلاستيكية (20×40). تم تربيتها على نظام غذائي صناعي يحتوي على دقيق التمر (50 جم) ونخالة القمح (50 جم) والماء المقطر (20 مل). بعد بضعة أيام يفقس البيض وتحصل على يرقات لمعالجة المبيدات الحيوية. (Hadjeb et al., 2014)

هذه المناطق الهشة بيئياً (Majourhat et al., 2002) انخفض إنتاج التمور على مر السنين بسبب هجمات الآفات والأمراض المختلفة مثل: البيوض ، حشرة العفن ، العث البق الدقيقي وعثة التمر *ceratoniae* Zeller *Ectomyelois* حشرة متعددة الآفات تم تحديد يرقاتها على أنها آفة ضارة اقتصادياً ، فهي تسبب أضراراً كبيرة يمكن أن تصل من 20 إلى 30٪ من إنتاج التمور (Mehaoua et al., 2013) وهذه الحشرة تشكل تهديداً اقتصادياً خطيراً لانتاج التمور. خلال آخر 25 عاماً ، تسببت عثة التمر في ضرر يتراوح بين 10 و40٪ في المحصول القابل للجني سنوياً (Warner, 1988 Nay et al., 2006). اليرقات متعددة مصادر الأكل وتهاجم كلاً من المنتجات المخزنة والمحاصيل الحقلية في حوض البحر الأبيض المتوسط وبلدان منطقة الشرق الأدنى (Hadjeb et al., 2021). تعتبر عثة *Ectomyelois ceratoniae* (Zeller) (Lepidoptera: Pyralidae) واحدة من الآفات الرئيسية على الخروب والرمان والتمر والحمضيات واللوز في جميع أنحاء العالم (Gothilf, 1969; Ksentini et al., 2010; Warner, 1988).

إن سوء استخدام المبيدات وتجاهل المزارعين لخطرها له آثار ضارة على صحة الإنسان والحيوان والبيئة وتدمر الحيوانات النافعة. في هذا الإطار تم



الشكل 01: تربية في وسط صناعي عثة التمر

مع جرعة تحكم؛ كل ذلك مع ثلاثة تكرارات، وقد قدمنا 20 يرقة من يرقات الأعمار الأولى لكل اختبار. تم عمل الملاحظات كل 24 ساعة لاحصاء اليرقات الميتة.

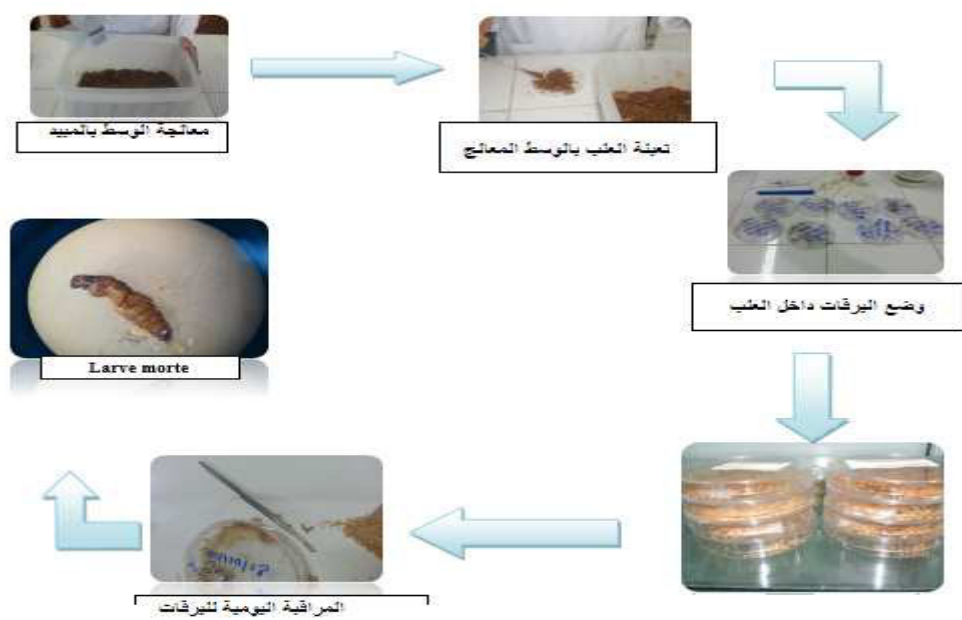
تم إجراء اختبار آخر بنفس الجرعات ولكن هذه المرة قمنا برش الجرعات الأربع من Spinosad على 20 بيضة مباشرة بجرعة تحكم كل ذلك في ثلث مرات. يتم إجراء تصنيفات البيض الفاقس كل 24 ساعة باستخدام مجهر ثنائي العينين.

لم تتعرض التخفيفات التجريبية لأشعة الشمس، وتم التخلص من الأحجام الزائدة من كل تخفييف خلال 24 ساعة من التحضير.

دراسة سمية Spinosad على اليرقات والبيوض:

تم الحصول على عينة من الصيغة التجارية لتركيز Spinosad المعلق السائل المركز (Tracer)، كهدية من شركة Dow AgroSciences (480SC)، الجزائر، تحتوي على 480 جم من العنصر الفعال Spinosad لكل لتر.

في علب بتري بلاستيكية معقمة (قطر 9 سم) تحتوي على علف طبيعي مكون من تمر مرحى تقوم برش المبيد الحيوي Spinosad. طبقنا العلاج بأربع جرعات من 25 جزء في المليون، 50 جزء في المليون، 100 جزء في المليون و 200 جزء في المليون



الشكل 02: دراسة سمية Spinosad على اليرقات والبيض

بتصنیف الترکیزات المختلفة المستخدمة. يتم إجراء مقارنة بين الوسائل عن طریق الاختبارات البارامتیریة. تم تنفيذ الحسابات بواسطہ برنامح XLSTAT .2013

(Results and discussion)

دراسة نفوک يرقات *E. ceratoniae* المعرضة لسبينوساد

يُظهر تحليل التباين في معدل النفوک المصحح لليرقات في المرحلة الأولى بعد 24 ساعة و48 ساعة و72 ساعة و96 ساعة و120 ساعة و144 ساعة من مدة التعرض ل Spinosad فروق ذات دلالة إحصائية كبيرة بين الجرعات الأربع المستخدمة على التوالي $0, P = 0.0004$; $1063, P < 0,0001$; $0,0003$ et $P < 0,0001, P = 0,0001$ (الجدول 1).

تحليل إحصائي:

من أجل توصیف قویة جزئیات المبیدات الحشریة المستخدمة، حددنا الجرعة الممیتة بنسبة 50% (LD₅₀). يتم تحويل معدلات الوفیات المصححة التي تم الحصول عليها إلى استقامۃ مما یسمح بإنشاء خط انحدار بناءً على اللوغاريتمات العشریة للجرعات المستخدمة. بمساعدة المنحنی نحدد جميع الجرعات وفقاً لـ Finney (1971) وSwaroop (1966)، طریقة (Finney, 1971). طریقة Swaroop وآخرون. ، یسمح بحساب فاصل الثقة ± LD₅₀.

في حالة Spinosad المتغير المقاس يتواافق مع معدل وفیات اليرقات. تم تصحیح معدل الوفیات بواسطہ صیغة Abbot. تخضع معدلات الوفیات المختلفة لتحول زاوي وفقاً للجدائل التي وضعها Bliss (Fisher and Yates, 1975) . تخضع البيانات المحولة لتحليل التباين (ANOVA) بمعیار تصنیف واحد. یسمح حساب الفرق الأقل أهمیة (LSD).

نَتَجَ عَنْ أَعْلَى تِرْكِيزِينَ مِنْ سَبْ يَنِوسَادَ (100 جُزْءٌ فِي الْمَلِيُونِ وَ200 جُزْءٌ فِي الْمَلِيُونِ) أَكْبَرُ مَعْدُلٍ وَفَيَاتٍ لِيرْقَاتِ E. ceratoniae بِنَسْبَةِ 120.00٪ فِي زَمْنٍ مُمِيتٍ طَوِيلٍ بِمَا يَكْفِي (120 سَاعَةً). فِي حِينَ أَقْلَى جَرْعَةَ مُسْتَخْدِمَةِ (25 جُزْءٌ فِي الْمَلِيُونِ) مُسْتَحْثَةٌ فِي 24 سَاعَةً وَ48 سَاعَةً ، فَإِنَّ أَقْلَى مَعْدُلٍ وَفَيَاتٍ هُوَ 15.00 وَ30.56٪ عَلَى التَّوَالِي (الجدول 1).

أظهرت نتائجنا أن تطبيق أربع جرعات من Spinosad تتراوح بين 25 و 200 جزء في المليون على يرقات المراحل الأولى من عثة التمر تسبب في نفوق يتراوح بين 10.0٪ و 100.0٪ لـ لعراض اليرقات لفترات مختلفة للمنتج. يزيد تأثير المبيدات الحشرية لـ أكثر من زيادة مدة تعرض اليرقات للمبيدات الحيوية.

الجدول 1: معدلات الوفيات المصححة ليرقات المرحلة الأولى من *E.ceratoniae* المعالجة ب *Spinosad*

وقت التعرض	تركيزات				F	P
	25ppm	50ppm	100ppm	200ppm		
بعد 24 ساعة	10,09±4,87	15,26±5,02	18,68±3,23	22,02±2,64	2,831	0,1063
بعد 48 ساعة	20,70±0,61	32,72±1,98	36,14±4,25	41,32±4,14	21,221	0,0004
بعد 72 ساعة	35,05±4,99	51,86±1,62	55,46±2,48	64,95±4,99	34,288	< 0,0001
بعد 96 ساعة	47,05±5,12	66,82±5,03	72,60±2,23	72,60±0,00	194,938	< 0,0001
بعد 120 ساعة	61,27±6,60	75,61±5,36	85,91±8,75	100,00±0,00	23,495	0,0003
بعد 144 ساعة	68,10±4,69	84,13±3,61	100,00±0,00	100,00±0,00	167,062	< 0,0001

$R^2 = 0.903$, $P = 0.0734$, $P = 0.119$, 0.1356
 $R^2 = 0.747$, $R^2 = 0.926$, $R^2 = 0.878$
 $R^2 = 0.895$, 0.789

يوفّر تحليل نتائج هذا الاختبار الحيوي قيمة تقديرية لـ 24 ساعة تبلغ 8992.46 جزء في المليون ، وتقدير الحدود الدنيا التي تأخذ قيمة لـ

من النتائج الموضحة في الجدول 2 ، نلاحظ أن
معدل الوفيات المصحح ليرقات L_1 *Ectomyelois*
المعرض لـ Spinosad *ceratoniae* يرتبط ارتباطاً
وثيقاً بالتركيزات المختلفة المستخدمة للوقت
المميت 24 ساعة ، 48 ساعة ، 72 ساعة ، 96
ساعة ، 120 ساعة ، 144 ساعة. على التوالي
 $P = P = 0.0375$ ، $P = 0.0629$ ، $P = 0.0499$

المليون للحد الأدنى و 22.50 جزء في المليون للحد الأعلى (علامة التبويب 2) 50 بـ 4172.99 جزء في المليون و 878.01 جزء في المليون للحد الأعلى.

الجدول 2. المعلمات السمية لـ Spinosad على يرقات الطور الأول L1

مقارنة بالقيمة المقدرة لـ 144 ساعة لـ LC₅₀ البالغة 20.60 جزء في المليون ، فإن حدود الثقة بين ما يأخذ قيمة 50 CL تقدر بـ 18.86 جزء في

وقت التعرض	معادلة الانحدار	R ²	P	LC ₅₀ (ppm)	S (Slope)	الحد الأدنى من LC ₅₀	الحد الأقصى من LC ₅₀
بعد 24 ساعة	Y = 3,114+0,477 x	0,903	0,0499	8992,46	121,59	4172,99	19378,01
بعد 48 ساعة	Y = 3,341+0,662 x	0,878	0,0629	320,66	31,79	184,41	557,56
بعد 96 ساعة	Y = -0,948+3,847x	0,747	0,1356	35,17	1,81	31,97	38,68
بعد 120 ساعة	Y = -0,146+3,503x	0,789	0,1119	29,45	1,92	26,52	32,69
بعد 144 ساعة	Y = -0,455+4,152x	0,859	0,0734	20,60	1,74	18,86	22,50

يوضح الجدول 3. أنه تم تسجيل أكبر عدد من البيض عند سيطرة الإناث (بدون معالجة) ، تلتها الإناث من اليرقات المعالجة بجرعات 25 جزء في المليون و 50 جزء في المليون و 100 جزء في المليون و 200 جزء في المليون. أظهرت النتائج أن تطبيق تراكيز مختلفة من Spinosad على يرقات الطور الأول من Ectomyelois ceratoniae يثبط نمو اليرقات ويسبب موتها. من الملاحظات المسجلة نلاحظ أن معدلات الوفيات مرتبطة بشكل إيجابي بالجرعات المختلفة المستخدمة ، بغض النظر عن مدة تعرض البيض لـ Spinosad .

دراسة خصوبة الإناث وبويضات *E. ceratoniae* أظهر التحليل الإحصائي (ANOVA) لمتوسط عدد البيض الذي تم وضعه لكل أنثى ومتوسط عدد البيض الذي تم فقسها من إصدار *E. ceratoniae* من البيوض التي تم التعامل معها بأربع جرعات (25 جزء في المليون ، 50 جزء في المليون ، 100 جزء في المليون ، 200 جزء في المليون) معنوية عالية. الفرق مع $P < 0.0001$ (الجدول 3).

الجدول 3: متوسط عدد البيض الذي يتم وضعه لكل أنثى مع متوسط معدل الفقس

Control	اختبار	25ppm	50ppm	100ppm	200ppm	d.f.	F	P
متوسط عدد البيض الذي يتم وضعه لكل أنثى (%)	159.67±28 .27	107.33±27,48	95.5±53,87	66.67±19.22	54.67±19.4	5	7,96	0,0001
متوسط معدل فقس البيض (%)	5,67±2,89	2,33±0,44	1,33±0,44	1,00±0,00	0,67±0,44	5	5,412	0,0001

(Arla et al., 1998) أن Spinosad هو أكثر فعالية من خلال الابتلاع من 5 إلى 10 مرات عن طريق الاتصال.

أشارت الدراسات الأولية إلى أن Spinosad قد يكون مبيداً حشرياً بيولوجياً جديداً وواعداً، فقد وفر تحكماً دائماً فعالاً في *Ectomyelois ceratoniae* في الظروف التجريبية.

من الواضح أن 2 Spinosad كان أكثر مبيدات اليرقات كفاءة التي تم اختبارها مع السيطرة المطلقة أو شبه المطلقة على تطوير *Aedes spp* و *Culex spp*. اليرقات لفترات تتراوح من 6 إلى 8 أسابيع حسب الموسم والتركيز (Marina et al., 2012). تؤكد نتائجنا توافقاً مع اختبار المكافحة البيولوجية الذي تم إجراؤه في تونس عام 2000 على نخيل التمر وتبين أن Spinosad فعال للغاية ضد عثة التمر حتى بجرعة منخفضة (KARIMI-PORMEHR et al., 2002 -al, 2018).

وفقاً لـ Thompson et al., (2010) و Kirst H. A. (2000) هو مبيد حشري (مبيد يرقات) واسع النطاق نسبياً مسجل للعديد من الأفات. يعتبر فعالاً ضد يرقات حرشفية الأجنحة وثنائية الأجنحة. يتطلب تأثير Spinosad من خلال الابتلاع وقتاً مميتاً أطول ، حتى مع الجرعات المنخفضة. يمكن أن يسبب الموت الكلي لليرقات.

(References) المراجع

:(Conclusion) الخاتمة

Al-Izzi, M.A.J., S.K. Al-Maliky and N.F. Jabbo, 1987. Culturing the Carob Moth, *Ectomyelois ceratoniae* Zeller (Lepidoptera: Pyralidae) on an Artificial Diet. *Journal of Economic Entomology*, 80(1): 277-280.

Finney, D.J., 1971. Probit Analysis, third ed. Cambridge University Press, London.

Fischer, R.A. et Yates, F. 1975. Statistical Tables for Biological, Medical and Agricultural Research. Ed. Longman, London.

Hadjeb A., Mehaoua M.S., and Ouakid M.L., 2014. Test of biological control against date moth *Ectomyelois ceratoniae* Zeller. (Lepidoptera, Pyralidae) by Spinosad. *Int. J. Adv. Res. Biol. Sci.* 1(7): (2014): 81–84.

Hadjeb A., Mehaoua M.S., Adjami Y., Lebouz I., and Ouakid M.L., 2021. EFFECT OF BIOCHEMICAL METABOLITES OF DATES ON NUTRITIONAL PERFORMANCES OF CAROB MOTH, (*ECTOMYELOIS CERATONIAE* ZELLER (LEPIDOPTERA: PYRALIDAE)). *International Journal of Sciences and Research. Vol. I. 77 | No. 2/1 | Feb 2021. DOI: 10.21506/j.ponte.2021.2.2.*

KARIMI-PORMEHR, M. S., BORZOUI, E., NASERI, B., RAFIEE DASTJERDI, H., AND MANSOURI, S. M. 2018. Two-sex life table analysis and digestive physiology of *Sitotroga cerealella* (Olivier) (Lepidoptera: Gelechiidae) on different barley cultivars. *J. Stored Prod. Res.* 75, 64–71

Khoualdia, O., Takrouni, M. L., Ben Mahmoud, O., Rhouma, A., Alimi, E., BelHadj, R., Abib, M., Brun, J. 2002. La Défense des végétaux. Centre de Recherche phoenicoles Phytoma (551), 15-17.

في الختام ، أظهرت الحشرات الناجية من التعرض لتركيز LC50 من Spinosad زيادة في القدرة الإنجابية ، ربما بسبب القضاء على الجزء الأصغر والأكثر حساسية من عشائر عنزة التمر. تؤكد هذه النتيجة على الحاجة إلى الحفاظ على تركيزات Spinosad عند مستويات مميتة في موائل اليرقات. مطلب يمثل تحديًا خاصًا وذلك عند التعرض لأشعة الشمس القوية أو التدفق المستمر للمياه إلى تدهور أو تخفيف المادة السامة. قد تساعد تركيبات الإصدار المستدام من Spinosad بشكل كبير في التغلب على هذه المشكلة ولكنها ليست متاحة على نطاق واسع للاختبار حتى الآن. تسمم نتائج هذه الدراسة في زيادة الأدبيات التي تشير إلى أن Spinosad هو مبيد فعال للغاية ليرقات *Ectomyelois ceratoniae*. مع التذكير أن Spinosad مبيد حشري طبيعي ليس له أي أضرار جانبية على الإنسان والبيئة.

Thompson, G.D ., Dutton, W and Sparks, T.C.
2000. Spinosad a case study: an example from a natural products discovery programme. *Pest Management Science* 56:696-702.

Warner, R. L. 1988. Contributions to the biology and the management of the carob moth, *Ectomyelois ceratoniae* (Zeller) in Deglet Noor date gardens in the Coachella Valley of California. PhD dissertation, University of California, Riverside, CA.

Kirst, H.A., 2010. The spinosyn family of insecticides: realizing the potential of natural products research, *The Journal of Antibiotics* 63,101–111.

Marina F. C., Bond J. G., Muñoz J., Valle J., Chirino N. and Williams T. 2012. Spinosad: a biorational mosquito larvicide for use in car tires in southern Mexico *Parasites & Vectors*. 5:95.

Majourhat, K., Bendiaba, K., Medraoui, L., Baaziz, M., (2002). Diversity of leaf perox-idases in date palm (*Phoenix dactylifera* L.) as revealed in an example of marginal (seeding derived) palm groves. *Scientia Horticulturae* 95, 31-38.

Mediouni, J., Dhouibi, M.H., 2007. Mass rearing and field performance of irradiated carob moth *Ectomyelois ceratoniae* in Tunisia. In: Area-Wide Control of Insect Pests. National Institute of Agricultural Research of Tunisia, pp. 265-273.

Mehaoua, M.S., Hadjeb, A., Lagha, M., Bensalah M.K., and Ouakid M.L. 2013. Study of the Toxicity of Azadirachtin on Larval Mortality and Fertility of Carob Moth's Female *Ectomyelois ceratoniae* (Lepidoptera, Pyralidae) Under Controlled Conditions, *American-Eurasian Journal of Sustainable Agriculture*, 7(1): 1-9.

Nay, J. E., and Perring T. M.2005. Impact of ant predation and heat on carob moth (Lepidoptera: Pyralidae) mortality in California date gardens. *J. Econ. Entomol.* 98:725-731.

Nay, J. E., E. A. Boyd, and Perring T. M. 2006. Reduction of carob moth in Deglet Noor dates using a bunch cleaning tool. *Crop Protect.* 25: 758-765.

Swaroop, S., A.B., Gilroy K. Uemura, 1966. Statistical Methods in Malaria Eradication. Monograph Series World Health Organization, 51: 1-164.



تحليل مشاعر رواد الشّبكات الاجتماعيّة التي تستخدم اللهجة الجزائريّة

إبراهيم لجدل^١، غريسي نور الدين^٢، عقبة كزار^٣، أحمد قريشي^٤

^١جامعة الشّهيد حمزة لخضر بالوادي، الجزائر.

^٢محبر نظرية المؤثرات والمعادلات التفاضلية الجزئية، جامعة الشّهيد حمزة لخضر بالوادي، الجزائر.

^٣جامعة بسكرة، الجزائر.

^٤جامعة ورقلة، الجزائر.

تاریخ الارسال: 17 جانفي 2021 / تاریخ القبول: 24 ماي 2021

خوارزميّات محددة مسبقاً تحلل وتصنف مجموعة من المنشورات المأخوذة من الشّبكات الاجتماعيّة. الفئات التي حددها هي: إيجابيّة، سلبيّة أو محاييّة. وعملنا هو من بين الأعمال الأولى التي تستخدم وتقارن عدة خوارزميّات تصنيف التعليقات على فايسبوك، باستخدام اللهجة الجزائريّة.

الملخص (Abstract)

إنّ تحليل النّص اليوم، له أهميّة كبيرة، خاصة في مجالات مثل السياسة والإنتاج والخدمات ... إلخ. كما أنّ، الشّبكات الاجتماعيّة مليئة بالنّصوص التي يعبر فيها مستخدمو الإنترنيت عن مواضيع مختلفة، حيث يكون الاهتمام بآراءهم كبيراً، وبعد فهم المحتوى الذي تنقله هذه النّصوص عنصراً أساسياً. يمكننا القول أنّ المدير النّاجح هو الذي يستمع جيداً لآراء المواطنين. ومن هنا، فإنّ تحليل المشاعر مهم جداً لتلبية احتياجات المواطنين. في هذا العمل، سننفذ

اليوم، يتوفّر قدر هائل من المعلومات عبر الإنترنّت حيث يمكننا العثور على أنواع مختلفة من مستندات الويب مثل: صفحات الويب، الصور ملفات الصوت والفيديو ومجموعة كبيرة ومتّنوعة من الملفات المختلفة. أيضًا، يمكننا العثور على مجموعات الأخبار والمنتديات والمدونات ومنشورات الشبكات الاجتماعيّة. الآراء التي يعبر عنها الأشخاص اتجاه موضوع ما هي من بين أنواع المعلومات التي لا تعدّ ولا تحصى المتاحة على الإنترنّت. في هذا السياق، سوف ندرس استخدام اللهجات في وسائل التّواصل الاجتماعي. يجب النظر إلى اللهجة باللغة العربيّة لأن تحديد اللهجة العربيّة يساعد في تحديد السياق. اللغة العربيّة لها نسخة قياسيّة مفهومها جيدًا في جميع أنحاء العالم العربي. وهي معروفة باسم اللغة العربيّة القياسيّة الحديثة (MSA). يتم استخدامها جنبًا إلى جنب مع اللهجات العاميّة العربيّة في المحتوى عبر الإنترنّت. يميل معظم مستخدمي الشبكات الاجتماعيّة إلى استخدام اللهجة العربيّة (DA). المشاكل الناشئة عن استخدام هذه الأخيرة هي أبعد من تلك الناشئة عن اللغة العربيّة القياسيّة (MSA) بسبب عدم توحيد اللهجة العربيّة (DA) وندرة أدوات معالجم [1] (Harrat, Meftouh, Smali, 2017).

اعتبـر الرأـي كـمعـتقـد [2] Syiam et al. (2006) شخصـي ، أو نـتيـجة عـاطـفـة أو تـفسـير لـلـحـقـائـق هو نـتيـجة مـنـظـور الشـخـص ، وـفـهـمـه ، وـمشـاعـره الخـاصـة ، وـمـعـقـدـاتـه ، وـرـغـبـاتـه. ويـشـير إـلـى مـعـلـومـات غـير مـؤـكـدة تـخـتـلـف عن المـعـرـفـة

Abstract : Today, text analysis has a great importance, especially in areas such as politics, productions, and services...etc. Currently, the social networks full of the texts in which, the Internet-users express in different subjects, the interest of their opinions is considerable, where the comprehension of the content conveyed by these texts is an essential element. We can say that the good manager who listens well to the opinions of citizens. In this sense, the Sentiment Analysis is very important to meet the needs of citizens. In this work, we will implement predefined algorithms that analyze and classify a set of publications derived from social networks. The classes that we have defined are: positive, negative or neutral. Our work is among the first one that uses and compares several comment classification algorithms on Facebook, using Algerian dialect.

Keywords- Sentiment Analysis; social network; annotated corpus; Lexicon of Sentiment.

الكلمات المفتاحية (Keywords): تحليل المشاعر؛ الشبكات الاجتماعية؛ نصوص (corpus) موسوم: معجم المشاعر.

١. المدخل . Introduction

يتم استخدام الإنترنت بشكل متكرر كوسيلة لتبادل المعلومات. ويمكن للأشخاص نشر المعلومات بسهولة بما في ذلك آراءهم الشخصية حول أي موضوع على الإنترنت. حيث يقوم المستخدم بإنشاء محتوى على الويب بلغات طبيعية على شكل نصوص حرّة غير منظمة.

الأوسط، حيث يتحدى معظمها اللغة العربية. لقد جمعا 1000 تغريدة مقسمة بالتساوي إلى 500 إيجابية و 500 سلبية. بعد تصفية التغريدات لإزالة الكلمات غير العربية وعلامات HTML والصور وما إلى ذلك، استخدما ميزات n-gram القياسية وجربا العديد من المصنفات (SVM و NB) من خلال مجموعة أدوات Weka. في عمل آخر، اقترحوا طريقة بسيطة لدمج النهج القائم على النصوص مع النهج القائم على المعجم. ركزا على اللهجة المصرية وقاما بالتجربة على مجموعة بياناتهما المكونة من 4800 تغريدة (مقسمة بالتساوي عبر الفئات الإيجابية والسلبية والحيادية).

اقتراح Al-Salman و Al-Khalifa ، Al-Subaihin ، Al-Khalifa و Al-Subaihing (2014) [4] و Al-Khalifa و Al-Subaihing (2011) [5] تقنية جديدة تعتمد على المعجم للتعامل مع اللهجة العربية. تكمن الحداثة في نهجهم في استخدام لعبة على الإنترنت لخلق معجم المشاعر من خلال ما يسمى بالحساب البشري. في عمل آخر من قبل نفس المجموعة، ناقش Albraheem و Al-Khalifa (2012) [6] بالتفصيل القضايا / التحديات التي تواجهها مناهج تحليل المشاعر للغة العربية القائمة على المعجم. حيث جمعوا 1000 تغريدة مقسمة بالتساوي إلى 500 إيجابية و 500 سلبية. بعد تصفية التغريدات لإزالة الكلمات غير العربية وعلامات HTML والصور وما إلى ذلك، استخدمو ميزات n-gram القياسية وجربوا العديد من المصنفات (NB و SVM) من خلال مجموعة أدوات Weka.

والمعتقدات القائمة على الحقائق. تختلف اللهجة العربية (DA) اختلافاً كبيراً عن اللغة العربية التي تُدرّس في المدارس وتستخدم في التواصل الكتابي والخطاب الرسمي (الأخبار المذاعة، والدين والسياسة، وما إلى ذلك).

تم اقتراح العديد من الأساليب الحالية لتحليل المشاعر باللغة العربية (SA)؛ ومع ذلك، اقتصرت بشكل عام على اللغة العربية الفصحى الحديثة (MSA) أو بعض اللهجات ذات الأهمية الاقتصادية أو السياسية.

في هذه الورقة، سوف نستكشف الأعمال المختلفة المتعلقة بتحليل المشاعر في الشبكات الاجتماعية باستخدام اللهجات العربية المختلفة (القسم 2). في القسم 3، سنقدم مساهمتنا في تحليل المشاعر في الشبكات الاجتماعية باستخدام اللهجة الجزائرية. ثم نناقش نتائج التجربة (القسم 4). أخيراً، نقدم خاتمة وبعض الأعمال المستقبلية.

2. نظرة عامة

في هذا القسم، سنقدم الأعمال الرئيسية التي تستخدم بشكل أساسى اللهجة العربية (AD) لتحليل المشاعر في المراجعات أو التعليقات أو التغريدات.

يُقدّم Rafea و Shoukry (2012) [3] تطبيقاً على تحليل المشاعر العربية من خلال القيام بتصنيف المشاعر للتغريدات العربية. يتم تحليل التغريدات المتحصل عليها من أجل تزويدتها بالمشاعر القطبية (إيجابية، أو سلبية). حيث يتم جمع هذه البيانات من الشبكة الاجتماعية Twitter؛ التي لها أهمية في منطقة الشرق

متواسط، إيجابي ضعيف، إلخ) لكل منشور بناءً على عدد الكلمات الإيجابية أو السلبية أو المحايدة. اقترح Mataoui et al. (2016) [9] نهجاً جديداً لتحليل المشاعر قائم على المعجم لمعالجة الجوانب المميزة للغة العربية الجزائرية العامية المستخدمة بالكامل في الشبكات الاجتماعية. حيث تم إنشاء مجموعة بيانات موسومة يدوياً وثلاثة معاجم عربية جزائرية لدراسة المراحل المختلفة لنهرهم. يتكون هذا النهج من أربع وحدات: وحدة حساب تشابه العبارات الشائعة؛ ووحدة المعالجة المسبقة؛ ووحدة الاشتقاء والكشف عن اللغة؛ ووحدة حساب القطبية. يتكون قاموسيم من ثلاثة أجزاء: معجم الكلمات الرئيسية؛ معجم كلمات النفي؛ معجم كلمات التكثيف والحدّة. تم إثراء هذه المعاجم الثلاثة بقاموس الرموز وقاموس آخر للعبارات الشائعة. وأخيراً، قاما ببناء مجموعة اختبار للأغراض التجريبية. حيث تمت تصفية هذه المجموعة ووسمها لتسهيل عملية تقييم الاقتراح. تظهر النتائج التجريبية أن نظامهم حصل على أداء بنسبة 79.13٪ من الدقة.

ركز Medhaffar et al. (2017) [10] على تحليل المشاعر باللهجة التونسية. حيث استخدمو تقنيات التعلم الآلي لتحديد قطبية التعليقات المكتوبة باللهجة التونسية. أولاً، قاما بتقييم أداء أنظمة تحليل المشاعر من خلال نماذج مدربة باستخداممجموعات بيانات متاحة مجاناً للغة الفصحى والمتعلدة للهجات. حيث جمعوا ووسموا مجموعة تعليقات باللهجة التونسية تحتوي على 17.000 تعليقاً من Facebook.

Tnaoual et al. (2013) [7] كلا النهجين في تحليل المشاعر للغة العربية. نظرًا لوجود عدد محدود منمجموعات البيانات العربية والمعاجم العربية المتاحة لتحليل المشاعر، يبدأ علمهم ببناء مجموعة بيانات موسومة يدوياً ثم يأخذ القارئ من خلال الخطوات التفصيلية لبناء المعجم. ويتم إجراء التجارب خلال المراحل المختلفة من هذه العملية لمراقبة التحسينات المكتسبة على دقة النّظام ومقارنتها بالنهج القائم على النصوص (coprus).

حاول Al-Kabi et al. (2013) [8] دراسة تحليل الرأي في وسائل التواصل الاجتماعي باللغة العربية. في محتوى هذه الشبكات الاجتماعية يتم خلط اللغة العربية الفصحى الحديثة (MSA) المستخدمة في وسائل الإعلام والأدب مع اللغة العامية. قاما بتحديد استقطاب الرأي واسناد كل رأي أو تعليق إلى فئة معينة. ثم اختبار وتقييم فئات المجال المختلفة لمعرفة الاختيار الذي يمكن أن يؤدي إلى أفضل النتائج من حيث الدقة مقارنة بالأحكام اليدوية. وطوروا أداة لتحليل الرأي والتصنيف مخصصة لغة العربية. تم تجميع قاموس للكلمات الإيجابية والسلبية والحيادية باللغة العربية على أساس مسح عدد كبير من الوثائق والمنشورات. بناءً على قاموس الاستقطاب هذا، قاما بجمع مجموعة كبيرة من الآراء أو المنشورات من الشبكات الاجتماعية. وفحص الكلمات الموجودة في هذه المنشورات مقابل القاموس بحثاً عن القطبية ثم إعطاء فئة القطبية (على سبيل المثال، إيجابي قوي، إيجابي

تكشف النتائج التجريبية عن أفضل سيناريو لكل مصنف؛ وتشير إلى أنّ مصنف SVM باستخدام معامل (TF-IDF) للوزن مع الاشتقاء من خلال ميزة Bigrams يتفوّق على أفضل سيناريو لمصنف Nave Bayesian من حيث نتائج الأداء.

قدم Al-Twairesh (2018) [13] ثلاثة مصنفات هجينة لتحليل المشاعر للتغريدات العربية. تعمل المصنفات على مستويات مختلفة من التصنيف: تصنيف ثنائي (إيجابي أو سلبي) وتصنيف ثلاثي (إيجابي، سلبي، محايدي ومتخلط). يعتمد المنهاج على دمج المعرفة المستخرجة من الطريقة القائمة على المعجم كميزات في الطريقة المستندة إلى النصوص من أجل تطوير الطريقة الهجينة. تم استخلاص مجموعة ميزات من البيانات ثم اقتراح خوارزمية اختيار عكسية للقيام باختيار الميزة للوصول إلى أفضل أداء للتصنيف.

استخدم Elouardighi et al. (2018) [14] نهجاً قائماً على التعلم الآلي. واقترحوا نهجاً يحلّل المشاعر من التعليقات على فيسبوك خاصةً باللهجة المغربية. تحليل المشاعر هي عملية يتم خلالها تحديد وتعريف قطبية (إيجابية أو سلبية أو محاييدة) لنص معين [18]. تبدأ هذه العملية بجمع التعليقات ووسمها باستخدام طريقة crowdsourcing. ثم يقومون بمعالجة القبلية للنص لاختصار الكلمات العربية إلى جذورها. حيث سيتم استخدام هذه الكلمات لبناء متغيرات

المجموعة تحسّناً ملحوظاً مقارنة بأفضل نموذج تم تدريبه على بيانات اللهجات العربية الأخرى أو العربية الفصحى.

أنشأ al-Baly et al. (2017) [11] مجموعة بيانات Twitter المتعددة اللهجات العربية والخاصة بالمشاعر الأولى من نوعها (MD-ArSenTD) التي تتكون من تغريدات تم جمعها من 12 دولة عربية، مع تعليقات توضيحية للمشاعر واللهجة. استخدمو مجموعة البيانات هذه لتحليل التغريدات التي تم جمعها من مصر والإمارات العربية المتحدة، بهدف اكتشاف السمات المميزة التي قد تسهل تحليل المشاعر. كما قاموا بإجراء تقييم مقارن لنماذج المشاعر المختلفة على التغريدات المصرية والإماراتية. أشارت النتائج إلى الأداء المتفوّق لنماذج التعلم العميق، وأهمية السمات المورفولوجية في معالجة اللغات الطبيعية العربية، وأن التعامل مع اللهجات العربية يؤدّي إلى نتائج مختلفة اعتماداً على الدولة التي يتم جمع التغريدات منها.

يقدم Alomari et al. (2017) [12] مجموعة بيانات توiter عربية أردنية حيث يتم وسم التغريدات على أنها إيجابية أو سلبية. قاموا أولاً بدراسة مناهج مختلفة للتعلم الآلي الخاضع للإشراف لتحليل المشاعر عند تطبيقها على المستخدمين العرب لوسائل التواصل الاجتماعي في المواضيع العامة الموجودة إما باللغة العربية الفصحى (MSA) أو اللهجة الأردنية، ثم إجراء تجارب لتقدير استخدام تقنيات وسيناريوات مختلفة لأنظمة الـN-grams، الاشتقاء الوزن، الـN-grams.

- قمنا بوضع مجموعة البيانات الخاصة باللغة الجزائرية يدوياً والمحتوية على 2891 تعليقاً.

- قمنا بإنشاء قاموس مكون من 1328 كلمة موسومة باللغة الجزائرية.

1.3 الوسم

وهي عملية تحديد صنف كلّ تعليق عن طريق التعليق عليه على أنه إيجابي أو سلبي أو محايدي. استخدمنا اثنين من المقاييس لتحديد مشاعر التعليقات يدوياً. إما أن يتواافقوا فيكون لديهم درجة عالية من الاتفاق في تصنيفهم للتعليقات أو لا يتواافقون؛ ففي هذه الحالة يتم استخدام مقيم ثالث لتحديد الصنف النهائي. حيث استخدمنا ثلاثة أقطاب 1 ، -1 ، 0 تتوافق على التوالي مع المشاعر الإيجابية، السلبية والحياديّة. يوضح الجدول 1 الأقطاب المختلفة للتعليقات الموسومة في مجموعة البيانات الخاصة بنا.

المجموع	حيادي	سلبي	إيجابي	الأقطاب (الأصناف)	عدد التعليقات
2891	1391	525	975		

جدول 1: عدد التعليقات لكل قطب (صنف)

الإدخال باستخدام عدّة توليفات من عمليات الاستخراج والترجمة.

العديد من الأعمال تُنشئ مجموعة بيانات ضخمة لاختبار نماذجها مثل Al-Obaidi and Samawi (2016) [15] مما أدى إلى إنشاء مجموعة بيانات للتنقيب عن الرأي من أجل اللهجات المتنوعة للغة العربية (OMCCA). تتألف مجموعة البيانات من 28576 مراجعة موسومة على أنها إيجابية أو سلبية أو محاييدة. كانت اللهجات المدروسة هي الأردنية والسعوية. OMCCA المتاحة للجميع. أبلغ المؤلفون عن تجارب على OMCCA باستخدام ميزات وتقنيات تصنيف مختلفة. في Al-Suwaidi et al. (2016) [16]، حجم مجموعة البيانات هو 1000 واللغة المدروسة هي اللغة الإماراتية، بينما في Alomari et al. (2017) [12]، تسمى مجموعة البيانات بـ: مجموعة بيانات التغيرات العامة العربية الأردنية (AJGT) وتتكون من 1800 تغريدة. بالإضافة إلى ذلك، وسم عسيري وأخرون. (2016) مجموعة بيانات حجمها 4700 لتحليل المشاعر باللغة السعودية مع (K = 0.807) [17].

3. الإسهام

يتكون عملنا من 3 نقاط أساسية:

- استخدمنا اللغة الجزائرية مع 4 مصنفات (SVM) Support Vector Machines وهي كالتالي: (RF) Random Forest ، (DT) Decision Tree .(NB) Nave Bayes

في الصّورة 1، نقدم بعض الأمثلة التي تصف بعض التّعلّيقات بأقطابها.

الأقطاب (الأصناف)	التعليقات
سلبي	هذى جياحة نيسكي بعمرى على حاجة تستاهل ماشي علاجال بوزوج رجلين يجري مور البالون
سلبي	شفت المواطن مش واعي خلاص داير المزبلة حذاه يكل منا او يرمي منا
محايد	في بسكرة خويا لعزيز طريق سيدى عقبة ؟
محايد	هاذو روшиات تع رخام ماشي ثلح
إيجابي	ربى يكثرون امثالك
إيجابي	درس في حسن ضيافة كل الاحترام وتقدير ناس المديّة

صورة 1 : بعض التعليقات مع أصنافها

حوالي شهر من العمل الشاق لجمع 1328 كلمة باللهجة الجزائريّة من وسائل التواصل الاجتماعي. كما طلبنا مساعدة أصدقاء من شمال الجزائر، الجنوب، الشرق والغرب لإنشاء قاموس للهجة الجزائريّة يغطي أكبر عدد ممكّن من مناطق بلادنا. يمثل الجدول 2 تقسيم كلمات القاموس وفقاً للأقطاب.

2.3 القاموس

لم نجد معجماً محدداً للكلمات اللهجة الجزائريّة. ولهذا، قمنا بإنشاء قاموسنا الخاصّ. حيث قمنا بتجميع قاموس الكلمات الإيجابيّة والسلبيّة والحياديّة باللغة العربيّة من خلال مسح عدد كبير من الوثائق. بناءً على قاموس الاستقطاب هذا، قمنا بجمع مجموعة كبيرة من التعليقات من الشّبكات الاجتماعيّة. استغرقنا

الأقطاب (الأصناف)	إيجابي	سلبي	محايد
عدد التعليقات	565	763	1328

جدول 2 : توزيع كلمات قاموسنا على مختلف الأقطاب

تمثّل الصّورة 2 مثلاً لبعض الكلمات الإيجابيّة في القاموس.

1	تألق
2	فخر
3	تهبّل
4	ناجح
5	البسمة
6	جيد
7	برافو
8	احسنّتي
9	حياتنا
10	زيّنة
11	مزیان
12	جميل
13	ممتاز
14	روعه

صورة 2: الكلمات الإيجابيّة في القاموس

تمثّل الصّورة 3 مثلاً للكلمات السلبيّة في القاموس.

1	عنف
2	فاشل
3	ردئ
4	مهزلة
5	خامجين
6	دمار
7	واسخ
8	تبليط
9	بلغاط
10	كارثة
11	النحس
12	رهج

صورة 3: الكلمات السلبيّة في القاموس

أيضاً، نستخدم أربع خوارزميّات: SVM, learn .NB, RF, DT و.

تم إجراء التجارب على جهازين بمعالجات Intel Core2 Quad Q9400 (4 أنوية لكل معالج) بسرعة 2.66 جيغا هرتز وذاكرة 4 جيغا بايت.

4. التجارب والنتائج

في هذا القسم، نستخدم Python كلغة برمجة في التجارب، نظرًا لوجود العديد من المكتبات الجيدة (والسريعة) للتعامل مع نصوص اللغة الطبيعية، وتغطيّة لجميع المهام الازمة لبناء أداتنا، مثل مكتبات Scikit-CSV و Gensim.

Feature	Abbreviation	signification
Has Positive Word	HPW	0 او 1
Has Negative Word	HNW	0 او 1
Positive Word Count	PWC	≥ 0
Negative Word Count	NWC	≥ 0
CommentLength	CL	> 0 صحيح
SentimentLevel	SL	$-1 \leq V \leq 1$

جدول 3: الخصائص المستخدمة في عملنا

تقسيم النصوص إلى قسمين، 80٪ للتدريب و 20٪

للاتختبار. قمنا بإجراء العديد من الاختبارات، وظهر نتائج الدقة في الجدول 4.

1.4 المميزات

استخدمنا ست مميزات رئيسية. يمثل الجدول

3 المميزات المختلفة المستخدمة في عملنا.

استخدمنا طريقة التعلم الخاضعة للإشراف

والنهج القائم على المعجم. وبالتالي، يتعين علينا

المصنف				المميزات	الاختبار
NB	RF	DT	SVM		
84.28	85.31	83.07	85.14	كل المميزات	1
82.38	84.28	84.45	84.11	HPW, HNW, PWC, NWC	2
83.76	85.31	83.24	84.62	PWC, NWC, CL, SL	3
67.87	84.45	84.28	84.11	PWC, NWC	4
48.35	84.11	84.11	84.11	HPW, HNW, CL, SL	5
72.30	84.11	84.11	84.11	HPW, HNW	6
48.18	48.18	47.66	47.49	CL, SL	7

نلاحظ أننا نحصل على أفضل النتائج عندما نستخدم جميع المميزات مع المصنف (RF).

جدول 4: نتائج التجارب

2.4 المقارنة والنتائج

في هذا القسم، سنقارن عملنا بالأعمال الأخرى التي تستخدم لهجات مختلفة مثل التونسية والمغربية والمصرية والسعوية والأردنية. يمكننا أن نستنتج أن المصنفات الخاصة بنا حققت نتائج جيدة. يليّخ الصورة الجدول 5 المقارنة التي أجريناها للتحقق من صحة عملنا.

النتائج		المصنف	اللهجات
F-measure	الدقة		
84.93 %	85.31 %	RF	عملنا
/	87.2 %	SVM	[12] الأردنية
/	79.13 %	/	[9] الجزائرية
78 %	/	MLP	[10] التونسية
78 %	/	SVM	[14] المغربية
72.5 %	/	SVM	[3] المصرية
69 %	/	SVM	[13] السعودية

جدول 5: مقارنة النتائج مع أعمال أخرى

2. إثراء مجموعة البيانات بتعليقات أخرى باللهجة الجزائرية للحصول على نتائج دقيقة.
3. تطبيق مصنفات ومميزات أخرى.
4. التحليل باستخدام الصنف المختلط بالإضافة إلى الأصناف السابقة: الإيجابية والسلبية والحيادية.
5. استخدام إعدادات أخرى مثل: الثنائي bigram، الثلاثي trigram والمختلط mixed.

5. الخاتمة والأعمال المستقبلية

في هذه الورقة، قمنا بتحليل مشاعر النصوص تحتوي على 2891 تعليقاً باللهجة الجزائرية، مقسمة إلى ثلاثة أصناف: 975 تعليقاً إيجابياً، و 525 تعليقاً سلبياً و 1391 تعليقاً محايضاً. لقد استخدمنا أربعة مصنفات للتعلم الآلي وهي Decision tree و Support Vector Machine (SVM) ، و NB (Naive Bayes)، و RF (Random Forest)، و DT (Decision Tree)، حيث قمنا بتقييم هذه المصنفات باستعمال 20٪ من النصوص المستخدمة. استخدمنا ست مميزات وهي HasPositiveWord و NegativeWordCount و PositiveWordCount و HasNegativeWord و CommentLength و SentimentLevel. ثم قمنا بإجراء سبعة اختبارات مختلفة، تم إجراء الاختبار الأول باستخدام جميع المميزات أما الاختبارات الأخرى تم إجراؤها عن طريق التبديل بين هذه المميزات. وأخيراً قارنا نتائج الاختبار للمصنفات الأربع. النتائج التي تم الحصول عليها مشجعة للغاية، حيث حققنا أفضل دقة 85.31٪ عند استخدام مصنف Random Forest (RF).

نذكر هنا بعض الأعمال المستقبلية:

1. إثراء قاموسنا بمزيد من الكلمات اللهجة الجزائرية التي تغطي مناطق أخرى لأن الجزائر كبيرة جداً وتحتوي على عشر لهجات.

Linguistic resources and experiments. Proceedings of the third Arabic natural language processing workshop, 5561.

[11] Baly, R., El-Khoury, G., Moukalled, R., Aoun, R., Hajj, H., Shaban, K. B. (2017). Comparative evaluation of sentiment analysis methods across Arabic dialects, Procedia Computer Science, 117, 266273.

[12] Alomari, K. M., ElSherif, H. M., Shaalan, K. (2017). Arabic tweets sentimental analysis using machine learning. Proceedings of the international conference on industrial, engineering and other applications of applied intelligent systems602610.

[13] N. Al-Twairesh, H. Al-Khalifa, A. AlSalman Y., Al-Ohali, Sentiment Analysis of Arabic Tweets: Feature Engineering and A Hybrid Approach, Computation and Language (cs.CL), 2018

[14] Elouardighi A , Maghfour M., Hammia H. Aazi F., Analyse des sentiments partir des commentaires Facebook publis en Arabe standard ou dialectal marocain par une approche d'apprentissage, Confrence Internationale sur l'Extraction et la Gestion des Connaissances, Paris, France,2018, 329-334.

[15] Al-Obaidi, A., Samawi, V. (2016). Opinion mining: Analysis of comments written in Arabic colloquial. Proceedings of the world congress on engineering and computer science 2016 (wcecs 2016).

[16] Al Suwaidi, H., Soomro, T. R., Shaalan, K. (2016). Sentiment analysis for Emirati dialects on twitter. Sindh University Research Journal, 48(4), 707710.

[17] Assiri, A., Emam, A., Al-Dossari, H. (2016). Saudi twitter corpus for sentiment analysis. World Academy of Science, Engineering and Technology, International Journal of Computer, Electrical, Automation, Control and Information Engineering, 10(2), 272275.

[18] Al-Harbi, W. A., Emam, A. (2015). Effect of Saudi dialect preprocessing on Arabic sentiment analysis. International Journal of Advanced Computer Technology, 4(6), 9199.

(References) مراجع

- [1] Harrat, S., Meftouh, K., Smali, K. (2017). Machine translation for Arabic dialects (survey). Information Processing Management.
- [2] Syiam, M. M., Fayed, Z. T., Habib, M. B. (2006). An Intelligent System FOR Arabic Text Categorization. Information Sciences, 6.(1)
- [3] Shoukry A. and Rafea A., sentence-level Arabic Sentiment Analysis, SoMNet, 2012, 2-5.
- [4] Al-Subaihin, A. A., Al-Khalifa, H. S., Al-Salman, A. S. (2011). A proposed sentiment analysis tool for modern Arabic using human-based computing. Proceedings of the 13th international conference on information integration and web-based applications and services, 543546.
- [5] Al-Subaihin, A. S. and Al-Khalifa, H. S. (2014). A system for sentiment analysis of colloquial Arabic using human computation. The Scientific World Journal, 2014, 18.
- [6] Albraheem, L., Al-Khalifa, H. S. (2012). Exploring the problems of sentiment analysis in informal Arabic. Proceedings of the 14th international conference on information integration and web-based applications services415418.
- [7] Nawaf A. Abdulla, Nizar A. Ahmed, Mohammed A. Shehab, Mahmoud Al-Ayyoub, Arabic Sentiment Analysis: Lexicon-based and Corpus-based, AECT, 2013,1-6.
- [8] Al-Kabi, M., Gigieh, A., Alsmadi, I., Wahsheh, H., Haidar, M., An opinion analysis tool for colloquial and standard Arabic, Proceedings of the 4th international conference on information and communication systems (ICICS)13.
- [9] M. Mataoui, O. Zelmati, M. Boumechache (2016), A Proposed Lexicon-Based Sentiment Analysis Approach for the Vernacular Algerian Arabic, Research in Computing Science, 2016, 55-68.
- [10] Medha_ar, S., Bougares, F., Esteve, Y., Hadrich-Belguith, L. (2017). Sentiment analysis of Tunisian dialects:

طريقة لحساب الأمواج الموجة في ألياف بصيرية غير دائيرية المقطع في حالة التوجيه الضعيف

بورغدة عبد الوهاب¹ ، رزقي حياة² و شوتري عبد العزيز³

المدرسة العليا للأستاذة - القبة، الجزائر.

مخبر المعادلات التفاضلية الجزئية غير الخطية وتاريخ الرياضيات.

ملخص: توجد عدة نماذج رياضياتية وطرق عددية لحساب الأمواج الموجة في ألياف بصيرية ذات مقاطع بأشكال مختلفة وخاصة الدائرية منها لكن التطبيقات إقتصرت في غالب الأحيان على الألياف الدائرية المقطع. في هذا العمل بعد اختيار النموذج الرياضي وتبرير اختياره مقارنة مع النماذج الأخرى، سنركز على كيفية حساب الأمواج الموجة في ألياف بصيرية ذات مقاطع غير دائيرية الشكل كالمثلثة والمصلعة لما لها من أهمية عملية في صناعة الألياف البصرية.

الكلمات المفتاحية: الألياف البصرية، الموجات الموجة، التوجيه الضعيف، الحقل الكهرومغناطيسي، معادلات ماكسويل، العناصر المنتهية.

Abstract: There are several mathematical models and numerical methods for calculating guided modes propagating in optical fibers with sections of different shapes, especially circular ones, but applications are often limited to these last fibers. In this work, after selecting the mathematical model and justifying its choice in comparison with other models, we will focus on how to calculate guided modes that may propagate in non-circular section fibers such as triangular and polygon ones. We are interested in these fibers because of their possible practical use in manufacturing optical fibers.

1 مقدمة

الليف البصري يشير إلى الوسط والتكنولوجيا المرفقة لنقل معلومات كالنبضات الضوئية من خلال خيط أو ليف زجاجي أو بلاستيكي. يمكن لجزء الألياف البصرية أن تكون من بضعة ألياف ويمكن لعدد الألياف فيها أن يكون كبيرا. يمكننا القول أن الليف البصري عبارة عن بنية عازلة كهربائيا رقيقة جدا تدعى اللب محاطة بطبقة مشابهة تدعى بالغمد (انظر الشكل 1 (أ)) وتوجد طبقة خارجية تشكل غلافا لوقاية الليف من المؤثرات الخارجية.

¹e-mail:boureghda@ens-kouba.dz

²e-mail:rezgui@ens-kouba.dz

³e-mail:choutri@ens-kouba.dz

تقوم الألياف البصرية بنقل البيانات على شكل جزيئات ضوئية أو فوتونات على شكل نبضات. لكل من لب وغمد الليف البصري معامل انكسار مختلف يجعل الضوء الوارد بزاوية معينة ينحني. عندما يتم إرسال إشارات الضوء من خلال ليف ضوئي، تنعكس عن الليف والغمد في سلسلة من الانعكاسات المترعرعة وتنسجم في عملية تسمى الانعكاس الداخلي الكلي. ذكر بأن معامل الانكسار هو حاصل قسمة سرعة الضوء في الفراغ (299792.458 كم/ثانية) على سرعة الضوء في وسط معين، فهو يقيس مقدار انكسار الضوء في الوسط المحدد.

لا تنتقل الإشارات الضوئية بسرعة الضوء بسبب عدم نقاط الطبقات الزجاجية أو البلاستيكية المكونة لليف، بل تنتشر بحوالى 30% أبطأ من سرعة الضوء. لتجديد أو تقوية إشارة الضوء أثناء إنتشارها في الليف الضوئي تحتاج أحياناً إلى أجهزة مكررة للإشارة على مسافات متباعدة وذلك بتحويلها إلى إشارات كهربائية ثم معالجتها وإعادة بعثها على شكل إشارة ضوئية من جديد.

2 النموذج الفيزيائي (Physical Model)

الليف الضوئي كما سبق ذكره عبارة عن بنية مكونة من لب دقيق محاط بغمد. يفترض، بغية إجراء دراسة رياضية تحليلية وعددية لانتشار الضوء فيه، أن يكون طوله كبيراً جداً وبالتالي يمكن اعتباره رياضياً غير منتهٍ في اتجاه الانتشار وكذلك الغمد غير منتهٍ في كل الاتجاهات العمودية على محور الانتشار. هذه الفرضيات، المعهودة في أديبيات الضوئيات، تعتبر طبيعية لكون أبعاد الليف صغيرة جداً بالمقارنة بأبعاد الغمد من جهة، ومن جهة أخرى طول الموجة الضوئية صغير جداً بالمقارنة بطول الليف بالإضافة إلى كون الحقول الكهرومغناطيسية للموجات الضوئية تتناقص أسيّا خارج لب الليف.

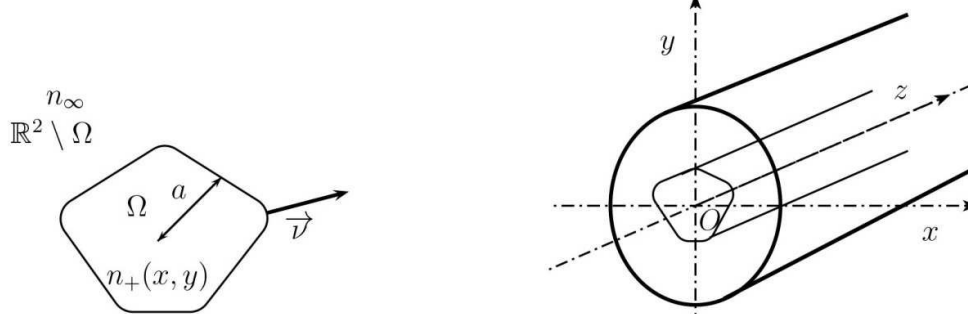
يمكن تمثيل مقطع عرضي لليف ضوئي (أنظر الشكل 1 (ب)) بمنطقتين: Ω و $\mathbb{R}^2 \setminus \Omega$ ، ما يميز بين المنطقتين هو قيمة معامل الانكسار فيما. Ω عبارة عن مجموعة مفتوحة محدودة من المعلم \mathbb{R}^2 تمثل لب الليف و $\mathbb{R}^2 \setminus \Omega$ تمثل غمد الليف. من الواضح أن هذه المناطق تكون معينة جيداً بمجرد معرفة صورة أو ملمع معامل انكسار الليف. معامل الانكسار يعرف عادة بتابع حقيقي n متعلق بمتغيرين (x, y) بحيث $n \in L^\infty(\mathbb{R}^2)$ و $n > 0$. بالإضافة إلى ذلك، نفترض أن الألياف الضوئية التي تم اعتبارها هي ذات غمد متجانس أي أن

$$n(x, y) =: n_\infty, \quad \forall x \in \mathbb{R}^2 \setminus \overline{\Omega}.$$

وهذا يعني أن معامل الانكسار يكون ثابتاً خارج منطقة لب الليف البصري قيمته n_∞ . وعلاوة على ذلك، فمن المعروف في أديبيات الاختصاص (أنظر [12, 11, 6, 1]) أنه من أجل ضمان انتشار الأمواج الموجة في الليف الضوئي، نفترض أن معامل الانكسار يحقق الشرط الآتي:

$$n_+ > n_\infty$$

$$n_+ = \sup_{(x,y) \in \mathbb{R}^2} n(x, y) \quad \text{حيث}$$



(ب): مقطع عرضي في ليف بصري

الشكل 1 : (ا) : ليف بصري

3 المعادلات الرياضياتية (Mathematical Equations)

نهتم في هذا العمل بتعيين الموجات الموجة التي يمكنها الانتشار في الألياف البصرية وهي الحلول غير المعدومة لجملة معادلات ماكسويل "Maxwell"

$$(1) \quad \text{في } \mathbb{R}^3 \quad \left. \begin{array}{l} \nabla \times E = -i\omega\mu H \\ \nabla \times H = i\omega\epsilon E \end{array} \right| \quad \text{من الشكل}$$

$$(2) \quad F(x, y, z) = F(x, y)e^{-i\beta z}, \quad \text{حيث:}$$

• يمثل F أو H و $\nabla \times F$ هو مؤثر $\text{rot } \vec{F}$ (دوران الشعاع F).

• ϵ هي النفاذية الكهربائية المفترض أنها غير متعلقة بـ z .

• μ النفاذية المغناطيسية المفترض أنها ثابتة أي $\mu(x, y) = \mu_0$.

• β هي ثابت الانتشار وتعبر على سرعة الانتشار.

• ω هي التردّد الزاوي.

• $E = (E_1, E_2, E_3)$ هو الحقل الكهربائي.

• $H = (H_1, H_2, H_3)$ هو الحقل المغناطيسي.

تعریف:

الموجة: عبارة عن حل متناسب بالنسبة للزمن ووفق وجة الانتشار لجملة "ماكسويل" (1) من شكل المعادلة (2).

الموجة الموجة: يقال عن موجة أنها موجة إذا انتشرت بدون خمود وظللت طاقتها محدودة وحبست منطقة لب الليف أي أن:

$$\beta \in \mathbb{R} \text{ و } E, H \in (L^2(\mathbb{R}^2))^3$$

في هذه الحالة يقال أن الموجة موجة في الاتجاه z .

التوجيه الضعيف: يقال أن شروط حالة التوجيه الضعيف محققة إذا كان العدد الموجي "التردد" $k = \sqrt{\epsilon_0\mu_0}\omega$ حيث ϵ_0 و μ_0 يمثلان النفاذية الكهربائية والمغناطيسية على التوالي في الفراغ، وهو من معطيات المسألة (كبيراً بما يكفي) ومعامل انكسار كل من لب وغمد الليف الضوئي متقاربين جداً. في حالة الألياف الضوئية ذات الغمد المتجانس، تحت شروط التوجيه الضعيف، معامل الانكسار n يحقق ما يلي:

$$\exists a \in \mathbb{R}^{*+}; n(x) = n_\infty, \quad \forall x; |x| > a \quad \cdot \quad n \in L^\infty(\mathbb{R}^2) \quad \cdot$$

$$(x, y) \text{ يمثل } \inf_{x \in \mathbb{R}^2} n(x) > 0 \quad \cdot$$

تحت شروط التوجيه الضعيف، يمكن إثبات (أنظر [13, 5]) أن المركبات الطولية E_1, E_2, E_3 ، المركبات العرضية H_1, H_2, H_3 يمكن إهمالها والمرجع إلى المركبات الطولية E_1, E_2, E_3 ، وهي حلول المسألة، ذات القيم الذاتية، السلمية الآتية:

$$(3) \quad \left| \begin{array}{l} \text{إيجاد } [u \neq 0] \text{ و } u \in H^1(\mathbb{R}^2) \text{ و } \lambda \in]0, V^2[\text{ بحيث:} \\ \text{في } \mathbb{R}^2 \quad -\Delta u + q(x)u = -\lambda u \\ \lambda = \beta^2 - k^2 n_\infty^2 \\ V^2 = k^2(n_+^2 - n_\infty^2) \\ q(x) = -k^2(n^2(x) - n_\infty^2) \\ \text{نذكر بأن } n(x) \geq a \text{ إذا كان } |x| \text{ حيث:} \end{array} \right. \quad \text{حيث}$$

• a هو وسيط ثابت يميز بعد مقطع لب الليف.

• V هو التردد المنظم أو النظامي وهو معطى في المسألة.

في مقال صدر مؤخراً (أنظر [5]) نجد تبريراً رياضياً دقيقاً لاستخلاص، في حالة التوجيه الضعيف، المسألة ذات القيم الذاتية السلبية انتلاقاً من جملة معادلات "ماكسويل" في الحالة العامة. نجد أيضاً في الأدبيات الكثير من الأعمال المتعلقة بالدراسة النظرية والعددية (أنظر [1, 6, 9, 12, 14]) لهذه المسألة ذات القيم الذاتية المطروحة في المعلم \mathbb{R}^2 كاملاً. هناك نتائج حول وجود وعدد حلول المسألة المطروحة وارتباطها بالمواصفات الضوئية والهندسية. كما أن هناك عدة طرق لإيجاد هذه الحلول منها ما هو تحليلي في حالات خاصة كالألياف الضوئية ذات المقطع الدائري (أنظر [13]) ومما يعتمد على الطرق العددية لحل المسألة. في هذا الإطار نذكر الطريقة التكاملية والطريقة التي تعتمد على العناصر المنهجية وكل طريقة نقاط قوتها وضعفها. الطريقة التكاملية (أنظر [8]) تعتمد على تمثيل تكاملي لحلول المسألة على حافة لب الليف وتبقى المسألة مطروحة على كل المعلم \mathbb{R}^2 ولكن بال مقابل على معامل الانكسار أن يكون ثابتاً في غمد الليف وأيضاً ثابتاً في لبه. أما بالنسبة للطريقة التي تعتمد على العناصر المنهجية فهي عكس الأولى حيث يمكن لمعامل الانكسار أن يكون غير ثابت في لب الليف ولكن لا يمكن حساب حلول المسألة إلا على ميدان محدود من المعلم \mathbb{R}^2 .

إذن عند حساب الأمواج الموجهة باستعمال طريقة العناصر المنهجية من خلال المسألة (3) تطرح إشكالية عدم محدودية مجال العمل وهو \mathbb{R}^2 . هناك عدة طرق لتجاوز هذه العقبة من بينها:

1. نقتصر في الحساب على ميدان محدود Ω_R من الفضاء \mathbb{R}^2 حيث R يشمل لب الليف وفي هذه الحالة نفرض أن $u = 0$ على $\mathbb{R}^2 \setminus \Omega_R$ علماً أن u يتناقص أسيّا عند الابتعاد عن اللب. في هذه الحالة نكتب المسألة بشرطها الحدي الذي يدعى بشرط ديركلت "Dirichlet" على النحو الآتي:

$$(4) \quad \left| \begin{array}{l} \text{إيجاد } [u \neq 0] \text{ و } u \in H^1(\Omega_R) \text{ و } \lambda \in]0, V^2[\text{ بحيث:} \\ \text{في } \Omega_R \quad -\Delta u + q(x)u = -\lambda u \\ \text{على } S_R \quad u = 0 \end{array} \right. \quad \text{حيث } S_R \text{ هو حافة الميدان } \Omega_R.$$

2. اقتصار الحساب على الميدان Ω_R بطريقة (أنظر [3]) تختلف عن الطريقة الأولى فيما يخص الشرط الحدي، حيث يعوض الشرط $u = 0$ بشرط متعلق بسلسلة نشر فوري "Fourier" لحل المسألة خارج الميدان المحدود Ω_R .

3. الطريقة المقترنة في هذا العمل (أنظر [7]) مثل سابقتها تعتمد على اقتصار حساب الحلول على ميدان محدود وبخلافهما في الشرط الحدي. الشرط الحدي المقترن في هذه الحالة هو شرط من نوعRobin" وهو شرط متزوج متوازن من شرط "Robin" وشرط نيومان "Newman". تكتب المسألة الحدية الواجب حلها عددياً في هذه الحالة على النحو الآتي:

$$(5) \quad \left| \begin{array}{l} \text{إيجاد } [u \neq 0] \text{ و } u \in H^1(\Omega_R) \text{ و } \lambda \in]0, V^2[\text{ بحيث:} \\ \text{في } \Omega_R \quad -\Delta u + q(x)u = -\lambda u \\ \text{على } S_R \quad \frac{\partial u}{\partial \nu} + \sqrt{\lambda}u = 0 \end{array} \right.$$

تبرير النموذج الرياضي المتبوع

إذا قمنا بدراسة وتحليل النماذج الثلاثة السابقة الذكر، يمكننا إصدار الملاحظات الآتية:

1. النموذج الأول (الشرط الحدي L) "Dirichlet" ينتج حلولاً غير فизيائية وهذا راجع لعملية البتر التي تجري على ميدان حلول المسألة والشرط الحدي القاسي نسبياً الذي يجب أن يتحققه الحل على حافة هذا الميدان وخاصة إذا كانت الحافة لا تبتعد كثيراً عن لب الليف.
2. النموذج الثاني المقترن (أنظر [3]) ينتج لنا مسألة ذات قيم ذاتية غير خطية يصعب حلها عددياً وبرمجتها.
3. النموذج الذي نقترحه (أنظر [7]) مزود بشرط حدي يمكن استعماله لتحويل المسألة المطروحة إلى مسألة ذات قيم ذاتية عامة يسهل حلها عددياً. يتميز بغياب الحلول غير الفيزيائية وهذا ما تبينه تجارب المحاكمات العددية.

4 طرح المسألة

سوف نقوم الآن بدراسة انتشار الموجات الموجة في ليف غير دائري المقطع، تحت شروط التوجيه الضعيف، من خلال النموذج الذي قمنا بتبنيه. نجد (أنظر [7]) دراسة مفصلة للطريقة المتبعة والإثباتات الرياضياتية الازمة لتطبيق هذه الطريقة في حساب الموجات الموجة في ليف بصري تحت الشروط المطلوبة وهي شروط التوجيه الضعيف. في البداية نقوم بسرد مختصر لخطوات هذه الطريقة ثم نضع من خلالها برنامجاً عددياً، باستعمال طريقة العناصر المئوية، لدراسة انتشار الموجات الموجة في ليف بصري غير دائري المقطع

في هذه الحالة علينا بحل المسألة (5) عددياً على ميدان محدود Ω من المعلم \mathbb{R}^2 وبشرطه الحدي من نوع "Robin" على الحافة V وهذا من أجل قيمة معطاة S_R

بتطبيق طريقة العناصر المئوية على الصيغة التغايرية ل المسألة (5) نحصل على الجملة الجبرية الآتية:

من أجل قيمة حقيقة معطاة V .

$$(6) \quad \left| \begin{array}{l} \text{إيجاد } X \in \mathbb{R}^n \text{ و } \lambda \in]0, V^2[\text{ بحيث:} \\ AX + \lambda BX + \sqrt{\lambda} CX = 0. \end{array} \right| \quad \text{حيث عناصر المصفوفات } A, B \text{ و } C \text{ معرفة بـ}$$

$$a_{ij} = \int_{\Omega_R} \nabla u \cdot \nabla v + \int_{\Omega_R} q u v$$

$$b_{ij} = \int_{\Omega_R} u v$$

$$c_{ij} = \int_{\partial\Omega_R} u v \, d\sigma$$

حيث $i, j = 1, 2, \dots, n$

هذه المسألة ذات القيم الذاتية (6) المتحصل عليها غير خطية بالنسبة للقيم الذاتية λ . وعليه فإن الطرق التكرارية التقليدية لحل المسائل ذات القيم الذاتية لا يمكن تطبيقها مباشرةً. لذا يجب إعادة صياغة هذه المسألة بطريقة أخرى، وللقيام بذلك نقوم بالتحويل الآتي (أنظر [7]):

نضع :

$$Y = \frac{1}{\sqrt{\lambda}} B^{-1} A X, \quad Z = \begin{bmatrix} X \\ Y \end{bmatrix}$$

لنعتبر الآن المسألة ذات القيم الذاتية العامة الآتية:

$$(7) \quad \begin{aligned} & \text{إيجاد } (Z \neq 0) \text{ } Z \in \mathbb{R}^{2n} \text{ و } \lambda \in [0, V^2] \text{ بحيث:} \\ & \tilde{A}Z = \sqrt{\lambda} \tilde{B}Z. \end{aligned} \quad \begin{aligned} & \text{حيث} \\ & \tilde{A} = \begin{bmatrix} -C & -B \\ A & 0 \end{bmatrix}, \quad \tilde{B} = \begin{bmatrix} 0 & B \\ B & 0 \end{bmatrix} \end{aligned}$$

يمكن إثبات (أنظر [7]) وجود تكافؤ بين المسألتين (6) و(7) بمعنى الآتي:

إذا كانت الثنائية (x, λ) حلاً لمسألة (6) فإن الثنائية (Z, λ) حلاً لمسألة (7) وبالمقابل إذا كانت الثنائية (λ, Z) حلاً لمسألة (7) و $Z = (z_1, z_2)^t$ فإن الزوج (λ, z_1) حلاً لمسألة (6). ولحساب القيم الذاتية لمسألة الجبرية المتحصل عليها نستعمل طريقة أرنولدي "Arnoldi" وهي عبارة عن طريقة تكرارية لحساب القيم الذاتية. وهي من الطرق التي تعتمد على تفكيك المصفوفة المعنية بحساب قيمها الذاتية على شكل جداء يدعى QR.

5 بعض نتائج المحاكاة

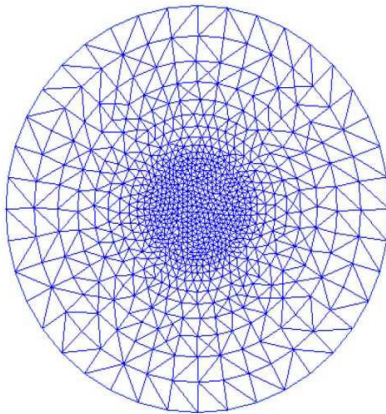
نقدم في هذا العمل بعض التجارب العددية لمحاكاة ظاهرة انتشار الموجات الموجهة في ألياف بصيرية ذات مقاطع بأشكال مختلفة. للقيام بذلك قمنا بإنشاء برنامج معلومي باستخدام برنامج FreeFem++ الملائم لسائل المعادلات التفاضلية الجزئية والذي يعتمد على طرق العناصر المنتهية (أنظر [10]). لقد أخذنا في البداية ليافا بصيريا دائري المقاطع قصد المقارنة لتوفير النتائج التحليلية والحسابات بالطرق العددية، ثم أخذنا ليافا بصيريا مثلث المقاطع وأخر مربع المقاطع كما قمنا بتجربة أخذنا فيها مزدوجة بصيرية مكونة من ليفين مثلث المقاطع داخل غمد ذي مقاطع رباعي الشكل. عند اختيار المواصفات الضوئية والهندسية للألياف البصرية أثناء تجارب المحاكاة العددية التي قمنا بها لضبط البرنامج الذي قمنا بوضعه، سهرنا في البداية على أن تتمكننا التجارب من المقارنة مع نتائج لأعمال سابقة، ولذلك أخذنا مساحة مقاطع اللب متساوية في كل أشكال المقاطع المستعملة. حسبنا في كل حالة ثابت الانتشار بالنسبة للموجة الموجهة الرئيسية والموجة الموجهة الثانية.

1. ليف بصري دائري المقاطع

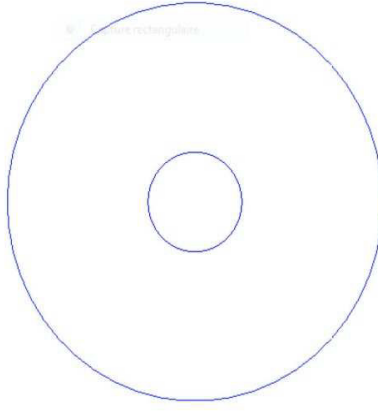
الهدف الأساسي من التجارب في هذه الحالة هو ضبط البرنامج المنشأ من خلال المقارنة مع النتائج المتوفرة في الأدبيات. للقيام بذلك قمنا بأخذ المواصفات الضوئية والهندسية الآتية:

- نصف قطر لب الليف: $a = 1.μm$
- معامل انكسار اللب: $n_+ = 1.5085$
- معامل انكسار الغمد: $n_\infty = 1.5000$
- نصف قطر البتر: $R = 4a$. هذه القيمة مختارة بحيث البتر لا يؤثر على قيمة ثابت الانتشار وشكل الحقل الكهرومغناطيسي.
- التردد المنظم: $V = 2$. هذه القيمة لا تمكن وفق الأدبيات إلا من ظهور الموجة الرئيسية وهذا ما لاحظناه أثناء تجربتنا.

في هذه الحالة الشكل 2 يمثل الميدان الذي تجري فيه الحسابات حيث (أ) هو المقاطع العرضي للليف و(ب) يمثل التشبيب الذي تتطلبه طريقة العناصر المنتهية.



(ب) : شبك المقطع الدائري

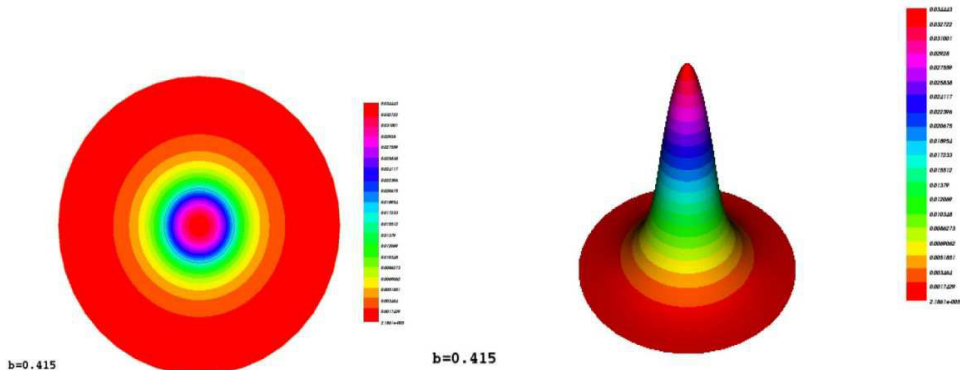


الشكل 2 (أ) : المقطع العرضي لليف الدائري

بهذه المواصفات تحصلنا على قيمة ثابت الانتشار المنظم $b = 0.415$ حيث $b = \frac{(\beta^2 - n_\infty^2 k^2) a^2}{V^2}$

$$b = \frac{(\beta^2 - n_\infty^2 k^2) a^2}{V^2},$$

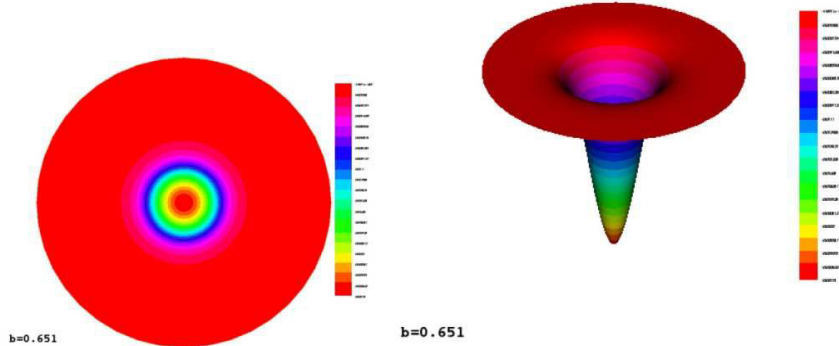
وهي قيمة قريبة من القيمة المتحصل عليها تحليلياً 0.41625 [6]. وقد قمنا بتمثيل (أنظر الشكل 3 (أ)) الحقل الكهرومغناطيسي (بثلاثة أبعاد) المرفق بهذه القيمة وكذلك الخطوط المتتساوية القيم بالنسبة للطاقة في هذا الحقل وهي عبارة عن مسقته على المستوى (أي مثل بعدين) كما هو مبين في الشكل 3 (ب).



(ب) : مسقط الحقل على المستوى

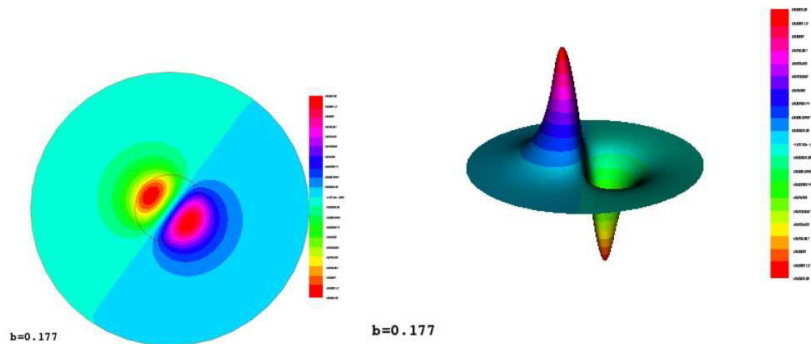
الشكل 3 (أ) : الحقل الكهرومغناطيسي

إذا أردنا الحصول على الموجة الموجة الثانية بالإضافة إلى الموجة الموجة الرئيسية يمكننا تغيير قيمة التردد المنظم V والحفاظ على بقية المواصفات الضوئية والهندسية. بأخذ $V = 3$. تجارب المحاكاة تبين وجود موجة أساسية بسرعة انتشار 0.651 حيث الشكل 4 يمثل حقلها الكهرومغناطيسي وموجة ثانية بسرعة انتشار قيمتها مضاعفة 0.177 والشكلان 5 و 6 يمثلان الحقول الكهرومغناطيسيتين المرفقين بهذه القيمة مضاعفة.



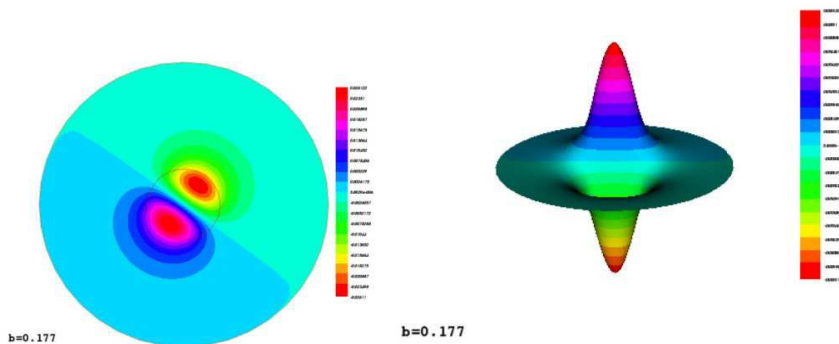
(ب) : مسقط الحقل على المستوى

الشكل 4 (أ) : الحقل الكهرومغناطيسي



(ب) : مسقط الحقل على المستوى

الشكل 5 (أ) : الحقل الكهرومغناطيسي



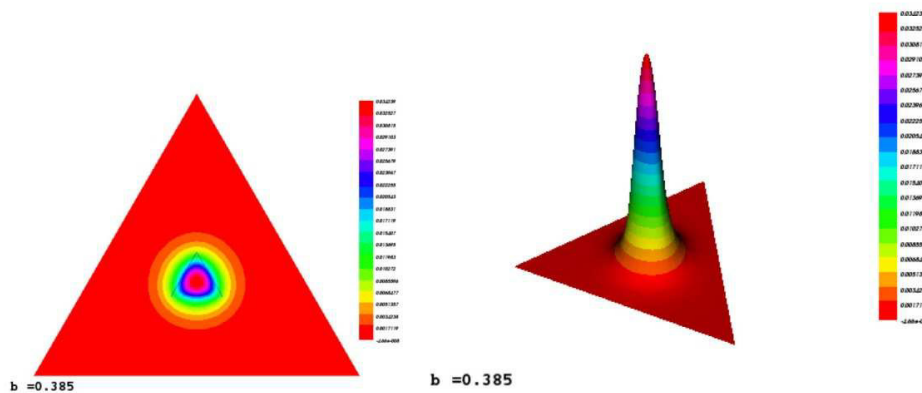
(ب) : مسقط الحقل على المستوى

الشكل 6 (أ) : الحقل الكهرومغناطيسي

من خلال هذه النتائج المتحصل عليها أثناء انتشار الموجات الموجهة في ليف بصري دائري المقطع، نلاحظ أنها مطابقة أو قريبة جداً مما هو موجود في أدبيات الاختصاص. نلاحظ أنه من أجل $V = 2$ لم نحصل إلا على الموجة الأساسية ومن أجل $V = 3$ تحصلنا بالإضافة إلى الموجة الموجهة الأساسية على الموجة الثانية وهذا ينماشى مع الأدبيات التي تحدد ظهور الموجة الثانية انطلاقاً من قيمة $V = 2.405$ (أنظر [13]).

2. ليف بصري مثل المقطع

بعدما ثبتت نجاعة البرنامج الذي قمنا بإنشائه لمحاكاة انتشار الموجات الموجة في ليف بصري دائري المقطع، نقوم الآن باستعماله لمحاكاة انتشار الموجات الموجة في ليف بصري مثلثي المقطع. نحافظ في هذه الحالة على المواصفات الضوئية ونغير شكل مقطع لب الليف وغمده حيث يكون مقطع اللب مثلثاً متساوياً الأضلاع مساحته تساوي مساحة مقطع اللب الدائري. من أجل ذلك أخذنا ضلع مقطع اللب $ce = 6ci = 2a\sqrt{\pi/\sqrt{3}}$ وضلع مقطع الغمد $ci = 2a\sqrt{\pi/\sqrt{3}}$ وبأخذ $2V = \text{حصيلنا على سرعة انتشار} . b = 0.385$.

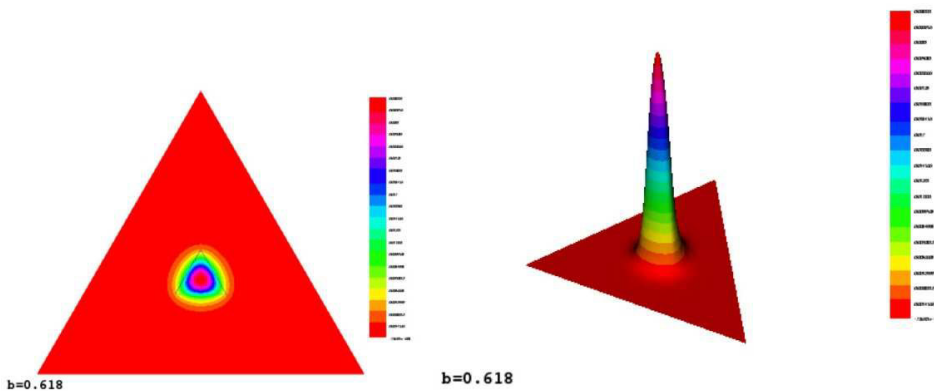


(ب) : مسقط الحقل على المستوى

الشكل 7 (أ) : الحقل الكهرومغناطيسي

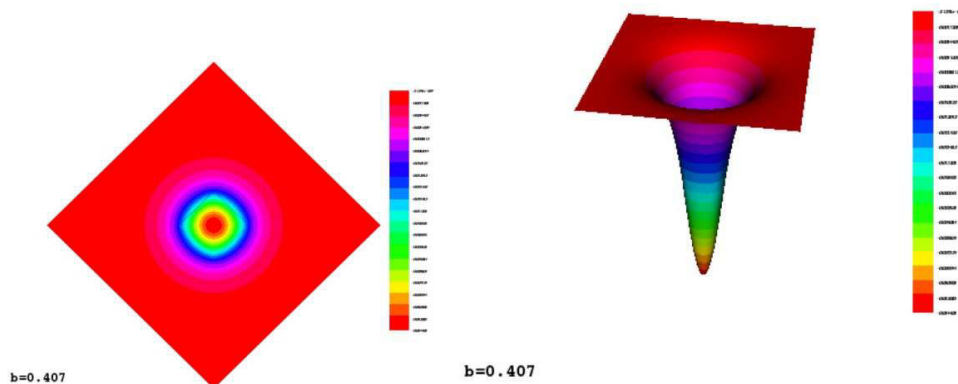
الملاحظة الأولية من هذه التجربة هي أن حقل الموجة الموجة الأساسية الكهرومغناطيسي لم يتغير كثيراً من الناحية الشكلية (أنظر الشكل 3 و 7) بينما هناك تغير في قيمة سرعة انتشارها.

أما بالنسبة لـ $V = 3$ فالقيمة المتحصل عليها هي $b = 0.618$ بالنسبة لسرعة انتشار الموجة الموجة الأساسية و 0.172 بالنسبة لسرعة انتشار الموجة الثانية ذات القيمة المضاعفة. يمكن تقديم نفس الملاحظة السابقة فيما يخص قيمة سرعة الانتشار وشكل الحقل الكهرومغناطيسي المرفق بها إذا قورنا بما تحصلنا عليه في حالة الليف الدائري المقطع (أنظر الأشكال 4، 5 و 6 والأشكال 8، 9 و 10).



(ب) : مسقط الحقل على المستوى

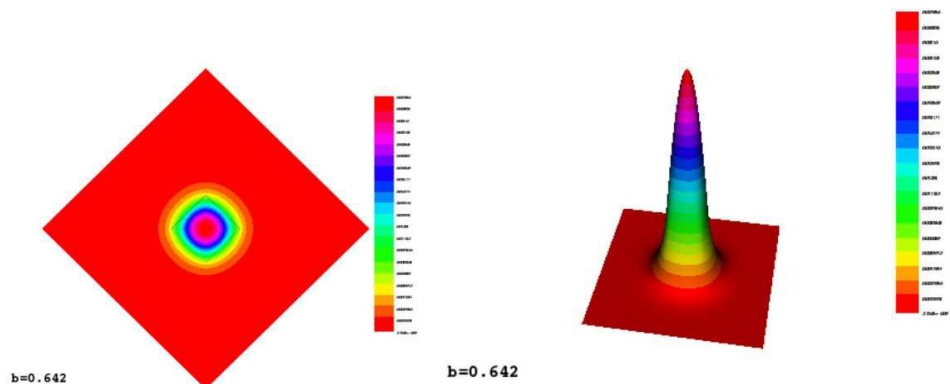
الشكل 8 (أ) : الحقل الكهرومغناطيسي



(ب) : مسقط الحقل على المستوى

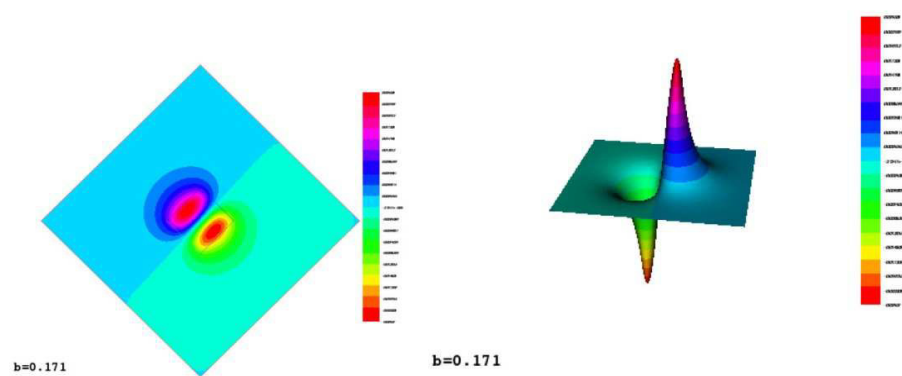
الشكل 11 (أ) : الحقل الكهرومغناطيسي

ومن أجل $V = 3$ تحصلنا على سرعة انتشار $b = 0.642$ بالنسبة للموجة الأساسية ومثلنا حقلها الكهرومغناطيسي بثلاثة أبعاد وبعدين في الشكل 12 (أ) و(ب). كما تحصلنا على سرعة انتشار تقدر $b = 0.171$ قيمتها مضاعفة ومثلنا الحقولين الكهرومغناطيسيين المرافقين بها في الشكلين 13 و14.



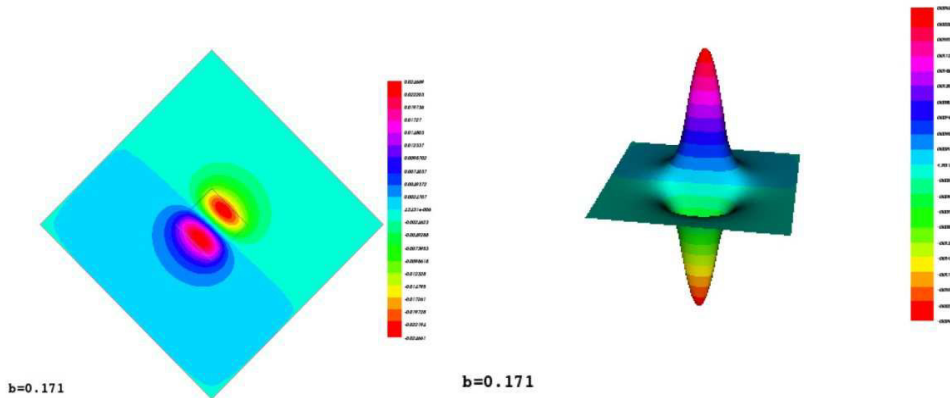
(ب) : مسقط الحقل على المستوى

الشكل 12 (أ) : الحقل الكهرومغناطيسي



(ب) : مسقط الحقل على المستوى

الشكل 13 (أ) : الحقل الكهرومغناطيسي



(ب) : مسقط الحقل على المستوى

الشكل 14 (أ) : الحقل الكهرومغناطيسي

النتائج الحسابية المتحصل عليها في هذه التجربة تمكينا على غرار ملاحظة التجربة السابقة من القول أن الحقول الكهرومغناطيسيية لم تتأثر كثيراً من الناحية الشكلية وهناك تغير على مستوى قيم سرعة انتشار الموجات الموجة سواء الأساسية منها أو الثانية، وبيدو ذلك جيلاً من خلال قيم سرعات الإنتشار وأشكال الحقول الكهرومغناطيسيية المرفقة المتحصل عليها في كل التجارب السابقة.

لقد اتخذنا الليف البصري الدائري المقطع كمرجع لمقارنة النتائج المتحصل عليها أثناء محاكأتنا لانتشار الموجات الموجة في مختلف الألياف التي اعتبرناها في تجاربنا لاملاكتنا في الأدبيات كما ذكرنا سابقاً لنتائج دقيقة تخص الليف الدائري المقطع. من خلال نتائج التجارب التي سردناها يمكن أن نلاحظ أن نتائج الليف المربع المقطع أقرب لنتائج الليف الدائري المقطع إذا ما قورنت بتلك المتعلقة بالليف المثلث المقطع، وهذا أمر متوقع لأنه من الناحية الشكلية (شكل مقطع لب الليف) المربع أقرب للدائرة من المثلث. يمكننا استنتاج أنه إذا اعتبرنا ليفا بصرياً مقطع له مضلع فإنه كلما ازداد عدد أضلاعه كلما اقتربت نتائج الحسابات فيه من نتائج الليف الدائري المقطع طبعاً مع مراعاة مساحة اللب.

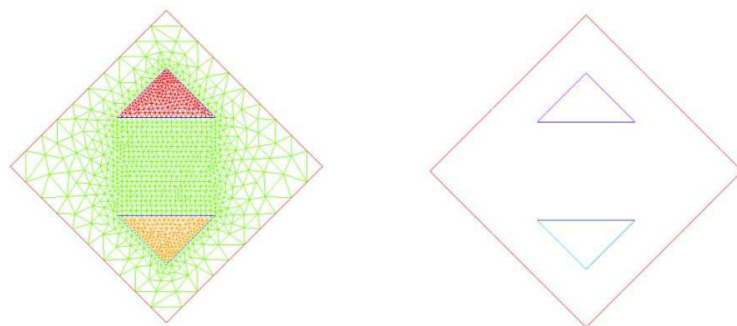
4. مزدوجة ألياف مثلثية المقطع

إذا أردنا التعمق أكثر في دراسة تأثير شكل لب الألياف على انتشار الموجات الموجة من ناحية قيمة سرعة الإنتشار وشكل الحقل الكهرومغناطيسي يمكننا أن نقوم بتجارب لمحاكاة انتشار الموجات الموجة في بنية ناتجة عن مزاوجة ليفين بصيريين (تدعى مزدوجة بصيرية) ولديكنا مثلثي مقطع اللب. وعليه فإننا، في هذه الفقرة، نعتبر بنية ضوئية مكونة من ليفين بصيريين كل واحد منها ذو لب مقطعيه مثلث الشكل لهما نفس معامل الانكسار سواء في اللب أو في الغمد. للمقارنة مع النتائج المتاحة لدينا سوف نعتبر كلاً من الليفين بصيريين له المواصفات الضوئية والهندسية المستعملة في التجارب السابقة. هناك معامل جديد يدخل في الحسبان، يتعلق الأمر بالمسافة التي تفصل بين لب الليفين التي تدعى بمسافة التزاوج وهي عنصر مؤثر في حالة تزاوج الألياف البصرية.

نعتبر الآن بنية ضوئية بمواصفات الآتية:

- مقطع لب الليفين مثلث متساوي الأضلاع مساحته π ومعامل الانكسار فيه $n = 1.5085$.
- غمداً الليفين بنفس معامل الانكسار $n = 1.5000$. يمكن اعتبارهما غمداً واحداً يشمل اللين وشكل مقطعيه رباعي يلائم تغيير مسافة التزاوج بينهما.
- التردد المنظم $V = 2$ ، حيث نهتم فقط بالموجة الموجة الأساسية.

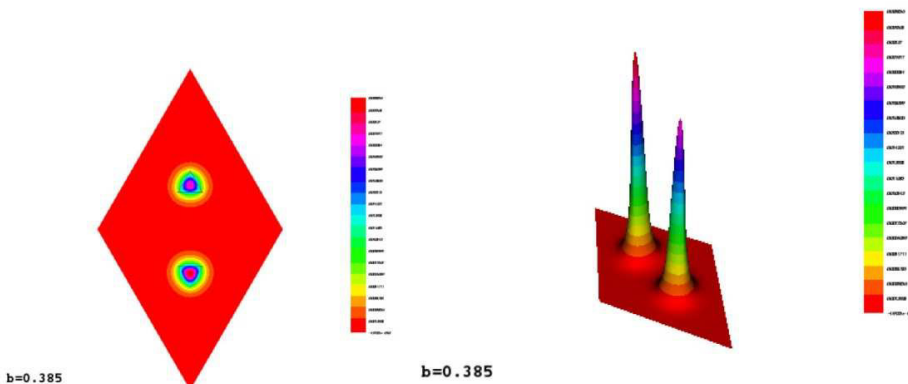
في هذه الحالة الشكل 15 (أ) و(ب) يمثل المقطع العرضي للمزدوجة البصرية والتشبيك الذي تتطلب طريقة العناصر المنتهية.



(ب) : تشبیک مقطع المزدوجة البصرية

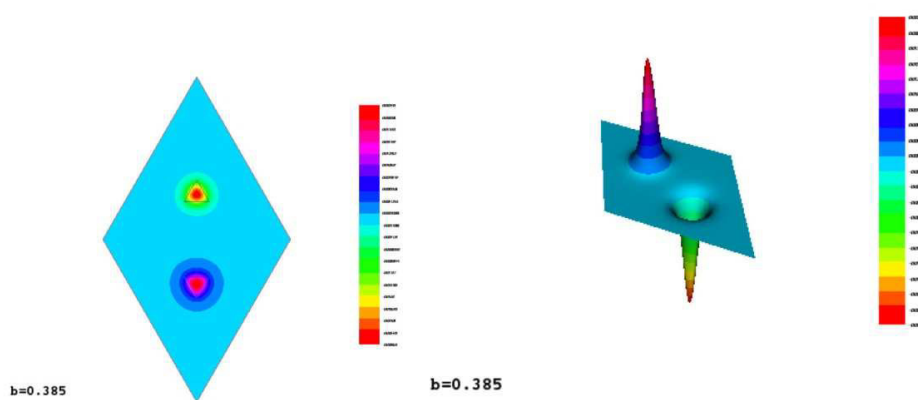
الشكل 15 (ج) : المقطع العرضي للمزدوجة البصرية

نقوم الآن بمحاكاة انتشار الموجات الموجهة في مزدوجة بصرية مكونة من ليفين متماثلين مع مرافقه مدى تأثير النتائج المتحصل عليها بمسافة التزاح بينهما. في البداية أخذنا مسافة التزاح $d = 8\mu m$ وهي المسافة التي تفصل بين ليفي الليفينا فحصلنا على سرعة انتشار تقدر بـ $b = 0.385$ مضاعفة ومثلثاً الحقل الكهرومغناطيسي المرفق في الشكلين 16 و 17.



(ب) : مسقط الحقل على المستوى

الشكل 16 (أ) : الحقل الكهرومغناطيسي

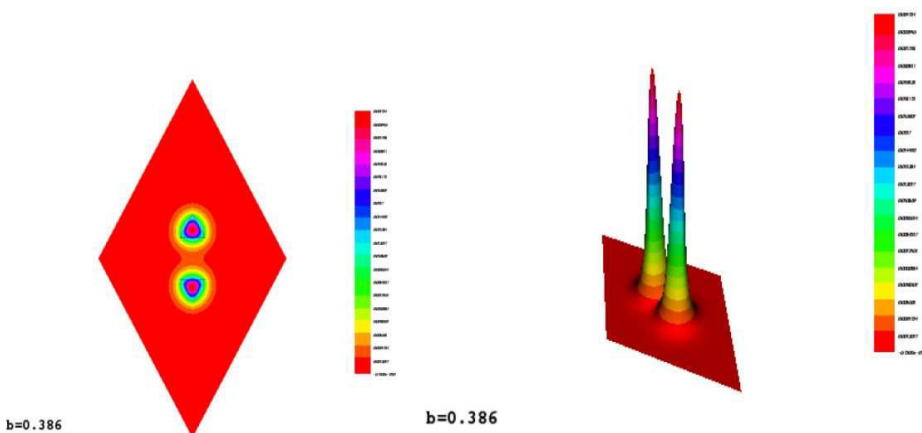


(ب) : مسقط الحقل على المستوى

الشكل 17 (أ) : الحقل الكهرومغناطيسي

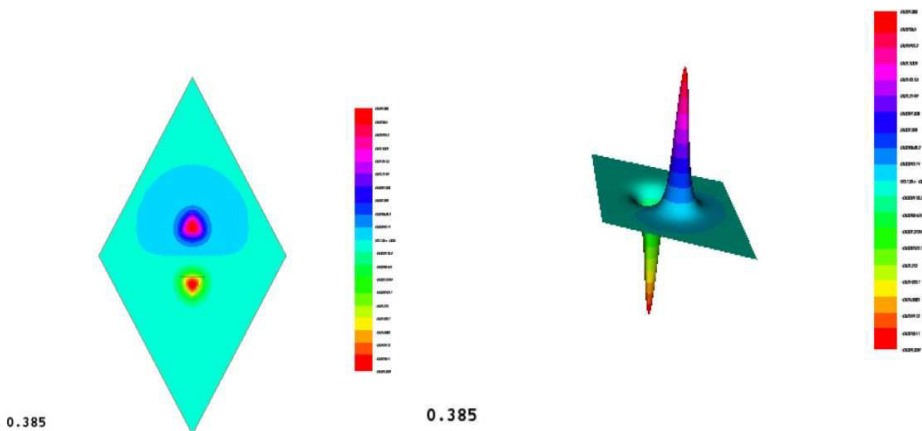
الملاحظة التي يمكن إبداؤها إنطلاقاً من النتائج المتحصل عليها في هذه التجربة، هي أن مسافة المزاوجة بين الibern المأخوذة في البنية التي اعتبرناها يجعل انتشار الموجات الموجهة في البنية يشبه انتشارها في ليفين بصريين منفصلين تماماً من ناحية قيمة

سرعة الانتشار وهي نفسها وأيضا نفس شكل الحقل الكهرومغناطيسي. هنا يعني أنه من أجل مسافة المزاوجة في $d = 8\mu m$ حالتنا ليس هناك أي أثر للمزاوجة وهذا يدفعنا إلىأخذ مسافة أصغر منها ولاحظة ما الذي يحدث. وبالفعل، هنا ما قمنا به حيث أخذنا في التجربة الموالية مسافة مزاوجة بين الرين $d = 4\mu m$ وكانت النتائج كما يلي: لاحظنا تغيرا طفيفا في قيمة سرعة انتشار الموجة الأساسية التي لم تعد مضاعفة بل أصبحت قيمتين: الأولى $b = 0.386$ والثانية $b = 0.385$ لاحظنا اقتراب الحقلين الكهرومغناطيسيين من بعضهما البعض والشكلان 18 و19 يبيّنان ذلك.



(ب) : مسقط الحقل على المستوى

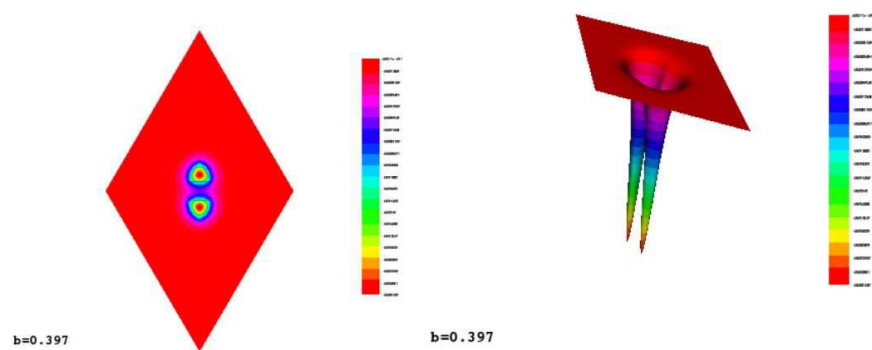
الشكل 18 (أ) : الحقل الكهرومغناطيسي



(ب) : مسقط الحقل على المستوى

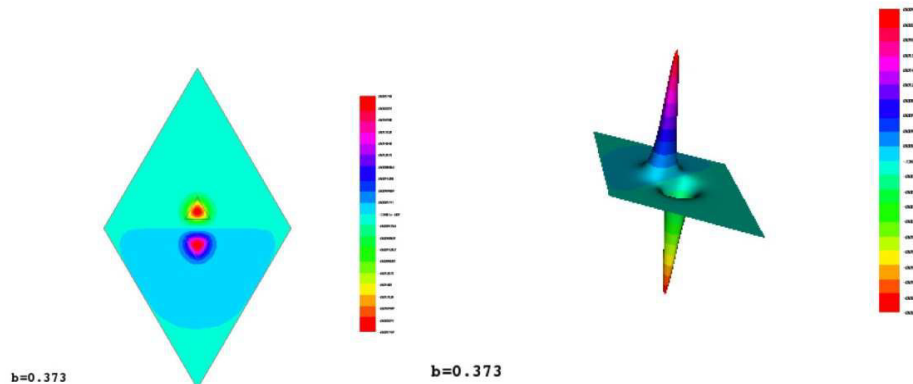
الشكل 19 (أ) : الحقل الكهرومغناطيسي

بعد هذه التجربة، أردنا معرفة ما الذي يحدث إذا أخذنا مسافة مزاوجة أصغر من هذه الأخيرة، وهذا ما دفعنا إلىأخذ $d = 2\mu m$ ومراقبة التغيرات الطارئة. ما حصلنا عليه في هذه التجربة يبرز تغيرا واضحا في قيمة سرعة إنتشار الموجة الأساسية التي أصبحت: الأولى $b = 0.397$ والثانية $b = 0.373$ وبهذا تداخلا أو تلاحمًا طفيفا للحقلين الكهرومغناطيسيين المرفقين بالقيمتين ويدو ذلك جليا في الشكلين 20 و21.



(ب) : مسقط الحقل على المستوى

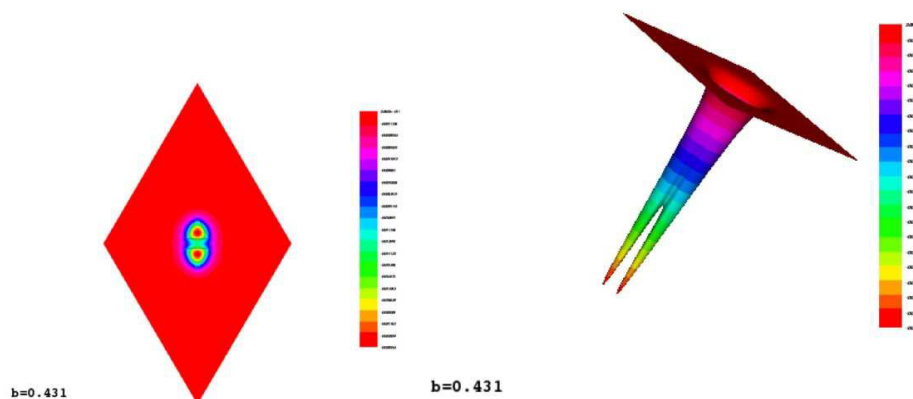
الشكل 20 (أ) : الحقل الكهرومغناطيسي



(ب) : مسقط الحقل على المستوى

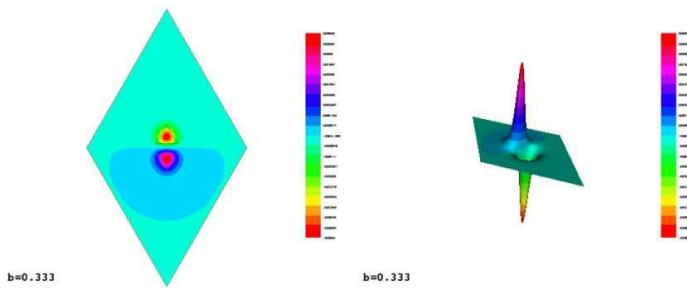
الشكل 21 (أ) : الحقل الكهرومغناطيسي

للوقوف أكثر على هذه الظاهرة أي تأثير انتشار الموجات الموجهة في مزدوجة ألياف بصيرية بمسافة المزاوجة فيها قمنا بتجربتين إضافيتين حيث أخذنا $d = 1\mu m$ و $d = 0.4\mu m$. الشكلان 22 و 23 يوضحان النتائج المتعلقة بالمسافة الأولى والشكلان 24 و 25 بالنسبة للمسافة الثانية.



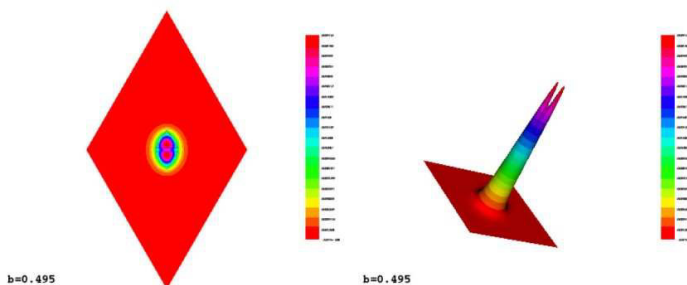
(ب) : مسقط الحقل على المستوى

الشكل 22 (أ) : الحقل الكهرومغناطيسي



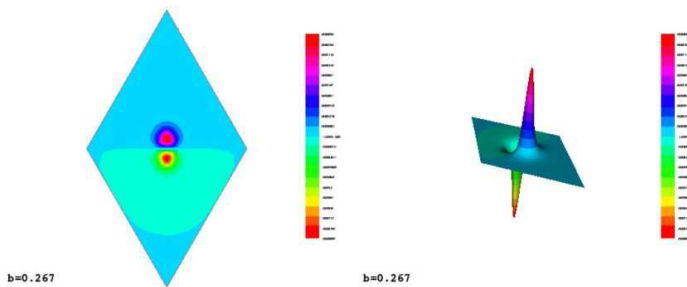
(ب) : مسقط الحقل على المستوى

الشكل 23 (أ) : الحقل الكهرومغناطيسي



(ب) : مسقط الحقل على المستوى

الشكل 24 (أ) : الحقل الكهرومغناطيسي



(ب) : مسقط الحقل على المستوى

الشكل 25 (أ) : الحقل الكهرومغناطيسي

التجربتان الأخيرتان على غرار التجربتين السابقتين لهما تؤكدان تغير سرعة انتشار الموجة الموجة الأساسية مع تغير مسافة المزاوجة الفاصلة بين لبى الليفين وتلائم الحقول الكهرومغناطيسيين الخاصين بالليفين البصريين. يمكن بسهولة ملاحظة أن إحدى سرعات الانتشار الخاصة بالبنية تكبر قيمتها كلما صغرت مسافة المزاوجة وأن سرعة الانتشار الثانية تصغر معها (أي تصغر مع مسافة المزاوجة).

الخاتمة

من خلال هذا العمل قمنا بدراسة انتشار الموجات الموجة التي يمكن أن تنتشر في ليف بصري ذي مقطع شكله كيفي حيث أجرينا تجرب محاكاة انتشار الموجات في ألياف بصيرية ذات مقطع دائري، مثلثي ومربع. في هذه التجارب حسبنا، في كل حالة، سرعات انتشار الموجات الموجة الأساسية والثانوية وعيينا الحقول الكهرومغناطيسيية المرفقة. وقمنا أيضاً بمحاكاة انتشار الموجات الموجة في مزدوجة بصيرية وراقبنا تأثيره بمسافة المزاوجة بين الليفين المشكّلين للمزدوجة البصرية. في الأخير يمكننا استعمال البرنامج الذي قمنا بإنشائه لإنجاز التجارب المذكورة في هذا العمل من أجل حساب الموجات الموجة العليا أي التي تأتي بعد الموجة الأساسية والثانوية وذلك من أجل قيم أكبر للتردد V مثلاً. ويمكن استعماله أيضاً من أجل دراسة ظاهرة التزاح بين ليفين مختلفين من ناحية المواصفات الضوئية والبنية أو أكثر.

المراجع

- [1] Barucq H., Bekkey C. & Djellouli R., *Mathematical analysis and solution methodology for an inverse spectral problem arising in the design of optical waveguides*, Inverse Problems in Science and Engineering, 2019, VOL. 27(8), 1081–1119
- [2] Bonnet A.S. & Djellouli R., Etude mathématique des modes Guidé d'une fibre optique, résultats complémentaires et extension au cas de couplage, Rapport interne du C.M.A.P. No 182, Ecole Polytechnique, Palaiseau, France (1988).
- [3] Bonnet A.S. & Gmati N., Spectral approximation of a boundary condition for an eigenvalue problem, SIAM J. Numer. Anal., 32(4), (1995) 1263-1279.
- [4] Choutri A. & Boureghda A., A numerical integral method for compute the guided modes in an optical half coupler in the scalar case, Rev. Roumaine Math. Pures Appl., 54 (4), (2009) 287–295.
- [5] Choutri A. & Boureghda A., An asymptotic expansion approach for variable refractive index optical fibers (in weak guidance case), Optical and Quantum Electronics, 50(2), (2018) 1–21.
- [6] Djellouli R., Contribution à l'analyse mathématique et au calcul numérique des modes guidés dans les fibres optiques, Thèse de Doctorat es Science, Université Paris Sud, Centre d'Orsay (1988).
- [7] Djellouli R., Bekkey C., Choutri A. & Rezgui H., A local boundary condition coupled to a finite element method to compute guided modes of optical fibers under the weak guidance assumptions, Math. Methods Appl. Sci., 23(17), (2000) 1551–1583.
- [8] Devys C. & Ziani A., Méthode Intégrale pour le Calcul des Modes Guidés d'une Fibre Optique, Rapport Interne du C.M.A.P., No 129, Ecole Polytechnique, Palaiseau, France (1985).
- [9] Ginés L. P., "Beam Propagation Method for Design of Optical Waveguide Devices", John Wiley & Sons, Ltd, 2016.
- [10] Hecht F., New development in FreeFem++, J. Numer. Math., 20, No. 3-4, (2012) 251–265.
- [11] Marcuse D., "Theory of dielectric optical waveguides", Academic Press, New York, 1974.
- [12] Mitschke F., "Fiber Optics, Physics and Technology", Second Edition, Springer-Verlag, Berlin, Heidelberg, 2016.
- [13] Snyder A.W. & Love J.D., "Optical Waveguide Theory", Chapman and Hall, London, 1983.
- [14] Tong X. C., "Advanced Materials for Integrated Optical Waveguides", Springer, Switzerland, 2014.

و مسائل ناقصية ذات أسس متغيرة بمعطى قياس T-set T-set and elliptic problems with variable exponents and measure data

مختارى فارس

قسم الرياضيات والاعلام الالى - جامعة الجزائر، الجزائر
fares_maths@yahoo.fr, f.mokhtari@univ-alger.dz

تمت ترجمة المقال من الإنجليزية إلى العربية من طرف
ناصرى مختار
المدرسة العليا للاساتذة بالقبة الجزائر - مخبر EDPNL-HM،
المدرسة العليا للاساتذة بالاغواط ، الجزائر
nasrimokhtar@gmail.com

15 ديسمبر 2020

ملخص (Abstract) : في هذا الورق ثبت وجود حلول ضعيفة ل نوع من المسائل الناقصية غير الخطية من الصنف $-div(\hat{a}(x, u, Du)) = \mu$ حيث μ هو قياس رادون (Radon) المحدود. فضاء الحلول يتطلب ادخال مفهوم T-set (مفهوم T-set تم تقديمها في [8]) و فضاء لوبيغ-سوبيولاف (Lebesgue-Sobolev) ذو اسس متغيرة.

كلمات مفتاحية (Keywords) : T-set اسس متغيرة، معادلة ناقصية، معطى قياس.
35J60 ، 35B38 :2000 MSC

1 المدخل (Introduction) :

هذا العمل مكرس لدراسة المسائل الناقصية

$$\begin{cases} -div(\hat{a}(x, u, Du)) = \mu, & \text{في } \mathcal{D}'(\Omega) \\ u = 0, & \text{على } \partial\Omega \end{cases} \quad (P)$$

حيث Ω هو جزء مفتوح و محدود من \mathbb{R}^N ذو حافة بشيئية (Lipschitzienne) ($N \geq 2$) ، $\partial\Omega$ هو القياس المحدود لرادون على Ω ، و $a : \Omega \times \mathbb{R} \times \mathbb{R}^N \rightarrow \mathbb{R}^N$ هوتابع لكارتيودوري (Carathéodory) يتحقق ، حيثما كان تقريبا $x \in \Omega$ و $\forall u \in \mathbb{R}^N$ و $\forall \xi, \xi' \in \mathbb{R}^N$ ، ما يلي:

$$\hat{a}(x, u, \xi)\xi \geq \alpha|\xi|^{p(\cdot)}, \quad \hat{a}(x, u, \xi) = (a_1, \dots, a_N) \quad (1)$$

$$|\hat{a}(x, u, \xi)| \leq \beta(h + |u|^{p(\cdot)-1} + |\xi|^{p(\cdot)-1}), \quad h \in L^{p(\cdot)}(\Omega) \quad (2)$$

$$(\hat{a}(x, u, \xi) - \hat{a}(x, u, \xi'))(\xi - \xi') > 0, \quad \xi \neq \xi', \quad (3)$$

حيث الاس المتغير $(1, +\infty) : \bar{\Omega} \rightarrow p(\cdot)$ هوتابع مستمر بحسب:

$$\forall x \in \bar{\Omega} : \quad 1 < p(x) < N, \quad p'(x) = \frac{p(x)}{p(x) - 1}. \quad (4)$$

نعرف العدد

$$p_0 = \frac{(1 - \frac{1}{p^+})N + N}{1 - \frac{1}{p^+} + N}. \quad (5)$$

تستخدم الأسس المتغيرةاليوم في فروع مختلفة من العلوم التطبيقية. في بعض الحالات تقدم نماذج واقعية لدراسة الفواهير الطبيعية في السوائل الكهروميكانيكية (Electrorheological) ([12] ، [1]) ، وتطبيقات مهمة تتعلق بمعالجة الصور [3]. في الحالة $\hat{a}(\xi) = \hat{a}(x, u, \xi)$ حيث $\hat{a}(x, u, \xi) = \xi^{p(\cdot)-2}|\xi|^{p(\cdot)}$ و $p(\cdot) > 2 - \frac{1}{N}$ حيث $p(\cdot)$ تابع مستمر على $\bar{\Omega}$ بحسب نجد أن وجود حل ضعيف u في فضاء سوبولاف المعتمد $L^{1,q(\cdot)}_0(\Omega)$ لمسألة ناقصية معطى $L^1(\Omega)$ حيث $q(\cdot)$ تابع مستمر يتحقق $1 \leq q(x) < \frac{N(p(x)-1)}{N-1}$ لكل $x \in \bar{\Omega}$ تم اثباته في [1].

من أجل $2 - \frac{1}{N} < p(\cdot) \leq 1$ نجد هذا الاطار ضيق جدا لاحتواء الحلول.

في الحالة الثابتة $q(\cdot) = p > 2 - \frac{1}{N}$ يوجد حل ضعيف u لمسألة (P) في الفضاء $L^{1,p(\cdot)}_0(\Omega)$ من أجل كل $x \in \bar{\Omega}$ و هذا تم اثباته في [2].

راكوتوزن (Rakotoson) [9, 8] أثبت وجود حلول في مجموعة أكثر عمومية يرمز لها $L^{1,p}_0(\Omega)$ حيث $1 < p \leq N$. الغرض من هذا الورق هو الضبط و المعالجة الكاملة لمسألة (P) في مجموعة جديدة $L^{1,p(\cdot)}_0(\Omega)$ (انظر القسم 3) حيث μ قياس رادون المحدود على Ω و $p(\cdot)$ تابع مستمر حيث $1 < p(x) < N$ من أجل كل $x \in \bar{\Omega}$. كمثال نموذجي نعتبر الاشكالية النوذجية

$$\begin{cases} -\operatorname{div}(|Du|^{p(x)-2}Du) = \delta, & \text{في } B \\ u = 0, & \text{على } \partial B \end{cases}$$

حيث δ هوقياس رادون عند الاصل و $B = \{x \in \mathbb{R}^N \mid |x| < 1\}$. تمثل الخطوات الرئيسية للإثبات في الحصول على تقديرات قبلية لمتشالية المسائل التقريبية المناسبة ثم بعدها المرور إلى النهاية. هناك نوعان من الصعوبات التي تظهر في معالجة المؤثرات الناقصية غير الخطية ($Au = -\operatorname{div}(\hat{a}(x, u, Du))$) بدلا من مؤثر لا بلاس مع أسس متغيرة ، الأولى هي الحصول على تقديرات قبلية لخل u و التدرج Du ، و الصعوبة الثانية هي المرور إلى النهاية عندما لاخطية A مرتبطة بـ u و Du . في هذه المرحلة الخاصة ([27]) مطلوبة.

2 مفاهيم أولية (Preliminaries)

في هذا القسم نذكر أولاً بعض خصائص فضاءات لوبيغ ذات الأسس المتغيرة $L^{p(\cdot)}(\Omega)$. نعرف الجموعة

$$C_+(\bar{\Omega}) = \{v \in C(\bar{\Omega}) \mid v^- = \inf_{x \in \bar{\Omega}} v(x) > 1\}.$$

ليكن $p \in L^{p(\cdot)}(\Omega)$ ، نشير بالرمز $L^{p(\cdot)}$ إلى فضاء التوابع f القابلة للقياس على Ω بحيث

$$\rho_{p(\cdot)}(f) = \int_{\Omega} |f(x)|^{p(x)} dx < +\infty.$$

الفضاء $L^{p(\cdot)}(\Omega)$ عند تزويده بالنظام

$$\|f\|_{p(\cdot)} := \|f\|_{L^{p(\cdot)}(\Omega)} = \inf \{\lambda > 0 \mid \rho(f/\lambda) \leq 1\}$$

يصبح فضاء بناخيا.

و بالإضافة إلى ذلك، إذا كان $p^- > 1$ فان $L^{p(\cdot)}(\Omega)$ انعكاسي و ثوي $L^{p(\cdot)}(\Omega)$ يمكن تعريفه بـ $L^{p'(\cdot)}(\Omega)$ حيث

$$\frac{1}{p(x)} + \frac{1}{p'(x)} = 1$$

من أجل كل $v \in L^{p'(\cdot)}(\Omega)$ لدينا متباعدة هولدر (Hölder) حيث $v \in L^{p'(\cdot)}(\Omega)$, $u \in L^{p(\cdot)}(\Omega)$,

$$\left| \int_{\Omega} uv dx \right| \leq \left(\frac{1}{p_-} + \frac{1}{p'_-} \right) \|u\|_{p(\cdot)} \|v\|_{p'(\cdot)} \leq 2 \|u\|_{p(\cdot)} \|v\|_{p'(\cdot)}.$$

بشكل خاص، لكل ثابت $q \in (1, p^-)$

$$\|u\|_{L^q(\Omega)} \leq C \|u\|_{p(\cdot)}.$$

الفضاء البناخيا $L^{p(\cdot)}(\Omega)$ مع $W_0^{1,p(\cdot)}(\Omega)$ يعرف بـ

$$W_0^{1,p(\cdot)}(\Omega) = \{u \in L^{p(\cdot)}(\Omega) \mid |Du| \in L^{p(\cdot)}(\Omega), \quad \partial\Omega \text{ على } u = 0\}$$

مزود بالنظام $\|\cdot\|_{W_0^{1,p(\cdot)}(\Omega)} : u \mapsto \|Du\|_{p(\cdot)}$ ،
الفضاء $W_0^{1,p(\cdot)}(\Omega)$ قابل للتفصل و انعكاسي بشرط $p^- > 1$
بما أن p ، متباعدة بوانكاريه (Poincaré) محققة (انظر [4]):

$$\|u\|_{p(\cdot)} \leq C \|Du\|_{p(\cdot)}. \quad (6)$$

التابع الملساء عموماً ليست كثيفة في $W_0^{1,p(\cdot)}(\Omega)$ ، ولكن إذا كان الاس المتغير $p(\cdot)$ هولدر لوغاريقي مستمر (log-Hölder) يعني

$$|p(x) - p(y)| \leq -\frac{M}{\ln(|x - y|)} \quad \forall x, y \in \Omega \quad \text{حيث } |x - y| \leq 1/2,$$

فإن التابع الملساء كثيفة في $W_0^{1,p(\cdot)}(\Omega)$.
التوطئة التالية تستخدم لاحقاً

توطئة 2.1 ([6]) إذا كان (u_n) , $u \in L^{p(\cdot)}(\Omega)$ ، فإن العلاقات التالية محققة

$$\begin{aligned} & \cdot \|u\|_{p(.)} < 1 (> 1; = 1) \Leftrightarrow \rho(u) < 1 (> 1; = 1) \\ & \cdot \min \left(\rho(u)^{\frac{1}{p^+}}; \rho(u)^{\frac{1}{p^-}} \right) < \|u\|_{p(.)} < \max \left(\rho(u)^{\frac{1}{p^+}}; \rho(u)^{\frac{1}{p^-}} \right) \\ & \cdot \|u_n - u\|_{p(.)} \rightarrow 0 \Leftrightarrow \rho(u_n - u) \rightarrow 0 \\ & \cdot p^+ = \sup_{x \in \bar{\Omega}} p(x) < \infty \quad \text{لأن} \end{aligned}$$

نشير الى أن المتباعدة التالية

$$\int_{\Omega} |u|^{p(x)} dx \leq C \int_{\Omega} |Du|^{p(x)} dx,$$

ليست محققة عموماً (انظر [5] او [4]). لكن، بواسطة التوطئة 2.1 و (6)، يمكن أن نكتب

$$\int_{\Omega} |u|^{p(x)} dx \leq C \max \left\{ \|Du\|_{p(.)}^{p^+}; \|Du\|_{p(.)}^{p^-} \right\}. \quad (7)$$

حيث C ثابت يتعلق بـ Ω . نعرف أيضاً المجموعة $L^{s(.)}(\Omega) \subset \overline{\Omega} \rightarrow (0, \infty)$ حيث s تابع مستمر بـ

$$L^{s(.)}(\Omega) = \left\{ \int_{\Omega} |u|^{s(x)} dx < \infty : u : \Omega \rightarrow \mathbb{R} \right\}.$$

المراجع المحتملة لنظرية فضاءات لويجي - سوبولاف ذات الاس المتغير [4] ، [5] ، [6]

3 نوع جديد من المجموعات : (New type of Sets)

ليكن $L_0(\Omega)$ الذي يرمز الى مجموعة التابع القابل للقياس على Ω . من أجل كل تابع $p \in C_+(\Omega)$ نضع

$$\text{Lip}_{p(.)}(\mathbb{R}) = \left\{ T \in W^{1,\infty}(\mathbb{R}) \mid T(0) = 0 \quad \text{و} \quad T' \in L^{p^-}(\mathbb{R}) \right\}.$$

من أجل $k > 0$ إذا وضعنا $t \in \mathbb{R}$ حيث $T_k(t) = \frac{1}{2}\{|t+k| - |t-k|\}$ فانا نلاحظ أن التابع T_k ($k > 0$) وقوس الظل \arctan تنتهي الى $\text{Lip}_{p(.)}(\mathbb{R})$ نعرف

$$\begin{aligned} L_0^{1,p(.)}(\Omega) = & \left\{ u \in L_0(\Omega) \mid \forall T \in \text{Lip}_{p(.)}(\mathbb{R}), T(u) \in W_0^{1,p^-}(\Omega), \text{ مع} \right. \\ & \left. \sup_{k>0} \int_{\Omega} \frac{|DT_k(u)|^{p(x)}}{(1 + |T_k(u)|)^{1+\delta}} dx < \infty, \forall \delta > 0 \right\}. \end{aligned}$$

نشير الى انه إذا كان $p(x) = p$ من أجل كل $x \in \Omega$ فان $L_0^{1,p(.)}(\Omega)$ يسمى T-set وهذا في ([8]) . من السهل إثبات أن $W_0^{1,p(.)}(\Omega) \subset L_0^{1,p(.)}(\Omega)$ من أجل كل $p \in C_+(\bar{\Omega})$

فرضية 3.1. إذا كان (Ω) $v \in L_0^{1,p(.)}$ موجود حيالاً على Ω ، وبالاضافة الى ذلك إذا كان φ تابع من صنف C^1 من \mathbb{R} نحو Ω لدينا

$$D(\varphi \circ v)(x) = (\varphi' \circ v)Dv(x) \quad \Omega \quad (8)$$

حيالما كان تفريباً على Ω يتحقق $v^k = T_k(v)$ من أجل كل $k > 0$ التابع

$$Dv^k(x) = \begin{cases} Dv(x), & |v(x)| < k \\ 0, & \text{غير ذلك} \end{cases} \quad \text{إذا} \quad \text{حيالما كان تفريباً على } \Omega.$$

الإثبات: انظر [8] نرمن بـ C_i او C الى ثوابت مختلفة تتعلق فقط ببنية \widehat{a} , μ , N , و Ω .

فرضية 3.2. نفرض أن p_0 المعروf في (5) و $(.)$ s و p^- توابع مستمرة على $\overline{\Omega}$ بحيث

$$\begin{cases} 0 < s(x) < \frac{N(p(x)-1)}{N-p(x)}, \\ 1 < p(x) < N, \end{cases} \quad \forall x \in \overline{\Omega}. \quad (9)$$

إذا كان

$$s^+ < \frac{N(p^- - 1)}{N - p^-} \quad \text{او} \quad p^- > p_0 \quad (10)$$

فانه لدينا

$$L_0^{1,p(\cdot)}(\Omega) \subset L^{s(\cdot)}(\Omega). \quad (11)$$

الإثبات: نبدأ بالحالة

$$0 < s+ < \frac{N(p^- - 1)}{N - p^-}. \quad (12)$$

ليكن $\alpha = 1 - \frac{s^+}{p^-}$ مع $\alpha = 1 - \frac{s^+}{p^-}$ المعرف في (12)، ولتكن $v \in L_0^{1,p(\cdot)}(\Omega)$ اذن نجد $1 - \frac{s^+}{p^-} < \alpha < \frac{Np^-}{N-p^-}$ اذن $p^- < \alpha p^- < N$ من أجل $k > 0$ بما أن

$$\psi_\alpha(t) = \int_0^t \frac{d\sigma}{(1 + |\sigma|)^\alpha}$$

تابع من صنف C^1 و $\psi'_\alpha < 0$ اذن بواسطة (8) نستنتج أن $\psi_\alpha(v^k) \in W_0^{1,p^-}(\Omega)$ بالإضافة الى ذلك باستعمال متباعدة بوانكاريه نحصل على

$$\|\psi_\alpha(v^k)\|_{L^{p^-}(\Omega)} \leq C_1 \|D\psi_\alpha(v^k)\|_{L^{p^-}(\Omega)}$$

و منه

$$\int_{\Omega} |\psi_\alpha(v^k)|^{p^-} dx \leq C_2 \left(\int_{\Omega} \frac{|Dv^k|^{p^-}}{(1 + |v^k|)^{\alpha p^-}} dx \right)^{\frac{p^-}{p^-}}. \quad (13)$$

باللحظة أن

$$\alpha p^- - 1 = \left(1 - \frac{s^+}{p^-}\right) p^- - 1 = \frac{N-p}{N} \left(\frac{N(p^- - 1)}{N - p^-} - s^+ \right) > 0,$$

وأن $|\Omega| < \infty$ و $v \in L_0^{1,p(\cdot)}(\Omega)$

$$\sup_{k>0} \int_{\Omega} \frac{|Dv^k|^{p^-}}{(1 + |v^k|)^{\alpha p^-}} dx < \infty \quad (14)$$

و بالتالي من خلال (13) نحصل على

$$\int_{\Omega} |\psi_{\alpha}(v^k)|^{p^-*} dx \leq C_3, \quad \forall k > 0. \quad (15)$$

الآن ليكن $t \in \mathbb{R}$ اذن

$$\begin{aligned} |t|^{1-\alpha} &\leq (1+|t|)^{1-\alpha} \\ &= (1-\alpha)|\psi_{\alpha}(t)| + 1. \end{aligned} \quad (16)$$

من خلال (16)، نستنتج أن

$$\begin{aligned} \int_{\Omega} |v^k|^{s^+} &= \int_{\Omega} |v^k|^{p^-*(1-\alpha)} \\ &\leq 2^{p^-*-1}(1-\alpha)^{p^-*} \int_{\Omega} |\psi_{\alpha}(v^k)|^{p^-*} + 2^{p^-*-1}|\Omega| \end{aligned} \quad (17)$$

بواسطة (15) و (17) نحصل على

$$\int_{\Omega} |v^k|^{s^+} \leq C_4. \quad (18)$$

حيث C_4 ثابت موجب مستقل عن k .
 يجعل $\infty \rightarrow k$ في (18) و من خلال توطئة فاتو (Fatou) يمكننا استنتاج أن

$$\int_{\Omega} |v|^{s^+} dx \leq C_4.$$

و بالتالي نحصل على $v \in L^{s(\cdot)}(\Omega)$

الآن نفرض أن $s^+ \geq \frac{N(p^- - 1)}{N - p^-}$
من خلال (9) و استمرارية (\cdot) و $p(\cdot)$ على $\overline{\Omega}$ يوجد ثابت $\delta > 0$ بحيث

$$\max_{y \in B(x, \delta) \cap \Omega} s(y) < \min_{y \in B(x, \delta) \cap \Omega} \frac{N(p(y) - 1)}{N - p(y)}, \quad \forall x \in \Omega. \quad (19)$$

بلاحظة أن $\overline{\Omega}$ متراص فانه بامكنتنا تعطيها بعدد منته من الكرة $(B_i)_{i=1}^k$
علاوة على ذلك ، يوجد ثابت $\tau > 0$ بحيث

$$|\Omega_i| > \tau, \quad \forall i = 1, \dots, N \quad \text{حيث } \Omega_i := B_i \cap \Omega. \quad (20)$$

نعرف

$$s_i^+ = \max_{y \in \overline{\Omega}_i} \{s(y)\}, \quad p_i^- = \min_{y \in \overline{\Omega}_i} \{p(y)\}.$$

ليكن $s_i^+ < v \in L_0^{1,p(\cdot)}(\Omega)$ و لنفرض أن

إذا وضعنا $(p^- > p_0)$ فإن $\frac{1}{p_i^-} < \alpha_i < 1$ ، من خلال الافتراضات على p^- نجد

$$1 - \alpha_i < 1 - \frac{1}{p_i^-} \leq 1 - \frac{1}{p^+} < \frac{N(p^- - 1)}{N - p^-}.$$

هذا مع (18)، يعطينا

$$\int_{\Omega_i} |v^k|^{1-\alpha_i} dx \leq |\Omega| + \int_{\Omega} |v^k|^{1-\frac{1}{p^-}} dx \leq C_5. \quad (21)$$

باستخدام متباعدة بوانكاريه-ويرتینغر (Poincaré-Wirtinger)، نحصل على

$$\|\psi_{\alpha_i}(v^k) - \bar{\psi}_{\alpha_i}(v^k)\|_{L^{p_i^{-*}}(\Omega_i)} \leq C_6 \|D\psi_{\alpha_i}(v^k)\|_{L^{p_i^{-}}(\Omega_i)},$$

حيث

$$\bar{\psi}_{\alpha_i}(v^k) = \frac{1}{|\Omega_i|} \int_{\Omega_i} \psi_{\alpha_i}(v^k).$$

المطالبات (16) و (20) تضمن لنا أن

$$|\bar{\psi}_{\alpha_i}(v^k)| \leq C_7.$$

وبالتالي، من خلال أن $\alpha_i p_i^- > 1$ على Ω_i و $p_i^- \leq p(x)$ ، نحصل على

$$\|\psi_{\alpha_i}(v^k)\|_{L^{p_i^{-*}}(\Omega_i)} \leq C_8 + C_6 \|D\psi_{\alpha_i}(v^k)\|_{L^{p_i^{-}}(\Omega_i)} \leq C_9.$$

الآن، باستخدام نفس الحجج كما كان من قبل محلياً، بدلاً من التقدير (17)، نحصل على أنه $i = 1, \dots, k$ كل

$$\int_{\Omega_i} |v^k|^{s_i^+} \leq C_{10} + C_{10} \int_{\Omega_i} |\psi_{\alpha_i}(v^k)|^{p_i^{-*}} dx \leq C_{11}.$$

باستخدام توطئة فاتو نجد أن

$$\int_{\Omega_i} |v|^{s_i^+} \leq C_{11}, \quad \forall i = 1, \dots, k.$$

أخيراً، بما أن $s(x) \leq s_i^+$ على Ω_i نحصل على النتيجة المطلوبة.

ملاحظة 3.3. لدينا $p_0 < 2 - \frac{1}{N}$ من أجل كل تابع $p(\cdot)$.

قضية 3.4. لتكن $(0, N/(N-1)) \rightarrow \bar{\Omega}$ و $(1, N) \rightarrow \bar{\Omega}$ توافع مستمرة. نفرض أن

$$\max_{x \in \bar{\Omega}} \{q(x)(p(x)-1)\} < \frac{N(p^- - 1)}{N-1} \quad \text{و} \quad p^- > p_0.$$

اذن نجد

$$\int_{\Omega} |Dv|^{q(x)(p(x)-1)} dx < \infty, \quad \forall v \in L_0^{1,p(\cdot)}(\Omega).$$

الاثبات: ليكن $(\Omega)^{1,p(\cdot)}$ و $v \in L^{1,p(\cdot)}(\Omega)$ من أجل كل $x \in \bar{\Omega}$ حيث $q(x) \in (0, N/(N-1))$ ولتكن $s^+ = q^+(x)$ ثابت يتحقق في خطوة أولى ليكن s^+

$$0 < s^+ < \frac{N(p^- - 1)}{N - 1}. \quad (22)$$

نشير الى أن (22)، مع (4)، يستلزم أن $s(x) < p^-$ ، نكتب الان، من أجل كل $k > 0$

$$\begin{aligned} \int_{\Omega} |Dv^k|^{s(x)} dx &= \int_{\Omega} \frac{|Dv^k|^{s(x)}}{(1 + |v^k|)^{(1+\delta)s(x)/p^-}} (1 + |v^k|)^{(1+\delta)s(x)/p^-} \\ &\leq 2 \left\| \frac{|Dv^k|^{s(x)}}{(1 + |v^k|)^{(1+\delta)s(x)/p^-}} \right\|_{\frac{p^-}{s(\cdot)}} \left\| (1 + |v^k|)^{(1+\delta)s(x)/p^-} \right\|_{\frac{p^-}{p^- - s(\cdot)}}. \end{aligned}$$

بما أن

$$\int_{\Omega} \frac{|Dv^k|^{p(x)}}{(1 + |v^k|)^{1+\delta}} dx \leq C, \quad \forall k > 0,$$

اذن من خلال التوطئة 2.1 نحصل على (23)

$$\int_{\Omega} |Dv^k|^{s(x)} dx \leq C_{12} \max \left\{ \left(\int_{\Omega} (1 + |v^k|)^{(1+\delta)\frac{s(x)}{p^- - s(x)}} \right)^{\frac{p^- - s^+}{p^-}}; \left(\int_{\Omega} (1 + |v^k|)^{(1+\delta)\frac{s(x)}{p^- - s(x)}} \right)^{\frac{p^- - s^-}{p^-}} \right\}.$$

بما أن $\frac{s(x)}{p^- - s(x)} \leq \frac{s^+}{p^- - s^+} < \frac{N(p^- - 1)}{N - p^-}$ فان $0 < s^+ < \frac{N(p^- - 1)}{N - p^-}$

$$\max_{x \in \bar{\Omega}} \left\{ (1 + \delta) \frac{s(x)}{p^- - s(x)} \right\} = (1 + \delta) \frac{s^+}{p^- - s^+} < \frac{N(p^- - 1)}{N - p^-}. \quad (24)$$

من خلال الفرضية 3.2، (23) و (24)، نجد أن

$$\int_{\Omega} |Dv^k|^{s(x)} dx \leq C_{13}. \quad (25)$$

من الفرضية 3.1، من أجل اي معطى $v \in L_0^{1,p(\cdot)}(\Omega)$ موجود حيثما كان تقريباً في Ω . بجعل $k \rightarrow +\infty$ في (25) وباستخدام توطئة فاتو، نحصل على

$$\int_{\Omega} |Dv|^{s(x)} dx \leq C_{13}.$$

الآن، نفرض أن $s^+ \geq \frac{N(p^- - 1)}{N - 1}$ يتحقق بنفس حجة (23) نحصل على $\delta > 0$

$$\int_{\Omega} |Dv^k|^{s(x)} dx \leq C_{14} \max \left\{ A_k^{1 - \left(\frac{s(\cdot)}{p(\cdot)}\right)^+}; A_k^{1 - \left(\frac{s(\cdot)}{p(\cdot)}\right)^-} \right\}$$

$$A_k = \int_{\Omega} (1 + |v^k|)^{(1+\delta)\frac{s(x)}{p(x)-s(x)}} \text{ و } (1+\delta) \frac{s(x)}{p(x)-s(x)} < \frac{N(p(x)-1)}{N-p(x)}.$$

باستخدام الفرضية 3.2 و من خلال كون $p_0 > p^-$ يمكننا استنتاج أن

$$\int_{\Omega} |Dv^k|^{q(x)(p(x)-1)} dx \leq C_{15}.$$

هذا وباستخدام توقيع فاتو، تحصل على

$$\int_{\Omega} |Dv|^{s(x)} dx \leq C_{15}.$$

هذا التقدير يثبت المطلوب.

فرضية 3.5. ليكن $p(\cdot) : \bar{\Omega} \rightarrow (2 - \frac{1}{N}, N)$ تابع مستمر، لدينا

$$L_0^{1,p(\cdot)}(\Omega) \subset W_0^{1,s(\cdot)}(\Omega)$$

من أجل كل تابع مستمر $s(\cdot) : \bar{\Omega} \rightarrow [1, \infty)$ حيث

$$1 \leq s(x) < \frac{N(p(x)-1)}{N-1}, \quad \forall x \in \bar{\Omega}.$$

الاثبات: بما أن $N(p(x)-1)/(N-1) > 1$ لدينا $p(x) > 2 - \frac{1}{N}$
 . $p^- > 2 - \frac{1}{N} > p_0$ و $q(x) \in (0, \frac{N}{N-1})$ اذن $q(x) = s(x)/(p(x)-1)$ و $s(x) \in \left[1, \frac{N(p(x)-1)}{N-1}\right)$
 من الفرضية 3.4، من أجل كل $v \in L_0^{1,p(\cdot)}(\Omega)$ نجد أن

$$\int_{\Omega} |Dv|^{s(x)} dx \leq C_{16}. \quad (26)$$

انتهى الاثبات.

ملاحظة 3.6. في الحالة الثابتة $p(x) = p$, الفرض $p > p_0$ محقق من أجل كل $s > 1$.

4 النتائج الرئيسية : (The main Results)

تعريف 4.1. تابع u هو حل ضعيف للمسألة (P) إذا كان $(\widehat{a}(x, u, Du)) \in L^1(\Omega)^N$ ، $u \in L_0^{1,p(\cdot)}(\Omega)$ ، و من أجل كل $\varphi \in C_0^\infty(\Omega)$

$$\int_{\Omega} \widehat{a}(x, u, Du) D\varphi dx = \int_{\Omega} \varphi d\mu.$$

النتيجة الرئيسية هي التالي.

نظرية 4.2. ليكن $\mu \in M(\Omega)$ ، نفرض أن $p(\cdot) : \bar{\Omega} \rightarrow (1, N)$ تابع مستمر بحيث

$$\frac{p^+ - 1}{p^- - 1} < \frac{N}{N-1} \quad or \quad p_- > p_0, \quad (27)$$

و \widehat{a} يتحقق (1)-(3). فإنه، يوجد على الأقل حل ضعيف $u \in L_0^{1,p(\cdot)}(\Omega)$ للمسألة الناقصية (P).
 الاشتباكات يحتاج إلى ثلاثة خطوات.

الخطوة 1 : تقرير.

لتكن (μ_n) متالية من $C_0^\infty(\Omega)$ نتقارب نحو μ في $\mathcal{D}'(\Omega)$ وتحقق التقدير

$$\|\mu_n\|_{L^1(\Omega)} \leq \|\mu\|_{M(\Omega)}, \quad n \geq 1.$$

من أجل $(\Omega), u \in W_0^{1,p(\cdot)}$, نضع

$$Au = -\operatorname{div}(\hat{a}(x, u, Du)).$$

المؤثر A ينقل $(W_0^{1,p(\cdot)}(\Omega))'$ نحو $W_0^{1,p(\cdot)}(\Omega)$ (hemicontinuous) بمعنى: من أجل كل u, v, w من $(\Omega), W_0^{1,p(\cdot)}$, التطبيق $\langle A(u + \lambda v), w \rangle$ مستمر، $\mathbb{R} \ni \lambda \mapsto \langle A(u + \lambda v), w \rangle$ مستمر، بواسطة (1) و التوطئة 2.1 يمكننا كتابة

$$\begin{aligned} \frac{\langle Au, u \rangle}{\|u\|_{W_0^{1,p(\cdot)}(\Omega)}} &\geq \alpha \frac{\rho_{p(\cdot)}(Du)}{\|u\|_{W_0^{1,p(\cdot)}(\Omega)}} \\ &\geq \alpha \frac{\min \left\{ \|u\|_{W_0^{1,p(\cdot)}(\Omega)}^{p^+}, \|u\|_{W_0^{1,p(\cdot)}(\Omega)}^{p^-} \right\}}{\|u\|_{W_0^{1,p(\cdot)}(\Omega)}}. \end{aligned}$$

هذا يثبت أن A قهري (Coercif). المؤثر A محدود، فإذا كان $u \in W_0^{1,p(\cdot)}(\Omega)$ نجد أن

$$\begin{aligned} \|Au\|_{(W_0^{1,p(\cdot)}(\Omega))'} &\leq \sup_{\varphi \in W_0^{1,p(\cdot)}(\Omega), \|\varphi\| \leq 1} \int_{\Omega} \beta (h + |u|^{p(x)-1} + |Du|^{p(x)-1}) |D\varphi| dx \\ &\leq 2\beta \left\| (h + |u|^{p(\cdot)-1} + |Du|^{p(\cdot)-1}) \right\|_{\frac{p(\cdot)}{p(\cdot)-1}}. \end{aligned}$$

من خلال التوطئة 2.1 و 7 نحصل على النتيجة المطلوبة، النتيجة الحصول عليها في [7] تؤكد أن A غامر، وبالتالي توجد متالية $(u_n)_{n \in \mathbb{N}} \subset W_0^{1,p(\cdot)}(\Omega)$ تحقق

$$\int_{\Omega} \hat{a}(x, u_n, Du_n) D\varphi = \int_{\Omega} \mu_n \varphi, \quad \forall \varphi \in W_0^{1,p(\cdot)}(\Omega). \quad (28)$$

الخطوة 2 : تقديرات قبلية.

توطئة 4.3. من أجل كل $T \in \operatorname{Lip}_{p(\cdot)}(\mathbb{R})$ يوجد ثابت $C = C(T)$ بحيث

$$\int_{\Omega} |DT(u_n)|^{p^-} dx \leq C, \quad \forall n \geq 1. \quad (29)$$

$$\int_{\Omega} |DT_k(u_n)|^{p(x)} dx \leq k \frac{\|\mu\|_{M(\Omega)}}{\alpha}, \quad \forall k > 0, \quad (30)$$

و من أجل كل $\delta > 0$ يوجد ثابت $C = C(\delta)$ يتحقق

$$\int_{\Omega} \frac{|Du_n|^{p(x)}}{(1 + |u_n|)^{1+\delta}} dx \leq C, \quad \forall n \geq 1. \quad (31)$$

$$\begin{aligned} & \alpha \int_{\Omega} |Du_n|^{p(x)} |T'(u_n)|^{p^-} dx \\ & \leq \|\mu_n\|_{L^1(\Omega)} \int_{-\infty}^{+\infty} |T'(x)|^{p^-} dx \leq C(T). \end{aligned}$$

اذن لدينا (29)، إذا اخذنا $T_k(u_n)$ تابع اختباري في (28)، نحصل على (30).
 من أجل التقدير (31)، نختار اختباري في (28) و باستعمال (1) نجد

$$\int_{\Omega} \frac{|Du_n|^{p(x)}}{(1+|u_n|)^{1+\delta}} dx \leq \frac{\|\mu\|_{M(\Omega)}}{\delta \alpha}.$$

توطئة 4.0.4.، يكن $(.)$ s و p معرفين في الفرضية (3.2). إذا كان الافتراض (10) محقق فإنه لدينا

$$\int_{\Omega} |u_n|^{s(x)} dx \leq C, \quad \forall n \geq 1. \quad (32)$$

الإثبات: من أجل إثبات (32)، نقوم بتعديل إثبات المبرهنة 3.2، وذلك باستبدال (14) بـ (31). هكذا التوطئة 4.4 تم اثباتها.

توطئة 4.0.5.، يكن $(.)$ p كا هو مشار اليه في (27) اذن يوجد ثابت $C > 0$ ، بحيث

$$\int_{\Omega} |Du_n|^{q(x)(p(x)-1)} dx \leq C, \quad (33)$$

من أجل بعض التابع المستمرة $(.)$ q على $\bar{\Omega}$ التي تحقق

$$1 < q(x) < \frac{N}{N-1}, \quad x \in \bar{\Omega} \quad \text{من أجل كل}$$

الإثبات: نفرض أن $\frac{p^+-1}{p^--1} < \frac{N}{N-1}$ ، اذن يوجدتابع مستمر $(.)$ q على $\bar{\Omega}$ يتحقق

$$1 < q(x) < \frac{N}{N-1}, \quad \text{و} \quad q^+(p^+-1) < \frac{N(p^--1)}{N-1}, \quad (34)$$

بالتالي، يوجد $\delta_1 > 0$ بحيث

$$(1 + \delta_1) \frac{q^+(p^+-1)}{p^- - q^+(p^+-1)} < \frac{N(p^--1)}{N - p^-}. \quad (35)$$

بما أن $N < q(x) < N/(N-1)$ و $1 < p(x)$
 $\cdot q(x)(p(x)-1) < \frac{N(p(x)-1)}{N-1}$ و $q(x) < p'(x) = p(x)/(p(x)-1)$

ليكن $0 < \delta$ ، باستعمال متباعدة هولدر نحصل على

$$\begin{aligned} \int_{\Omega} |Du_n|^{q(x)(p(x)-1)} dx &= \int_{\Omega} \frac{|Du_n|^{q(x)(p(x)-1)}}{(1+|u_n|)^{(1+\delta)q(x)/p'(x)}} (1+|u_n|)^{(1+\delta)q(x)/p'(x)} dx \\ &\leq 2 \left\| \frac{|Du_n|^{q(x)(p(x)-1)}}{(1+|u_n|)^{(1+\delta)q(x)/p'(x)}} \right\|_{\frac{p'(\cdot)}{q(\cdot)}} \left\| (1+|u_n|)^{(1+\delta)q(x)/p'(x)} \right\|_{\frac{p'(\cdot)}{p'(\cdot)-q(\cdot)}}. \end{aligned}$$

من خلال التوطئة 2.1 و التقدير (31) نستنتج أن

$$\int_{\Omega} |Du_n|^{q(x)(p(x)-1)} dx \leq C \max \left\{ B_n^{1-\left(\frac{q(\cdot)}{p'(\cdot)}\right)^+}; B_n^{1-\left(\frac{q(\cdot)}{p'(\cdot)}\right)^-} \right\}, \quad (36)$$

حيث

$$B_n = \int_{\Omega} (1+|u_n|)^{(1+\delta)\frac{q(x)(p(x)-1)}{p(x)-q(x)(p(x)-1)}} dx.$$

من خلال كون $(.)^q$ تابع مستمر و $q(x) < N/(N-1)$ يمكننا اختيار $\delta_2 > 0$ بحيث

$$\delta_2 < \frac{N(p(x)-q(x)(p(x)-1))}{q(x)(N-p(x))} - 1 = \frac{p(x)(N-1)}{q(x)(N-p(x))} \left(\frac{N}{N-1} - q(x) \right).$$

بأخذ $\delta = \min\{\delta_1, \delta_2\}$

$$s(x) = (1+\delta) \frac{q(x)(p(x)-1)}{p(x)-q(x)(p(x)-1)} < \frac{N(p(x)-1)}{N-p(x)}, \quad \forall x \in \bar{\Omega}. \quad (37)$$

من خلال (35)، نستنتج أن

$$\max_{x \in \bar{\Omega}} s(x) \leq (1+\delta) \frac{q^+(p^+-1)}{p^--q^+(p^+-1)} < \frac{N(p^--1)}{N-p^-} = \min_{x \in \bar{\Omega}} \left\{ \frac{N(p(x)-1)}{N-p(x)} \right\}. \quad (38)$$

الآن، من خلال (36)، (38) و (32) نحصل على (33)، (37) و (34). إذا كان $q(x) < \frac{N}{N-1}$ و $\frac{p^+-1}{p^--1} \geq \frac{N}{N-1}$ يمكننا استعمال الفرض $p > p_0$ ، (36) و (37) للحصول على المطلوب. هكذا تم إثبات التوطئة.

لazمـة 4.6 (بنخصوص التوطئـة 4.4). ليـنـ (.) p و $q(x)$ المشار اليـهـما في التوطـةـ 4.5 و 4.6. يـجـدـ أنـ (34) تستلزمـ أنـ

$$s^+ < \frac{N(p^--1)}{N-1} < \frac{N(p^--1)}{N-p^-},$$

من خـلالـ التـوطـةـ 4.4، يـجـدـ أنـ

$$\int_{\Omega} |u_n|^{q(x)(p(x)-1)} dx \leq C. \quad (39)$$

الخطوة 3 : المرور الى النهاية.

توطئة 4.07. توجد متتالية جزئية (نرمز لها (u_n)) شقارب حيالاً كان تقربياً نحو التابع u ، مع $|u|^{q(\cdot)(p(\cdot)-1)} \in L^1(\Omega)$ ، و $T(u_n) = \arctan(u_n)$ ، بالتالي $T(u_n)$ تبقى في مجموعة محدودة من $W_0^{1,p^-}(\Omega)$.

الاثبات: نضع $T(u_n) = \arctan(u_n)$ ، بواسطة (29) المتالية $(T(u_n))$ تبقى في مجموعة محدودة من $W_0^{1,p^-}(\Omega)$ ، بحيث توجد متتالية جزئية (نرمز لها $(T(u_n))$) بحيث

$$T(u_n) \rightarrow w, \quad \text{حيالاً كان تقربياً في } \Omega. \quad (40)$$

اذن لدينا

$$u_n \rightarrow T^{-1}(w) := u, \quad \text{حيالاً كان تقربياً في } \Omega. \quad (41)$$

حسب (39) ، (41) ، و توطئة فاتو نستنتج أن u محدود حيالاً كان تقربياً في Ω و $|u|^{q(\cdot)(p(\cdot)-1)} \in L^1(\Omega)$.

توطئة 4.08. لدينا ما يلي

$$Du_n \rightarrow Du, \quad \text{حيالاً كان تقربياً في } \Omega \quad (42)$$

الاثبات: بنفس طريقة اثبات الجزء الاول من [10]، التوطئة 3.08، اذن نجد

$$\limsup_{n \rightarrow +\infty} \int_{\Omega_\eta \cap \{|u| \leq k\}} (\widehat{a}(x, u_n, Du_n) - \widehat{a}(x, u_n, DT_k(u))) (Du_n - DT_k(u)) dx = 0 \quad (43)$$

حيث $\Omega_\eta = \{x \in \Omega \mid |u_n - u| \leq \varepsilon\}$ ، من أجل كل $\varepsilon \in (0, 1)$ ، $n \geq n_\varepsilon$ و $\eta > 0$ ، نستنتج انه توجد متتالية جزئية $(Du_{n'})$ شقارب نحو Du حيالاً كان تقربياً في $\Omega_\eta \cap \{|u| \leq k\}$. باستدلال كافي [10] ، نستنتج انه توجد متتالية جزئية $(Du_{n'})$ شقارب نحو Du حيالاً كان تقربياً في $\Omega_\eta \cap \{|u| \leq k\}$.

نضع

$$I_{n,\eta} = \int_{\Omega_\eta \cap \{|u| \leq k\}} |Du_n - Du|^{p^-1} dx.$$

حسب (30) و نظرية فيتالي (Vitali) ، المتالية الجزئية $I_{n',\eta}$ شقارب نحو صفر. بالإضافة الى ذلك، بحجة التناقض نجد أن كل المتالية شقارب نحو الصفر. من أجل كل $n, m \geq 1$ ، نكتب

$$\begin{aligned} \int_{\Omega} |Du_n - Du_m|^{p^-1} dx &= \int_{\Omega_\eta \cap \{|u| \leq k\}} |Du_n - Du_m|^{p^-1} dx + \\ &\quad \int_{\Omega / \Omega_\eta} |Du_n - Du_m|^{p^-1} dx + \int_{\Omega_\eta \cap \{|u| > k\}} |Du_n - Du_m|^{p^-1} dx \\ &\leq C(I_{n,\eta} + I_{m,\eta}) + \int_{\Omega / \Omega_\eta} |Du_n - Du_m|^{p^-1} dx + \int_{\Omega_\eta \cap \{|u| > k\}} |Du_n - Du_m|^{p^-1} dx \\ &\leq C(I_{n,\eta} + I_{m,\eta}) + \\ &\quad \left(|\{|u| > k\}|^{1-\frac{1}{q^-}} + |\Omega / \Omega_\eta|^{1-\frac{1}{q^-}} \right) \left(\int_{\Omega} |Du_n - Du_m|^{q^-(p^-1)} \right)^{\frac{1}{q^-}}. \end{aligned} \quad (44)$$

نستعمل التوطئة 4.7، نحصل على

$$|\{|u| > k\}| \leq \frac{C}{k^{q^-(p^- - 1)}}.$$

حسب (44) و (33)، يعني أن

$$\begin{aligned} & \int_{\Omega} |Du_n - Du_m|^{p^- - 1} dx \\ & \leq C \left(I_{n,\eta} + I_{m,\eta} + k^{-(q^- - 1)(p^- - 1)} + \eta^{1 - \frac{1}{q^-}} \right). \end{aligned}$$

نأخذ $\eta \rightarrow 0$ و $k \rightarrow +\infty$ ، نستنتج أن

$$\lim_{n,m} \int_{\Omega} |Du_n - Du_m|^{p^- - 1} dx = 0.$$

من خلال هذا نستنتج أن (Du_n) هي متالية لكوشي بالقياس في Ω ، اذن توجد متالية جزئية نرمز لها (Du_n) وتابع قابل للقياس w بحيث

$$Du_n \rightarrow w, \quad \text{في } \Omega. \quad (45)$$

حسب (30) و التوطئة 4.7 نحصل على $Du = w$. الاشتات انتهى.

اثبات النظرية 4.2.

بفضل (31) يمكننا كتابة

$$\int_{\Omega} \frac{|DT_k(u_n)|^{p(x)}}{(1 + |T_k(u_n)|)^{1+\delta}} dx \leq C$$

نأخذ $n \rightarrow +\infty$ في هذا التقدير، حسب التوطئة 4.7 و (42) نجد أن

$$\sup_{k>0} \int_{\Omega} \frac{|DT_k(u)|^{p(x)}}{(1 + |T_k(u)|)^{1+\delta}} dx \leq C \quad (46)$$

نأخذ $n \rightarrow +\infty$ في (29)، نحصل على $u \in L_0^{1,p(\cdot)}(\Omega)$. هكذا $T(u) \in W_0^{1,p^-}(\Omega)$. نستخدم (2)، (33)، (39)، التوطئة 4.7، (42) و نظرية فيتالي، يمكننا بسهولة المرور الى النهاية في (28). هذا يثبت النظرية 4.2.

المراجع

- [1] M. Bendahmane and P. Wittbold. (2009), Renormalized solutions for nonlinear elliptic equations with variable exponents and L^1 - data. Nonlinear Analysis TMA 70 (2), 567-583.

- [2] L. Boccardo, T. Gallouët. (1992), Nonlinear elliptic equations with right hand side measures, Comm. Partial Differential Equations 17, 641-655.
- [3] Y. Chen, S. Levine, and M. Rao. (2006), Variable exponent, linear growth functionals in image restoration, SIAM J. Appl. Math, 66, 1383-1406.
- [4] L. Diening, P. Hästö, T. Hästö, T. Hästö, T. Harjulehto and M. Ružička. (2011), Lebesgue and Sobolev spaces with variable exponents, Lecture Notes in Mathematics, Springer-Verlag, Berlin.
- [5] X.L. Fan and D. Zhao. (2001), On the spaces $L^{p(\cdot)}(U)$ and $W^{m,p(\cdot)}(U)$, J. Math. Anal. Appl, 263, 424-446.
- [6] O. Kováčik, J. Rákosník. (1991), On spaces $L^{p(\cdot)}$ and $W^{1,p(\cdot)}$, Czechoslovak Math. J. 41, 592-618.
- [7] J.L. Lions. (1969), Quelques méthodes de résolution des problèmes aux Limites non linéaires. Dunod, Paris.
- [8] J. M. Rakotoson. (1993), Generalized solution in a new type of sets for problems with measures as data, Di fferential Integral Equations 6 (1), 27-36.
- [9] J.M. Rakotoson. (1991), Quasilinear elliptic problems with measures as data, Di ff. Int. Equ. 4, 449-457
- [10] J. M. Rakotoson. (1994), *T*-Sets and Relaxed Solutions for Parabolic Equations, Journal of Di fferential Equations, 458-471.
- [11] Mihailescu, M. and Radulescu, V., A multiplicity. (2006), result for a nonlinear degenerate problem arising in the theory of eletrorheological fluids, Proc. R. Soc. A, 462 2625-2641.
- [12] M.Ruzicka. (2000), Electrorheological fluids: modeling and mathematical theory, Springer, Berlin. Lecture Notes in Mathematics, 1748.

